

# Derivati nesteroidnih protuupalnih lijekova i aminokiselina - sinteza, karakterizacija i biološko djelovanje

---

Rajić Džolić, Zrinka

Doctoral thesis / Disertacija

2008

Degree Grantor / Ustanova koja je dodijelila akademski / stručni stupanj: **University of Zagreb, Faculty of Pharmacy and Biochemistry / Sveučilište u Zagrebu, Farmaceutsko-biokemijski fakultet**

Permanent link / Trajna poveznica: <https://urn.nsk.hr/urn:nbn:hr:163:773431>

Rights / Prava: [In copyright](#) / [Zaštićeno autorskim pravom](#).

Download date / Datum preuzimanja: **2025-02-16**



Repository / Repozitorij:

[Repository of Faculty of Pharmacy and Biochemistry University of Zagreb](#)



SVEUČILIŠTE U ZAGREBU  
FARMACEUTSKO-BIOKEMIJSKI FAKULTET

Zrinka Rajić

**DERIVATI NESTEROIDNIH PROTUUPALNIH  
LIJEKOVA I AMINOKISELINA – SINTEZA,  
KARAKTERIZACIJA I BIOLOŠKO DJELOVANJE**

DOKTORSKI RAD

Zagreb, 2008.



Ovaj doktorski rad izrađen je na Zavodu za farmaceutsku kemiju Farmaceutsko-biokemijskog fakulteta Sveučilišta u Zagrebu pod vodstvom prof. dr. sc. Branke Zorc i predan je na ocjenu Fakultetskom vijeću Farmaceutsko-biokemijskog fakulteta Sveučilista u Zagrebu radi stjecanja znanstvenog stupnja doktora znanosti iz područja biomedicina i zdravstvo, polje farmacija, grana farmacija



## **Zahvaljujem**

Prof. dr. sc. B. Zorc i prof. dr. sc. I. Butuli na pruženoj pomoći, savjetima i znanstvenim diskusijama tijekom izrade doktorskog rada.

I. Perković, mr. pharm., na znanstvenim raspravama, zajedničkom vremenu provedenom u laboratoriju i pomoći kod antimikrobnih ispitivanja.

Prof. dr. sc. M. Jadrijević-Mladar Takač i dr. sc. M. Vinković na pomoći kod interpretacije dvodimenzijskih NMR spektara.

Prof. dr. sc. K. Paveliću i dr. sc. M. Kralj na antitumorskim ispitivanjima.

Prof. dr. sc. E. De Clercq, prof. dr. sc. J. Balzariniju i prof. dr. sc. M. Mintasu na antivirusnim i antitumorskim ispitivanjima.

Prof. dr. sc. S. Pepeljnjaku i dr. sc. I. Kosalecu na pomoći kod antimikrobnih ispitivanja.

Prof. dr. sc. T. Žanić Grubišić na pomoći i savjetima kod ispitivanja inhibicije ureaze.

Prof. dr. sc. D. Hadjipavlou-Litini na antioksidativnim ispitivanjima, ispitivanjima inhibicije lipooksigenaze iz soje i lipidne peroksidacije linolne kiseline.

Prof. dr. sc. T. Ossowskom na određivanju  $pK_a$  vrijednosti.

Prof. dr. sc. M. Medić-Šarić i svim članovima Zavoda za farmaceutsku kemiju Farmaceutsko-biokemijskog fakulteta na pruženoj pomoći i susretljivosti.

Svojoj obitelji na nesebičnoj podršci.



# SADRŽAJ

<b>1. UVOD</b>	1
<b>2. OBRAZLOŽENJE TEME</b>	5
2.1. Hidantoini	7
2.2. NSAID hidoksamske kiseline i derivati	9
2.3. NSAID amidi	15
<b>3. PREGLED LITERATURNIH PODATAKA</b>	17
3.1. Sintaza hidantoina	19
3.2. Sintaza reduciranih derivata ketoprofena	26
3.3. Sintaza NSAID hidoksamskih kiselina i njihovih derivata	32
3.3.1. Sintaza ibuprofen hidoksamske kiseline i srodnih spojeva	32
3.3.2. Sintaza fenoprofen hidoksamske kiseline	34
3.3.3. Sintaza diklofenak hidoksamske kiseline i srodnih spojeva	35
3.3.4. Sintaza indometacin hidoksamske kiseline i srodnih spojeva	37
3.4. Sintaza amida ketoprofena	39
3.5. Sintaza 3-hidroksipropilamida NSAID	39
<b>4. MATERIJALI I METODE</b>	41
4.1. Sintaze	43
4.1.1. Materijali i instrumenti	43
4.1.2. Sintaza klorida 1-benzotriazolkarboksilne kiseline ( <b>1</b> )	45
4.1.3. Sintaza <i>N</i> -(1-benzotriazolkarbonil)aminokiselina <b>2a-d</b>	45
4.1.4. Sintaza klorida <i>N</i> -(1-benzotriazolkarbonil)aminokiselina <b>3a-d</b>	45
4.1.5. Sintaza amida <i>N</i> -(1-benzotriazolkarbonil)aminokiselina <b>4a-h</b>	46
4.1.6. Sintaza 3,5-disupstituiranih hidantoina <b>5a-h</b>	47
4.1.7. Sintaza 10%-tnog Pd/C(en)	51
4.1.8. Sintaza reduciranih derivata ketoprofena <b>6a,b</b>	51
4.1.9. Sintaza NSAID benzotriazolida <b>7a-h</b>	53
4.1.10. Sintaza NSAID hidoksamskih kiselina i njihovih derivata <b>8a-y</b>	58



4.1.11. Sinteza derivata ketoprofena <b>9a-i, 10a-f, 11a-f</b>	73
4.1.12. Sinteza 3-hidroksipropilamida NSAID <b>12a-e</b>	84
4.2. Biološka ispitivanja	87
4.2.1. Inhibicija ureaze	87
4.2.2. Antimikrobno ispitivanje	88
<b>5. REZULTATI I RASPRAVA</b>	91
5.1. Sinteze	93
5.1.1. Sinteza 3,5-disupstituiranih hidantoina <b>5a-h</b>	94
5.1.2. Sinteza derivata NSAID <b>6–12</b>	101
5.1.2.1. Sinteza reduciranih derivata ketoprofena <b>6a,b</b>	101
5.1.2.2. Sinteza NSAID benzotriazolida <b>7a-h</b>	104
5.1.2.3. Sinteza NSAID hidroksamskih kiselina i njihovih derivata <b>8a-y</b> i IR i NMR spektroskopska studija	111
5.1.2.4. Sinteza derivata ketoprofena <b>9a-i, 10a-f, 11a-f</b>	130
5.1.2.5. Sinteza 3-hidroksipropilamida NSAID <b>12a-e</b>	144
5.2. Biološka ispitivanja	149
5.2.1. Antitumorska ispitivanja	149
5.2.1.1. 3,5-Disupstituirani hidantoini <b>5</b>	149
5.2.1.2. NSAID hidroksamske kiseline i njihovi derivati <b>8</b>	152
5.2.1.3. Derivati ketoprofena <b>9–11</b>	156
5.2.1.4. 3-Hidroksipropilamidi NSAID <b>12</b>	159
5.2.2. Antimikrobna ispitivanja NSAID hidroksamskih kiselina i njihovih derivata <b>8</b>	160
5.2.3. Antivirusna ispitivanja	163
5.2.3.1. 3,5-Disupstituirani hidantoini <b>5</b>	163
5.2.3.2. NSAID hidroksamske kiseline i njihovi derivati <b>8</b>	166
5.2.3.3. 3-Hidroksipropilamidi NSAID <b>12</b>	168
5.2.4. Inhibicija ureaze	169
5.2.5. Antioksidacijsko djelovanje, inhibicija lipidne peroksidacije linolne kiseline i inhibicija lipooksigenaze	171
5.2.5.1. NSAID hidroksamske kiseline i njihovi derivati <b>8</b>	171
5.2.5.2. Derivati ketoprofena <b>9–11</b>	175

<b>6. ZAKLJUČCI</b>	179
<b>7. LITERATURA</b>	183
<b>8. SAŽETAK</b>	199
<b>9. SUMMARY</b>	203
<b>10. ŽIVOTOPIS</b>	207
<b>11. PRILOZI</b>	213

**TEMELJNA DOKUMENTACIJSKA KARTICA**

**BASIC DOCUMENTATION CARD**

## KRATICE

AAPH	2,2'-azobis(2-amidinopropan) dihidroklorid
ATCC	American Type Culture Collection
Boc	<i>t</i> -butiloksikarbonil
BOP-Cl	bis(2-okso-3-oksazolidinil)fosfonil klorid
BtcCl	klorid 1-benzotriazolkarboksilne kiseline
BtH	benzotriazol
CDI	1,1'-karbonilimidazol
CEM	stanična linija zloćudno preobraženih T-limfocita
CLSI	Clinical and Laboratory Standards Institute
COSY	Correlation Spectroscopy
DCC	<i>N,N'</i> -dicikloheksilkarbodiimid
Dic	diklofenak
DMAP	4-dimetilaminopiridin
DPPH	1,1-difenil-2-pikrilhidrazil radikal
EDC	1-etil-3-(3-dimetilaminopropil)karbodiimid
Fen	fenoprofen
FM3A/0	stanična linija karcinoma prsne žlijezde
Fmoc	9-fluorenilmetoksikarbonil
H 460	stanična linija karcinoma pluća
HCT 116	stanična linija karcinoma debelog crijeva
HeLa	stanična linija karcinoma grlića maternice
HMBC	Heteronuclear Multiple Bond Correlation
HMQC	Heteronuclear Multiple Quantum Correlation
HSV-1 (KOS)	herpes simpleks virus tip 1
HSV-1 TK KOS ACV <sup>r</sup>	herpes simpleks virus tip 1 bez aktivnosti timidin kinaze
HSV-2 (G)	herpes simpleks virus tip 2
HyKet	2-(3-(hidroksi(fenil)metil)fenil)propanska kiselina
Ibu	ibuprofen
Ind	indometacin
Ket	ketoprofen
KetNHOH	ketoprofen hidroksamska kiselina

L1210	stanična linija leukemije porijeklom iz miša
LDA	litijev diizopropilamid
LO	lipooksigenaza iz soje
LP	lipidna peroksidacija
MCC	minimalna citotoksična koncentracija
MCF-7	stanična linija karcinoma dojke
MeKet	2-(3-benzilfenil)propanska kiselina
MiaPaCa-2	stanična linija karcinoma gušterače
MIC	minimalna inhibitorna koncentracija
MMcC	minimalna mikrobicidna koncentracija
MOLT-4	stanična linija akutne limfoblastične leukemije
Molt4/C8	stanična linija zloćudno preobraženih T-limfocita
MW	mikrovalna radijacija
NCCLS	National Committee for Clinical Laboratory Standards
NCI-H727	stanična linija karcinoma pluća velikih stanica
NSAID	nesteroidni protuupalni lijekovi
Pd/C	paladij na ugljenu
Pd/C(en)	Pd-etilendiamin kompleks na ugljenu
Ra-Ni	Raney-nikal
SW620	stanična linija karcinoma debelog crijeva
SK-BR-3	stanična linija metastatskog adenokarcinoma dojke
TEA	trietilamin
TFA	trifluoroctena kiselina
TMS	tetrametilsilan
WI 38	stanična linija normalnih fibroblasta porijeklom iz čovjeka



## **1. UVOD**



Hidantoini, derivati 2,4-imidazolidindiona, su heterociklički spojevi među kojima se nalaze važne ljekovite tvari iz različitih terapijskih skupina.<sup>1,2</sup> Tijekom prijašnjih istraživanja na Zavodu za farmaceutsku kemiju sintetizirana je serija hidantoina te je ispitano njihovo citostatsko i virustatsko djelovanje.<sup>3,4</sup> Najbolje farmakološko djelovanje imali su hidantoini s lipofilnim supstituentima (cikloalkil, fenil, benzhidril). Zbog toga je u okviru ovog doktorskog rada sintetizirana serija novih strukturnih analoga tih vodećih spojeva intramolekulskom ciklizacijom amida *N*-(1-benzotriazolkarbonil)aminokiselina prema ranije opisanom postupku,<sup>3-5</sup> te je ispitano njihovo citostatsko i virustatsko djelovanje.

Ibuproksam i oksametacin su hidroksamske kiseline, derivati nesteroidnih protuupalnih lijekova (NSAID) ibuprofena i indometacina, čija se analgetska, antipiretska i protuupalna svojstva temelje na inhibiciji enzima ciklooksigenaze i 5-lipooksigenaze.<sup>6,7</sup> Brojni radovi i patentni opisi opisuju druge NSAID hidroksamske kiseline kao snažne inhibitore 5-lipooksigenaze i ciklooksigenaze.<sup>6,8,9</sup> Međutim, u literaturi nema podataka o djelovanju NSAID hidroksamskih kiselina na ostale enzime koje hidroksamske kiseline mogu inhibirati (matriksna metaloproteinaza, angiotenzin konvertirajući enzim, leukotrien A<sub>4</sub> hidrolaza, peroksidaze, ureaze, ribonukleotid reduktaze, peptidna deformilaza i deacetilaza histona).<sup>8,10-14</sup>

Pretjerana ekspresija i aktivacija metaloproteinaza uključena je u brojne bolesti, uključujući invaziju tumora i metastaze.<sup>8</sup> Potencijal samih NSAID kao lijekova protiv malignih bolesti sugeriraju brojne epidemiološke, eksperimentalne i kliničke studije.<sup>15</sup>

U okviru ovog doktorskog rada pripravljena je serija NSAID hidroksamskih kiselina i njihovih derivata novim sintetskim postupkom, iz NSAID benzotriazolida i odgovarajućeg hidroksilamina, te je ispitano njihovo antitumorsko, antimikrobno, antivirusno i antioksidacijsko djelovanje, učinak na ureazu, lipooksigenazu i lipidnu peroksidaciju linolne kiseline.

Ketoprofen je lijek iz skupine NSAID s analgetskim, antipiretskim, antireumatskim i protuupalnim djelovanjem. Radi smanjivanja gastrointestinalnih nuspojava tipičnih za NSAID, produljivanja poluvijeka života u plazmi i modificiranja lipofilnosti pripremljeni su njegovi brojni prolijekovi.<sup>16-20</sup> Također je pokazano da amidi ketoprofena imaju snažnije antitumorsko djelovanje od samog ketoprofena.<sup>21</sup>

U ovom radu opisana je priprava serije novih amidnih derivata ketoprofena, kao i ispitivanje njihovog antitumorskog i antioksidacijskog djelovanja, učinka na lipooksigenazu i lipidnu peroksidaciju linolne kiseline.



Isto tako, pripravljeni su 3-hidroksipropilamidi NSAID ibuprofena, fenoprofena, ketoprofena, diklofenaka i indometacina te je ispitano njihovo antitumorsko i antivirusno djelovanje.

## **2. OBRAZLOŽENJE TEME**

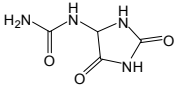
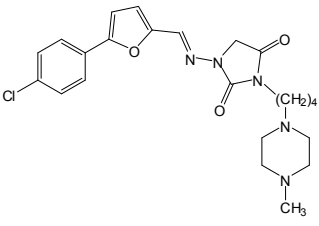


## 2.1. HIDANTOINI

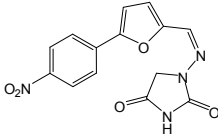
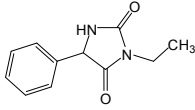
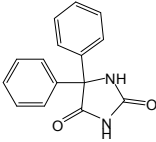
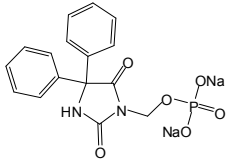
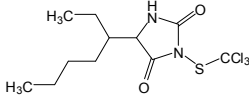
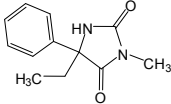
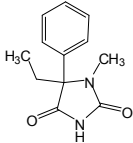
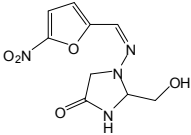
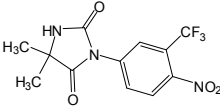
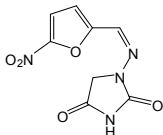
Hidantoini, derivati 2,4-imidazolidindiona, su heterociklički spojevi među kojima se nalaze važne lijekovite tvari iz različitih terapijskih skupina (antiepileptici, antiaritmici, nesteroidni antiandrogeni, miorelaksansi, fungicidi, uroantiseptici, antipsorijatici, keratolitici, adstringensi i antacidi, Tablica 1).<sup>1,2</sup> Najvažniji među njima su antiepileptici (antikonvulzivi). Hidantoini s antikonvulzivnim djelovanjem imaju po dva supstituenta na položaju C-5 i, ponekad, dodatni supstituent na N-3 (numeracija atoma prikazana je na Slici 1). Važni antikonvulzivi su fenitoin (5,5-difenil-2,4-imidazolidindion), mefenitoin (5-etil-5-fenil-3-metil-2,4-imidazolidindion), metetoin (5-etil-5-fenil-1-metil-2,4-imidazolidindion), etotoin (3-etil-5-fenil-2,4-imidazolidindion) i prolijek fenitoina fosfenitoin natrij (dinatrijev (2,5-diokso-4,4-difenilimidazolidin-1-il)metil fosfat).<sup>1,22</sup> Antikonvulzivno djelovanje imaju i 5,5-ditienilhidantoin, 5,5-dipiridilhidantoin, spirotiohidantoini, tiohidantoini i ditiohidantoini.

Neki hidantoini također imaju antidepresivno, antivirusno i antitrombotsko djelovanje, kao i inhibitorno djelovanje prema nekim enzimima (humana aldoza reduktaza i humana leukocitna elastaza).<sup>23</sup>

**Tablica 1.** Pregled derivata hidantoina u suvremenoj terapiji.

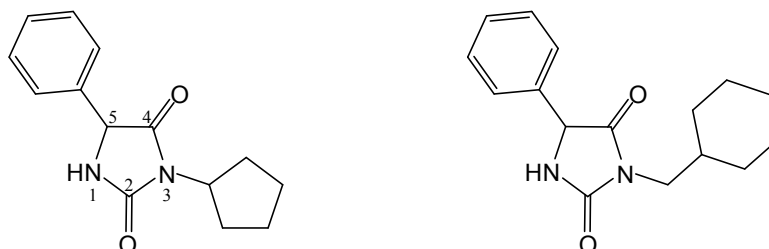
Generički naziv [kemijski naziv]	Struktura	Farmakološko djelovanje	Trgovački naziv
Alantoin [(2,5-diokso-4-imidazolidinil)- urea]		antipsorijatik adstringens keratolitik antacid	Actinac, <sup>a</sup> Bahnex, Contractubex, Hepathrombin, Lipo Codres, Psoralon,
Azimilid [1-(((5-(4-klorfenil)-2-furanil)- metilen)amino)-3-(4-(4-metil-1- -piperazinil)butil)-2,4- -imidazolidindion]		antiaritmik	Stedidor

## 2. Obrazložjenje teme

Dantrolen 1-(((5-(4-nitrofenil)-2-furanil)-metilen)amino)-2,4-imidazolidindion]		miotonolitik	Dantramacrin, Dantrium, Dantrolen
Etotoin [3-etil-5-fenil-2,4-imidazolidindion]		antiepileptik	Accenon, Peganone
Fenitoin [5,5-difenil-2,4-imidazolidindion]		antiepileptik	Difetoin, <sup>a</sup> Dilantin, Dintospina, Phenytoin AWD
Fosfenitoin natrij [dinatrijev (2,5-diokso-4,4-difenilimidazolidin-1-il)metil fosfat]		antiepileptik	Cerebyx
Klodantoin [5-(1-etilpenti)-3-((triklormetil)tio)-2,4-imidazolidindion]		fungicid	Gynelan, Sporostacin
Mefenitoin [5-etil-5-fenil-3-metil-2,4-imidazolidindion]		antiepileptik	Mesantoin, Mesantoina, Sédantoinal
Metetoin [5-etil-5-fenil-1-metil-2,4-imidazolidindion]		antiepileptik	Deltoin
Nifurtoinol [3-(hidroksimetil)-1-(((5-nitro-2-furanil)metilen)amino)-2,4-imidazolidindion]		uroantiseptik	Fultrexin, Urfadyn, Urfadyne
Nilutamid [5,5-dimetil-3-(4-nitro-3-(trifluormetil)pentil)-2,4-imidazolidindion]		nesteroidni antiandrogen	Anandron, Nilandron
Nitrofurantoin [1-(((5-nitro-2-furanil)metilen)amino)-2,4-imidazolidindion]		uroantiseptik	Cistofuran, <sup>a</sup> Furadantine, Macrobid, Ninur, Nitrofurin

<sup>a</sup> Navedeni su samo neki zaštićeni nazivi lijekova.

Tijekom prijašnjih istraživanja na Zavodu za farmaceutsku kemiju sintetizirana je serija 3,5-disupstituiranih hidantoina te je ispitano njihovo citostatsko i virustatsko djelovanje.<sup>3,4</sup> Najbolju farmakološku aktivnost imali su hidantoini s lipofilnim supstituentima (Slika 1).



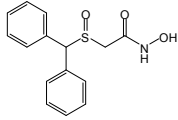
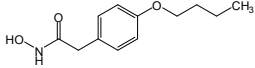
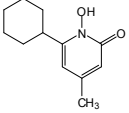
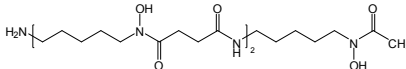
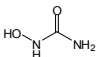
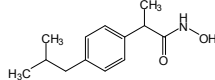
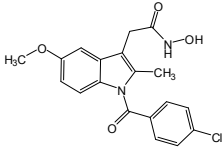
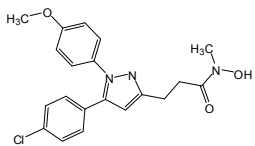
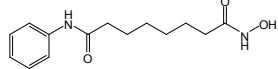
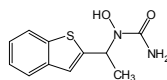
**Slika 1.** 3-Ciklopentil-5-fenil hidantoin i 3-cikloheksanmetil-5-fenil hidantoin.

Zbog toga je u okviru ovog doktorskog rada pripravljena serija novih strukturnih analoga tih vodećih spojeva s aromatskim supstituentom na C-5, N-3 ili na oba atoma intramolekulskom ciklizacijom amida *N*-(1-benzotriazolkarbonil)aminokiselina, prema ranije opisanom postupku,<sup>3-5</sup> te je ispitano njihovo citostatsko i virustatsko djelovanje.

## 2.2. NSAID HIDROKSAMSKE KISELINE I DERIVATI

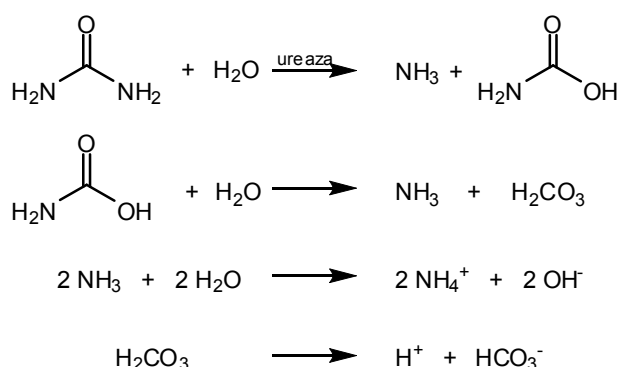
Hidroksamske kiseline skupina su spojeva s vrlo širokim biološkim djelovanjem. U biomedicinskim znanostima imaju ulogu u dizajniranju lijekova protiv malignih i kardiovaskularnih bolesti, AIDS-a, Alzheimerove bolesti, malarije, tuberkuloze, alergija, trovanja metalima i stanja s viškom željeza u krvi.<sup>14,24-32</sup> U Tablici 2 prikazani su registrirani lijekovi s funkcionalnom skupinom hidroksamskih kiselina i njima srodnih hidroksiurea.

**Tablica 2.** Pregled derivata hidroksamskih kiselina i hidroksiurea u suvremenoj terapiji.

Generički naziv [kemijski naziv]	Struktura	Farmakološko djelovanje	Trgovački naziv
Adrafinil [benzhidriksulfinilaceto- hidroksamska kiselina]		$\alpha$ -adrenergik antidepresiv	Olmifon
Bufeksamak [2-(4-butoksifenil)- -N-hidroxiacetamid]		antiinflamatorik analgetik	Bufex, Bufexan, Duradermal, Jomax, Parfenac
Ciklopiroks [6-cikloheksil-1-hidroksi- -4-metilpiridin-2(1H)- -on]		fungicid	Batrafen, Loprox, Penlac, Stieprox
Desferioksamin [N <sup>1</sup> -(5-aminopentil)-N <sup>1</sup> - -hidroksi-N <sup>4</sup> -(5-(N- -hidroxiacetamido)- pentil)sukcinamid]		kelator željeza	Desferal
Hidroksiurea [1-hidroksiurea]		citostatik	Droxia, Hydrea
Ibuproksam [N-hidroksi-2-(4- -izobutilfenil)propanamid]		antiinflamatorik analgetik	Ibudros, Deflogon
Oksametacin [N-hidroksi-1-(4- -klorbenzoi)-2-metil-5- -metoksi-1H-indol-3- -acetamid]		antiinflamatorik analgetik	Dinulcid, Flogan, Restid
Tepoksalin [3-(5-(4-klorofenil)-1-(4- -metoksifenil)-pirazol-3- -il)-N-hidroksi-N-metil- propanamid]		antiinflamatorik analgetik	Zubrin
Vorinostat [N-hidroksi-N'-feniloktan- diamid]		citostatik	Zolinza
Zileuton [1-(1-(benzo[b]tiofen-2- -il)etil)-1-hidroksiurea]		antiastmatik	Zyflo

Hidroksamske kiseline imaju sposobnost inhibicije različitih enzima, uključujući ureaze, lipooksigenaze, deacetilazu histona, enzime iz skupine metaloproteinaza s cinkom (matriksna metaloproteinaza, angiotenzin konvertirajući enzim, leukotrien A<sub>4</sub> hidrolaza), peroksidaze, ribonukleotid reduktaze i peptidnu deformilazu.<sup>8,10-14</sup> Njihovo djelovanje temelji se na sposobnosti stvaranja kompleksa vrlo velikih konstanti stabilnosti s metalnim ionima koji se nalaze u aktivnom mjestu enzima.

Ureaze kataliziraju hidrolizu uree do amonijaka i karbaminske kiseline, koja spontano hidrolizira u drugu molekulu amonijaka i ugljičnu kiselinu. Molekule amonijaka su protonirane kod fiziološkog pH, dok ugljična kiselina disocira (Shema 1).<sup>33</sup>



**Shema 1.** Hidroliza uree djelovanjem ureaze.

Stehiometrijske i spektroskopske analize izoliranih ureaza iz biljnih i bakterijskih izvora (*Canavalia ensiformis* (Jack bean), *Klebsiella aerogenes*, *Bacillus pasteurii*) pokazale su da sve sadrže dva Ni<sup>2+</sup> iona po aktivnom mjestu enzima.<sup>33</sup>

Bakterijske ureaze važne su u patogenezi brojnih bolesti kod čovjeka i životinja. Ureaze su uključene u tvorbu infektivnih kamenaca i sudjeluju u patogenezi urolitijaze, pijelonefritisa, jetrene encefalopatije i hepatičke kome.<sup>33</sup> Infekcija bakterijom *Helicobacter pylori* uzrokuje gastritis te je uključena u nastanak čira na želucu i karcinoma želuca.<sup>10,34</sup> *H. pylori* preživljava u jako kiselom okruženju želuca zahvaljujući svojoj ureazi, koja razgrađuje ureu iz želučanog soka te dolazi do povišenja pH želuca.<sup>10,33,34</sup> Hidroksamske kiseline su visokospecifični i potentni inhibitori ureaza biljnog i bakterijskog porijekla<sup>35</sup> i zbog toga nalaze primjenu kao potencijalni antimikrobni i antiulkusni lijekovi. Drugi razlog ispitivanja antimikrobnog djelovanja hidroksamskih kiselina njihova je sposobnost keliranja iona različitih metala, bez kojih mnogi enzimi ne funkcioniraju.



Arahidonska kiselina najčešća je polinezasićena masna kiselina u fosfolipidnom dvosloju stanične membrane. Aktivacijom fosfolipaze A<sub>2</sub> dolazi do otpuštanja arahidonske kiseline, koja se dalje metabolizira preko dva enzimska puta: ciklooksigenaze i 5-lipooksigenaze, te nastaju prostaglandini i leukotrieni, važni medijatori različitih bolesti, uključujući astmu, artritis, psorijazu i alergije.<sup>36</sup>

Ciklooksigenaza (prostaglandin endoperoksid H sintaza) je integralni membranski protein s hemom<sup>37</sup> te je odgovorna za pretvorbu arahidonske kiseline u prostaglandine, koji imaju vrlo široki spektar fizioloških i patofizioloških učinaka.<sup>36</sup>

5-Lipooksigenaza je enzim obitelji lipidnih peroksidaza s jednim nehemskim atomom željeza po molekuli, koji oscilira između Fe<sup>2+</sup> (inaktivni enzim) i Fe<sup>3+</sup> (aktivni enzim) tijekom katalitičkog ciklusa.<sup>38</sup> Ona katalizira prvi korak u biokemijskom putu u kojem se arahidonska kiselina transformira u leukotriene.<sup>8,36</sup> 5-Lipooksigenaza može se direktno inhibirati: (i) redoks inhibitorima (antioksidansima), koji utječu na redoks-sustav enzima; (ii) kelatorima željeza (hidroksamske kiseline i hidroksiuree) i (iii) neredoksnim kompetitivnim inhibitorima. Enzim se indirektno može inhibirati FLAP inhibitorima (protein koji aktivira 5-lipooksigenazu, "5-lipoxygenase activating protein"), koji je ključan za interakciju 5-lipooksigenaze i arahidonske kiseline.<sup>36</sup>

Inhibicija ciklooksigenaze nesteroidnim protuupalnim lijekovima, osim što uzrokuje smanjenu sintezu vazodilatatornih i gastroprotektivnih prostaglandina, dovodi do preusmjerenja metabolizma arahidonske kiseline preko 5-lipooksigenaze, povećanja sinteze leukotriena, doprinosi upali i neželjenim učincima NSAID. Dualni inhibitori ciklooksigenaze i 5-lipooksigenaze bili bi lijekovi s povećanim protuupalnim potencijalom i manje nuspojava (ozljede gastrointestinalnog trakta, alergijske reakcije).<sup>8,36</sup> Inkorporacijom funkcionalne skupine hidroksamskih kiselina u poznate NSAID nastaju takvi analozi s dualnim inhibitorynim djelovanjem.<sup>6</sup>

Matriksne metaloproteinaze su skupina enzima s ionom cinka u aktivnom mjestu enzima te razgrađuju brojne proteinske komponente ekstracelularnog matriksa. Pretjerana ekspresija i aktivacija matriksnih metaloproteinaza uključena je u brojne bolesti, uključujući artritis, periodontalnu bolest, multiplu sklerozu, invaziju tumora i metastaze.<sup>39</sup> Spojevi s funkcionalnom skupinom hidroksamskih kiselina najistraživanija su klasa inhibitora matriksnih metaloproteinaza zbog njihove sposobnosti kompleksacije iona cinka iz aktivnog mjesta enzima i mogućnosti tvorbe vodikovih veza s karakterističnim aminokiselinskim ostacima.<sup>40</sup> Neki od tih lijekova su u fazi III kliničkih studija (batimastat, marimastat, neovastat, Slika 2).<sup>8</sup>



U literaturi nema podataka o djelovanju NSAID hidroksamskih kiselina na druge enzime koje hidroksamske kiseline mogu inhibirati.

Brojne epidemiološke, eksperimentalne i kliničke studije sugeriraju da su NSAID potencijalni lijekovi u terapiji malignih bolesti.<sup>15</sup> Ibuprofen, indometacin i neki drugi NSAID su učinkoviti kemopreventivni agensi protiv induciranih karcinoma i genetski manipuliranih animalnih modela karcinogeneze debelog crijeva.<sup>15,48-50</sup> Također su povezani sa smanjenim rizikom od raka dojke, jednjaka, pluća, jajnika, prostate, želuca, jetre, gušterače, jezika i multififormnog glioblastoma.<sup>51</sup> Točan mehanizam koji je odgovoran za antitumorsku aktivnost NSAID još uvijek je nepoznat. Smatra se da je povezan s inhibicijom inducibilne ciklooksigenaze-2, koja je prekomjerno eksprimirana u mnogim epitelnim tumorima, te s aktivacijom apoptoze, inhibicijom angiogeneze ili direktnom inhibicijom rasta tumorskih stanica blokiranjem putova prijenosa signala koji su odgovorni za rast stanica.<sup>50,52,53</sup>

U okviru ovog doktorskog rada pripravljena je serija NSAID hidroksamskih kiselina i njihovih derivata te je ispitano njihovo antitumorsko, antimikrobno, antivirusno i antioksidacijsko djelovanje, učinak na ureazu, lipooksigenazu i lipidnu peroksidaciju linolne kiseline.

S obzirom da u literaturi manjkaju i podaci o njihovim  $pK_a$  vrijednostima, ta konstanta je također određena.  $pK_a$  je važna fizikalno-kemijska konstanta koja određuje većinu farmakokinetičkih parametara.<sup>54</sup> O pH medija i  $pK_a$  supstancije ovisi stupanj disocijacije lijekova koji posjeduju kisele i bazične funkcionalne skupine, što utječe na apsorpciju lijekova iz gastrointestinalnog trakta, distribuciju po tjelesnim tekućinama i tkivima, tubularnu reapsorpciju i renalnu ekskreciju.

Istraživanja strukturnih značajki i ponašanja hidroksamskih kiselina u čvrstom stanju i u otopini predmet su brojnih istraživanja, osobito onih koja se odnose na mogućnost postojanja funkcionalne skupine hidroksamskih kiselina ( $-C(=O)-NH-OH$ ) u obliku *cis*(Z)- i *trans*(E)-izomera, relativno prema C-N vezi. Ovisno o strukturnim značajkama ostatka molekule i mogućnosti tvorbe vodikove veze, izomeri se stabiliziraju u jednom ili drugom geometrijskom obliku. Isto tako, mogućnost tvorbe vodikove veze ima utjecaja na inhibiciju ciklooksigenaze djelovanjem NSAID. Zbog toga su istražene i opisane strukturne značajke i geometrija molekule u seriji derivata NSAID hidroksamskih kiselina, mogućnost tvorbe vodikove veze te ponašanje u čvrstom stanju i u otopini.

### 2.3. NSAID AMIDI

Brojni amidi NSAID pokazali su se kao korisni prolijekovi,<sup>55</sup> a imaju i utjecaj na smanjivanje gastrointestinalne toksičnosti NSAID, produljivanje poluvijeka života u plazmi i modificiranje lipofilnosti ishodnih molekula.<sup>16-20,56</sup>

Kao što je već rečeno, sami NSAID potencijalni su lijekovi u terapiji malignih bolesti. Različitim modifikacijama molekule to djelovanje moguće je pojačati. Serija fenolnih estera i amida naproksena pokazuje i antioksidacijsko i antiproliferativno djelovanje. Iako su i esteri i amidi bili učinkovitiji inhibitori stanične proliferacije od samog naproksena, amidni derivati pokazali su snažnije antiproliferativno djelovanje.<sup>57</sup>

Tijekom prijašnjih istraživanja na Zavodu za farmaceutsku kemiju sintetizirana je serija amida fenoprofena i ketoprofena kao potencijalnih prolijekova.<sup>58,59</sup> Ispitivanje njihovog antitumorskog djelovanja pokazalo je da imaju jače antiproliferativno djelovanje od ishodišnih NSAID.<sup>21</sup>

U ovom radu opisana je priprava serije novih amidnih derivata ketoprofena, kao i ispitivanje njihovog antitumorskog i antioksidacijskog djelovanja, učinka na lipooksigenazu i lipidnu peroksidaciju linolne kiseline.

Isto tako, pripremljeni su 3-hidroksipropilamidi NSAID ibuprofena, fenoprofena, ketoprofena, diklofenaka i indometacina te je ispitano njihovo antitumorsko i antivirusno djelovanje.



### **3. PREGLED LITERATURNIH PODATAKA**

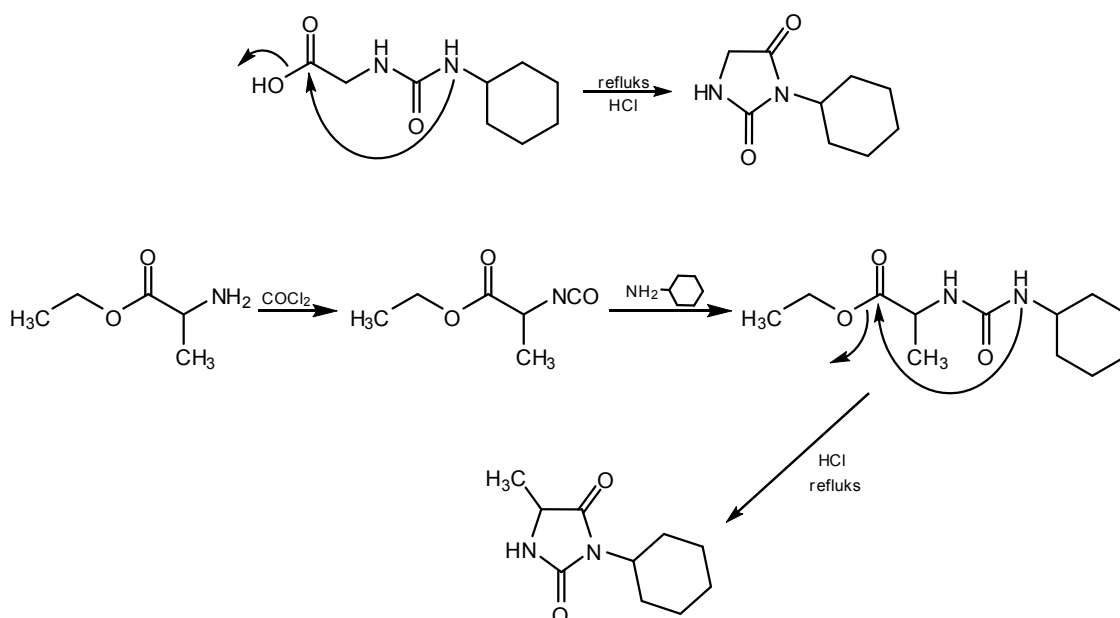


### 3.1. SINTEZA HIDANTOINA

Hidantoini se mogu pripraviti klasičnim metodama sinteze u otopini<sup>60-67</sup> te sintezom na čvrstoj fazi.<sup>68-72</sup> Isto tako, novije metode sinteze hidantoina opisuju njihovu pripremu uz pomoć mikrovalne radijacije (MW) u otopini i na čvrstoj fazi.<sup>73,74</sup>

Sintezom u otopini hidantoini se mogu pripraviti iz različitih polaznih spojeva: aminokiselina i njihovih derivata, hidantoinjskih kiselina, ketona i aldehida, aminonitrila i amida malonske kiseline.

Ciklizacijom hidantoinjskih kiselina<sup>60</sup> ili njihovih estera<sup>61</sup> nastaju 3-cikloheksil hidantoini (Shema 2).



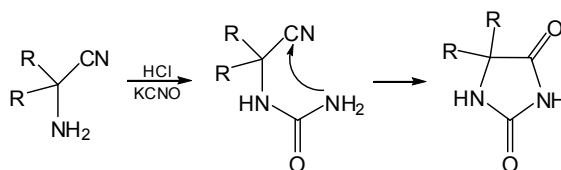
**Shema 2.** Sintaza hidantoina ciklizacijom hidantoinjskih kiselina ili njihovih estera.

3-Supstituirani hidantoini pokazuju herbicidna svojstva, pa su slični spojevi opisani i u patentu GB 1092962.<sup>62</sup> Druge sinteze hidantoina, među kojima i poznatih antiepileptika fenitoina, mefenitoina i drugih, mogu se naći u revijalnom članku E. Ware.<sup>63</sup>

Dobivanje 5-supstituiranih, 5,5-disupstituiranih i 3,5-disupstituiranih hidantoina prikazano je u Heterocyclic Compounds po Elderfieldu (Sheme 3-7).<sup>64</sup>

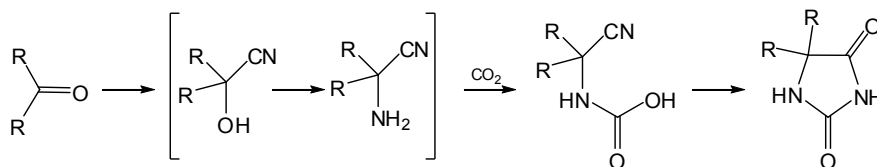


(i) Dobivanje iz aminonitrila: reakcijom aminonitrila i cijanatne kiseline nastaje cijanourea, koja u kiselom mediju hidrolizira i ciklizira.



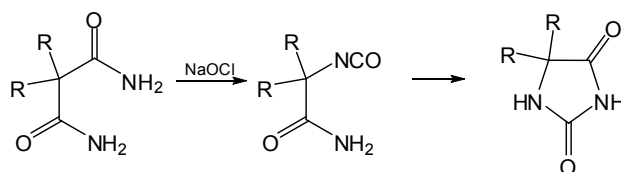
**Shema 3.** Sinteza hidantoina iz aminonitrila.

(ii) Buchererova reakcija: dobivanje iz aldehida ili ketona s kalijevim cijanidom i amonijevim karbonatom u vodeno-alkoholnoj otopini na 60–70 °C.



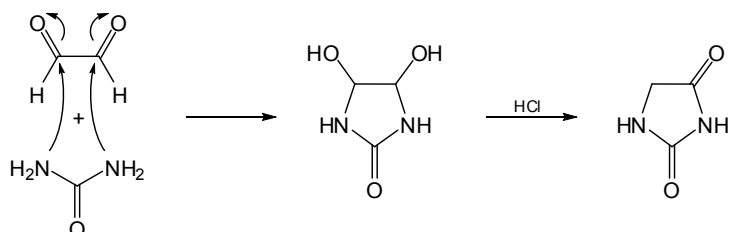
**Shema 4.** Sinteza hidantoina Buchererovom reakcijom.

(iii) Dobivanje iz amida malonske kiseline (primjena Hoffmanove reakcije na malonamide) u prisustvu hipohalita.



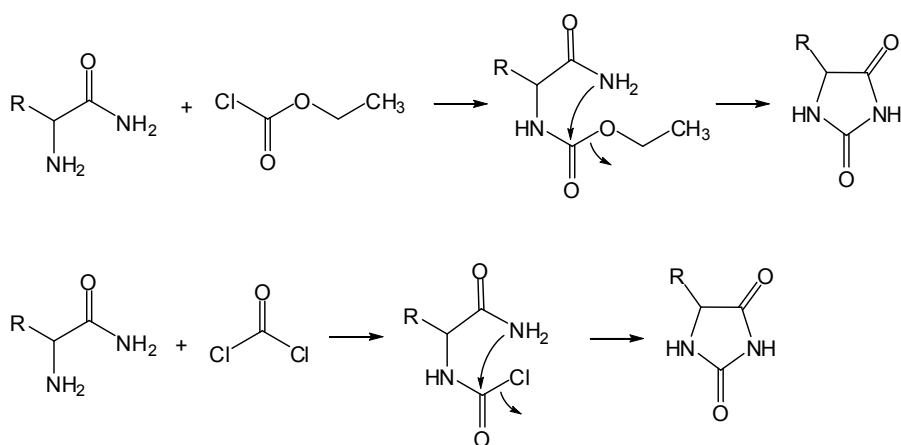
**Shema 5.** Sinteza hidantoina iz amida malonske kiseline.

(iv) Dobivanje iz gliksala i uree: produkt njihove kondenzacije u kiselom mediju prelazi u hidantoin.



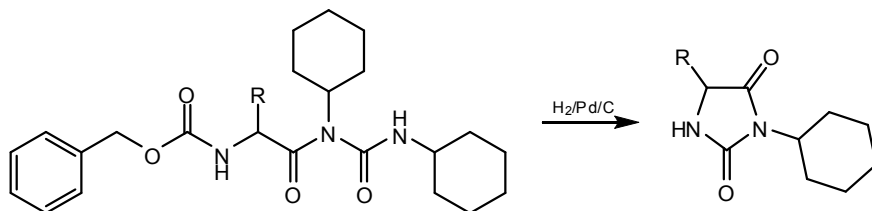
**Shema 6.** Sinteza hidantoina iz gliksala i uree.

(v) Dobivanje iz amida aminokiselina



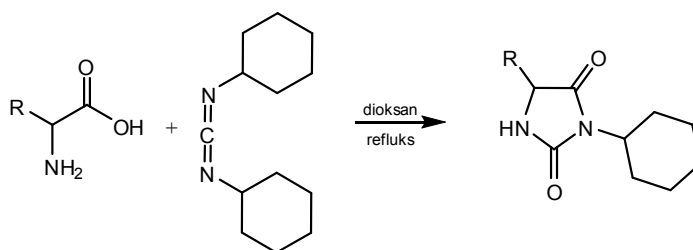
**Shema 7.** Sinteza hidantoina iz amida aminokiselina.

Ovim reakcijama slične su reakcije derivata aminoacil urea. Tako su npr. Schon i suradnici opisali nastajanje hidantoina kao nusprodukata prilikom uklanjanja benziloksikarbonilne skupine katalitičkim hidrogeniranjem iz zaštićenih aminoacil urea uz paladij na ugljenu (Pd/C) (Shema 8).<sup>65</sup>



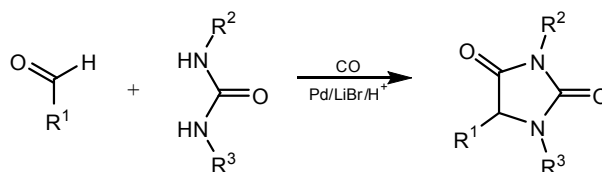
**Shema 8.** Nastajanje hidantoina kao nusprodukta katalitičkog hidrogeniranja.

Opisana je i sinteza hidantoina izravno iz aminokiselina, u reakciji s *N,N'*-dicikloheksilkarbodiimidom (DCC-om) (Shema 9).<sup>66</sup>



**Shema 9.** Sinteza hidantoina uz DCC.

Beller i suradnici opisali su sintezu 5-, 3,5- i 1,3,5-supstituiranih hidantoina koja se temelji na karbonilaciji aldehida u prisutnosti derivata uree te uz Pd kao katalizator (Shema 10). Prednosti opisane metode su jednostavnost izvođenja, dobra iskorištenja, kemo- i regioselektivnost te mogućnost primjene na multigramsku proizvodnju.<sup>67</sup>



**Shema 10.** Sinteza hidantoina metodom Belleri i suradnika.

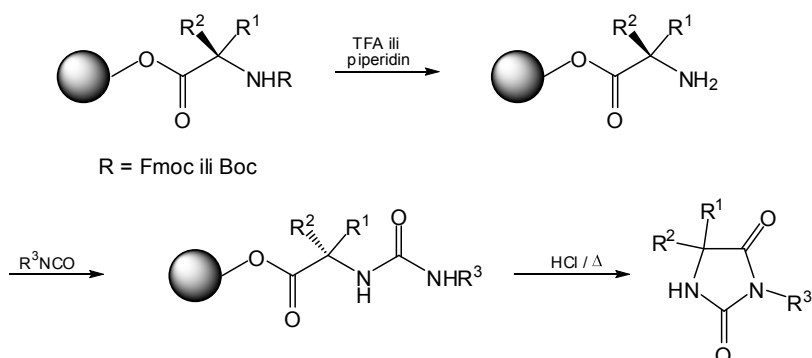
Novije metode sinteze hidantoina su sinteza hidantoina na čvrstoj fazi, sinteza na topljivom polimernom nosaču uz mikrovalnu radijaciju i sinteza na čvrstoj fazi uz mikrovalnu radijaciju, te su ovdje dani primjeri za svaki od tih sintetskih postupaka.

Dvije su temeljne metode sinteze hidantoina na čvrstoj fazi:

(i) Aminokiselina se veže na polimerni nosač esterskom vezom, nakon čega u reakciji s izocijanatom nastaje urea, koja se u jednom koraku skida s polimernog nosača (hidroliza esterske veze) i ciklizira u hidantoin.<sup>68</sup>

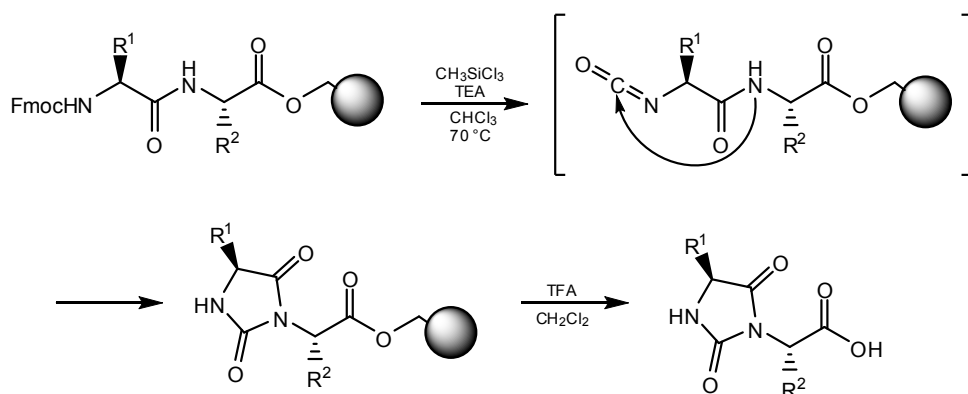
(ii) Na polimerni nosač vezan je dipeptid sa slobodnom terminalnom amino skupinom koja reagira s derivatom ugljične kiseline (fozgen, trifozgen, tiofozgen, 1,1'-karbonildiimidazol (CDI), *N,N'*-disukcinimidil karbonat) te nastaje aktivni karbamat. Nukleofilnim napadom amida peptidne veze na nastali karbamat dolazi do zatvaranja hidantoinskog prstena.<sup>68</sup>

Hobbs DeWitt i suradnici razvili su uređaj i metodu za višestruku simultanu sintezu na čvrstoj fazi i na taj način pripravili cijeli niz 3,5-disupstituiranih hidantoina.<sup>69</sup> Prvi korak je 9-fluorenilmetoksikarbonilna (Fmoc) ili *t*-butiloksikarbonilna (Boc) deprotekcija aminokiselinskog ostatka na polimernoj smoli, nakon čega slijedi reakcija s izocijanatom te nastaju uree vezane na polimerni nosač, koje reakcijom s kloridnom kiselinom ( $c = 6 \text{ mol L}^{-1}$ ) u jednom koraku daju hidantoina (Shema 11).



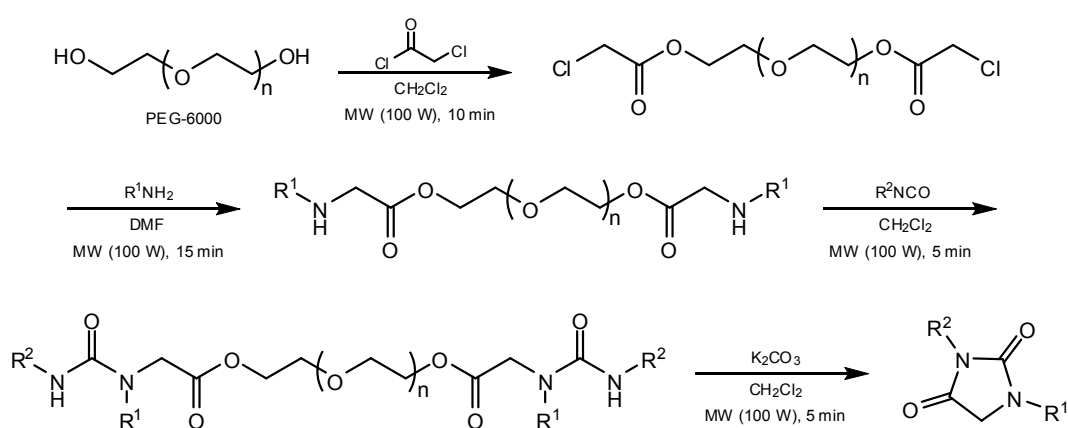
**Shema 11.** Sintaza hidantoina na čvrstoj fazi iz Fmoc- (Boc-) zaštićenih aminokiselina.

Chong i suradnici opisali su sintezu hidantoina na čvrstoj fazi u jednom koraku direktno iz Fmoc zaštićenih dipeptida (Shema 12).<sup>70</sup> Dipeptidi vezani na polimerni nosač reakcijom s triklormetilsilanom i trietilaminom (TEA) u kloroformu daju odgovarajuće izocijanate. Oni zagrijavanjem na 70 °C kroz 24 h cikliziraju i nastaju hidantoini koji se skidaju s polimernog nosača pomoću trifluoroctene kiseline (TFA).



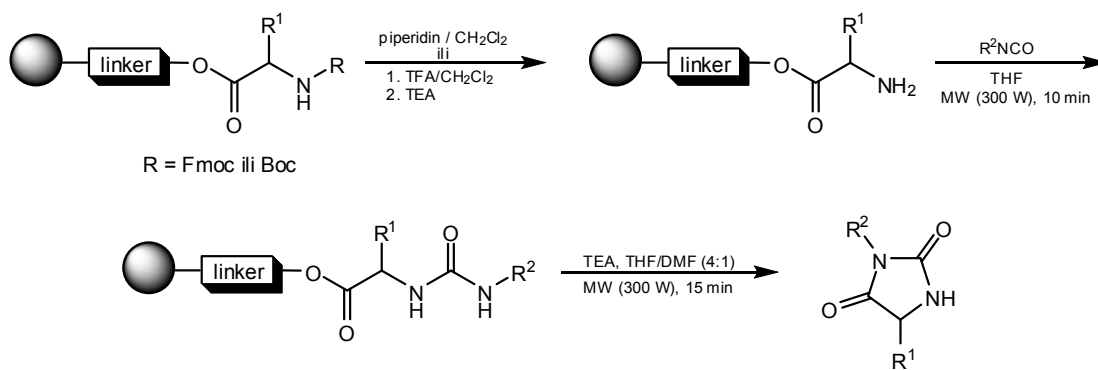
**Shema 12.** Sintaza hidantoina na čvrstoj fazi iz Fmoc zaštićenih dipeptida.

Korištenje mikrovalne radijacije u organskoj sintezi skraćuje trajanje reakcije, te poboljšava njezinu čistoću i iskorištenje. Lee i suradnici prvi su opisali sintezu 1,3-disupstituiranih hidantoina uz primjenu mikrovalne tehnologije (Shema 13).<sup>73</sup> Polimerni nosač polietilenglikol (PEG-6000) otopljen u diklormetanu u reakciji s kloridom kloroctene kiseline daje kloracetilni ester. Slijedi reakcija nukleofilne supstitucije s primarnim aminima, pri čemu nastaju odgovarajući amidi, koji s različitim izocijanatima daju uree. Konačno, u blago lužnatim uvjetima u jednom koraku dolazi do ciklizacije i skidanja s polimernog nosača. Sve reakcije izvođene su uz mikrovalnu radijaciju snage 100 W.



**Shema 13.** Sinteza hidantoina na topljivom polimernom nosaču korištenjem mikrovalne radijacije.

Colacino i suradnici opisali su sintezu hidantoina na čvrstoj fazi upotrebom mikrovalne radijacije.<sup>74</sup> Same reakcije vrlo su slične već opisanima,<sup>69</sup> međutim nakon N-deprotekcije na sobnoj temperaturi, iduća dva koraka izvedena su uz mikrovalnu radijaciju (Shema 14). Iste reakcije izvedene su i pod konvencionalnim uvjetima te je utvrđeno da su hidantoini uz mikrovalnu radijaciju dobiveni za puno kraće vrijeme.<sup>74</sup> Reakcija uz mikrovalnu radijaciju trajala je samo 25 min, a pod konvencionalnim uvjetima 22 h.

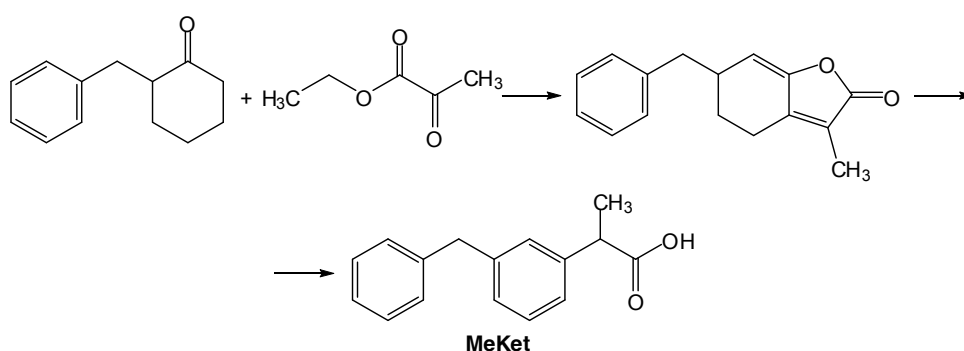


**Shema 14.** Sinteza hidantoina na čvrstoj fazi upotrebom mikrovalne radijacije.

### 3.2. SINTEZA REDUCIRANIH DERIVATA KETOPROFENA

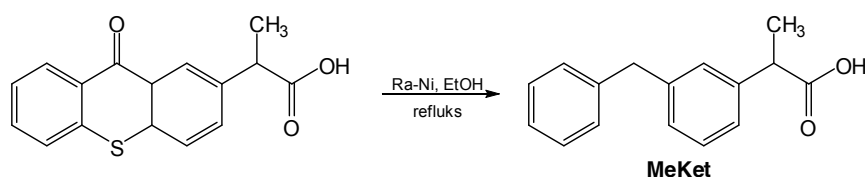
Ovdje će biti prikazane sintetske metode pripreve reduciranih derivata ketoprofena: 2-(3-benzilfenil)propanske kiseline (MeKet) i 2-(3-(hidroksi(fenil)metil)-fenil)propanske kiseline (HyKet).

MeKet može se pripraviti aromatizacijom iz dihidrobenzofuranona uz piridin hidroklorid. Polazni dihidrobenzofuranon dobiven je kondenzacijom 2-benzilcikloheksanona i etil-2-oksopropanoata (Shema 15).<sup>75</sup>



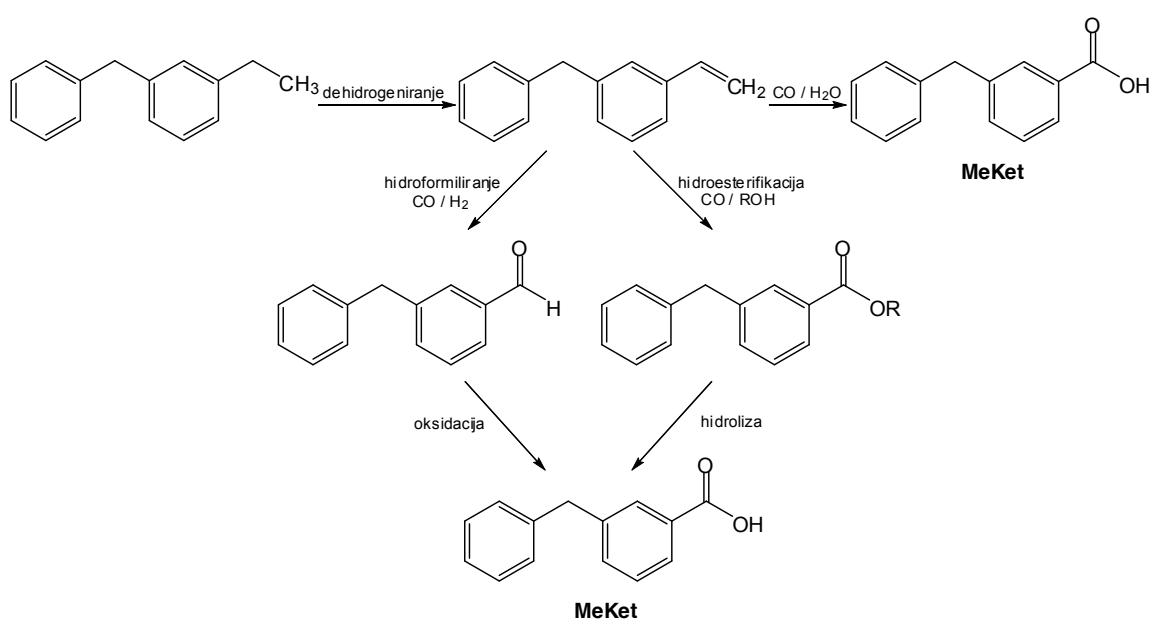
**Shema 15.** Sinteza MeKet iz 2-benzilcikloheksanona i etil-2-oksopropanoata.

Patent US 3641127 opisuje pripravu MeKet iz 2-(2-tiaksantonil)propanske kiseline uz Raney-nikal (Ra-Ni) kao katalizator, u etanolu i na temperaturi refluksa (Shema 16).<sup>76</sup>



**Shema 16.** Sinteza MeKet iz 2-(2-tiaksantonil)propanske kiseline uz Ra-Ni.

Patent WO 8807032 prikazuje sintezu MeKet u 4 koraka (Shema 17).<sup>77</sup> Prvi korak je sinteza etilbenzena alkilacijom benzena etenom u prisutnosti zeolita kao katalizatora. Kao nusprodukt u reakciji nastaje uljasta smjesa produkata. Jedan od njih je (3-etilfenil)fenilmetan, koji se odvaja frakcijskom destilacijom. Slijedi dehidrogeniranje dobivene frakcije uz katalizator Fe-oksidi, Cr-oksidi ili njihovu smjesu, na 550–650 °C, pri tlaku do 3 bara. Produkt reakcije, (3-vinilfenil)fenilmetan, odvaja se destilacijom, te se potom karboniliranjem uz komplekse platinskih metala (Pd, Ir, Rh, Ru, Re) prevodi sa smjesom CO/H<sub>2</sub> u odgovarajući aldehid ili sa smjesom CO/H<sub>2</sub>O ili CO/alkohol u odgovarajuću kiselinu, odnosno ester. Oksidacijom aldehida ili hidrolizom estera nastaje arilkarboksilna kiselina MeKet.

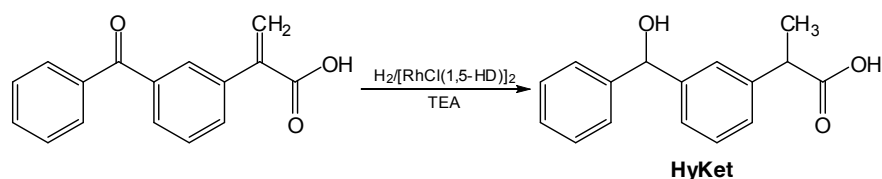


**Shema 17.** Sintezu MeKet iz (3-etilfenil)fenilmetana.

Hamon i suradnici prikazali su novu metodu sinteze racemata i (*S*)-enantiomera ketoprofena i ibuprofena, te su tu istu metodu primijenili i na sintezu MeKet.<sup>78,79</sup> Reakcijski put uključuje kombinaciju Sharplessove epoksidacije i stereoselektivne katalitičke hidrogenolize veze ugljik-kisik uvedenog benzilnog epoksida, čime nastaje stereogeni centar. Slijedi oksidacija dobivenog diola pri čemu se uvodi željena funkcionalna skupina. Dioli također podliježu elektrofilnoj supstituciji s jodovim monokloridom te nastaju odgovarajući jododioli. Oksidacija (rutenijev triklorid, natrijev perjodat) tih diola rezultira optički aktivnim jodokiselinama koje su prikladni supstrati za paladijem katalizirane reakcije kondenzacije s različitim organocinkovim reagensima.<sup>78,79</sup>

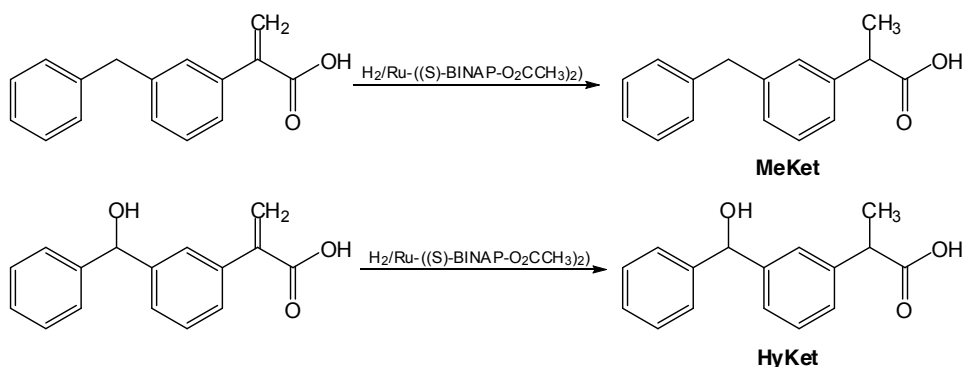


Comisso i suradnici opisali su dobivanje MeKet iz ketoprofena Wolff-Kishnerovom redukcijom (hidrazin hidrat i kalijev hidroksid u dietilenglikolu), te su dobivene enantiomere razdvojili kristalizacijom dijistereomernih soli s (–)- $\alpha$ -feniletilaminom.<sup>80</sup> Isti autori prikazali su sintezu racemičnog HyKet katalitičkim hidrogeniranjem 2-(3-benzoilfenil)propenske kiseline uz katalizator  $[\text{RhCl}(\text{1,5-HD})]_2$  (HD = heksadien, 0,025 ekvivalenata katalizatora).<sup>81</sup> Reakcija se zbivala u prisustvu TEA (1,26 ekvivalenata), u smjesi otapala benzen/etanol 1:1 (Shema 18). Tijekom reakcije dolazi do odlaganja elementarnog rodija. Iskorištenje reakcije nije dano.



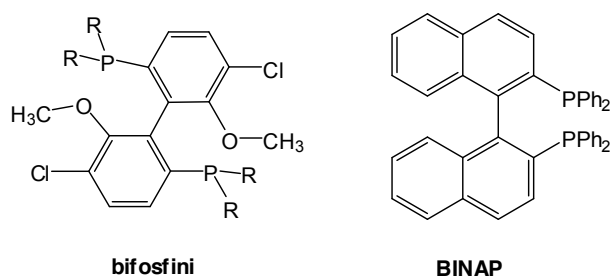
**Shema 18.** Sinteza HyKet katalitičkim hidrogeniranjem uz  $[\text{RhCl}(\text{1,5-HD})]_2$ .

U patentu US 5362907 prikazana je sinteza MeKet i HyKet iz analognih propenskih kiselina (Shema 19). Katalitičko hidrogeniranje provedeno je u autoklavu pod tlakom vodika od 100 atm, uz  $\text{Ru}-((S)\text{-BINAP-O}_2\text{CCH}_3)_2$  kao katalizator (Slika 3), u metanolu i na sobnoj temperaturi tijekom 48 h. Na ovaj način dobiveni su *S*-enantiomeri željenih spojeva, u visokim iskorištenjima (preko 90%) i velike enantiomerne čistoće (preko 80%).<sup>82</sup>



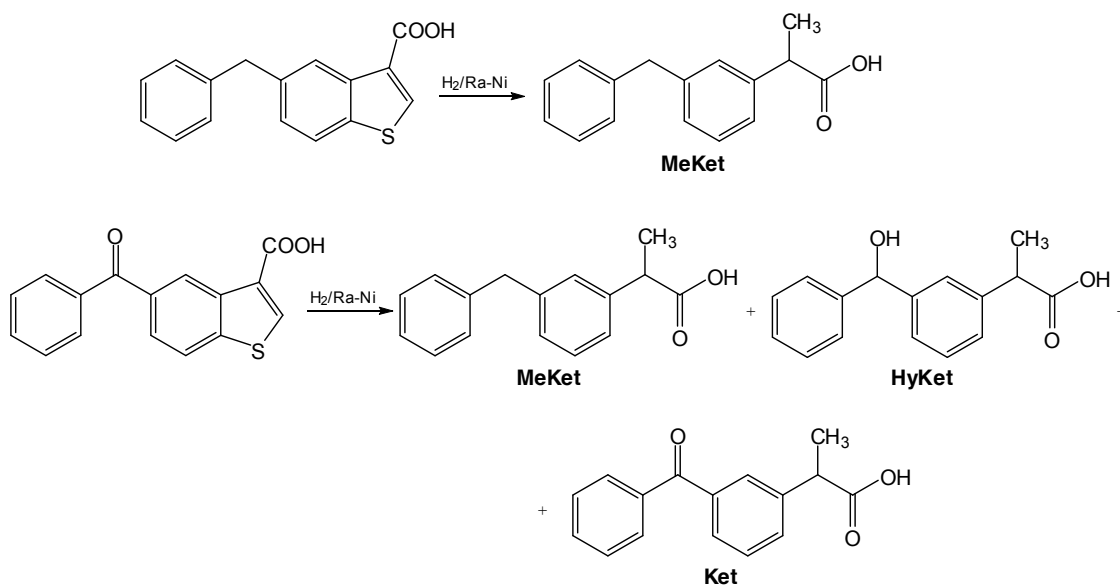
**Shema 19.** Sinteza MeKet i HyKet katalitičkim hidrogeniranjem uz  $\text{Ru}-((S)\text{-BINAP-O}_2\text{CCH}_3)_2$ .

Patent US 5710339 opisuje bifosfine opće formule prikazane na Slici 3. Enantiomerno su čisti, te se njihovi metalni kompleksi koriste za asimetrično hidrogeniranje. Jedan od primjera je i redukcija 2-(3-benzilfenil)propenske kiseline u MeKet, koja se provodi pod tlakom vodika od 90 atm, u metanolu i na sobnoj temperaturi. Iskorištenje reakcije je kvantitativno, a enantiomerna čistoća 88% (prevladava *S*-enantiomer).<sup>83</sup>



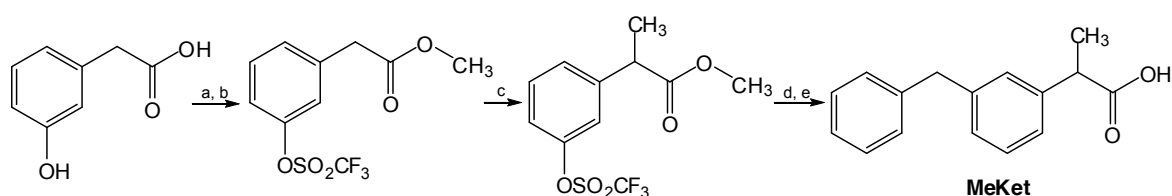
**Slika 3.** Opća formula bifosfina i struktura BINAP-a.

Hannoun i suradnici prikazali su dobivanje MeKet i HyKet postupkom desulfuriranja (Shema 20).<sup>84</sup> Sinteza MeKet iz 5-benzilbenzo[*b*]tiofen-3-karboksilne kiseline uz Ra-Ni u smjesi otopine natrijevog hidroksida ( $w = 5\%$ ) i etanola (1,5:1) napreduje bez poteškoća, te je željeni produkt dobiven u visokom iskorištenju (preko 90%). Izvođenjem iste reakcije s 5-benzoilbenzo[*b*]tiofen-3-karboksilnom kiselinom dobivena je smjesa ketoprofena, MeKet i HyKet. Hidrogeniranje uz deaktivirani Ra-Ni (refluksiranje tijekom nekoliko sati u acetonu), rezultiralo je isključivo ketoprofenom i spojem HyKet, koji su dobiveni u omjeru 2:3. Također je prikazana i sinteza obje ishodne benzo[*b*]tiofen-3-karboksilne kiseline.



**Shema 20.** Sinteza MeKet i HyKet reakcijom desulfuriranja uz Ra-Ni.

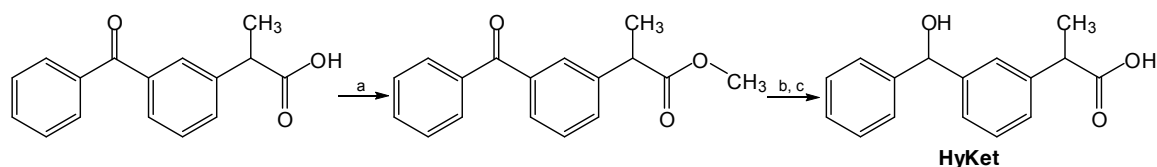
Allegretti i suradnici opisali su dobivanje MeKet i HyKet iz (3-hidroksifenil)octene kiseline. Početna kiselina prvo se prevodi u metilni ester, koji stupa u reakciju s trifluormetansulfonanhidridom te nastaje metil 2-(4-(trifluormetansulfoniloksi)fenil)propanoat. Iduća reakcija je alkiliranje dobivenog estera s metil-jodidom, nakon čega slijedi reakcija s benzil-cink-bromidom i lužnata hidroliza dobivenog estera (Shema 21).<sup>85</sup>



Reakcijski uvjeti: (a) konc. H<sub>2</sub>SO<sub>4</sub>, MeOH, sobna temperatura; (b) *i*-Pr<sub>2</sub>EtN, (CF<sub>3</sub>SO<sub>2</sub>)<sub>2</sub>O, CH<sub>2</sub>Cl<sub>2</sub>, -15 °C; (c) 60% NaH, CH<sub>3</sub>I, THF, -25 °C; (d) PhCH<sub>2</sub>ZnBr, LiCl, Pd(PPh<sub>3</sub>)<sub>4</sub>, THF, refluks; (e) KOH, MeOH, sobna temperatura.

**Shema 21.** Sinteza MeKet iz (3-hidroksifenil)octene kiseline.

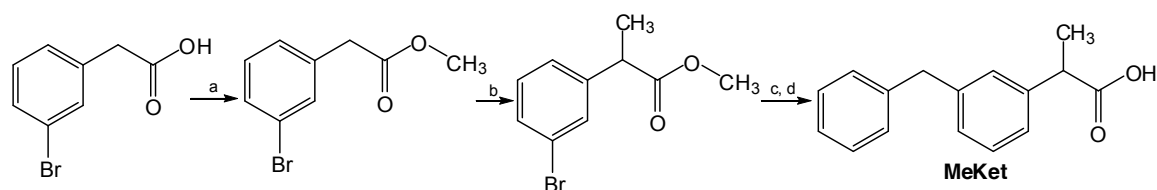
HyKet sintetiziran je iz metilnog estera ketoprofena katalitičkim hidrogeniranjem uz 10%-tni Pd/C:TEA 1:1 (u odnosu na Pd, *m/m*). Nakon izolacije, reducirani ester podvrgnut je lužnatoj hidrolizi te je dobiven HyKet. Ukupno iskorištenje nakon dva koraka bilo je 75% (Shema 22).<sup>85</sup>



Reakcijski uvjeti: (a) konc.  $\text{H}_2\text{SO}_4$ , MeOH, sobna temperatura; (b)  $\text{H}_2$ , Pd/C:TEA 1:1, EtOH; (c) KOH, MeOH, sobna temperatura.

**Shema 22.** Sinteza HyKet iz ketoprofena uz Pd/C:TEA 1:1.

Patent WO 2003043625 istih autora opisuje slične sinteze MeKet i HyKet. Polazni spoj za sintezu MeKet bila je (3-bromfenil)octena kiselina. Nakon prevođenja u odgovarajući metilni ester, alkilirana je na položaju 2 uz litijev diizopropilamid (LDA) koji se generira *in situ* iz *i*-Pr<sub>2</sub>EtN i *n*-BuLi. Slijedi reakcija s benzil-cink-bromidom te lužnata hidroliza dobivenog estera (Shema 23).<sup>86</sup>



Reakcijski uvjeti: (a) konc.  $\text{H}_2\text{SO}_4$ , MeOH, sobna temperatura; (b) *i*-Pr<sub>2</sub>EtN, *n*-BuLi,  $\text{CH}_3\text{I}$ , THF;  $-4\text{ }^\circ\text{C}$  do sobne temperature; (c)  $\text{PhCH}_2\text{ZnBr}$ , Pd(PPh<sub>3</sub>)<sub>4</sub>, THF, refluks; (d) NaOH, MeOH, sobna temperatura.

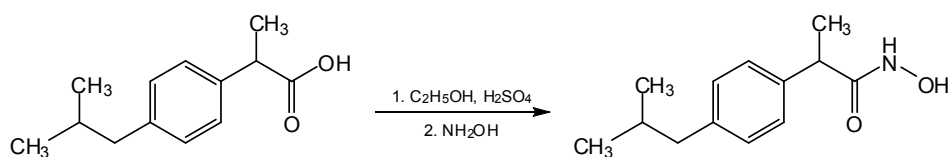
**Shema 23.** Sinteza MeKet iz (3-bromfenil)octene kiseline.

Katalitičkim hidrogeniranjem ketoprofena uz 5%-tni Pd/C i TEA (TEA je bio prisutan u velikom suvišku) u etanolu, dobiven je HyKet u 85% iskorištenju.<sup>86</sup>

### 3.3. SINTEZA NSAID HIDROKSAMSKIH KISELINA I NJIHOVIH DERIVATA

#### 3.3.1. SINTEZA IBUPROFEN HIDROKSAMSKE KISELINE I SRODNIH SPOJEVA

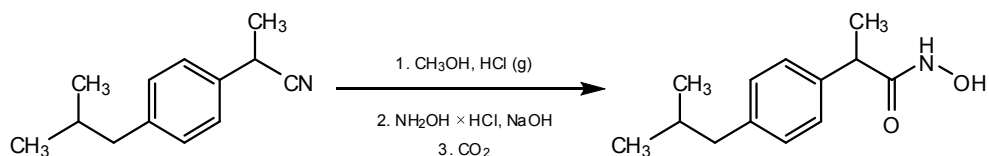
U prvoj patentnoj prijavi opisana je sinteza ibuprofen hidroksamske kiseline (ibuproksama) iz estera ibuprofena i hidroksilamina (Shema 24).<sup>1,87</sup> U prvom reakcijskom koraku karboksilna skupina ibuprofena esterificirana je etanolom (refluks 4 h, u prisutnosti koncentrirane sumporne kiseline). Dobiveni ester preveden je pomoću hidroksilamina u ibuproksam (refluks 15 min).



**Shema 24.** Sinteza ibuproksama iz estera ibuprofena i hidroksilamina.

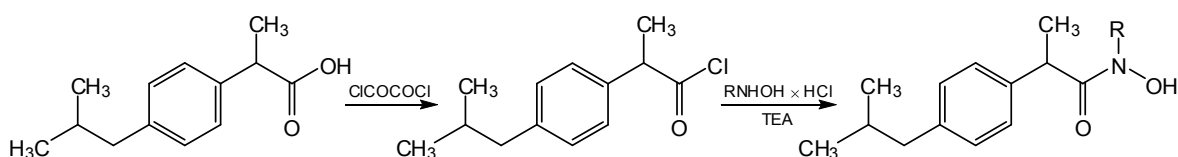
Hidroksilamin je oslobođen iz hidroklorida na dva načina: (i) otopini hidroklorida hidroksilamina u apsolutnom metanolu dodana je otopina natrijevog metoksida dobivenog iz elementarnog natrija i metanola. Istaloženi natrijev klorid je odsisan, a matičnica s otopljenim hidroksilaminom odmah upotrebljena u daljnjoj reakciji; (ii) otopini hidroklorida hidroksilamina u mezanolu dodana je otopina kalijevog hidroksida u metanolu na 0 °C. Istaloženi kalijev klorid odsisan je od otopine hidroksilamina.

U drugom patentu sinteza ibuproksama polazi iz odgovarajućeg nitrila.<sup>9</sup> U prvom reakcijskom koraku otopina nitrila u apsolutnom metanolu zasićena je suhim klorovodikom (3 dana, sobna temperatura), a u drugom je dodana smjesa hidroklorida hidroksilamina, metanola i otopine natrijevog hidroksida ( $w = 50\%$ ) na temperaturi < 10 °C tijekom 48 h. Produkt je iz reakcijske smjese istaložen uvođenjem ugljikovog(IV) oksida (Shema 25).



**Shema 25.** Sinteza ibuproksama iz odgovarajućeg nitrila.

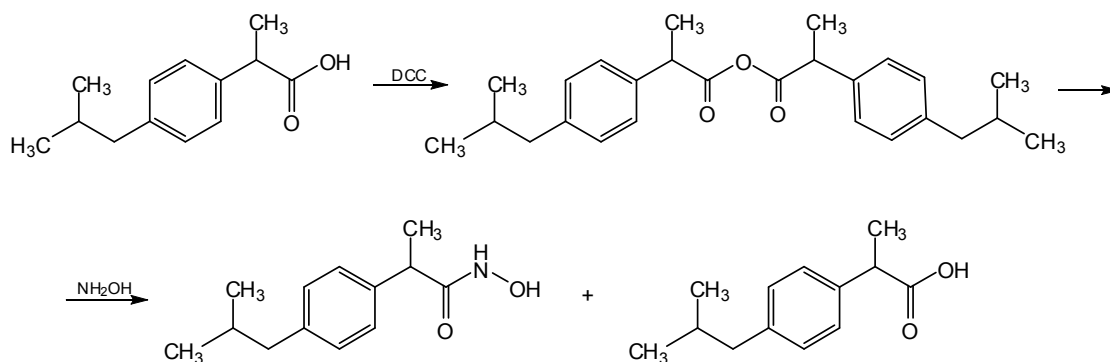
U publikaciji Summersa i suradnika opisana je sinteza serije hidroksamskih kiselina, derivata ibuprofena.<sup>88</sup> Početna kiselina je pomoću oksalil-klorida u dimetilformamidu prevedena u kiselinski klorid koji je bez daljnjeg čišćenja upotrebljen u reakciji s odgovarajućim hidroksilaminom (Shema 26, R = H, CH<sub>3</sub>, CH(CH<sub>3</sub>)<sub>2</sub>, C<sub>6</sub>H<sub>5</sub>).



**Shema 26.** Sinteza ibuproksama i derivata preko oksalil-klorida.

Sintezu ibuproksama preko kiselinskog klorida opisali su i Allegretti i suradnici, međutim oni su kao reagens umjesto oksalil-klorida koristili tionil-klorid.<sup>85</sup>

Ibuprofen hidroksamsku kiselinu moguće je sintetizirati i iz anhidrida ibuprofena (nastaje u reakciji s DCC-om) i hidroksilamina (Shema 27).<sup>89</sup>



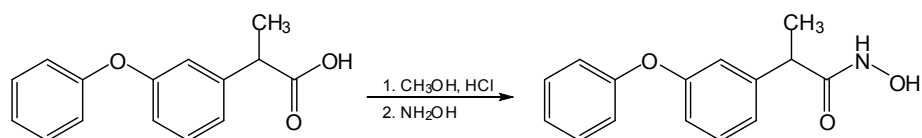
**Shema 27.** Sinteza ibuprofen hidroksamske kiseline iz anhidrida ibuprofena.

Ibuprofen hidroksamska kiselina također je sintetizirana izravno iz ibuprofena, u reakciji kataliziranoj lipazom iz gljivice *Candida rugosa* stabiliziranom u obliku poprečno povezanih kristala, pri čemu iz racemičnog ibuprofena nastaje (*S*)-ibuprofen hidroksamska kiselina.<sup>90</sup>

*O*-metilni derivat ibuprofen hidroksamske kiseline sintetiziran je iz ibuprofena, prevođenjem u kiselinski klorid pomoću tionil-klorida<sup>85</sup> ili oksalil-klorida,<sup>88</sup> te reakcijom s *O*-metilhidroksilaminom.

### 3.3.2. SINTEZA FENOPROFEN HIDROKSAMSKE KISELINE

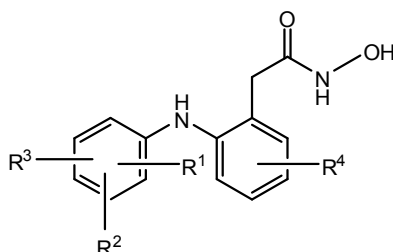
U patentu FR 2015728 opisana je sinteza fenoprofen hidroksamske kiseline iz estera fenoprofena i hidroksilamina (Shema 28).<sup>91</sup> U prvom reakcijskom koraku metanolna otopina fenoprofena zasićena je suhim klorovodikom, a potom refluksirana 12 h. Nakon izolacije, dobiveni metilni ester preveden je u odgovarajuću hidroksamsku kiselinu reakcijom s hidroksilaminom (0,5 h na sobnoj temperaturi, potom 1,5 h refluks). Hidroksilamin je oslobođen iz hidroklorida pomoću natrijevog metoksida u metanolu.



**Shema 28.** Sinteza fenoprofen hidroksamske kiseline.

## 3.3.3. SINTEZA DIKLOFENAK HIDROKSAMSKE KISELINE I SRODNIH SPOJEVA

Patent DE 2144641 opisuje sintezu hidroksamskih kiselina opće formule prikazane na Slici 4.



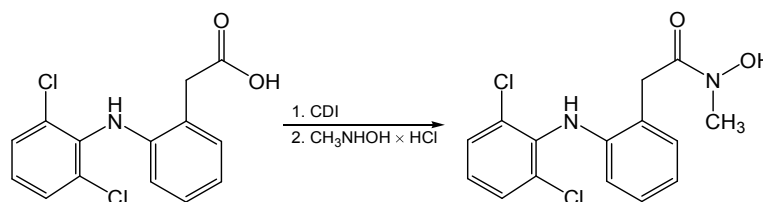
**Slika 4.** Opća formula hidroksamskih kiselina iz patenta DE 2144641.

U njoj  $R^1$ ,  $R^3$  i  $R^4$  mogu biti atom vodika, niži alkili, niži alkoksidi i atomi halogena (Cl, F ili Br), a  $R^2$  atom vodika, niži alkili, niži alkoksidi, atomi halogena (Cl, F ili Br) ili trifluormetilna skupina.<sup>92</sup> Sinteza polazi iz odgovarajućeg estera ili amida i hidroksilamina (oslobođen je iz hidroklorida pomoću natrijevog metoksida u metanolu). Kao esteri su pogodni niži esteri (metil, etil) ili aktivirani esteri kao što su *p*-nitrobenzil, etoksikarbonilmetil, metoksimetil, *p*-nitrotiofenil, a naročito cijanometil i *p*-nitrofenil. Najpovoljniji amid je amid bez supstituenata na dušikovom atomu.

Dani su eksperimentalni podaci za sintezu sljedećih hidroksamskih kiselina:

((*o*-2,6-dikloranilino)fenil)acethidroksamsku kiselinu (diklofenak hidroksamska kiselina), ((*o*-2,6-diklor-*m*-toluidino)fenil)acethidroksamsku kiselinu, ((*o*-6-klor-*o*-toluidino)fenil)-acethidroksamsku kiselinu, ((*o*-2,6-ksilidino)fenil)acethidroksamsku kiselinu i ((*o*-3-klor-*o*-toluidino)fenil)acethidroksamsku kiselinu.

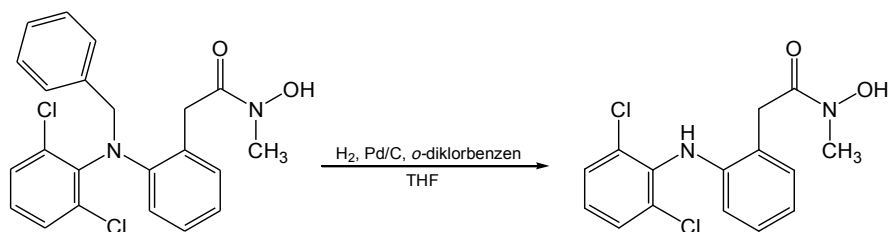
Sinteza i farmakološko djelovanje diklofenak *N*-metilhidroksamske kiseline opisani su u dva patenta.<sup>7,93</sup> U oba patenta karboksilna skupina diklofenaka aktivirana je pomoću CDI-a (Shema 29).



**Shema 29.** Sinteza diklofenak *N*-metilhidroksamske kiseline aktivacijom karboksilne skupine pomoću CDI-a.



Diklofenak *N*-metilhidroksamska kiselina može se dobiti katalitičkim hidrogeniranjem *N*-hidroksi-2-(2-(2,6-diklorfenil)-*N*-benzilamino)fenil)-*N*-metilacetamida uz Pd/C i dodatak *o*-diklorbenzena u tetrahidrofuranu (Shema 30).<sup>93</sup>



**Shema 30.** Sinteza diklofenak *N*-metilhidroksamske kiseline katalitičkim hidrogeniranjem.

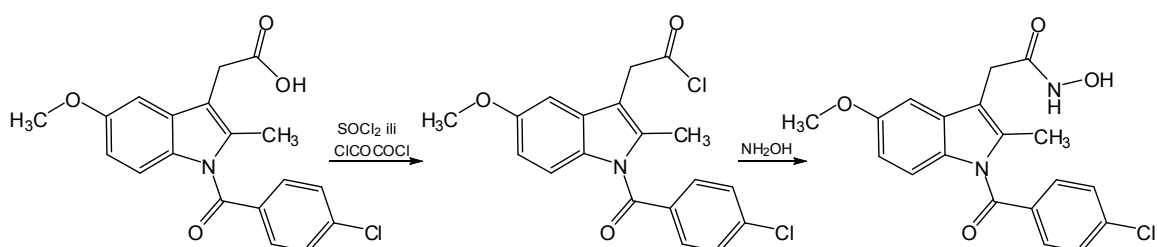
U istom patentu opisana je i treća sintetska metoda. Diklofenak *N*-metilhidroksamska kiselina sintetizirana je iz odgovarajućeg estera (metilnog, *p*-nitrofenilnog, cijanometilnog i sukcinimidnog estera) reakcijom s hidrokloridom *N*-metilhidroksilamina u prisustvu TEA.<sup>93</sup>

*O*-metilni derivat diklofenak hidroksamske kiseline dobiven je na analogan način kao i diklofenak *N*-metilhidroksamska kiselina.<sup>7</sup>

## 3.3.4. SINTEZA INDOMETACIN HIDROKSAMSKKE KISELINE I SRODNIH SPOJEVA

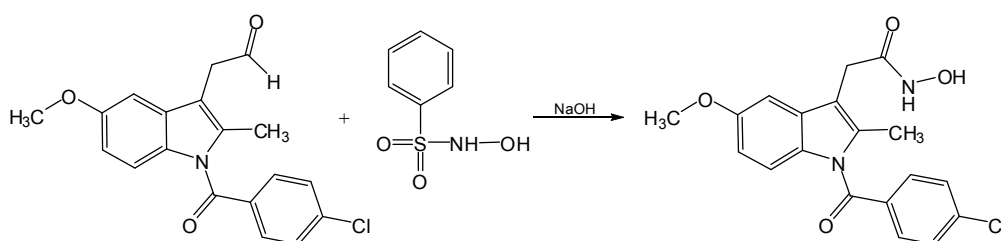
U prvom patentu indometacin hidroksamska kiselina (oksametacin) sintetizirana je iz odgovarajućeg metilnog estera i hidrosilamina oslobođenog iz hidroklorida pomoću natrijevog metoksida.<sup>94</sup>

Najčešća metoda sinteze oksametacina je iz kiselinskog klorida indometacina reakcijom s hidrosilaminom (Shema 31). Kiselinski klorid može se dobiti reakcijom s tionil-kloridom<sup>45,47,95</sup> ili oksalil-kloridom.<sup>89,96</sup> Hidrosilamin se oslobađa iz hidroklorida pomoću natrijevog hidroksida,<sup>45,95</sup> kalijevog karbonata,<sup>47</sup> 4-dimetilaminopiridina (DMAP)<sup>96</sup> ili TEA<sup>88</sup>.



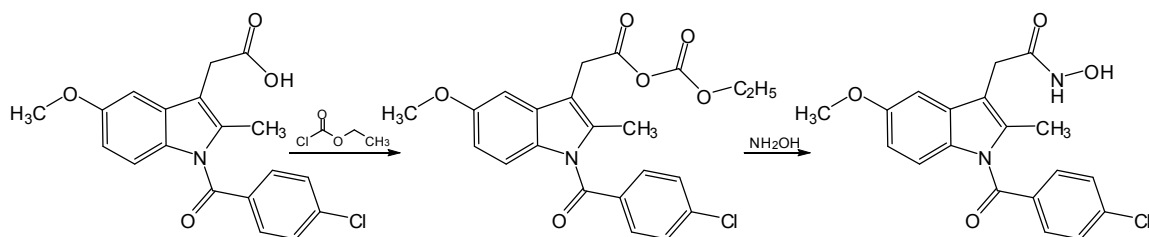
**Shema 31.** Sintaza oksametacina iz kiselinskog klorida indometacina.

U patentu DE 2708646 opisan je postupak sinteze oksametacina iz 1-*p*-klorobenzoil-2-metil-5-metoksi-3-indolacetaldehida i *N*-hidrosibenzensulfonamida u molarnom omjeru 1:2 (Shema 32).<sup>97</sup>



**Shema 32.** Sintaza oksametacina iz odgovarajućeg aldehida.

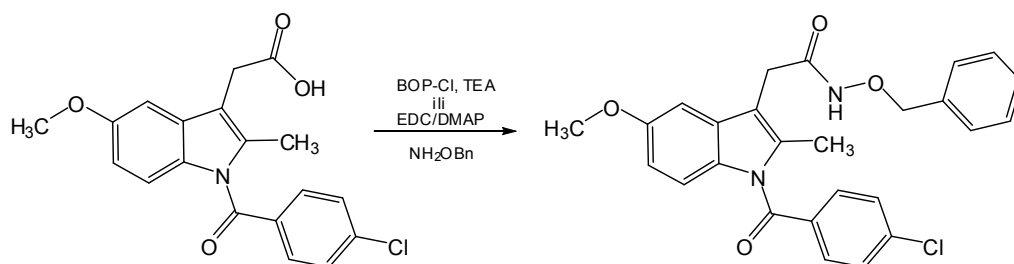
Poboljšana metoda sinteze oksametacina opisuje reakciju indometacina s alkil halokarbonatom, pri čemu nastaje odgovarajući mješoviti anhidrid koji reagira s hidrosilaminom (Shema 33).<sup>98</sup>



**Shema 33.** Sinteza indometacin hidroksamske kiseline iz mješovitog anhidrida.

*O*-metilni derivat oksametacina sintetiziran je preko odgovarajućeg kiselinskog klorida (nastaje u reakciji s oksalil-kloridom), koji je bez daljnjeg čišćenja upotrebljen za reakciju s *O*-metilhidroksilaminom, analogno sintezi oksametacina.<sup>7,88</sup>

*O*-benzilni derivat oksametacina sintetiziran je iz indometacina pomoću bis(2-okso-3-oksazolidinil)fosfonil klorida (BOP-Cl-a) ili hidroklorida 1-etil-3-(3-dimetilaminopropil)karbodiimida (EDC-a) kao aktivatora karboksilne kiseline (Shema 34).<sup>96,99</sup> U oba slučaja dobiveno je slabo iskorištenje (37–38%).



**Shema 34.** Sinteza *O*-benzilnog derivata oksametacina.

### 3.4. SINTEZA AMIDA KETOPROFENA

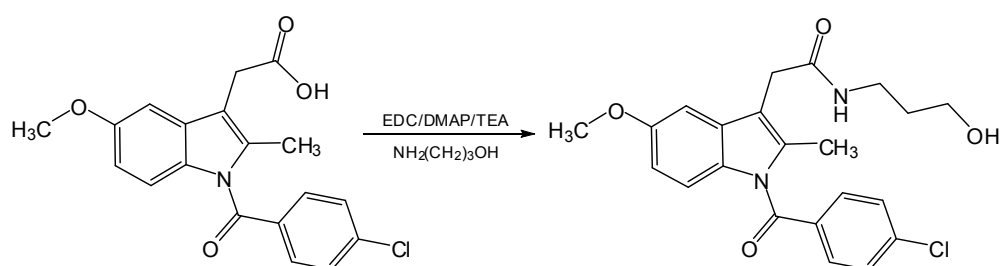
Na Zavodu za farmaceutsku kemiju opisana je sinteza amida ketoprofena benzotriazolskom metodom, koja je korištena i u ovom radu. Karboksilna skupina ketoprofena aktivira se pomoću klorida 1-benzotriazolkarboksilne kiseline, a nastali benzotriazolid u idućem koraku reagira s različitim aminima.<sup>58</sup> Reakcija s lipofilnim aminima provodi se uz 5 ekvivalenata amina, u toluenu i na sobnoj temperaturi.

Reakcija s hidrofilnim bifunkcionalnim aminima (2-hidroksietilamin, 3-hidroksipropilamin, dietanolamin) provedena je u acetonitrilu. Reakcija je izvedena na nižoj temperaturi (10 °C) dodatkom otopine benzotriazolida suvišku hidroksilamina. Amino skupina je snažniji nukleofil od hidroksilne skupine, reagira prva te ne dolazi do nastanka estera.<sup>58</sup>

### 3.5. SINTEZA 3-HIDROKSIPROPILAMIDA NSAID

3-Hidroksipropilamidi fenoprofena i ketoprofena sintetizirani su benzotriazolskom metodom na Zavodu za farmaceutsku kemiju.<sup>58,59</sup>

3-Hidroksipropilamid indometacina sintetiziran je iz indometacina, aktiviranjem njegove karboksilne skupine pomoću EDC-a (Shema 35).<sup>96,100</sup>



**Shema 35.** Sinteza 3-hidroksipropilamida indometacina.



## **4. MATERIJALI I METODE**



## 4.1. SINTEZE

### 4.1.1. MATERIJALI I INSTRUMENTI

Tališta ( $t_r$ ) su određena na Stuart SMP3 instrumentu za određivanje tališta (Barloworld Scientific, UK) i nisu korigirana. Iskorištenja nisu optimirana. CHN analiza je izvršena na CHN-LECO-932 instrumentu za elementarnu analizu (LECO Corporation, USA) te su sve elementarne analize bile unutar 0,4%.

Za tankoslojnu kromatografiju upotrebene su silikagel ploče 60 F<sub>254</sub> (Kemika, Hrvatska), te cikloheksan/etil-acetat/metanol (3:1:0,5), kloroform/metanol (95:5 i 9:1), cikloheksan/etil-acetat (1:1) i etil-acetat kao pokretna faza. Za kromatografiju na koloni kao nepokretna faza korišten je silikagel veličine čestica 0,063–0,200 nm (Merck, Njemačka), a cikloheksan/etil-acetat/metanol (3:1:0,5 i 3:1:0,6), kloroform/metanol (93:7 i 95:5), diklormetan/metanol (93:7), petroleter/etil-acetat (3:1 i 1:1), cikloheksan/etil-acetat (4:1, 3:1, 2:1 i 1:1), etil-acetat→etil-acetat/metanol (8:1) i etil-acetat kao pokretne faze. Analizirani spojevi detektirani su UV zračenjem ( $\lambda = 254$  nm), parama joda i otopinom željezovog(III) klorida ( $w = 1\%$ ).

IR spektri snimljeni su na Paragon FT-IR spektrofotometru (Perkin Elmer, UK). Jedno- i dvodimenzijski homo- i heteronuklearni NMR spektri snimljeni su Bruker AV-600 spektrometrom (Bruker, USA) kod 600,13 ili 300,13 MHz za <sup>1</sup>H, odnosno kod 150,917 ili 75,47 MHz za <sup>13</sup>C jezgru. Uzorci su mjereni u DMSO-*d*<sub>6</sub> otopinama kod 27 °C u NMR cjevčicama od 5 mm. Kemijski pomaci dani su u ppm u odnosu na tetrametilsilan (TMS) kao unutarnji standard. FID rezolucija u <sup>1</sup>H NMR i <sup>13</sup>C NMR spektrima bila je 0,29 Hz i 0,54 Hz po točki. Korištene su sljedeće mjerne tehnike i metode: standardni <sup>1</sup>H, <sup>13</sup>C, COSY (Correlation Spectroscopy), NOESY (Nuclear Overhauser Effect Spectroscopy), HMQC (Heteronuclear Multiple Quantum Correlation) i HMBC (Heteronuclear Multiple Bond Correlation).

Standardni gradijentni <sup>1</sup>H-<sup>1</sup>H COSY spektar snimljen je s 2K točaka u F2 dimenziji i 512 prirasta u F1 dimenziji uz 1024 točke nultog punjenja u F1. Po prirastu su napravljena 4 pulsa na 8012 Hz spektralne širine i vrijeme kašnjenja od 1 s. FID rezolucija je bila 3,91 Hz/točki i 15,65 Hz/točki u F2, odnosno F1 dimenziji.

Standardni <sup>1</sup>H-<sup>1</sup>H fazno-osjetljivi NOESY spektri snimljeni su s 2K točaka u F2 dimenziji i 512 prirasta u F1 dimenziji uz 1024 točke nultog punjenja u F1. Po prirastu je napravljeno 16 pulseva na 6127 Hz spektralne širine i vrijeme kašnjenja od 1 s. Vrijeme



miješanja je bilo 0,5 s. Dobivena FID rezolucija bila je 2,99 Hz/točki i 11,96 Hz/točki u F2, odnosno F1 dimenziji.

$^1\text{H}$ - $^{13}\text{C}$  HMQC ( $^1J_{\text{C,H}}$  postavljena je na 145 Hz) spektri su snimljeni s 1K točaka u F2 dimenziji i 256 prirasta u F1 dimenziji uz 1024 točke nultog punjenja u F1. Za svaki prirast primijenjeno je 32 pulsa, a vrijeme relaksacije bilo je 1 s. Spektralne širine bile su 6070 Hz u F2 i 25000 Hz u F1, a rezolucija 2,96 i 97,65 Hz/točki u F2, odnosno u F1 dimenziji.

$^1\text{H}$ - $^{13}\text{C}$  HMBC spektar snimljen je s 1K točaka u F2 dimenziji i 256 prirasta u F1 dimenziji uz 1024 točke nultog punjenja u F1. Za svaki prirast primijenjeno je 32 pulsa. Spektralne širine bile su 8012 Hz u F2 i 33560 Hz u F1. Vrijeme relaksacije bilo je 1 s, a dodatno vrijeme od 0,065 s korišteno je za detekciju C,H sprega dugog dosega. FID rezolucija bila je 3,91 i 131,08 Hz/točki u F2, odnosno F1 dimenziji. 2D NMR spektri, osim NOESY spektara, izmjereni su u pulsnom gradijentu (z-gradijent).

Benzotriazol (BtH), trifozgen, *N*-metilhidroksilamin hidroklorid, *O*-metilhidroksilamin hidroklorid, *O*-benzilhidroksilamin hidroklorid, ciklopentilamin, cikloheksilamin, cikloheksanmetilamin, benzilamin, feniletilamin, benzhidrilamin, 2-hidroksietilamin, 3-hidroksipropilamin, dietanolamin, etilendiamin i 10%-tni Pd/C nabavljeni su od tvrtke Aldrich (Njemačka), hidroksilamin hidroklorid od Carlo Erba (Italija), *O*-etilhidroksilamin hidroklorid od Fluke (Njemačka), TEA od Sigmee (USA), L-valin, L-leucin, L-fenilalanin i natrijev ditionit od Kemike (Hrvatska). D-fenilglicin i NSAID (diklofenak, ketoprofen, fenoprofen, ibuprofen i indometacin) dobiveni su susretljivošću tvornica lijekova Pliva i Belupo (Hrvatska) i Sveučilišta u Potchefstroomu (Južnoafrička republika).

U eksperimentalnom dijelu korištena su bezvodna otapala. Bezvodni toluen dobiven je sljedećim postupkom: toluen je ekstrahiran vodom, zatim je osušen nad bezvodnim kalcijevim kloridom, destilirani i čuvan nad elementarnim natrijem. Bezvodni eter priređen je na sljedeći način: eter je ekstrahiran 3 puta otopinom kalcijevog klorida ( $w = 10\%$ ), 1 put otopinom sumporne kiseline ( $w = 5\%$ ), 1 put vodom, 1 put otopinom natrijevog karbonata ( $w = 5\%$ ) i 1 put otopinom željezovog(II) sulfata ( $w = 5\%$ ). Nakon toga eter je opran do neutralnog pH, sušen nad bezvodnim kalcijevim kloridom 24 h, predestilirani i čuvan nad elementarnim natrijem. Bezvodni dioksan: dioksan je refluksiran 24 h nad elementarnim natrijem, predestilirani i čuvan nad elementarnim natrijem.

Sve ostale kemikalije bile su *p. a.* čistoće.

4.1.2. SINTEZA KLORIDA 1-BENZOTRIAZOLKARBOKSILNE KISELINE (**1**)

Otopina BtH (1,191 g, 10 mmol) i trifozgena (2,523 g, 8,5 mmol) u bezvodnom toluenu (20 mL) refluksirana je 3 h. Reakcijska smjesa uparena je pod sniženim tlakom i nekoliko puta naparena toluenom. Dobiveni klorid 1-benzotriazolkarboksilne kiseline (BtcCl, **1**) upotrebljen je u daljnjim reakcijama bez čišćenja.

4.1.3. SINTEZA *N*-(1-BENZOTRIAZOLKARBONIL)AMINOKISELINA **2a-d**

**Opća metoda.** Suspenziji odgovarajuće aminokiseline (20 mmol) u bezvodnom dioksanu (40 mL) uz miješanje je dokapana otopina BtcCl (**1**) (1,810 g, 10 mmol) u bezvodnom dioksanu (10 mL) tijekom 0,25 h. Nakon dokapavanja reakcijska smjesa miješana je 24 h na sobnoj temperaturi. Talog hidroklorida aminokiseline je odsisan, a otapalo upareno pod sniženim tlakom. Dobivena sirova *N*-(1-benzotriazolkarbonil)aminokiselina **2a-d** kristalizira obradom sa smjesom etera i petroletera. Produkt je zatim ispran vrućim toluenom (**2a**) ili prekrizaliziran iz toluena (**2c**). IR spektri i tališta spojeva **2a-d** u potpunosti odgovaraju ranije sintetiziranim spojevima.<sup>101</sup>

4.1.4. SINTEZA KLORIDA *N*-(1-BENZOTRIAZOLKARBONIL)AMINOKISELINA **3a-d**

**Opća metoda.** Otopina odgovarajuće *N*-(1-benzotriazolkarbonil)aminokiseline **2a-d** (4 mmol) u tionil-kloridu (20 mL) miješana je na sobnoj temperaturi 24 h. Tionil-klorid uparen je pod sniženim tlakom, a dobiveni ostatak nekoliko puta naparen bezvodnim toluenom. Dobiveni kloridi **3a-d** upotrebljeni su u daljnjim reakcijama bez čišćenja.

#### 4.1.5. SINTEZA AMIDA *N*-(1-BENZOTRIAZOLKARBONIL)AMINOKISELINA **4a-h**

**Opća metoda.** U otopinu odgovarajućeg klorida *N*-(1-benzotriazolkarbonil)aminokiseline **3a-d** (4 mmol) u bezvodnom toluenu (40 mL) dokapana je otopina odgovarajućeg amina (4 mmol) i TEA (0,558 mL, 4 mmol) u toluenu (30 mL) na 0 °C. Reakcijska smjesa miješana je 24 h na sobnoj temperaturi. Istaloženi TEA hidroklorid je odsisan, a matičnica ekstrahirana vodom (3×70 mL), kloridnom kiselinom ( $w = 1\%$ , 3×70 mL) i vodom do neutralnog pH, a zatim osušena nad bezvodnim natrijevim sulfatom. Nakon uparavanja otapala pod sniženim tlakom dobiven je sirovi produkt koji kristalizira. Produkti **4a-h** prekrizalizirani su iz odgovarajućeg otapala.<sup>3</sup> IR spektri i tališta spojeva **4b-h** u potpunosti odgovaraju ranije sintetiziranim spojevima,<sup>3</sup> a za spoj **4a** navedeni su na kraju opisa za pripravu **4a**.

##### 4.1.5.1. *N*-Btc-L-valin benzhidrilamid (**4a**)

Količina reaktanata: 1,122 g spoja **3a**, 0,690 mL benzhidrilamina. Nakon završetka reakcije, talog, koji sadrži produkt **4a** i TEA hidroklorid, odsisan je i otopljen u smjesi diklormetana i vode (1:1, 40 mL). Organski sloj ekstrahiran je kloridnom kiselinom ( $w = 1\%$ , 3×40 mL) i vodom (3×40 mL), osušen nad bezvodnim natrijevim sulfatom i uparen pod sniženim tlakom.

Sirovi produkt **4a** pročišćen je rastrljavanjem eterom.

Iskorištenje: 0,205 g (48%).

$t_f$  155–160 °C.

IR (KBr):  $\nu_{\max}$  3288, 3111, 3063, 2966, 1713, 1650, 1556, 1524, 1449, 1232, 1077, 760, 698  $\text{cm}^{-1}$ .

$^1\text{H}$  NMR (DMSO- $d_6$ ,  $\delta$  ppm,  $J/\text{Hz}$ ): 9,19 (d, 1H, 3,  $J = 8,42$ ), 8,68 (d, 1H, 1",  $J = 8,53$ ), 8,25–7,14 (m, 14H, arom.), 6,20 (d, 1H, 2",  $J = 8,54$ ), 4,49 (d, 1H, 2,  $J = 7,89$ ), 2,34–2,23 (m, 1H, 5), 0,96–0,70 (m, 6H, 6, 7).

$^{13}\text{C}$  NMR (DMSO- $d_6$ ,  $\delta$  ppm): 169,29 (1), 148,59 (4), 145,45, 142,00, 131,17 (1', 6', 3", 9"), 130,08, 128,30, 128,15, 127,24, 127,15, 126,99, 125,61, 119,82, 113,37 (2'–5', 4"–8", 10"–14"), 63,90 (2), 56,04 (2") 30,77 (5), 19,17 (6), 18,20 (7).

4.1.6. SINTEZA 3,5-DISUPSTITUIRANIH HIDANTOINA **5a-h**

**Opća metoda.** Otopini odgovarajućeg amida *N*-(1-benzotriazolkarbonil)aminokiseline **4a-h** (1 mmol) u acetonu (60 mL) dodana je vodena otopina natrijevog karbonata ( $w = 5\%$ , 5 mL). Reakcijska smjesa miješana je 2 h na sobnoj temperaturi. Aceton je uparen pod sniženim tlakom, a produkti **5a-h** odsisani, prani vodom i prekrystalizirani iz smjese acetona i vode.

4.1.6.1. 3-Benzhidril-5-izopropil hidantoin (**5a**)

Količina reaktanta: 0,428 g spoja **4a**.

Iskorištenje: 0,265 g (86%).

Ulje.

IR (film):  $\nu_{\max}$  3249, 3063, 3030, 2963, 2930, 1772, 1711, 1496, 1450, 1417, 1347, 1176, 1116, 748, 697  $\text{cm}^{-1}$ .

$^1\text{H}$  NMR (DMSO- $d_6$ ,  $\delta$  ppm,  $J/\text{Hz}$ ): 8,40 (s, 1H, 1), 7,38–7,23 (m, 10H, arom.), 6,35 (s, 1H, 1'), 4,07 (d, 1H, 5,  $J = 3,33$ ), 2,08–1,97 (m, 1H, 6), 0,92 (d, 3H, 7,  $J = 6,92$ ), 0,71 (d, 3H, 8,  $J = 6,78$ ).

$^{13}\text{C}$  NMR (DMSO- $d_6$ ,  $\delta$  ppm): 173,63 (4), 156,87 (2), 138,63, 138,37 (2', 8'), 128,56, 128,37, 128,32, 128,22, 127,64, 127,53 (3'–7', 9'–13'), 61,06 (1'), 57,14 (5), 29,92 (6), 18,64 (7), 15,84 (8).

4.1.6.2. 3-Benzhidril-5-izobutil hidantoin (**5b**)

Količina reaktanta: 0,442 g spoja **4b**.

Iskorištenje: 0,284 g (88%).

$t_f$  139–141 °C.

IR (KBr):  $\nu_{\max}$  3265, 3110, 3069, 3032, 2956, 2930, 1773, 1711, 1496, 1450, 1422, 1373, 1320, 1175, 1113, 714, 699, 668  $\text{cm}^{-1}$ .

$^1\text{H}$  NMR (DMSO- $d_6$ ,  $\delta$  ppm,  $J/\text{Hz}$ ): 8,51 (s, 1H, 1), 7,38–7,22 (m, 10H, arom.), 6,34 (s, 1H, 1'), 4,18 (q, 1H, 5,  $J = 4,11$ ), 1,79–1,74 (m, 1H, 7), 1,56–1,36 (m, 2H, 6), 0,87 (2d, 6H, 8, 9,  $J = 4,09$ ).

$^{13}\text{C}$  NMR (DMSO- $d_6$ ,  $\delta$  ppm): 174,34 (4), 156,22 (2), 138,30, 138,21 (2', 8'), 128,15, 128,12, 127,33 (3'–7', 9'–13'), 56,85 (1'), 54,44 (5), 40,75 (6), 23,96 (7), 22,98 (8), 21,27 (9).

#### 4.1.6.3. 3-Cikloheksil-5-fenil hidantoin (5c)

Količina reaktanta: 0,377 g spoja **4c**.

Iskorištenje: 0,096 g (37%).

$t_{\text{f}}$  180–184 °C; lit.  $t_{\text{f}}$  178–179 °C.<sup>5</sup>

IR (KBr):  $\nu_{\text{max}}$  3228, 3100, 3037, 2927, 2856, 1765, 1706, 1458, 1429, 1383, 1349, 1194, 1115, 763, 726, 706  $\text{cm}^{-1}$ .

$^1\text{H}$  NMR (DMSO- $d_6$ ,  $\delta$  ppm,  $J/\text{Hz}$ ): 8,64 (s, 1H, 1), 7,44–7,29 (m, 5H, arom.), 5,13 (s, 1H, 5), 3,81–3,70 (m, 1H, 1'), 2,12–1,02 (m, 10H, 2'–6').

$^{13}\text{C}$  NMR (DMSO- $d_6$ ,  $\delta$  ppm): 172,36 (4), 156,61 (2), 135,91 (6), 128,62, 128,23, 126,68 (7–11), 59,08 (5), 50,22 (1'), 28,92 (2'), 28,83 (6'), 25,27 (3'), 25,24 (5'), 24,72 (4').

#### 4.1.6.4. 3-Benzhidril-5-fenil hidantoin (5d)

Količina reaktanta: 0,462 g spoja **4c**.

Iskorištenje: 0,082 g (24%).

$t_{\text{f}}$  172–177 °C.

IR (KBr):  $\nu_{\text{max}}$  3230, 3093, 3032, 2825, 1774, 1712, 1495, 1455, 1423, 1373, 1283, 1176, 826, 763, 722, 701  $\text{cm}^{-1}$ .

$^1\text{H}$  NMR (DMSO- $d_6$ ,  $\delta$  ppm,  $J/\text{Hz}$ ): 8,91 (s, 1H, 1), 7,43–7,20 (m, 15H, arom.), 6,39 (s, 1H, 1'), 5,34 (s, 1H, 5).

$^{13}\text{C}$  NMR (DMSO- $d_6$ ,  $\delta$  ppm): 172,35 (4), 156,54 (2), 138,96, 138,30, 135,85 (6, 2', 8'), 128,94–126,87 (7–11, 3'–7', 9'–13'), 59,66 (1'), 57,35 (5).

**4.1.6.5. 3-Ciklopentil-5-benzil hidantoin (5e)**

Količina reaktanta: 0,377 g spoja **4e**.

Iskorištenje: 0,189 g (73%).

$t_f$  121–124 °C.

IR (KBr):  $\nu_{\max}$  3258, 3091, 3034, 2959, 2869, 1760, 1718, 1431, 1387, 1213, 760, 700  $\text{cm}^{-1}$ .

$^1\text{H}$  NMR (DMSO- $d_6$ ,  $\delta$  ppm,  $J/\text{Hz}$ ): 8,18 (s, 1H, 1), 7,28–7,13 (m, 5H, arom.), 4,29 (t, 1H, 5,  $J = 4,38$ ), 4,09–4,02 (m, 1H, 1'), 2,94 (d, 2H, 6,  $J = 4,22$ ), 1,67–1,42 (m, 8H, 2'–5').

$^{13}\text{C}$  NMR (DMSO- $d_6$ ,  $\delta$  ppm): 175,20 (4), 158,25 (2), 136,80 (7), 131,64, 129,81, 128,55 (8–12), 58,11 (5), 51,90 (1'), 38,30 (6), 30,30 (5'), 30,02 (2'), 26,39 (3', 4').

**4.1.6.6. 3-Cikloheksil-5-benzil hidantoin (5f)**

Količina reaktanta: 0,391 g spoja **4f**.

Iskorištenje: 0,231 g (85%).

$t_f$  119–120 °C; lit.  $t_f$  133–135 °C.<sup>65</sup>

IR (KBr):  $\nu_{\max}$  3271, 3093, 3033, 2926, 2856, 1768, 1707, 1629, 1560, 1498, 1436, 1384, 1111, 725, 696  $\text{cm}^{-1}$ .

$^1\text{H}$  NMR (DMSO- $d_6$ ,  $\delta$  ppm,  $J/\text{Hz}$ ): 8,15 (s, 1H, 1), 7,28–7,13 (m, 5H, arom.), 4,29 (t, 1H, 5,  $J = 4,39$ ), 3,52–3,44 (m, 1H, 1'), 2,93 (t, 2H, 6,  $J = 3,53$ ), 1,85–0,94 (m, 10H, 2'–6').

$^{13}\text{C}$  NMR (DMSO- $d_6$ ,  $\delta$  ppm): 173,20 (4), 156,22 (2), 134,78 (7), 129,76, 127,82, 126,60 (8–12), 56,04 (5), 49,64 (1'), 36,28 (6), 28,58 (2'), 28,39 (6'), 25,18 (3', 5'), 24,68 (4').

**4.1.6.7. 3-Cikloheksanmetil-5-benzil hidantoin (5g)**

Količina reaktanta: 0,405 g spoja **4g**.

Iskorištenje: 0,229 g (80%).

$t_t$  150–153 °C.

IR (KBr):  $\nu_{\max}$  3314, 3085, 3030, 2925, 2852, 1768, 1698, 1496, 1454, 1428, 1360, 1124, 1099, 755, 726, 700  $\text{cm}^{-1}$ .

$^1\text{H}$  NMR (DMSO- $d_6$ ,  $\delta$  ppm,  $J/\text{Hz}$ ): 8,21 (s, 1H, 1), 7,27–7,14 (m, 5H, arom.), 4,38 (t, 1H, 5,  $J = 4,22$ ), 3,05–2,87 (m, 4H, 6, 1'), 1,61–0,50 (m, 11H, 2'–7').

$^{13}\text{C}$  NMR (DMSO- $d_6$ ,  $\delta$  ppm): 173,27 (4), 156,60 (2), 134,78 (7), 129,80, 127,82, 126,58 (8–12), 56,71 (5), 43,37 (1'), 35,95 (6), 35,66 (2'), 29,79 (3'), 29,52 (7'), 25,65 (4'), 25,17 (6'), 25,12 (5').

**4.1.6.8. 3-Benzhidril-5-benzil hidantoin (5h)**

Količina reaktanta: 0,476 g spoja **4h**.

Iskorištenje: 0,103 g (29%).

$t_t$  76 °C (raspad).

IR (KBr):  $\nu_{\max}$  3269, 3030, 2925, 1774, 1711, 1602, 1496, 1452, 1419, 1374, 1178, 752, 699  $\text{cm}^{-1}$ .

$^1\text{H}$  NMR (DMSO- $d_6$ ,  $\delta$  ppm,  $J/\text{Hz}$ ): 8,44 (s, 1H, 1), 7,30–6,73 (m, 15H, arom.), 6,13 (s, 1H, 1'), 4,52 (t, 1H, 5,  $J = 4,28$ ), 3,07–2,94 (m, 2H, 6).

$^{13}\text{C}$  NMR (DMSO- $d_6$ ,  $\delta$  ppm): 172,87 (4), 155,72 (2), 138,01, 137,95, 134,65 (7, 2', 8'), 126,78–130,01 (8–12, 3'–7', 9'–13'), 56,62 (5, 1'), 35,78 (6).

## 4.1.7. SINTEZA 10%-TNOG Pd/C(en)

Suspencija komercijalnog 10%-tnog Pd/C (0,300 g, 0,28 mmol Pd) i etilendiamina (1,2 mL, 19,74 mmol) u metanolu (10 mL) pod atmosferom argona miješana je na sobnoj temperaturi 48 h. Krutina je odsisana, višestruko isprana metanolom (5×20 mL) i eterom (5×20 mL) te sušena na vakuum-pumpi na sobnoj temperaturi tijekom 48 h. Dobiven je 10%-tni Pd/C(en). Iskorištenje: 100%.

4.1.8. SINTEZA REDUCIRANIH DERIVATA KETOPROFENA **6a,b**

**Opća metoda.** Otopini ketoprofena (2,543 g, 10 mmol) u odgovarajućem otapalu dodan je katalizator. Nastala suspencija miješana je na sobnoj temperaturi pod atmosferskim tlakom vodika. Nakon završetka reakcije katalizator je odfiltriran, a otapalo upareno pod sniženim tlakom te je dobiven čisti produkt.

4.1.8.1. 2-(3-(Hidroksi(fenil)metil)fenil)propanska kiselina (**6a**)

Katalizator: 10%-tni Pd/C(en) (0,254 g); otapalo: tetrahidrofuran; trajanje reakcije 23 h. Iskorištenje: 2,563 g (100%).

$t_f$  116–118 °C; lit.  $t_f$  103–104 °C;<sup>81</sup> 117–118 °C;<sup>84</sup> 104–107 °C.<sup>85</sup>

IR (KBr):  $\nu_{\max}$  3417, 3028, 2988, 2918, 2713, 2610, 1709, 1601, 1490, 1454, 1327, 1237, 1020, 914, 839, 799, 708, 698  $\text{cm}^{-1}$ .

<sup>1</sup>H NMR (DMSO-*d*<sub>6</sub>,  $\delta$  ppm, *J*/Hz): 12,23 (s, 1H, 1), 7,38–7,11 (m, 9H, arom.), 5,89 (s, H, 12), 5,68 (s, 1H, 11), 3,64 (q, 1H, 3, *J* = 7,05), 1,33 (d, 3H, 4, *J* = 7,08).

<sup>13</sup>C NMR (DMSO-*d*<sub>6</sub>,  $\delta$  ppm): 175,78 (2), 146,35, 146,07, 141,54 (5, 9, 13), 128,61, 128,53, 127,17, 126,68, 126,19, 125,69, 125,26 (6–8, 10, 14–18), 74,69 (11), 45,20 (3), 19,08 (4).



**4.1.8.2. 2-(3-Benzilfenil)propanska kiselina (6b)**

Katalizator: 10%-tni Pd/C (0,254 mg); otapalo: metanol; trajanje reakcije 4 h.

Iskorištenje: 2,409 g (100%).

$t_t$  53–54 °C; lit. ulje; <sup>79,85</sup>  $t_t$  58–59 °C. <sup>84</sup>

IR (KBr):  $\nu_{\max}$  3060, 3027, 2987, 2931, 2733, 2642, 1700, 1598, 1494, 1451, 1417, 1238, 1213, 1085, 939, 756, 717, 699  $\text{cm}^{-1}$ .

<sup>1</sup>H NMR (DMSO-*d*<sub>6</sub>,  $\delta$  ppm, *J*/Hz): 12,23 (s, 1H, 1), 7,29–7,06 (m, 9H, arom.), 3,90 (s, 3H, 11), 3,60 (q, 1H, 3, *J* = 7,06), 1,31 (d, 3H, 4, *J* = 7,12).

<sup>13</sup>C NMR (DMSO-*d*<sub>6</sub>,  $\delta$  ppm): 175,76 (2), 141,86, 141,84, 141,61 (5, 9, 12), 129,13, 128,98, 128,88, 128,26, 127,63, 126,43, 125,45 (6–8, 10, 13–17), 45,09 (3), 41,53 (11), 19,01 (4).

4.1.9. SINTEZA NSAID BENZOTRIAZOLIDA **7a-h**

**Opća metoda sinteze spojeva 7a-g.** U otopinu odgovarajućeg NSAID (ibuprofena, fenoprofena, diklofenaka, indometacina, ketoprofena i reduciranih derivata ketoprofena **6a,b**) (10 mmol) i TEA (1,393 mL, 10 mmol) u bezvodnom toluenu (30 mL) dokapana je otopina BtcCl (**1**) (1,696 g, 10 mmol) u bezvodnom toluenu (30 mL) tijekom 0,25 h. Reakcijska smjesa miješana je na sobnoj temperaturi 2 h, a zatim ekstrahirana vodom (3×60 mL). Organski sloj sušen je nad bezvodnim natrijevim sulfatom, profiltriran i uparen pod sniženim tlakom.

4.1.9.1. Benzotriazolid ibuprofena (**7a**)

Količina reaktanta: 2,063 g ibuprofena. Sirovi produkt **7a** prekrizaliziran je iz smjese acetona i vode.

Iskorištenje: 2,516 g (82%).

$t_f$  57–59 °C; lit.  $t_f$  56–59 °C.<sup>102</sup>

IR (KBr):  $\nu_{\max}$  3027, 2954, 1739, 1379, 949, 752  $\text{cm}^{-1}$ .

<sup>1</sup>H NMR (DMSO-*d*<sub>6</sub>,  $\delta$  ppm, *J*/Hz): 8,27–8,21 (m, 2H, arom.), 7,80–7,75 (m, 1H, arom.), 7,62–7,57 (m, 1H, arom.), 7,35 (d, 2H, arom., *J* = 8,02), 7,12 (d, 2H, arom., *J* = 8,05), 5,31 (q, 1H, 2, *J* = 6,96), 2,37 (d, 2H, 10, *J* = 7,14), 1,79–1,75 (m, 1H, 11), 1,64 (d, 3H, 3, *J* = 6,99), 0,81 (d, 6H, 12, 13, *J* = 6,60).

<sup>13</sup>C NMR (DMSO-*d*<sub>6</sub>,  $\delta$  ppm): 173,07 (1), 145,33, 140,19, 136,87, 130,65 (4, 7, 1', 6'), 130,82, 129,31, 127,37, 126,46, 119, 97, 113,92 (5, 6, 8, 9, 2'-5'), 44,11 (2), 44,04 (10), 29,41 (3), 22,04 (12, 13), 18,52 (11).

4.1.9.2. Benzotriazolid fenoprofena (**7b**)

5,226 g kalcijevog fenoprofena otopljeno je u vodi (80 mL), zakiseljeno kloridnom kiselinom (*w* = 1%) do pH 1, te ekstrahirano diklormetanom (3×80 mL). Organski sloj ekstrahiran je vodom (3×80 mL), sušen nad bezvodnim natrijevim sulfatom, profiltriran i

uparen. Iskorištenje: 2,423 g (100%) fenoprofena, koji je upotrebljen u daljnjoj reakciji prema Općoj metodi.

Sirovi produkt **7b** prekrizaliziran je iz smjese acetona i vode.

Iskorištenje: 2,575 g (75%).

$t_f$  63–66 °C; lit.  $t_f$  64–66 °C.<sup>103</sup>

IR (KBr):  $\nu_{\max}$  3064, 2985, 1729, 1580, 1487, 1450, 1374, 1243, 954, 770, 692  $\text{cm}^{-1}$ .

$^1\text{H}$  NMR (DMSO- $d_6$ ,  $\delta$  ppm,  $J/\text{Hz}$ ): 8,26–8,22 (m, 2H, arom.), 7,81–7,76 (m, 1H, arom.), 7,64–7,58 (m, 1H, arom.), 7,39–7,33 (m, 3H, arom.), 7,22–7,12 (m, 3H, arom.), 6,99–6,96 (m, 2H, arom.), 6,88–6,85 (m, 1H, arom.), 5,34 (q, 1H, 2,  $J = 6,97$ ), 1,66 (d, 3H, 3,  $J = 6,99$ ).

$^{13}\text{C}$  NMR (DMSO- $d_6$ ,  $\delta$  ppm): 172,80 (1), 157,02, 156,25, 145,50, 141,89, 130,78 (4, 8, 10, 1', 6'), 130,99, 130,52, 130,10, 126,63, 123,72, 122,64, 120,14, 118,81, 118,09, 117,20, 114,07 (5–7, 9, 11–15, 2'–5'), 44,59 (2), 18,61 (3).

#### 4.1.9.3. Benzotriazolid diklofenaka (7c)

Količina reaktanta: 2,962 g diklofenaka. Sirovi produkt **7c** pročišćen je rastrljavanjem eterom.

Iskorištenje: 3,059 g (77%).

$t_f$  163–165 °C; lit.  $t_f$  162–164 °C.<sup>102</sup>

IR (KBr):  $\nu_{\max}$  3321, 3076, 2925, 1728, 1710, 1590, 1450, 1382, 1006, 750  $\text{cm}^{-1}$ .

$^1\text{H}$  NMR (DMSO- $d_6$ ,  $\delta$  ppm,  $J/\text{Hz}$ ): 8,27 (dd, 2H, arom.,  $J = 8,29$ ,  $J = 3,10$ ), 7,82–7,77 (m, 1H, arom.), 7,65–7,60 (m, 1H, arom.), 7,53 (d, 2H, arom.,  $J = 8,07$ ), 7,36–7,08 (m, 4H, arom., 9), 6,89–6,84 (m, 1H, arom.), 6,24 (d, 1H, arom.,  $J = 8,01$ ), 4,94 (s, 2H, 2).

$^{13}\text{C}$  NMR (DMSO- $d_6$ ,  $\delta$  ppm): 170,08 (1), 145,35, 143,62, 136,92, 132,01, 130,78, 120,91 (3, 8, 10, 11, 15, 1', 6'), 131,96, 130,64, 129,04, 128,03, 126,48, 126,26, 119,92, 119,78, 114,91, 113, 97 (4–7, 12–14, 2'–5'), 38,11 (2).

**4.1.9.4. Benzotriazolid indometacina (7d)**

Količina reaktanta: 3,578 g indometacina. Sirovi produkt **7d** pročišćen je rastrljavanjem eterom i prekristalizacijom iz toluena.

Iskorištenje: 3,947 g (86%).

$t_f$  105–107 °C; lit.  $t_f$  105–107 °C.<sup>102</sup>

IR (KBr):  $\nu_{\max}$  3097, 2926, 1739, 1679, 1609, 1598, 1483, 1368, 1315, 1227, 1066, 965, 745  $\text{cm}^{-1}$ .

<sup>1</sup>H NMR (DMSO-*d*<sub>6</sub>,  $\delta$  ppm, *J*/Hz): 8,19 (d, 1H, arom., *J* = 4,14), 8,12 (d, 1H, arom., *J* = 4,11), 7,68 (t, 1H, arom., *J* = 3,70), 7,62 (d, 2H, arom., *J* = 4,20), 7,56 (d, 2H, arom., *J* = 4,20), 7,53 (t, 1H, arom., *J* = 3,69), 7,18 (d, 1H, arom., *J* = 1,08), 6,87 (d, 1H, arom., *J* = 4,50), 6,64 (dd, 1H, arom., *J* = 1,16, *J* = 3,33), 4,83 (s, 2H, 2), 3,65 (s, 3H, 2"), 2,25 (s, 3H, 1").

<sup>13</sup>C NMR (DMSO-*d*<sub>6</sub>,  $\delta$  ppm): 169,43 (1), 167,87 (11), 155,61, 145,49, 137,71, 136,38, 134,02, 130,79, 130,72, 130,26, 111,40 (3–5, 8, 10, 12, 15, 1', 6'), 131,17, 130,69, 129,04, 126,36, 119,99, 114,51, 113,95, 111,51, 102,00 (6, 7, 9, 13, 14, 16, 17, 2'–5'), 55,39 (2"), 30,89 (2), 13,29 (1").

**4.1.9.5. Benzotriazolid ketoprofena (7e)**

Količina reaktanta: 2,543 g ketoprofena. Sirovi produkt **7e** pročišćen je rastrljavanjem eterom.

Iskorištenje: 3,092 g (87%).

$t_f$  95–98 °C; lit.  $t_f$  96–98 °C.<sup>102</sup>

IR (KBr):  $\nu_{\max}$  17245, 1653, 1449, 1380, 1319, 1282, 961, 942, 750, 713, 610  $\text{cm}^{-1}$ .

<sup>1</sup>H NMR (DMSO-*d*<sub>6</sub>,  $\delta$  ppm, *J*/Hz): 8,26–8,22 (m, 2H, arom.), 7,84–7,49 (m, 11H, arom.), 5,45 (q, 1H, 2, *J* = 7,05), 1,70 (d, 3H, 3, *J* = 7,05).

<sup>13</sup>C NMR (DMSO-*d*<sub>6</sub>,  $\delta$  ppm): 195,33 (10), 172,74 (1), 140,80, 137,38, 136,80, 130,96, 114,05 (4, 8, 11, 1', 6'), 145,48, 132,78, 132,13, 129,66, 129,22, 129,21, 129,12, 128,87, 128,57, 126,60, 120,11 (5–7, 9, 12–16, 2'–5'), 44,35 (2), 18,60 (3).

**4.1.9.6. Benzotriazolid 2-(3-(hidroksi(fenil)metil)fenil)propanske kiseline (7f)**

Količina reaktanta: 2,561 g spoja **6a**. Sirovi produkt **7f** pročišćen je rastrljavanjem eterom.

Iskorištenje: 2,681 g (75%).

$t_f$  96–99 °C.

IR (KBr):  $\nu_{\max}$  3342, 3072, 3027, 3003, 2942, 2874, 1738, 1060, 1597, 1486, 1452, 1376, 959, 771, 751, 746, 710  $\text{cm}^{-1}$ .

$^1\text{H}$  NMR (DMSO- $d_6$ ,  $\delta$  ppm,  $J/\text{Hz}$ ): 8,26–8,21 (m, 2H, arom.), 7,80–7,75 (m, 1H, arom.), 7,62–7,57 (m, 1H, arom.), 7,52–7,50 (m, 1H, arom.), 7,33–7,14 (m, 8H, arom.), 5,88 (d, 1H, 11,  $J = 4,00$ ), 5,65 (d, 1H, 10,  $J = 3,83$ ), 5,32 (q, 1H, 2,  $J = 6,89$ ), 1,63 (d, 3H, 3,  $J = 6,94$ ).

$^{13}\text{C}$  NMR (DMSO- $d_6$ ,  $\delta$  ppm): 173,50 (1), 146,82, 145,88, 145,83, 140,01, 131,18 (4, 8, 12, 1', 6'), 131,39, 129,08, 128,45, 127,14, 127,02, 126,66, 126,63, 126,58, 125,84, 120,53, 114,44 (5–7, 9, 13–17, 2'–5'), 74,49 (10), 45,12 (2), 19,07 (3).

**4.1.9.7. Benzotriazolid 2-(3-benzilfenil)propanske kiseline (7g)**

Količina reaktanta: 2,403 g spoja **6b**. Sirovi produkt **7g** pročišćen je rastrljavanjem eterom.

Iskorištenje: 2,663 g (78%).

$t_f$  59–60 °C.

IR (KBr):  $\nu_{\max}$  3027, 2937, 2918, 2852, 1730, 1597, 1485, 1452, 1390, 1372, 1168, 955, 780, 756, 738, 708, 692  $\text{cm}^{-1}$ .

$^1\text{H}$  NMR (DMSO- $d_6$ ,  $\delta$  ppm,  $J/\text{Hz}$ ): 8,25–8,20 (m, 2H, arom.), 7,79–7,74 (m, 1H, arom.), 7,61–7,56 (m, 1H, arom.), 7,33–7,07 (m, 9H, arom.), 5,30 (q, 1H, 2,  $J = 6,94$ ), 3,90 (s, 2H, 10), 1,63 (d, 3H, 3,  $J = 6,99$ ).

$^{13}\text{C}$  NMR (DMSO- $d_6$ ,  $\delta$  ppm): 173,47 (1), 145,88, 142,33, 141,39, 140,32, 131,18 (4, 8, 11, 1', 6'), 131,38, 129,41, 129,06, 128,82, 128,57, 128,21, 127,01, 126,41, 125,77, 120,52, 114,45 (5–7, 9, 12–16, 2'–5'), 45,05 (2), 41,37 (10), 19,06 (3).

**4.1.9.8. Benzotriazolid 2-(3-(*N*-benzotriazolkarboniloksi)(fenil)metil)fenil)-propanske kiseline (7h)**

U otopinu **6a** (0,256 g, 1 mmol) i TEA (0,390 mL, 2,8 mmol) u bezvodnom toluenu (20 mL) dokapana je otopina BtcCl (**1**) (0,508 g, 2,8 mmol) u bezvodnom toluenu (15 mL) tijekom 0,25 h. Reakcijska smjesa miješana je na sobnoj temperaturi 1 h, a zatim ekstrahirana vodom (5×40 mL). Organski sloj sušen je nad bezvodnim natrijevim sulfatom, profiltriran i uparen pod sniženim tlakom. Sirovi produkt **7h** pročišćen je rastrljavanjem eterom.

Iskorištenje: 0,352 g (70%).

$t_f$  124–127 °C.

IR (KBr):  $\nu_{\max}$  3091, 3032, 2980, 2937, 1764, 1732, 597, 1486, 1451, 1398, 1250, 1036, 951, 781, 760, 748, 708, 583  $\text{cm}^{-1}$ .

$^1\text{H}$  NMR (DMSO- $d_6$ ,  $\delta$  ppm,  $J/\text{Hz}$ ): 8,28–7,98 (m, 3H, arom.), 7,78–7,28 (m, 15H, arom.), 7,24 (s, 1H, 10), 5,38 (q, 1H, 2,  $J = 6,84$ ), 1,66 (d, 3H, 3,  $J = 6,94$ ).

$^{13}\text{C}$  NMR (DMSO- $d_6$ ,  $\delta$  ppm): 173,28 (1), 147,91 (1"), 145,80, 145,77, 140,72, 140,02, 139,17, 131,73 (4, 8, 11, 1', 6', 2", 7"), 131,36, 131,11, 129,83, 129,20, 128,29, 127,36, 127,23, 126,97, 126,79, 126,55, 126,38, 120,70, 120,45, 114,39, 113,67 (5–7, 9, 12–16, 2'–5', 3"–6"), 81,48 (10), 45,04 (2), 18,98 (3).

## 4.1.10. SINTEZA NSAID HIDROKSAMSKIH KISELINA I NJIHOVIH DERIVATA

**8a-y**

**Metoda A.** Otopina odgovarajućeg hidroksilamina,\* natrijevog ditionita (10 mg) i NSAID benzotriazolida **7a-e** (1 mmol) u kloroformu (10 mL) miješana je na sobnoj temperaturi 24 h. Reakcijska smjesa ekstrahirana je vodom kod pH 7–8 (3×10 mL), uz zaluzivanje otopinom natrijevog hidroksida ( $w = 5\%$ ). Organski sloj opran je vodom, sušen nad bezvodnim natrijevim sulfatom, profiltriran i uparen pod snizenim tlakom.

\*Hidroksilamin, *N*-metilhidroksilamin i *O*-benzilhidroksilamin prethodno su oslobođeni iz hidroklorida na sljedeći način: u otopinu natrijevog metoksida pripravljenu iz natrija (0,115 g, 5 mmol) i bezvodnog metanola (5 mL) dodan je odgovarajući hidroksilamin hidroklorid (5 mmol). Nakon hlađenja na  $-15\text{ }^{\circ}\text{C}$  (10 min) istaloženi natrijev klorid je odfiltriran, a matičnica odmah upotrebljena u daljnjoj reakciji.

**Metoda B.** Otopina benzotriazolida **7a-e** i **7g** (1 mmol), hidroklorida odgovarajućeg hidroksilamina (1,2 mmol), TEA (1,3 mmol ili 5 mmol) i natrijevog ditionita (10 mg) u kloroformu, toluenu ili dioksanu (10 mL) miješana je na sobnoj temperaturi 0,5–48 h ili refluksirana 1–5,5 h (iznimka je spoj spoj **8t**). Spojevi **8b,f,g,l,r,s,u,x,y** pripravljene su uz 1,3 mmol TEA, a spojevi **8i-k,m-q,t,v** uz 5 mmol TEA. U pripravi spojeva **8f** i **h** dobivena su viša iskorištenja korištenjem peterostrukog suviška hidroksilamina i šesterostrukog suviška TEA. Spojevi **8b,f-h,l,r,y** dobiveni su na sljedeći način: otapalo je uklonjeno pod snizenim tlakom. Ostatak je otopljen u smjesi acetona i vode, a dobivena otopina zakiseljena do pH 1. Aceton je uparen pod snizenim tlakom bez zagrijavanja. Istaloženi produkt je odsisan i ispran vodom do neutralnog pH. Postupak obrade za ostale spojeve bio je isti kao u Metodi A.

**Metoda C.** Suspenzija *O*-benzilnog derivata **8s-y** (0,5 mmol ili 1 mmol) i 10%-tnog Pd/C u metanolu, etil-acetatu ili acetonu (10 mL) hidrogenirana je pod atmosferskim tlakom vodika i na sobnoj temperaturi tijekom 0,15–17 h. Katalizator je odsisan, a otapalo upareno pod snizenim tlakom. U pripravi spoja **8f** reakcijska smjesa zakiseljena je s nekoliko kapi sulfatne kiseline ( $c = 1\text{ mol L}^{-1}$ ).

**4.1.10.1. 2-(3-Benzilfenil)propanamid (8a)**

**Metoda C:** količina reaktanta: 0,359 g (1 mmol) spoja **8v**; količina katalizatora: 50 mg; otapalo: metanol; trajanje reakcije 17 h.

Iskorištenje: 0,239 g (100%).

$t_f$  76–78 °C.

IR (KBr):  $\nu_{\max}$  3393, 3177, 3084, 3026, 2980, 1653, 1599, 1451, 1406, 1368, 1288, 1123, 786, 710, 694, 646, 628  $\text{cm}^{-1}$ .

$^1\text{H}$  NMR (DMSO- $d_6$ ,  $\delta$  ppm,  $J/\text{Hz}$ ): 7,41–7,04 (m, 9H, arom.), 6,78 (s, 2H, 1), 3,91 (s, 2H, 11), 3,53 (q, 1H, 3,  $J = 7,01$ ), 1,28 (d, 3H, 4,  $J = 7,06$ ).

$^{13}\text{C}$  NMR (DMSO- $d_6$ ,  $\delta$  ppm): 175,69 (2), 143,02, 141,68, 141,46 (5, 9, 12), 129,12, 128,87, 128,15, 127,30, 126,41, 125,41 (6–8, 10, 13–17), 45,33 (3), 41,65 (11), 18,97 (4).

**4.1.10.2. N-hidroksi-2-(4-izobutilfenil)propanamid (8b)**

**Metoda A:** količina reaktanta: 0,307 g spoja **7a**, 0,347 g hidroklorida hidroksilamina. Iskorištenje: 0,100 g (45%).

**Metoda B:** količina reaktanta: 0,307 g spoja **7a**, 0,083 g hidroklorida hidroksilamina; otapalo: kloroform; trajanje reakcije 0,6 h; sobna temperatura. Sirovi produkt **8b** prekrizaliziran je iz toluena. Iskorištenje: 0,091 g (41%).

**Metoda C:** količina reaktanta: 0,156 g (0,5 mmol) spoja **8s**; količina katalizatora: 50 mg; otapalo: metanol; trajanje reakcije 0,25 h. Sirovi produkt **8b** prekrizaliziran je iz toluena. Iskorištenje: 0,106 g (96%).

$t_f$  117–119 °C; lit.  $t_f$  119–121 °C.<sup>9,89</sup>

$\text{p}K_a$  10,89.

IR (KBr):  $\nu_{\max}$  3191, 3025, 2955, 1634, 1513, 1462, 1025, 939  $\text{cm}^{-1}$ .

$^1\text{H}$  NMR (DMSO- $d_6$ ,  $\delta$  ppm,  $J/\text{Hz}$ ): 10,59 (s, 1H, 1), 8,75 (s, 1H, 2), 7,21 (d, 2H, arom.,  $J = 8,07$ ), 7,07 (d, 2H, arom.,  $J = 8,07$ ), 3,49 (q, 1H, 4,  $J = 7,03$ ), 2,40 (d, 2H, 12,  $J = 7,11$ ), 1,84–1,75 (m, 1H, 13), 1,31 (d, 3H, 5,  $J = 7,06$ ), 0,84 (d, 6H, 14, 15,  $J = 6,61$ ).

$^{13}\text{C}$  NMR (DMSO- $d_6$ ,  $\delta$  ppm): 170,52 (3), 139,46, 139,23 (6, 9), 128,83, 127,10 (7, 8, 10, 11), 44,36 (12), 41,86 (4), 29,76 (5), 22,29 (14, 15), 18,30 (13).



**4.1.10.3. N-hidroksi-2-(3-benzilfenil)propanamid (8c)**

**Metoda C:** količina reaktanta 0,359 g (1 mmol) spoja **8v**; količina katalizatora 50 mg; otapalo: metanol; trajanje reakcije 2,50 h. Sirovi produkt **8c** prekrizaliziran je iz toluena.

Iskorištenje: 0,204 g (80%).

$t_f$  135–137 °C.

IR (KBr):  $\nu_{\max}$  3189, 3023, 2904, 1632, 1533, 1486, 1072, 1029, 723, 702  $\text{cm}^{-1}$ .

$^1\text{H}$  NMR (DMSO- $d_6$ ,  $\delta$  ppm,  $J/\text{Hz}$ ): 10,61 (s, 1H, 1), 8,77 (s, 1H, 2), 7,31–7,05 (m, 9H, arom.), 3,91 (s, 2H, 12), 3,39 (q, 1H, 4,  $J = 7,06$ ), 1,30 (d, 3H, 5,  $J = 7,02$ ).

$^{13}\text{C}$  NMR (DMSO- $d_6$ ,  $\delta$  ppm): 170,67 (3), 142,46, 141,64, 141,49 (6, 10, 13), 129,13, 128,88, 128,71, 128,11, 127,47, 126,43, 125,43 (7–9, 11, 14–18), 42,54 (5), 41,62 (12), 18,71 (4).

**4.1.10.4. N-hidroksi-2-(3-fenoksifenil)propanamid (8d)**

**Metoda A:** količina reaktanta 0,343 g spoja **7b**, 0,347 g hidroklorida hidroksilamina. Sirovi produkt **8d** prekrizaliziran je iz smjese toluena i cikloheksana. Iskorištenje: 0,103 g (40%).

**Metoda C:** količina reaktanta: 0,347 g (1 mmol) spoja **8u**; količina katalizatora 50 mg; otapalo: metanol; trajanje reakcije 0,62 h. Iskorištenje: 0,242 g (94%).

$t_f$  118–119 °C; lit.  $t_f$  121–122 °C.<sup>91</sup>

$\text{p}K_a$  10,66.

IR (KBr):  $\nu_{\max}$  3214, 3035, 2921, 1629, 1583, 1536, 1488, 1248, 694  $\text{cm}^{-1}$ .

$^1\text{H}$  NMR (DMSO- $d_6$ ,  $\delta$  ppm,  $J/\text{Hz}$ ): 10,63 (s, 1H, 1), 8,81 (s, 1H, 2), 7,42–7,37 (m, 2H, arom.), 7,31 (t, 1H, arom.,  $J = 7,04$ ), 7,17–7,08 (m, 2H, arom.), 7,01–6,99 (m, 3H, arom.), 6,85–6,82 (m, 1H, arom.), 3,43 (q, 1H, 4,  $J = 7,05$ ), 1,31 (d, 3H, 5,  $J = 6,99$ ).

$^{13}\text{C}$  NMR (DMSO- $d_6$ ,  $\delta$  ppm): 169,77 (3), 156,46, 156,37, 143,98 (6, 10, 11), 129,96, 129,62, 123,34, 122,32, 118,48, 117,47, 116,58 (7–9, 11, 13–17), 41,88 (4), 18,06 (5).

**4.1.10.5. N-hidroksi-2-(3-(hidroksi(fenil)metil)fenil)propanamid (8e)**

**Metoda C:** količina reaktanta: 0,180 g (0,5 mmol) spoja **8v**; količina katalizatora: 20 mg; otapalo: metanol; trajanje reakcije 3 h. Sirovi produkt **8e** prekrizaliziran je iz smjese etil-acetata i cikloheksana.

Iskorištenje: 0,099 g (74%).

$t_f$  148–152 °C.

IR (KBr):  $\nu_{\max}$  3378, 3214, 2979, 2915, 1645, 1520, 1492, 1447, 1022, 945, 724, 701  $\text{cm}^{-1}$ .

$^1\text{H}$  NMR (DMSO- $d_6$ ,  $\delta$  ppm,  $J/\text{Hz}$ ): 10,62 (s, 1H, 1), 8,77 (s, 1H, 2), 7,38–7,16 (m, 9H, arom.), 5,87 (d, 1H, 13,  $J = 3,90$ ), 5,66 (d, 1H, 12,  $J = 3,60$ ), 3,41 (q, 1H, 4,  $J = 7,00$ ), 1,31 (d, 3H, 5,  $J = 7,00$ ).

$^{13}\text{C}$  NMR (DMSO- $d_6$ ,  $\delta$  ppm): 170,65 (3), 146,12, 146,02, 142,09 (6, 10, 14), 128,52, 128,33, 127,16, 126,73, 126,13, 125,64, 125,11 (7–9, 11, 15–19), 74,80 (12), 42,62 (4), 18,77 (5).

**4.1.10.6. N-hidroksi-2-(2-(2,6-diklorfenilamino)fenil)acetamid (8f)**

**Metoda B:** količina reaktanta 0,397 g spoja **7c**, 0,347 g hidroklorida hidroksilamina; otapalo: kloroform; trajanje reakcije 0,5 h; sobna temperatura. Sirovi produkt **8f** prekrizaliziran je iz smjese acetona i petroletera. Iskorištenje: 0,202 g (65%).

**Metoda C:** količina reaktanta: 0,201 g (0,5 mmol) spoja **8x**; količina katalizatora 50 mg; otapalo: etil-acetat; trajanje reakcije 0,15 h. Nakon uparavanja sirovi produkt **8f** rastrljan je vodom, odsisan i sušen. Iskorištenje: 0,138 g (89%).

$t_f$  158–162 °C; lit.  $t_f$  164–165 °C.<sup>92</sup>

$\text{p}K_a$  10,64.

IR (KBr):  $\nu_{\max}$  3289, 3235, 3031, 2963, 2891, 1660, 1626, 1589, 1507, 1453, 774, 749  $\text{cm}^{-1}$ .

$^1\text{H}$  NMR (DMSO- $d_6$ ,  $\delta$  ppm,  $J/\text{Hz}$ ): 10,87 (s, 1H, 1), 8,97 (s, 1H, 2), 8,44 (s, 1H, 11), 7,43 (d, 2H, arom.,  $J = 8,05$ ), 7,09–7,06 (m, 2H, arom.), 6,97 (t, 1H, arom.,  $J = 7,15$ ), 6,78 (t, 1H, arom.,  $J = 7,22$ ), 6,23 (d, 1H, arom.,  $J = 7,92$ ), 3,39 (s, 2H, 4).

$^{13}\text{C}$  NMR (DMSO- $d_6$ ,  $\delta$  ppm): 168,11 (3), 142,99, 137,16, 129,27, 125,13 (5, 10, 12, 13, 17), 130,29, 129,15, 127,28, 124,93, 120,71, 116,04 (6–9, 14–16), 36,57 (4).

#### 4.1.10.7. *N*-hidroksi-1-(4-klorbenzoil)-2-metil-5-metoksi-1*H*-indol-3-acetamid (**8g**)

**Metoda B:** količina reaktanata: 0,459 g spoja **7d**, 0,083 g hidroklorida hidrosilamina; otapalo: dioksan; trajanje reakcije 24 h, sobna temperatura. Sirovi produkt **8g** prekrizaliziran je iz dioksana. Iskorištenje: 0,198 g (53%).

**Metoda C:** količina reaktanta: 0,463 g (1 mmol) spoja **8y**; količina katalizatora 50 mg; otapalo: acetone; trajanje reakcije 0,5 h. Sirovi produkt **8g** rastrljan je eterom. Iskorištenje: 0,291 g (78%).

$t_f$  175–178 °C; lit.  $t_f$  181–182 °C,<sup>45</sup> 147–150 °C,<sup>47</sup> 181–184 °C,<sup>95</sup> 181–183 °C.<sup>98</sup>

$pK_a$  10,97.

IR (KBr):  $\nu_{\max}$  3243, 3015, 2965, 2840, 1652, 1635, 1630, 1604, 1483, 1468, 1402, 1383, 1225, 1090, 870, 786  $\text{cm}^{-1}$ .

$^1\text{H}$  NMR (DMSO- $d_6$ ,  $\delta$  ppm,  $J/\text{Hz}$ ): 10,59 (s, 1H, 1), 8,76 (s, 1H, 2), 7,61 (d, 2H, arom.,  $J = 8,28$ ), 7,56 (d, 2H, arom.,  $J = 8,45$ ), 7,07 (s, 1H, arom.), 6,84 (d, 1H, arom.,  $J = 8,96$ ), 6,63 (dd, 1H, arom.,  $J = 1,90$ ,  $J = 6,84$ ), 3,70 (s, 3H, 2"), 3,32 (s, 2H, 4), 2,18 (s, 3H, 1").

$^{13}\text{C}$  NMR (DMSO- $d_6$ ,  $\delta$  ppm): 167,81 (3), 166,31 (13), 155,50, 137,57, 135,23, 134,19, 130,72, 130,25, 113,74 (5–7, 10, 12, 14, 17), 131,12, 129,00, 114,45, 111,12, 102,09 (8, 9, 11, 15, 16, 18, 19), 55,43 (2"), 28,36 (4), 13,29 (1").

**4.1.10.8. N-hidroksi-2-(2-(2,6-diklorfenilamino)fenil)-N-metilacetamid (8h)**

**Metoda A:** količina reaktanata: 0,397 g spoja **7c**, 0,418 g hidroklorida *N*-metilhidroksilamina. Iskorištenje: 0,085 g (26%).

**Metoda B:** količina reaktanata: 0,397 g spoja **7c**, 0,418 g hidroklorida *N*-metilhidroksilamina; otapalo: kloroform; trajanje reakcije 4 h; sobna temperatura. Sirovi produkt **8h** prekrizaliziran je iz smjese acetona i petroletera. Iskorištenje: 0,280 g (86%).

$t_f$  134–138 °C; lit.  $t_f$  135–138 °C;<sup>7</sup> lit. 135–137 °C.<sup>93</sup>

$pK_a$  9,91.

IR (KBr):  $\nu_{max}$  3272, 3066, 2925, 1614, 1581, 1509, 1452, 770, 752  $cm^{-1}$ .

<sup>1</sup>H NMR (DMSO-*d*<sub>6</sub>,  $\delta$  ppm, *J*/Hz): 10,30 (s, 1H, 1), 7,82 (s, 1H, 11), 7,51 (d, 2H, arom., *J* = 8,07), 7,20–7,14 (m, 2H, arom.), 7,08–7,02 (m, 1H, arom.), 6,88–6,83 (m, 1H, arom.), 6,30 (d, 1H, arom., *J* = 7,78), 3,86 (s, 2H, 4), 3,16 (s, 3H, 1').

<sup>13</sup>C NMR (DMSO-*d*<sub>6</sub>,  $\delta$  ppm): 171,22 (3), 143,30, 137,33, 129,60, 125,08 (5, 10, 12, 13, 17), 131,19, 129,32, 127,36, 125,29, 120,90, 116,18 (6–9, 14–16), 35,98 (4), 35,26 (1').

**4.1.10.9. 2-(3-Benzilfenil)-N-metoksiopropanamid (8i)**

**Metoda B:** 0,341 g spoja **7g**, 0,100 g hidroklorida *O*-metilhidroksilamina; otapalo: toluen; trajanje reakcije 48 h; sobna temperatura. Sirovi produkt **8i** pročišćen je kromatografijom na koloni, uz pokretnu fazu diklormetan/metanol 97:3. Dobiveno ulje **8i** kristalizira.

Iskorištenje: 0,159 g (59%).

$t_f$  61–64 °C.

IR (KBr):  $\nu_{max}$  3153, 3083, 2971, 938, 2854, 1661, 1640, 493, 1069, 1054, 720, 706  $cm^{-1}$ .

<sup>1</sup>H NMR (DMSO-*d*<sub>6</sub>,  $\delta$  ppm, *J*/Hz): 11,19 (s, 1H, 2), 7,30–7,07 (m, 9H, arom.), 3,91 (s, 2H, 12), 3,38–3,32 (m, 4H, 4, 1'), 1,30 (d, 3H, 5, *J* = 7,09).

<sup>13</sup>C NMR (DMSO-*d*<sub>6</sub>,  $\delta$  ppm): 170,48 (3), 141,99, 141,67, 141,62 (6, 10, 13), 129,13, 128,87, 128,00, 127,57, 126,42, 125,30 (7–9, 11, 14–18), 63,48 (1'), 42,52 (4), 41,59 (12), 18,65 (5).

**4.1.10.10. 2-(3-Benzoilfenil)-*N*-metoksipropanamid (8j)**

**Metoda B:** 0,359 g spoja **7e**, 0,100 g hidroklorida *O*-metilhidroksilamina; otapalo: toluen; trajanje reakcije 26 h; sobna temperatura. Sirovi produkt **8j** pročišćen je kromatografijom na koloni, uz pokretnu fazu petroleter/etil-acetat 1:1. Dobiveno ulje **8j** kristalizira. Iskorištenje: 0,201 g (71%).

$t_t$  105–107 °C.

IR (KBr):  $\nu_{\max}$  3164, 2984, 2945, 882, 1664, 1651, 1642, 1603, 1445, 1318, 1289, 722, 703, 692  $\text{cm}^{-1}$ .

$^1\text{H}$  NMR (DMSO- $d_6$ ,  $\delta$  ppm,  $J/\text{Hz}$ ): 11,30 (s, 1H, 2), 7,75–7,49 (m, 9H, arom.), 3,55–3,47 (m, 4H, 4, 1'), 1,37 (d, 3H, 5,  $J = 7,03$ ).

$^{13}\text{C}$  NMR (DMSO- $d_6$ ,  $\delta$  ppm): 196,14 (11), 170,18 (2), 142,25, 137,46, 137,43 (5, 9, 12), 133,19, 132,03, 130,07, 129,13, 129,05, 128,84, 128,78 (6–8, 10, 13–17), 63,59 (1'), 42,44 (3), 18,61 (4).

**4.1.10.11. 2-(2-(2,6-Diklorfenilamino)fenil)-*N*-metoksiacetamid (8k)**

**Metoda B:** količina reaktanata: 0,397 g spoja **7c**, 0,100 g hidroklorida *O*-metilhidroksilamina; otapalo: toluen; trajanje reakcije 24 h; sobna temperatura. Sirovi produkt **8k** prekrizaliziran je iz toluena.

Iskorištenje: 0,128 g (39%).

$t_t$  178–179 °C; lit.  $t_t$  177–178 °C.<sup>7</sup>

IR (KBr):  $\nu_{\max}$  3277, 3152, 2979, 2866, 1644, 1592, 1510, 1452, 1280, 1064, 977, 949, 772, 750  $\text{cm}^{-1}$ .

$^1\text{H}$  NMR (DMSO- $d_6$ ,  $\delta$  ppm,  $J/\text{Hz}$ ): 11,44 (s, 1H, 2), 8,03 (s, 1H, 11), 7,44 (d, 2H, arom.,  $J = 8,08$ ), 7,10–7,07 (m, 2H, arom.), 6,99–6,96 (m, 1H, arom.), 6,80–6,77 (m, 1H, arom.), 6,22 (d, 1H, arom.,  $J = 7,95$ ), 3,54 (s, 3H, 1'), 3,37 (s, 2H, 4).

$^{13}\text{C}$  NMR (DMSO- $d_6$ ,  $\delta$  ppm): 168,02 (3), 142,93, 137,03, 129,50, 124,48 (5, 10, 12, 13, 17), 130,38, 129,17, 127,44, 124,19, 120,77, 116,01 (6–9, 14–16), 63,33 (1'), 36,57 (4).

**4.1.10.12. 1-(4-Klorbenzoil)-2-metil-N,5-dimetoksi-1H-indol-3-acetamid (8l)**

**Metoda B:** količina reaktanata: 0,459 g spoja **7d**; otapalo: toluen; trajanje reakcije 48 h; sobna temperatura. Sirovi produkt **8l** prekrizaliziran je iz toluena.

Iskorištenje: 0,251 g (65%).

$t_f$  182–184 °C; lit.  $t_f$  184–185 °C.<sup>7</sup>

IR (KBr):  $\nu_{\max}$  3222, 3093, 2991, 2929, 1677, 1660, 1615, 1596, 1479, 1318, 1224, 1072, 849, 755  $\text{cm}^{-1}$ .

<sup>1</sup>H NMR (DMSO-*d*<sub>6</sub>,  $\delta$  ppm, *J*/Hz): 11,28 (s, 1H, 2), 7,70 (d, 2H, arom., *J* = 8,70), 7,65 (d, 2H, arom., *J* = 8,71), 7,12 (d, 1H, arom., *J* = 2,17), 6,93 (d, 1H, arom., *J* = 8,98), 6,71 (dd, 1H, arom., *J* = 2,50, *J* = 6,50), 3,77 (s, 3H, 2"), 3,59 (s, 3H, 1'), 3,40 (s, 2H, 4), 2,24 (s, 3H, 1").

<sup>13</sup>C NMR (DMSO-*d*<sub>6</sub>,  $\delta$  ppm): 168,31 (3), 166,72 (13), 156,02, 138,08, 135,86, 134,65, 131,13, 130,71, 113,75 (5–7, 10, 12, 14, 17), 131,64, 129,51, 115,04, 111,77, 102,22 (8, 9, 11, 15, 16, 18, 19), 63,70 (1'), 55,91 (2"), 28,86 (4), 13,77 (1").

**4.1.10.13. N-etoksi-2-(4-izobutilfenil)propanamid (8m)**

**Metoda B:** količina reaktanata: 0,307 g spoja **7a**, 0,117 g hidroklorida *O*-etilhidroksilamina; otapalo: toluen; trajanje reakcije 40 h; sobna temperatura. Sirovi produkt **8m** pročišćen je kromatografijom na koloni, uz pokretnu fazu cikloheksan/etil-acetat 2:1.

Iskorištenje: 0,162 g (64%).

$t_f$  54–56 °C.

IR (KBr):  $\nu_{\max}$  3178, 2933, 2870, 1659, 1512, 1464, 1042, 934, 850  $\text{cm}^{-1}$ .

<sup>1</sup>H NMR (DMSO-*d*<sub>6</sub>,  $\delta$  ppm, *J*/Hz): 11,07 (s, 1H, 2), 7,20 (d, 2H, arom., *J* = 8,03), 7,08 (d, 2H, arom., *J* = 8,03), 3,75 (q, 2H, 1', *J* = 7,03), 3,38 (q, 1H, 4, *J* = 7,05), 2,40 (d, 2H, 12, *J* = 7,13), 1,87–1,73 (m, 1H, 13), 1,31 (d, 3H, 5, *J* = 7,04), 1,09 (t, 3H, 2', *J* = 7,03), 0,85 (d, 6H, 14, 15, *J* = 6,60).

<sup>13</sup>C NMR (DMSO-*d*<sub>6</sub>,  $\delta$  ppm): 170,78 (3), 139,87, 139,20 (6, 9), 129,27, 127,34 (7, 8, 10, 11), 70,87 (1'), 44,68 (12), 42,20 (4), 30,08 (5), 22,62 (14, 15), 18,63 (13), 13,84 (2').

**4.1.10.14. 2-(3-Benzilfenil)-*N*-etoksipropanamid (8n)**

**Metoda B:** 0,341 g spoja **7g**, 0,117 g hidroklorida *O*-etilhidroksilamina; otapalo: toluen; trajanje reakcije 46 h; sobna temperatura. Sirovi produkt **8n** pročišćen je kromatografijom na koloni, uz pokretnu fazu cikloheksan/etil-acetat 1:1. Dobiveno ulje **8n** kristalizira.

Iskorištenje: 0,130 g (46%).

$t_f$  114–116 °C.

IR (KBr):  $\nu_{\max}$  3170, 3023, 2987, 1671, 1650, 1600, 1492, 1047, 721, 707  $\text{cm}^{-1}$ .

$^1\text{H}$  NMR (DMSO- $d_6$ ,  $\delta$  ppm,  $J/\text{Hz}$ ): 11,07 (s, 1H, 2), 7,31–7,07 (m, 9H, arom.), 3,91 (s, 2H, 12), 3,71 (q, 1H, 4,  $J = 7,03$ ), 3,37 (q, 2H, 1',  $J = 7,07$ ), 1,30 (d, 3H, 5,  $J = 7,04$ ), 1,07 (t, 3H, 2',  $J = 7,03$ ).

$^{13}\text{C}$  NMR (DMSO- $d_6$ ,  $\delta$  ppm): 170,55 (2), 142,11, 141,62 (5, 9, 12), 129,11, 128,86, 128,82, 127,99, 127,55, 126,41, 125,28 (6–8, 10, 13–17), 70,85 (1'), 42,51 (3), 41,60 (11), 18,65 (4), 13,83 (2').

**4.1.10.15. *N*-etoksi-2-(3-fenoksifenil)propanamid (8o)**

**Metoda B:** 0,343 g spoja **7b**, 0,117 g hidroklorida *O*-etilhidroksilamina; otapalo: toluen; trajanje reakcije 24 h; sobna temperatura. Sirovi produkt **8o** prekrizaliziran je iz smjese etera i petroletera.

Iskorištenje: 0,168 g (59%).

$t_f$  60–61 °C.

IR (KBr):  $\nu_{\max}$  3145, 2946, 2880, 1673, 1654, 1582, 1488, 1251, 1226, 945, 694  $\text{cm}^{-1}$ .

$^1\text{H}$  NMR (DMSO- $d_6$ ,  $\delta$  ppm,  $J/\text{Hz}$ ): 11,10 (s, 1H, 2), 7,42–7,30 (m, 3H, arom.), 7,14 (t, 1H, arom.,  $J = 7,36$ ), 7,07 (d, 1H, arom.,  $J = 7,65$ ), 7,01–6,96 (m, 3H, arom.), 6,86 (dd, 1H, arom.,  $J = 1,89$ ,  $J = 6,14$ ), 3,72 (q, 2H, 1',  $J = 7,02$ ), 3,41 (q, 1H, 4,  $J = 7,03$ ), 1,31 (d, 3H, 5,  $J = 7,01$ ), 1,08 (t, 3H, 2',  $J = 7,02$ ).

$^{13}\text{C}$  NMR (DMSO- $d_6$ ,  $\delta$  ppm): 170,26 (3), 157,03, 156,99, 144,14 (6, 10, 12), 130,51, 130,33, 123,93, 122,72, 119,08, 117,82, 117,27 (7–9, 11, 13–17), 70,91 (1'), 42,41 (4), 18,50 (5), 13,83 (2').

**4.1.10.16. 2-(3-Benzoilfenil)-*N*-etoksipropanamid (8p)**

**Metoda B:** 0,355 g spoja **7e**, 0,117 g hidroklorida *O*-etilhidroksilamina; otapalo: toluen; trajanje reakcije 24 h; sobna temperatura. Nakon ekstrakcije spoj **8p** pročišćen je kromatografijom na koloni, uz pokretnu fazu petroleter/etil-acetat 3:1. Dobiveni sirovi produkt **8p** nakon rastrljavanja eterom kristalizira.

Iskorištenje: 0,199 g (67%).

$t_f$  75–77 °C.

IR (KBr):  $\nu_{\max}$  3192, 2980, 2936, 1660, 1597, 1448, 1319, 1284, 1042, 718, 643  $\text{cm}^{-1}$ .

$^1\text{H}$  NMR (DMSO- $d_6$ ,  $\delta$  ppm,  $J/\text{Hz}$ ): 11,17 (s, 1H, 2), 7,74–7,67 (m, 4H, arom.), 7,64–7,49 (m, 5H, arom.), 3,75 (q, 2H, 1',  $J = 7,02$ ), 3,54 (q, 1H, 4,  $J = 7,02$ ), 1,37 (d, 3H, 5,  $J = 7,04$ ), 1,11 (t, 3H, 2',  $J = 7,03$ ).

$^{13}\text{C}$  NMR (DMSO- $d_6$ ,  $\delta$  ppm): 196,16 (12), 170,25 (3), 142,38, 137,48, 137,43 (6, 10, 13), 133,19, 132,00, 130,06, 129,10, 129,05, 128,82, 128,73 (7–9, 11, 14–18), 70,97 (1'), 42,43 (4), 18,59 (5), 13,83 (2').

**4.1.10.17. *N*-etoksi-2-(2-(2,6-diklorfenilamino)fenil)acetamid (8q)**

**Metoda B:** količina reaktanata: 0,397 g spoja **7c**, 0,117 g hidroklorida *O*-etilhidroksilamina; otapalo: kloroform; trajanje reakcije 6,5 h; sobna temperatura. Dio produkta taloži se iz reakcijske smjese te je odsisan i ispran vodom. Matičnica je obrađena prema općem propisu. Sirovi produkt **8q** prekrizaliziran je iz toluena.

Iskorištenje: 0,261 g (77%).

$t_f$  181–182 °C.

IR (KBr):  $\nu_{\max}$  3298, 3152, 2980, 2882, 1642, 1578, 1507, 1454, 1304, 1060, 975, 782, 750  $\text{cm}^{-1}$ .

$^1\text{H}$  NMR (DMSO- $d_6$ ,  $\delta$  ppm,  $J/\text{Hz}$ ): 11,40 (s, 1H, 2), 8,12 (s, 1H, 11), 7,52 (d, 2H, arom.,  $J = 8,08$ ), 7,20–7,14 (m, 2H, arom.), 7,08–7,03 (m, 1H, arom.), 6,89–6,84 (m, 1H, arom.), 6,30 (d, 1H, arom.,  $J = 7,88$ ), 3,83 (q, 2H, 1',  $J = 7,03$ ), 3,46 (s, 2H, 4), 1,14 (t, 3H, 2',  $J = 7,03$ ).



$^{13}\text{C}$  NMR (DMSO- $d_6$ ,  $\delta$  ppm): 168,59 (3), 143,42, 137,53, 129,99, 125,12 (5, 10, 12, 13, 17), 130,83, 129,67, 127,91, 125,68, 121,27, 116,50 (6–9, 14–16), 71,21 (1'), 36,93 (4), 13,88 (2').

#### 4.1.10.18. *N*-etoksi-1-(4-klorbenzoil)-2-metil-5-metoksi-1*H*-indol-3-acetamid (**8r**)

**Metoda B:** količina reaktanata: 0,459 g spoja **7d**, 0,117 g hidroklorida *O*-etilhidroksilamina; otapalo: kloroform; trajanje reakcije 43 h; sobna temperatura. Sirovi produkt **8r** prekrizaliziran je iz toluena.

Iskorištenje: 0,317 g (79%).

$t_f$  184–186 °C.

IR (KBr):  $\nu_{\max}$  3220, 3090, 2988, 2933, 2889, 1678, 1659, 1614, 1595, 1479, 1316, 1225, 1071, 849, 755  $\text{cm}^{-1}$ .

$^1\text{H}$  NMR (DMSO- $d_6$ ,  $\delta$  ppm,  $J/\text{Hz}$ ): 11,17 (s, 1H, 2), 7,69 (d, 2H, arom.,  $J = 8,71$ ), 7,64 (d, 2H, arom.,  $J = 8,39$ ), 7,13 (d, 1H, arom.,  $J = 2,17$ ), 6,93 (d, 1H, arom.,  $J = 8,98$ ), 6,71 (dd, 1H, arom.,  $J = 2,48$ ,  $J = 6,53$ ), 3,80 (q, 2H, 1',  $J = 7,05$ ), 3,77 (s, 3H, 2"), 3,41 (s, 2H, 4), 2,24 (s, 3H, 1"), 1,13 (t, 3H, 2',  $J = 7,02$ ).

$^{13}\text{C}$  NMR (DMSO- $d_6$ ,  $\delta$  ppm): 168,31 (3), 166,78 (13), 156,02, 138,07, 135,83, 134,66, 131,13, 130,72, 113,90 (5–7, 10, 12, 14, 17), 131,64, 129,51, 115,04, 111,78, 102,20 (8, 9, 11, 15, 16, 18, 19), 71,02 (1'), 55,91 (2"), 28,86 (4), 13,89 (2'), 13,78 (1").

**4.1.10.19. N-benziloksi-2-(4-izobutilfenil)propanamid (8s)**

**Metoda B:** količina reaktanata: 0,307 g spoja **7a**, 0,191 g hidroklorida *O*-benzilhidroksilamina.

Otapalo kloroform: trajanje reakcije 48 h; sobna temperatura. Sirovi produkt **8s** pročišćen je rastrljavanjem petroleterom. Iskorištenje: 0,218 g (70%).

Otapalo toluen: trajanje reakcije 48 h; sobna temperatura. Sirovi produkt **8s** pročišćen je rastrljavanjem petroleterom. Iskorištenje: 0,193 g (62%).

$t_f$  66–68 °C.

IR (KBr):  $\nu_{\max}$  3156, 3068, 2975, 2948, 2866, 1674, 1648, 1530, 1454, 1376, 1042, 733, 696  $\text{cm}^{-1}$ .

$^1\text{H}$  NMR (DMSO- $d_6$ ,  $\delta$  ppm,  $J/\text{Hz}$ ): 11,19 (s, 1H, 2), 7,37–7,29 (m, 5H, arom.), 7,21 (d, 2H, arom.,  $J = 8,01$ ), 7,10 (d, 2H, arom.,  $J = 8,04$ ), 4,75 (s, 2H, 1'), 3,40 (q, 1H, 4,  $J = 7,04$ ), 2,43 (d, 2H, 12,  $J = 7,10$ ), 1,87–1,78 (m, 1H, 13), 1,33 (d, 3H, 5,  $J = 7,03$ ), 0,87 (d, 6H, 14, 15,  $J = 6,60$ ).

$^{13}\text{C}$  NMR (DMSO- $d_6$ ,  $\delta$  ppm): 170,57 (3), 139,57, 138,77, 136,03 (6, 9, 2'), 129,08, 128,93, 128,36, 127,09 (7, 8, 10, 11, 3'–7'), 76,69 (1'), 44,36 (12), 41,80 (4), 29,77 (13), 22,30 (14, 15), 18,22 (5).

**4.1.10.20. N-benziloksi-2-(3-benzilfenil)propanamid (8t)**

**Metoda B:** 0,341 g spoja **7g**, 0,191 g hidroklorida *O*-benzilhidroksilamina; otapalo: toluen; trajanje reakcije 11 h; temperatura 75 °C. Nakon ekstrakcije spoj **8t** pročišćen je kromatografijom na koloni, uz pokretnu fazu cikloheksan/etil-acetat/metanol 3:1:0,5. Iskorištenje: 0,231 g (67%).

Ulje.

IR (film):  $\nu_{\max}$  3181, 3062, 3028, 2975, 2934, 2876, 1658, 1601, 1495, 1454, 1027, 749, 725, 698  $\text{cm}^{-1}$ .

$^1\text{H}$  NMR (DMSO- $d_6$ ,  $\delta$  ppm,  $J/\text{Hz}$ ): 11,18 (s, 1H, 2), 7,34–7,07 (m, 14H, arom.), 4,70 (s, 2H, 1'), 3,92 (s, 2H, 12), 3,38 (q, 1H, 4,  $J = 7,01$ ), 1,30 (d, 3H, 5,  $J = 7,03$ ).

$^{13}\text{C}$  NMR (DMSO- $d_6$ ,  $\delta$  ppm): 170,71 (2), 141,99, 141,62 (5, 9, 12), 136,34 (2'), 129,36, 128,71 (3'-7'), 129,12, 128,86, 128,82, 128,04, 127,56, 126,42, 125,36 (6-8, 10, 13-17), 77,06 (1'), 42,44 (3), 41,60 (11), 18,59 (4).

#### 4.1.10.21. *N*-benziloksi-2-(3-fenoksifenil)propanamid (**8u**)

**Metoda A:** 0,343 g spoja **7b**, 0,798 g hidroklorida *O*-benzilhidroksilamina. Sirovi produkt **8u** pročišćen je rastrljavanjem smjesom etera i petroletera. Iskorištenje: 0,181 g (52%).

**Metoda B:** 0,343 g spoja **7b**; 0,191 g hidroklorida *O*-benzilhidroksilamina.

Otapalo kloroform: trajanje reakcije 48 h, sobna temperatura. Sirovi produkt **8u** pročišćen je rastrljavanjem petroleterom. Iskorištenje: 0,240 g (69%).

Otapalo toluen: trajanje reakcije 5,5 h; temperatura refluksa. Sirovi produkt **8u** pročišćen je kromatografijom na koloni, uz pokretnu fazu cikloheksan/etil-acetat/metanol 3:1:0,5. Iskorištenje: 0,316 g (91%).

Ulje.

IR (film):  $\nu_{\text{max}}$  3181, 3065, 3033, 2973, 1658, 1583, 1487, 1453, 751, 695  $\text{cm}^{-1}$ .

$^1\text{H}$  NMR (DMSO- $d_6$ ,  $\delta$  ppm,  $J/\text{Hz}$ ): 11,13 (s, 1H, 2), 7,32-7,22 (m, 8H, arom.), 7,07-7,05 (m, 1H, arom.), 6,99 (d, 1H, arom.,  $J = 7,56$ ), 6,94-6,90 (m, 3H, arom.), 6,79 (dd, 1H, arom.,  $J = 1,74$ ,  $J = 6,22$ ), 4,65 (s, 2H, 1'), 3,34 (q, 1H, 4,  $J = 6,90$ ), 1,25 (d, 3H, 5,  $J = 7,01$ ).

$^{13}\text{C}$  NMR (DMSO- $d_6$ ,  $\delta$  ppm): 169,93 (3), 156,52, 143,55, 135,82 (6, 10, 12, 2'), 130,00, 129,80, 128,89, 128,22, 123,41, 122,30, 118,56, 117,48, 116,78 (7-9, 11, 13-17, 3'-7'), 76,59 (1'), 41,88 (4), 17,97 (5).

**4.1.10.22. N-benziloksi-2-(3-benzoilfenil)propanamid (8v)**

**Metoda B:** količina reaktanata: 0,355 g spoja **7e**, 0,191 g hidroklorida *O*-benzilhidroksilamina; otapalo: toluen; trajanje reakcije 48 h; sobna temperatura. Sirovi produkt **8v** pročišćen je rastrljavanjem smjesom etera i petroletera.

Iskorištenje: 0,270 g (75%).

$t_f$  82–85 °C.

IR (KBr):  $\nu_{\max}$  3188, 3063, 3031, 2974, 2875, 1660, 1597, 1578, 1497, 1448, 1319, 1284, 1026, 719, 698  $\text{cm}^{-1}$ .

$^1\text{H}$  NMR (DMSO- $d_6$ ,  $\delta$  ppm,  $J/\text{Hz}$ ): 11,27 (s, 1H, 2), 7,75–7,49 (m, 10H, arom.), 7,31 (s, 5H, arom.), 4,73 (s, 2H, 1'), 3,54 (q, 1H, 4,  $J = 7,08$ ), 1,37 (d, 3H, 5,  $J = 6,99$ ).

$^{13}\text{C}$  NMR (DMSO- $d_6$ ,  $\delta$  ppm): 196,16 (12), 179,37 (3), 142,28, 137,48, 137,42, 136,26 (6, 10, 13, 2'), 133,19, 132,03, 130,08, 129,41, 129,05, 128,92, 128,76, 128,71 (7–9, 11, 14–18, 3'–7'), 77,08 (1'), 42,36 (4), 18,50 (5).

**4.1.10.23. N-benziloksi-2-(2-(2,6-diklorfenilamino)fenil)acetamid (8x)**

**Metoda A:** količina reaktanata: 0,397 g spoja **7c**, 0,798 g hidroklorida *O*-benzilhidroksilamina. Sirovi produkt **8x** pročišćen je rastrljavanjem petroleterom. Iskorištenje: 0,357 g (89%).

**Metoda B:** količina reaktanata: 0,397 g spoja **7c**, 0,191 g hidroklorida *O*-benzilhidroksilamina.

Otapalo kloroform: trajanje reakcije 27 h; sobna temperatura. Sirovi produkt **8x** pročišćen je prekrizacijom iz toluena. Iskorištenje: 0,229 g (57%).

Otapalo toluen: trajanje reakcije 1 h, temperatura refluksa. Dio produkta taloži se iz reakcijske smjese te je odsisan i ispran vodom. Matičnica je obrađena prema općem propisu. Sirovi produkt **8x** prekrizaliziran je iz toluena. Iskorištenje: 0,353 g (88%).

$t_f$  161–164 °C.

IR (KBr):  $\nu_{\max}$  3265, 3153, 3065, 2974, 1655, 1636, 1588, 1507, 1454, 1304, 751, 733, 696  $\text{cm}^{-1}$ .

$^1\text{H}$  NMR (DMSO- $d_6$ ,  $\delta$  ppm,  $J/\text{Hz}$ ): 11,47 (s, 1H, 2), 8,09 (s, 1H, 11), 7,53 (d, 2H, arom.,  $J = 8,06$ ), 7,37 (s, 5H, arom.), 7,20–7,14 (m, 3H, arom.), 7,09–7,04 (m, 1H, arom.), 6,89–6,84 (m, 1H, arom.), 6,31 (d, 1H, arom.,  $J = 7,80$ ), 4,82 (s, 2H, 1'), 3,47 (s, 2H, 4).

$^{13}\text{C}$  NMR (DMSO- $d_6$ ,  $\delta$  ppm): 168,16 (3), 142,87, 136,98, 135,75, 129,54, 124,45 (5, 10, 12, 13, 17, 2'), 130,35, 129,11, 128,78, 128,23, 127,35, 125,18, 120,66, 115,89 (6–9, 14–16, 3'–7'), 76,77 (1'), 36,29 (4).

#### 4.1.10.24. *N*-benziloksi-1-(4-klorbenzoil)-2-metil-5-metoksi-1*H*-indol-3-acetamid (8y)

**Metoda A:** količina reaktanata: 0,459 g spoja **7d**, 0,798 g hidroklorida *O*-benzilhidroksilamina. Sirovi produkt **8y** pročišćen je rastrljavanjem smjesom etera i petroletera i prekrizacijom iz toluena. Iskorištenje: 0,264 g (57%).

**Metoda B:** količina reaktanata: 0,459 g spoja **7d**, 0,191 g hidroklorida *O*-benzilhidroksilamina; otapalo: kloroform; trajanje reakcije 48 h; sobna temperatura. Iskorištenje: 0,421 g (91%).

$t_f$  156–158 °C; lit.  $t_f$  152–153 °C,<sup>96</sup> 158–160 °C.<sup>99</sup>

IR (KBr):  $\nu_{\text{max}}$  3240, 3065, 3033, 2997, 2925, 2864, 1685, 1656, 1609, 1518, 1479, 1452, 1370, 1321, 1227, 1089, 836, 753, 699  $\text{cm}^{-1}$ .

$^1\text{H}$  NMR (DMSO- $d_6$ ,  $\delta$  ppm,  $J/\text{Hz}$ ): 11,20 (s, 1H, 2), 7,61 (d, 2H, arom.,  $J = 8,44$ ), 7,57 (d, 2H, arom.,  $J = 8,30$ ), 7,27 (s, 5H, arom.), 7,05 (d, 1H, arom.,  $J = 1,77$ ), 6,86 (d, 1H, arom.,  $J = 8,98$ ), 6,64 (dd, 1H, arom.,  $J = 2,11$ ,  $J = 6,81$ ), 4,75 (s, 2H, 1'), 3,72 (s, 3H, 2''), 3,39 (s, 2H, 4), 2,20 (s, 3H, 1'').

$^{13}\text{C}$  NMR (DMSO- $d_6$ ,  $\delta$  ppm): 168,32 (3), 167,03 (13), 156,03, 138,07, 136,38, 135,86, 134,66, 131,17, 130,71, 113,83 (5–7, 10, 12, 14, 17, 2'), 131,63, 129,52, 129,35, 128,74, 115,01, 111,74, 102,34 (8, 9, 11, 15, 16, 18, 19, 3'–7'), 77,25 (1'), 55,92 (2''), 28,80 (4), 13,79 (1'').

4.1.11. SINTEZA DERIVATA KETOPROFENA **9a-i**, **10a-f**, **11a-f**

**Opća metoda sinteze spojeva 9a-f i 10a-f.** Otopina odgovarajućeg benzotriazolida **7e,g** (1 mmol), odgovarajućeg amina (1,1 mmol) i TEA (0,696 mL, 5 mmol) u toluenu (10 mL) miješana je na sobnoj temperaturi 1–8 h ili na 78 °C 11–16 h. Reakcijska smjesa ekstrahirana je zasićenom otopinom natrijevog klorida (5×10 mL), kloridnom kiselinom ( $w = 1\%$ , 2×5 mL) i vodom (3×10 mL). Nakon sušenja nad bezvodnim natrijevim sulfatom i uparavanja pod sniženim tlakom, dobiven je sirovi produkt.

**Opća metoda sinteze spojeva 9g i 9h.** Otopina **7g** (0,341 g, 1 mmol), odgovarajućeg amina (1,1 mmol) i TEA (0,139 mL, 1 mmol) u smjesi toluen/etil-acetat (2:1, 15 mL) miješana je na sobnoj temperaturi 0,25 h. Nakon uparavanja reakcijske smjese i kromatografije na koloni, uz pokretnu fazu etil-acetat, dobiven je odgovarajući produkt.

**Opća metoda sinteze spojeva 11a-f.** Suspenzija amida ketoprofena **10a-f** (0,5 mmol) i 10%-tnog Pd/C(en) (20 mg) u metanolu (10 mL) miješana je pod atmosferskim tlakom vodika na sobnoj temperaturi 5–9 h. Katalizator je odsisan, a otapalo upareno te je dobiven sirovi produkt.

4.1.11.1. 2-(3-Benzilfenil)-*N*-ciklopentilpropanamid (**9a**)

Količina reaktanata: 0,341 g spoja **7g**, 0,109 mL ciklopentilamina; trajanje reakcije 5 h; sobna temperatura. Sirovi produkt **9a** rastrljan je eterom.

Iskorištenje: 0,252 g (82%).

$t_t$  92–93 °C.

IR (KBr):  $\nu_{\max}$  3274, 3061, 3027, 2962, 2936, 2864, 1635, 1599, 1548, 1448, 785, 731, 711, 699  $\text{cm}^{-1}$ .

$^1\text{H}$  NMR (DMSO- $d_6$ ,  $\delta$  ppm,  $J/\text{Hz}$ ): 7,85 (d, 1H, 1,  $J = 7,15$ ), 7,30–7,04 (m, 9H, arom.), 3,99–3,87 (m, 3H, 11, 1'), 3,52 (q, 1H, 3,  $J = 7,01$ ), 1,83–1,16 (m, 8H, 2'–5'), 1,27 (d, 3H, 4,  $J = 7,03$ ).

$^{13}\text{C}$  NMR (DMSO- $d_6$ ,  $\delta$  ppm): 173,02 (2), 143,11, 141,69, 141,42 (5, 9, 12), 129,09, 128,83, 128,68, 128,03, 127,21, 126,39, 125,26 (6–8, 10, 13–17), 50,64 (1'), 45,22 (3), 41,67 (11), 32,68, 32,63 (2', 5'), 23,96, 23,92 (3', 4'), 19,01 (4).

**4.1.11.2. 2-(3-Benzilfenil)-N-cikloheksilpropanamid (9b)**

Količina reaktanata: 0,341 g spoja **7g**, 0,126 mL cikloheksilamina; trajanje reakcije 7 h; sobna temperatura. Sirovi produkt **9b** rastrljan je eterom.

Iskorištenje: 0,273 g (85%).

$t_f$  89–93 °C.

IR (KBr):  $\nu_{\max}$  3297, 3062, 3026, 2980, 2936, 2854, 1639, 1585, 1546, 1448, 779, 750, 698  $\text{cm}^{-1}$ .

$^1\text{H}$  NMR (DMSO- $d_6$ ,  $\delta$  ppm,  $J/\text{Hz}$ ): 7,74 (d, 1H, 1,  $J = 7,79$ ), 7,29–7,04 (m, 9H, arom.), 3,90 (s, 2H, 11), 3,52 (q, 1H, 3,  $J = 7,04$ ), 3,49–3,40 (m, 1H, 1'), 1,73–1,54, 1,21–0,93 (2m, 8H, 2'–6'), 1,27 (d, 3H, 4,  $J = 7,03$ ).

$^{13}\text{C}$  NMR (DMSO- $d_6$ ,  $\delta$  ppm): 172,59 (2), 143,15, 141,69, 141,41 (5, 9, 12), 129,10, 128,82, 128,67, 128,00, 127,19, 126,37, 125,26 (6–8, 10, 13–17), 47,84 (1'), 45,27 (3), 41,66 (11), 32,81, 32,78 (2', 6'), 25,69, 25,04, 24,96 (3'–5'), 19,00 (4).

**4.1.11.3. 2-(3-Benzilfenil)-N-(cikloheksanmetil)propanamid (9c)**

Količina reaktanata: 0,341 g spoja **7g**, 0,143 mL cikloheksanmetilamina; trajanje reakcije 8 h; sobna temperatura. Sirovi produkt **9c** pročišćen je kromatografijom na koloni, uz pokretnu fazu cikloheksan/etil-acetat 3:1.

Iskorištenje: 0,275 g (82%).

$t_f$  50–54 °C.

IR (KBr):  $\nu_{\max}$  3295, 3061, 3027, 2968, 2918, 2851, 1647, 1602, 1585, 1558, 1442, 1221, 1155, 711, 698  $\text{cm}^{-1}$ .

$^1\text{H}$  NMR (DMSO- $d_6$ ,  $\delta$  ppm,  $J/\text{Hz}$ ): 7,84 (t, 1H, 1,  $J = 5,31$ ), 7,30–7,03 (m, 9H, arom.), 3,90 (s, 2H, 11), 3,56 (q, 1H, 3,  $J = 6,97$ ), 2,85 (dd, 2H, 1',  $J = 6,11$ ,  $J = 6,50$ ), 1,66–1,51, 1,40–1,24, 1,17–1,04, 0,84–0,72 (4m, 4H, 3'–7'), 1,28 (d, 3H, 4,  $J = 7,02$ ).

$^{13}\text{C}$  NMR (DMSO- $d_6$ ,  $\delta$  ppm): 173,55 (2), 143,10, 141,67, 141,36 (5, 9, 12), 129,07, 128,83, 128,66, 128,11, 127,27, 126,39, 125,31 (6–8, 10, 13–17), 45,46 (3), 45,24 (1'), 41,65 (11), 37,88 (2'), 30,81, 30,77 (2', 7'), 26,49, 25,85 (4'–6'), 19,02 (4).

**4.1.11.4. N-benzil-2-(3-benzilfenil)propanamid (9d)**

Količina reaktanata: 0,341 g spoja **7g**, 0,120 mL benzilamina; trajanje reakcije 3,5 h; sobna temperatura. Sirovi produkt **9d** pročišćen je kromatografijom na koloni, uz pokretnu fazu cikloheksan/etil-acetat 2:1. Sirovi produkt **9d** kristalizira iz etera.

Iskorištenje: 0,290 g (88%).

$t_t$  70–74 °C.

IR (KBr):  $\nu_{\max}$  3292, 3062, 3028, 2971, 2930, 1648, 1602, 1546, 1495, 1453, 722, 697  $\text{cm}^{-1}$ .

$^1\text{H}$  NMR (DMSO- $d_6$ ,  $\delta$  ppm,  $J/\text{Hz}$ ): 8,44 (t, 1H, 1,  $J = 5,65$ ), 7,31–7,06 (m, 14H, arom.), 4,24 (d, 2H, 1',  $J = 5,52$ ), 3,91 (s, 2H, 11), 3,64 (q, 1H, 3,  $J = 6,96$ ), 1,34 (d, 3H, 4,  $J = 7,01$ ).

$^{13}\text{C}$  NMR (DMSO- $d_6$ ,  $\delta$  ppm): 173,69 (2), 142,88, 141,66, 141,48 (5, 9, 12), 140,00 (2'), 129,11, 128,86, 128,67, 128,16, 127,23, 126,41, 125,41 (6–8, 10, 13–17), 128,76, 127,51, 127,41, 127,14 (3'–7'), 45,52 (3), 42,48 (1'), 41,64 (11), 19,04 (4).

**4.1.11.5. 2-(3-Benzilfenil)-N-fenetilpropanamid (9e)**

Količina reaktanata: 0,341 g spoja **7g**, 0,139 mL feniletilamina; trajanje reakcije 2 h; sobna temperatura. Sirovi produkt **9e** prekrizaliziran je iz smjese etera i petroletera.

Iskorištenje: 0,295 g (86%).

$t_t$  60–64 °C.

IR (KBr):  $\nu_{\max}$  3306, 3064, 3026, 2925, 1642, 1548, 1496, 1454, 753, 712, 698  $\text{cm}^{-1}$ .

$^1\text{H}$  NMR (DMSO- $d_6$ ,  $\delta$  ppm,  $J/\text{Hz}$ ): 7,97 (t, 1H, 1,  $J = 5,43$ ), 7,29–7,05 (m, 14H, arom.), 3,91 (s, 2H, 11), 3,52 (q, 1H, 3,  $J = 7,00$ ), 3,29–3,16 (m, 2H, 1'), 2,64 (t, 2H, 2',  $J = 7,23$ ), 1,27 (d, 3H, 4,  $J = 7,04$ ).

$^{13}\text{C}$  NMR (DMSO- $d_6$ ,  $\delta$  ppm): 173,53 (2), 142,90, 141,67, 141,47 (5, 9, 12), 139,91 (3'), 129,13, 128,86, 128,71, 128,12, 127,30, 126,40, 125,40 (6–8, 10, 13–17), 129,10, 128,67, 126,44 (4'–8'), 45,50 (3), 41,66 (11), 40,83 (1'), 35,37 (2'), 19,02 (4).



**4.1.11.6. *N*-Benzhidril-2-(3-benzilfenil)propanamid (9f)**

Količina reaktanata: 0,341 g spoja **7g**, 0,190 mL benzhidrilamina; trajanje reakcije 16 h; temperatura 78 °C. Sirovi produkt **9f** pročišćen je kromatografijom na koloni, uz pokretnu fazu cikloheksan/etil-acetat 4:1, te rastrljavanjem eterom.

Iskorištenje: 0,284 g (70%).

$t_r$  122–123 °C.

IR (KBr):  $\nu_{\max}$  3297, 3087, 3064, 3025, 2979, 1667, 1641, 1601, 1586, 1529, 1494, 1452, 757, 741, 718, 703  $\text{cm}^{-1}$ .

$^1\text{H}$  NMR (DMSO- $d_6$ ,  $\delta$  ppm,  $J/\text{Hz}$ ): 8,86 (d, 1H, 1,  $J = 8,45$ ), 7,36–7,04 (m, 19H, arom.), 6,07 (d, 1H, 1',  $J = 8,45$ ), 3,90 (s, 2H, 11), 3,80 (q, 1H, 3,  $J = 6,94$ ), 1,32 (d, 3H, 4,  $J = 7,00$ ).

$^{13}\text{C}$  NMR (DMSO- $d_6$ ,  $\delta$  ppm): 172,97 (2), 142,95, 141,67, 141,40 (5, 9, 12), 142,86, 142,74 (2', 8'), 129,09, 128,85, 128,72, 128,23, 127,28, 126,40, 125,38 (6–8, 10, 13–17), 128,68, 127,85, 127,55, 127,41, 127,40 (3'–7', 9'–13'), 56,28 (1'), 45,06 (3), 41,65 (11), 18,86 (4).

**4.1.11.7. 2-(3-Benzilfenil)-*N*-(2-hidroksietil)propanamid (9g)**

Količina amina: 0,066 mL 2-hidroksietilamina.

Iskorištenje: 0,238 g (84%).

Ulje.

IR (film):  $\nu_{\max}$  3414, 3312, 3084, 3027, 2972, 2931, 1648, 1601, 1560, 1540, 1494, 1453, 1363, 1072, 723, 700  $\text{cm}^{-1}$ .

$^1\text{H}$  NMR (DMSO- $d_6$ ,  $\delta$  ppm,  $J/\text{Hz}$ ): 7,92 (t, 1H, 1,  $J = 5,24$ ), 7,31–7,04 (m, 9H, arom.), 4,64 (t, 1H, 3',  $J = 5,36$ ), 3,91 (s, 2H, 11), 3,57 (q, 1H, 3,  $J = 7,03$ ), 3,39–3,33 (m, 2H, 2'), 3,17–3,01 (m, 2H, 1'), 1,28 (d, 3H, 4,  $J = 7,03$ ).

$^{13}\text{C}$  NMR (DMSO- $d_6$ ,  $\delta$  ppm): 173,81 (2), 143,11, 141,67, 141,47 (5, 9, 12), 129,13, 128,86, 128,71, 128,14, 127,27, 126,41, 125,37 (6–8, 10, 13–17), 60,30 (1'), 45,40 (3), 41,98 (2'), 41,65 (11), 19,21 (4).

**4.1.11.8. 2-(3-Benzilfenil)-N-(3-hidroksipropil)propanamid (9h)**

Količina amina: 0,084 mL 3-hidroksipropilamina.

Iskorištenje: 0,229 g (77%).

Ulje.

IR (film):  $\nu_{\max}$  3301, 3062, 3027, 2970, 2935, 2877, 1652, 1601, 1558, 1548, 1494, 1453, 721, 699  $\text{cm}^{-1}$ .

$^1\text{H}$  NMR (DMSO- $d_6$ ,  $\delta$  ppm,  $J/\text{Hz}$ ): 7,89 (t, 1H, 1,  $J = 5,29$ ), 7,31–7,04 (m, 9H, arom.), 4,38 (t, 1H, 4'), 3,91 (s, 2H, 11), 3,53 (q, 1H, 3,  $J = 7,00$ ), 3,34 (q, 2H, 1',  $J = 6,19$ ), 3,06 (q, 2H, 3',  $J = 6,51$ ), 1,54–1,45 (m, 2H, 2'), 1,28 (d, 3H, 4,  $J = 7,04$ ).

$^{13}\text{C}$  NMR (DMSO- $d_6$ ,  $\delta$  ppm): 173,64 (2), 143,02, 141,66, 141,47 (5, 9, 12), 129,12, 128,86, 128,72, 128,08, 127,28, 126,40, 125,30 (6–8, 10, 13–17), 58,80 (1'), 45,50 (3), 41,65 (11), 36,20 (3'), 32,83 (2'), 19,07 (4).

**4.1.11.9. 2-(3-Benzilfenil)-N,N-bis(2-hidroksietil)propanamid (9i)**

Otopina **7g** (0,341 g, 1 mmol), dietanolamina (0,116 g, 1,1 mmol) i TEA (0,139 mL, 1 mmol) u smjesi toluen/acetonitril (2:1, 15 mL) miješana je na sobnoj temperaturi 5 h. Nakon uparavanja reakcijske smjese i kromatografije na koloni uz pokretnu fazu etil-acetat→etil-acetat/metanol 8:1, dobiven je **9i**.

Iskorištenje: 0,249 g (76%).

Ulje.

IR (film):  $\nu_{\max}$  3370, 3060, 3026, 2931, 1622, 1494, 1473, 1454, 1442, 1061, 745, 699  $\text{cm}^{-1}$ .

$^1\text{H}$  NMR (DMSO- $d_6$ ,  $\delta$  ppm,  $J/\text{Hz}$ ): 7,31–7,04 (m, 9H, arom.), 4,82 (s, 1H, 3'), 4,46 (s, 1H, 3''), 4,10 (q, 1H, 3,  $J = 6,74$ ), 3,91 (s, 2H, 11), 3,56–3,34, 3,19–3,10 (m, 8H, 1', 2', 1'', 2''), 1,24 (d, 3H, 4,  $J = 6,77$ ).

$^{13}\text{C}$  NMR (DMSO- $d_6$ ,  $\delta$  ppm): 173,73 (2), 143,10, 141,89, 141,63 (5, 9, 12), 129,09, 128,86, 128,00, 127,32, 126,40, 125,40 (6–8, 10, 13–17), 59,73, 59,07 (1', 1''), 50,64, 48,93 (2', 2''), 41,64 (11), 41,60 (3), 21,26 (4).

**4.1.11.10. 2-(3-Benzoilfenil)-*N*-ciklopentilpropanamid (10a)**

Količina reaktanata: 0,355 g spoja **7e**, 0,109 mL ciklopentilamina; trajanje reakcije 1,5 h; sobna temperatura. Sirovi produkt **10a** rastrljan je eterom.

Iskorištenje: 0,257 g (80%).

$t_f$  94–95 °C.

IR (KBr):  $\nu_{\max}$  3355, 3066, 2964, 2870, 1663, 1648, 1596, 1528, 1449, 1312, 1284, 723, 702, 642  $\text{cm}^{-1}$ .

$^1\text{H}$  NMR (DMSO- $d_6$ ,  $\delta$  ppm,  $J/\text{Hz}$ ): 7,99 (d, 1H, 1,  $J = 7,01$ ), 7,72–7,45 (m, 9H, arom.), 3,99–3,87 (m, 1H, 1'), 3,66 (q, 1H, 3,  $J = 6,73$ ), 1,83–1,17 (m, 8H, 2'–5'), 1,32 (d, 3H, 4,  $J = 7,00$ ).

$^{13}\text{C}$  NMR (DMSO- $d_6$ ,  $\delta$  ppm): 196,23 (11), 172,71 (2), 143,34, 137,53, 137,28 (5, 9, 12), 133,14, 131,99, 130,04, 129,03, 128,97, 128,88, 128,41 (6–8, 10, 13–17), 50,73 (1'), 45,08 (3), 32,68 (2', 5'), 23,94, 23,90 (3', 4'), 18,95 (4).

**4.1.11.11. 2-(3-Benzoilfenil)-*N*-cikloheksilpropanamid (10b)**

Količina reaktanata: 0,355 g spoja **7e**, 0,126 mL cikloheksilamina; trajanje reakcije 6 h; sobna temperatura. Sirovi produkt **10b** rastrljan je eterom.

Iskorištenje: 0,258 g (77%).

$t_f$  120–121 °C; lit.  $t_f$  120–121 °C.<sup>58</sup>

IR (KBr):  $\nu_{\max}$  3355, 3067, 2976, 2936, 2851, 1660, 1648, 1596, 1526, 1448, 1311, 1285, 1220, 768, 722, 701, 644  $\text{cm}^{-1}$ .

$^1\text{H}$  NMR (DMSO- $d_6$ ,  $\delta$  ppm,  $J/\text{Hz}$ ): 7,91 (d, 1H, 1,  $J = 7,97$ ), 7,74–7,47 (m, 9H, arom.), 3,69 (q, 1H, 3,  $J = 7,02$ ), 3,54–3,42 (m, 1H, 1'), 1,76–1,51, 1,27–0,98 (2m, 10H, 2'–6'), 1,34 (d, 3H, 4,  $J = 7,07$ ).

$^{13}\text{C}$  NMR (DMSO- $d_6$ ,  $\delta$  ppm): 196,23 (11), 172,29 (2), 143,40, 137,55, 137,29 (5, 9, 12), 133,13, 131,98, 130,05, 129,02, 128,96, 128,88, 128,37 (6–8, 10, 13–17), 47,93 (1'), 45,14 (3), 32,98 (2', 6'), 25,67, 25,00, 24,92 (3'–5'), 18,96 (4).

**4.1.11.12. 2-(3-Benzoilfenil)-N-(cikloheksanmetil)propanamid (10c)**

Količina reaktanata: 0,355 g spoja **7e**, 0,143 mL cikloheksanmetilamina; trajanje reakcije 2 h; sobna temperatura. Sirovi produkt **10c** rastrljan je eterom.

Iskorištenje: 0,315 g (90%).

$t_f$  96–98 °C.

IR (KBr):  $\nu_{\max}$  3298, 3094, 2919, 2853, 1676, 1660, 1642, 1597, 1563, 1447, 1289, 1271, 1234, 729, 707, 640  $\text{cm}^{-1}$ .

$^1\text{H}$  NMR (DMSO- $d_6$ ,  $\delta$  ppm,  $J/\text{Hz}$ ): 7,98 (t, 1H, 1,  $J = 7,98$ ), 7,74–7,47 (m, 9H, arom.), 3,72 (q, 1H, 3,  $J = 6,99$ ), 2,87 (dd, 2H, 1',  $J = 6,18$ ,  $J = 4,38$ ), 1,67–1,51, 1,41–1,30, 1,18–1,03, 0,84–0,73 (4m, 4H, 3'–7'), 1,35 (d, 3H, 4,  $J = 7,00$ ).

$^{13}\text{C}$  NMR (DMSO- $d_6$ ,  $\delta$  ppm): 196,22 (11), 173,24 (2), 143,41, 137,53, 137,30 (5, 9, 12), 133,17, 132,00, 130,04, 129,03, 128,92, 128,44 (6–8, 10, 13–17), 45,30 (3), 45,26 (1'), 37,89 (2'), 30,78, 30,75 (3', 7'), 26,46, 25,84 (4'–6'), 18,92 (4).

**4.1.11.13. N-benzil-2-(3-benzoilfenil)propanamid (10d)**

Količina reaktanata: 0,355 g spoja **7e**, 0,120 mL benzilamina; trajanje reakcije 1 h; sobna temperatura. Sirovi produkt **10d** rastrljan je eterom.

Iskorištenje: 0,285 g (83%).

$t_f$  97–99 °C.

IR (KBr):  $\nu_{\max}$  3314, 3287, 3066, 3033, 2926, 2870, 1644, 1551, 1449, 1349, 1015, 712, 701  $\text{cm}^{-1}$ .

$^1\text{H}$  NMR (DMSO- $d_6$ ,  $\delta$  ppm,  $J/\text{Hz}$ ): 8,56 (t, 1H, 1,  $J = 5,75$ ), 7,76–7,49 (m, 9H, arom.), 7,29–7,14 (m, 5H, arom.), 4,25 (d, 2H, 1',  $J = 5,84$ ), 3,80 (q, 1H, 3,  $J = 7,03$ ), 1,40 (d, 3H, 4,  $J = 7,03$ ).

$^{13}\text{C}$  NMR (DMSO- $d_6$ ,  $\delta$  ppm): 196,22 (11), 173,37 (2), 143,15, 137,51, 137,38 (5, 9, 12), 139,86 (2'), 133,17, 132,08, 130,07, 129,04, 129,02, 128,58 (6–8, 10, 13–17), 128,70, 127,50, 127,21 (3'–7'), 45,36 (3), 42,54 (1'), 18,91 (4).

**4.1.11.14. 2-(3-Benzoilfenil)-*N*-fenetilpropanamid (10e)**

Količina reaktanata: 0,355 g spoja **7e**, 0,139 mL feniletilamina; trajanje reakcije 1 h; sobna temperatura. Sirovi produkt **10e** kristalizira iz smjese etera i petroletera.

Iskorištenje: 0,329 g (92%).

$t_f$  66–69 °C.

IR (KBr):  $\nu_{\max}$  3255, 3062, 2936, 2876, 1661, 1634, 1599, 1559, 1543, 1448, 1288, 748, 702  $\text{cm}^{-1}$ .

$^1\text{H}$  NMR (DMSO- $d_6$ ,  $\delta$  ppm,  $J/\text{Hz}$ ): 8,11 (t, 1H, 1,  $J = 5,45$ ), 7,75–7,48 (m, 9H, arom.), 7,24–7,07 (m, 5H, arom.), 3,69 (q, 1H, 3,  $J = 6,94$ ), 3,32–3,18 (m, 2H, 1'), 2,66 (t, 2H, 2',  $J = 7,13$ ), 1,34 (d, 3H, 4,  $J = 7,02$ ).

$^{13}\text{C}$  NMR (DMSO- $d_6$ ,  $\delta$  ppm): 196,22 (11), 173,22 (2), 143,19, 137,54, 137,32 (5, 9, 12), 139,85 (2'), 133,16, 132,09, 130,08, 129,04, 128,99, 128,97, 128,52 (6–8, 10, 13–17), 129,10, 128,64, 126,44 (4'–8'), 45,33 (3), 40,71 (1'), 35,40 (2'), 18,91 (4).

**4.1.11.15. *N*-benzhidril-2-(3-benzoilfenil)propanamid (10f)**

Količina reaktanata: 0,355 g spoja **7e**, 0,190 mL benzhidrilamina; trajanje reakcije 11 h; temperatura 78 °C. Sirovi produkt **10f** rastrljan je eterom.

Iskorištenje: 0,306 g (73%).

$t_f$  115–119 °C.

IR (KBr):  $\nu_{\max}$  3316, 3251, 3057, 3030, 2932, 1656, 1649, 1598, 1528, 1494, 1320, 1285, 723, 704, 696  $\text{cm}^{-1}$ .

$^1\text{H}$  NMR (DMSO- $d_6$ ,  $\delta$  ppm,  $J/\text{Hz}$ ): 8,98 (d, 1H, 1,  $J = 8,46$ ), 7,78–7,48 (m, 9H, arom.), 7,37–7,08 (m, 10H, arom.), 6,08 (d, 1H, 1',  $J = 8,40$ ), 3,96 (q, 1H, 3,  $J = 6,99$ ), 1,39 (d, 3H, 4,  $J = 7,01$ ).

$^{13}\text{C}$  NMR (DMSO- $d_6$ ,  $\delta$  ppm): 196,23 (11), 172,64 (2), 143,01, 137,51, 137,35 (5, 9, 12), 142,80, 142,77 (2', 8'), 133,16, 132,07, 130,05, 129,03, 128,98, 128,53 (6–8, 10, 13–17), 128,88, 128,68, 127,86, 127,45, 127,33 (3'–7', 9'–13'), 56,36 (1'), 44,98 (3), 18,81 (4).

**4.1.11.16. N-ciklopentil-2-(3-(hidroksi(fenil)metil)fenil)propanamid (11a)**

Količina reaktanta: 0,161 g spoja **10a**; trajanje reakcije 5 h. Sirovi produkt **11a** rastrljan je eterom.

Iskorištenje: 0,126 (78%).

$t_f$  120–125 °C.

IR (KBr):  $\nu_{\max}$  3274, 3062, 3031, 2964, 2933, 2866, 1645, 1603, 1549, 1453, 1231, 1195, 1021, 730, 701  $\text{cm}^{-1}$ .

$^1\text{H}$  NMR (DMSO- $d_6$ ,  $\delta$  ppm,  $J/\text{Hz}$ ): 7,86 (d, 1H, 1,  $J = 6,92$ ), 7,36–7,13 (m, 9H, arom.), 5,86 (d, 1H, 12,  $J = 3,83$ ), 5,65 (d, 1H, 11,  $J = 3,04$ ), 3,98–3,87 (m, 1H, 1'), 3,54 (q, 1H, 3,  $J = 6,94$ ), 1,81–1,18 (m, 8H, 2'–5'), 1,27 (d, 3H, 4,  $J = 6,99$ ).

$^{13}\text{C}$  NMR (DMSO- $d_6$ ,  $\delta$  ppm): 173,00 (2), 146,16, 145,99, 142,76 (5, 9, 13), 128,47, 128,29, 127,11, 126,69, 126,01, 125,56, 124,81 (6–8, 10, 14–18), 74,84 (11), 50,63 (1'), 45,29 (3), 32,69, 32,65 (2', 5'), 23,97, 23,93 (3', 4'), 19,10 (4).

**4.1.11.17. N-cikloheksil-2-(3-(hidroksi(fenil)metil)fenil)propanamid (11b)**

Količina reaktanta: 0,166 g spoja **10b**; trajanje reakcije 6 h. Sirovi produkt **11b** pročišćen je kromatografijom na koloni, uz pokretnu fazu diklormetan/metanol 93:7.

Iskorištenje: 0,127 g (75%).

$t_f$  94–98 °C.

IR (KBr):  $\nu_{\max}$  3366, 3308, 3058, 2973, 2924, 2855, 1641, 1603, 1539, 1449, 1015, 712, 701  $\text{cm}^{-1}$ .

$^1\text{H}$  NMR (DMSO- $d_6$ ,  $\delta$  ppm,  $J/\text{Hz}$ ): 7,74 (dd, 1H, 1,  $J = 5,24$ ,  $J = 2,39$ ), 7,35–7,11 (m, 9H, arom.), 5,84 (d, 1H, 12,  $J = 3,84$ ), 5,64 (d, 1H, 11,  $J = 3,57$ ), 3,53 (q, 1H, 3,  $J = 6,98$ ), 3,48–3,38 (m, 1H, 1'), 1,72–1,46, 1,27–0,92 (2m, 10H, 2'–6'), 1,25 (d, 3H, 4,  $J = 6,56$ ).

$^{13}\text{C}$  NMR (DMSO- $d_6$ ,  $\delta$  ppm): 172,59 (2), 146,16, 145,98, 142,82 (5, 9, 13), 128,45, 128,28, 127,11, 126,71, 126,02, 125,55, 124,81 (6–8, 10, 14–18), 74,84 (11), 47,83 (1'), 45,34 (3), 32,83, 32,80 (2', 6'), 25,70 (3'), 25,05 (5'), 24,98 (4'), 19,10 (4).

**4.1.11.18. N-cikloheksanmetil-2-(3-(hidroksi(fenil)metil)fenil)propanamid (11c)**

Količina reaktanta: 0,175 g spoja **10c**; trajanje reakcije 7 h. Sirovi produkt **11c** pročišćen je kromatografijom na koloni, uz pokretnu fazu kloroform/metanol 95:5.

Iskorištenje: 0,141 g (80%).

Ulje.

IR (KBr):  $\nu_{\max}$  3312, 3063, 2925, 2852, 1649, 1604, 1550, 1493, 1450, 1025, 731, 701  $\text{cm}^{-1}$ .

$^1\text{H}$  NMR (DMSO- $d_6$ ,  $\delta$  ppm,  $J/\text{Hz}$ ): 7,87 (t, 1H, 1,  $J = 5,56$ ), 7,37–7,14 (m, 9H, arom.), 5,86 (dd, 1H, 12,  $J = 2,84$ ,  $J = 1,05$ ), 5,65 (d, 1H, 11,  $J = 3,50$ ), 3,58 (q, 1H, 3,  $J = 7,01$ ), 2,85 (t, 2H, 1',  $J = 6,26$ ), 1,68–1,51, 1,39–1,24, 1,19–1,05, 0,89–0,73 (4m, 4H, 3'–7'), 1,28 (d, 3H, 4,  $J = 6,85$ ).

$^{13}\text{C}$  NMR (DMSO- $d_6$ ,  $\delta$  ppm): 173,58 (2), 146,15, 145,93, 142,71 (5, 9, 13), 128,47, 128,28, 127,13, 126,69, 126,03, 125,62, 124,90 (6–8, 10, 14–18), 74,82 (11), 45,53 (3), 45,28 (1'), 37,87 (2'), 30,83 (3'), 30,81 (7'), 26,49 (4'), 25,85 (5', 6'), 19,13 (4).

**4.1.11.19. N-benzil-2-(3-(hidroksi(fenil)metil)fenil)propanamid (11d)**

Količina reaktanta: 0,172 g spoja **10d**; trajanje reakcije 6 h. Sirovi produkt **11d** pročišćen je kromatografijom na koloni, uz pokretnu fazu kloroform/metanol 93:7.

Iskorištenje: 0,142 g (82%).

$t_r$  100–103 °C.

IR (KBr):  $\nu_{\max}$  3331, 3285, 1648, 1603, 1539, 1494, 1454, 1238, 1017, 730, 701  $\text{cm}^{-1}$ .

$^1\text{H}$  NMR (DMSO- $d_6$ ,  $\delta$  ppm,  $J/\text{Hz}$ ): 8,46 (t, 1H, 1,  $J = 5,57$ ), 7,41–7,15 (m, 15H, arom.), 5,88 (d, 1H, 12,  $J = 3,21$ ), 5,66 (s, 1H, 11), 4,24 (d, 2H, 1',  $J = 5,74$ ), 3,66 (q, 1H, 3,  $J = 6,97$ ), 1,34 (d, 3H, 4,  $J = 6,97$ ).

$^{13}\text{C}$  NMR (DMSO- $d_6$ ,  $\delta$  ppm): 173,71 (2), 146,11, 146,02, 142,50 (5, 9, 13), 139,96 (2'), 128,69, 127,53 (3'–7'), 128,50, 128,38, 127,14, 126,73, 126,09, 125,67, 124,04 (6–8, 10, 14–18), 74,83 (11), 45,59 (3), 42,51 (1'), 19,11 (4).

**4.1.11.20. 2-(3-(Hidroksi(fenil)metil)fenil)-*N*-fenetilpropanamid (11e)**

Količina reaktanta: 0,179 g spoja **10e**; trajanje reakcije 6 h. Sirovi produkt **11e** pročišćen je kromatografijom na koloni, uz pokretnu fazu kloroform/metanol 93:7.

Iskorištenje: 0,131 g (73%).

Ulje.

IR (KBr):  $\nu_{\max}$  3412, 3312, 3062, 3028, 2973, 2932, 1652, 1603, 1558, 1540, 1522, 1454, 1368, 1239, 1025, 750, 700  $\text{cm}^{-1}$ .

$^1\text{H}$  NMR (DMSO- $d_6$ ,  $\delta$  ppm,  $J/\text{Hz}$ ): 8,04 (t, 1H, 1,  $J = 5,47$ ), 7,42–7,14 (m, 14H, arom.), 5,91 (dd, 1H, 12,  $J = 3,25$ ,  $J = 0,63$ ), 5,70 (d, 1H, 11,  $J = 3,75$ ), 3,58 (q, 1H, 3,  $J = 6,93$ ), 3,26 (q, 2H, 1',  $J = 7,22$ ), 2,68 (t, 2H, 2',  $J = 7,28$ ), 1,32 (d, 3H, 4,  $J = 6,89$ ).

$^{13}\text{C}$  NMR (DMSO- $d_6$ ,  $\delta$  ppm): 173,55 (2), 146,16, 146,02, 142,55 (5, 9, 13), 139,90 (3'), 129,10, 128,71, 126,45 (4'–8'), 128,49, 128,34, 127,14, 126,73, 126,17, 125,63, 124,95 (6–8, 10, 14–18), 74,83 (11), 45,58 (3), 40,74 (1'), 35,53 (2'), 19,12 (4).

**4.1.11.21. *N*-benzhidril-2-(3-(hidroksi(fenil)metil)fenil)propanamid (11f)**

Količina reaktanta: 0,210 g spoja **10f**; trajanje reakcije 9 h. Sirovi produkt **11f** prekrizaliziran je iz smjese acetona i petroletera.

Iskorištenje: 0,190 g (90%).

$t_f$  51–55 °C.

IR (KBr):  $\nu_{\max}$  3410, 3304, 3062, 3029, 2975, 2930, 1649, 1602, 1531, 1494, 1451, 1028, 743, 699  $\text{cm}^{-1}$ .

$^1\text{H}$  NMR (DMSO- $d_6$ ,  $\delta$  ppm,  $J/\text{Hz}$ ): 8,88 (d, 1H, 1,  $J = 8,39$ ), 7,44–7,10 (m, 19H, arom.), 6,06 (d, 1H, 1',  $J = 8,38$ ), 5,87 (d, 1H, 12,  $J = 3,86$ ), 5,65 (d, 1H, 11,  $J = 3,19$ ), 3,82 (q, 1H, 3,  $J = 6,78$ ), 1,32 (d, 3H, 4,  $J = 6,20$ ).

$^{13}\text{C}$  NMR (DMSO- $d_6$ ,  $\delta$  ppm): 173,00 (2), 146,13, 145,97, 142,82 (5, 9, 13), 143,01, 142,36 (2', 8'), 128,85, 128,70, 127,81, 127,58, 127,55, 127,41, 127,26 (3'–7', 9'–13'), 128,49, 128,33, 127,13, 126,73, 126,05, 125,76, 125,04 (6–8, 10, 14–18), 74,83 (11), 56,30 (1'), 45,14 (3), 18,95 (4).



4.1.12. SINTEZA 3-HIDROKSIPROPILAMIDA NSAID **12a-e**

**Opća metoda.** Otopina odgovarajućeg benzotriazolida **7a-e** (2 mmol), 3-hidroksi-propilamina (0,165 g, 2,2 mmol) i TEA (0,279 mL, 2 mmol) u smjesi toluen/etil-acetat (2:1, 30 mL) miješana je 1 h na sobnoj temperaturi. Spojevi **12a,b,e**: otapalo je upareno, a ostatak nakon uparavanja kromatografiran je na koloni, uz pokretnu fazu etil-acetat. Spojevi **12c,d**: Otapalo je uklonjeno pod sniženim tlakom. Ostatak je otopljen u smjesi acetona i vode, a dobivena otopina zakiseljena kloridnom kiselinom ( $w = 5\%$ ) do pH 1. Aceton je uparen pod sniženim tlakom bez zagrijavanja. Istaloženi produkt je odsisan i ispran vodom do neutralnog pH.

4.1.12.1. *N*-(3-hidroksipropil)-2-(4-izobutilfenil)propanamid (**12a**)

Količina reaktanta: 0,615 g spoja **7a**.

Iskorištenje: 0,450 g (85%).

Ulje.

IR (film):  $\nu_{\max}$  3299, 3088, 2954, 2932, 2869, 1652, 1548, 1512, 1065, 849  $\text{cm}^{-1}$ .

$^1\text{H}$  NMR (DMSO- $d_6$ ,  $\delta$  ppm,  $J/\text{Hz}$ ): 7,88 (t, 1H, 1',  $J = 5,40$ ), 7,21 (d, 2H, arom.,  $J = 8,03$ ), 7,07 (d, 2H, arom.,  $J = 8,10$ ), 4,39 (t, 1H, 5',  $J = 5,25$ ), 3,54 (q, 1H, 2,  $J = 7,04$ ), 3,35 (q, 2H, 4',  $J = 6,27$ ), 3,13–3,01 (m, 2H, 2'), 2,40 (d, 2H, 10,  $J = 7,12$ ), 1,87–1,74 (m, 1H, 11), 1,56–1,47 (m, 2H, 3'), 1,30 (d, 3H, 3,  $J = 7,05$ ), 0,86 (d, 6H, 12, 13,  $J = 6,61$ ).

$^{13}\text{C}$  NMR (DMSO- $d_6$ ,  $\delta$  ppm): 173,52 (1), 139,79, 139,25 (4, 7), 128,85, 127,03 (5, 6, 8, 9), 58,46 (4'), 44,86 (2), 44,37 (10), 35,87 (2'), 32,50 (3'), 29,75 (11), 22,32 (12, 13), 18,74 (3).

4.1.12.2. 2-(3-Fenoksifenil)-*N*-(3-hidroksipropil)propanamid (**12b**)

Količina reaktanta: 0,687 g spoja **7b**.

Iskorištenje: 0,491 g (82%).

Ulje; lit. ulje.<sup>59</sup>

IR (film):  $\nu_{\max}$  3400, 3298, 2937, 1648, 1582, 1486, 1443, 1246, 1209, 1071, 926, 757, 693  $\text{cm}^{-1}$ .

$^1\text{H}$  NMR (DMSO- $d_6$ ,  $\delta$  ppm,  $J/\text{Hz}$ ): 8,01 (bs, 1H, 1'), 7,38 (t, 2H, arom.,  $J = 7,62$ ), 7,29 (t, 1H, arom.,  $J = 7,83$ ), 7,13 (t, 1H, arom.,  $J = 7,11$ ), 7,07 (d, 1H, arom.,  $J = 7,80$ ), 6,98 (s, 3H, arom.), 6,83 (d, 1H, arom.  $J = 7,80$ ), 4,48 (bs, 1H, 5'), 3,57 (q, 1H, 2,  $J = 7,14$ ), 3,34 (t, 2H, 4',  $J = 6,00$ ), 3,06 (t, 2H, 2',  $J = 5,83$ ), 1,49 (t, 2H, 3',  $J = 6,49$ ), 1,28 (d, 3H, 3,  $J = 6,81$ ).

$^{13}\text{C}$  NMR (DMSO- $d_6$ ,  $\delta$  ppm): 173,06 (1), 156,72, 156,56, 144,77 (4, 8, 10), 130,16, 129,87, 123,51, 122,48, 118,67, 117,63, 116,70 (5–7, 9, 11–15), 58,41 (4'), 45,02 (2), 35,86 (2'), 32,46 (3'), 18,57 (3).

#### 4.1.12.3. *N*-(3-hidroksipropil)-2-(2-(2,6-diklorfenilamino)fenil)acetamid (12c)

Količina reaktanta: 0,795 g spoja **7c**. Sirovi produkt **12c** pročišćen je rastrljavanjem petroleterom.

Iskorištenje: 0,676 g (96%).

$t_f$  130–133 °C.

IR (KBr):  $\nu_{\max}$  3495, 3432, 3297, 3253, 3082, 2947, 2882, 1618, 1565, 1508, 1453, 1286, 1070, 775, 747  $\text{cm}^{-1}$ .

$^1\text{H}$  NMR (DMSO- $d_6$ ,  $\delta$  ppm,  $J/\text{Hz}$ ): 8,45 (s, 1H, 9), 8,35 (t, 1H, 1',  $J = 5,27$ ), 7,51 (d, 2H, arom.,  $J = 8,06$ ), 7,20–7,12 (m, 2H, arom.), 7,06–7,01 (m, 1H, arom.), 6,87–6,82 (m, 1H, arom.), 6,29 (d, 1H, arom.,  $J = 7,81$ ), 4,45 (t, 1H, 5',  $J = 5,16$ ), 3,57 (s, 1H, 2), 3,42 (q, 2H, 4',  $J = 5,90$ ), 3,13 (q, 2H, 2',  $J = 6,49$ ), 1,62–1,53 (m, 2H, 3').

$^{13}\text{C}$  NMR (DMSO- $d_6$ ,  $\delta$  ppm): 172,03 (1), 143,43, 137,65, 129,83, 126,03 (3, 8, 10, 11, 15), 130,82, 129,65, 127,63, 125,44, 121,11, 116,40 (4–7, 12–14), 58,77 (4'), 40,04 (2'), 36,45 (3'), 32,67 (2).

**4.1.12.4. *N*-(3-hidroksipropil)-1-(4-klorbenzoil)-2-metil-5-metoksi-1*H*-indol-3-acetamid (12d)**

Količina reaktanta: 0,918 g spoja **7d**. Sirovi produkt **12d** prekrizaliziran je iz smjese cikloheksana i toluena.

Iskorištenje: 0,498 g (60%).

$t_f$  130–131 °C; lit.  $t_f$  106–107 °C.<sup>96</sup>

IR (KBr):  $\nu_{\max}$  3428, 3314, 3093, 2928, 2884, 1673, 1620, 1561, 1478, 1317, 1071, 835, 755  $\text{cm}^{-1}$ .

$^1\text{H}$  NMR (DMSO- $d_6$ ,  $\delta$  ppm,  $J/\text{Hz}$ ): 8,02 (t, 1H, 1',  $J = 5,24$ ), 7,69 (d, 3H, arom.,  $J = 8,63$ ), 7,64 (d, 2H,  $J = 8,38$ ), 7,12 (d, 1H, arom.,  $J = 1,96$ ), 6,95 (d, 1H, arom.,  $J = 9,03$ ), 6,71 (dd, 1H, arom.,  $J = 2,09$ ,  $J = 6,80$ ), 4,43 (t, 1H, 5',  $J = 5,10$ ), 3,77 (s, 3H, 2''), 3,49 (s, 2H, 2), 3,40 (q, 2H, 4',  $J = 5,79$ ), 3,12 (q, 2H, 2',  $J = 6,39$ ), 2,23 (s, 3H, 1''), 1,60–1,51 (m, 2H, 3').

$^{13}\text{C}$  NMR (DMSO- $d_6$ ,  $\delta$  ppm): 169,82 (1), 168,31 (11), 156,01, 138,01, 135,56, 134,74, 131,35, 130,74, 114,90 (3–5, 8, 10, 12, 15), 131,61, 129,49, 115,02, 111,75, 102,25 (6, 7, 9, 13, 14, 16, 17), 58,85 (4'), 55,87 (2''), 36,41 (2'), 32,89 (3'), 31,66 (2), 13,84 (1'').

**4.1.12.5. 2-(3-Benzoilfenil)-*N*-(3-hidroksipropil)propanamid (12e)**

Količina reaktanta: 0,683 g spoja **7e**.

Iskorištenje: 0,498 g (80%).

Ulje; lit. ulje.<sup>58</sup>

IR (film):  $\nu_{\max}$  3301, 3064, 2936, 2876, 1651, 1597, 1546, 1448, 1319, 1285, 1237, 722, 705  $\text{cm}^{-1}$ .

$^1\text{H}$  NMR (DMSO- $d_6$ ,  $\delta$  ppm,  $J/\text{Hz}$ ): 8,06 (t, 1H, 1',  $J = 5,30$ ), 7,47–7,40 (m, 9H, arom.), 4,43 (t, 1H, 5',  $J = 4,90$ ), 3,70 (q, 1H, 2,  $J = 6,70$ ), 3,36 (q, 2H, 4',  $J = 4,90$ ), 3,08 (q, 2H, 2',  $J = 6,60$ ), 1,56–1,47 (m, 2H, 3'), 1,35 (d, 3H, 3,  $J = 6,89$ ).

$^{13}\text{C}$  NMR (DMSO- $d_6$ ,  $\delta$  ppm): 195,66 (10), 172,76 (1), 142,75 136,97, 136,77 (4, 8, 11), 132,59, 131,48, 129,51, 128,48, 128,43, 128,35, 127,94 (5–7, 9, 12–16), 58,22 (4'), 44,78 (2), 35,71 (2'), 32,25 (3'), 18,44 (3).

## 4.2. BIOLOŠKA ISPITIVANJA

### 4.2.1. INHIBICIJA UREAZE

#### 4.2.1.1. Materijali

Fenolno crvenilo i DMSO nabavljeni su od Kemike (Hrvatska), a ureaza iz soje ( $5 \text{ U mg}^{-1}$ ) od Mercka (Njemačka). Fenolno crvenilo korišteno je kao otopina ( $c = 1 \text{ g L}^{-1}$ , otapalo 96% (V/V) etanol). Kontrolni pufer pH 7,70 pripremljen je razrjeđivanjem otopine pripravljene iz otopine kalijevog dihidrogenfosfata ( $c = 1 \text{ mol L}^{-1}$ , 0,1 mL) i otopine natrijevog hidrogenfosfata ( $c = 1 \text{ mol L}^{-1}$ , 0,7 mL) vodom do 80 mL. Pufer pH 6,70 pripremljen je razrjeđivanjem otopine pripravljene iz otopine kalijevog dihidrogenfosfata ( $c = 1 \text{ mol L}^{-1}$ , 1 mL) i otopine natrijevog hidrogenfosfata ( $c = 1 \text{ mol L}^{-1}$ , 1 mL) vodom do 100 mL. Puferirana otopina uree (pH 6,70) pripravljena je otapanjem uree (3 g) u puferu pH 6,70 (100 mL).

#### 4.2.1.2. Metoda

U određivanju postotka inhibicije ureaze korištena je kolorimetrijska metoda.<sup>104,105</sup> Otopina fenolnog crvenila (25  $\mu\text{L}$ ) dodana je u otopinu C (DMSO (50  $\mu\text{L}$ ) razrijeđen kontrolnim puferom pH 7,70 (175  $\mu\text{L}$ )) i u otopinu S (otopina uzorka u DMSO (50  $\mu\text{L}$ ) razrijeđena puferom pH 6,70 (175  $\mu\text{L}$ )). Nakon dodatka otopine ureaze (460 jedinica u 25 mL vode, 250  $\mu\text{L}$ ) obje otopine su preinkubirane na 30 °C tijekom 30 min. Nakon razrjeđivanja otopine C kontrolnim puferom pH 7,70 (2,5 mL) mjerena je apsorbancija na 560 nm. Otopina S razrijeđena je puferiranom otopinom uree pH 6,70 (2,5 mL) te je na 560 nm mjereno vremenski interval potreban da apsorbancija otopine S stigne do izmjerene apsorbancije otopine C. Postotak inhibicije (%) svakog uzorka izračunat je prema sljedećoj jednadžbi:

$$\text{postotak inhibicije (\%)} = [(t - t_0)/t] \times 100$$

$t$  – vremenski interval (s) mjereno za svaki uzorak određene molarne koncentracije ispitivanog spoja;  $t_0$  – vremenski interval (s) mjereno za uzorak bez ispitivanog spoja (slijepa proba). Svaki uzorak mjereno je u triplicatu.

#### 4.2.2. ANTIMIKROBNO ISPITIVANJE

##### 4.2.2.1. Mikrobiološke vrste i materijali

Mikrobiološke vrste (*Bacillus subtilis* ATCC 6633, *Staphylococcus aureus* ATCC 25923, *Enterococcus faecalis* ATCC 29212, *Kocuria rhizophila* ATCC 9341, *Escherichia coli* ATCC 10535, *Salmonella enterica* subsp. *enterica* ATCC 13076, *Pseudomonas aeruginosa* ATCC 27853 i *Candida albicans* ATCC 10231) korištene u ispitivanju nabavljene su od American Type Culture Collection (ATCC, LGC Promochem, UK). Prije ispitivanja, mikrobiološke vrste presađene su iz hranjivog agara (zbirka Zavoda za mikrobiologiju Farmaceutsko-biokemijskog fakulteta), te su dva puta subkultivirane na triptikaza-sojin agar (Merck, Njemačka) za bakterijske vrste i na Sabouraud 2% (*m/V*)-glukoza agar (BBL, Njemačka) za gljivice tijekom 24 h na 37 °C. Svi inokulumi iz mikrobioloških kultura upotrebljeni za ispitivanje antimikrobnog djelovanja uzeti su iz svježe pripravljene kulture (24 h) u fiziološkoj otopini. Oksitetraciklin hidroklorid i nistatin nabavljeni su od Plive (Hrvatska), a norfloksacin od Krke (Slovenija), te su korišteni kao kontrola osjetljivosti mikrobiološke kulture u metodi difuzije. Radne otopine antibiotika pripravljene su u puferskim otopinama prema smjernicama Europske farmakopeje.<sup>106</sup>

##### 4.2.2.2. Metode antimikrobnog učinka

U uvjetima *in vitro* antimikrobna aktivnost ispitana je korištenjem difuzijske metode prema smjernicama Europske farmakopeje<sup>106</sup> kako bi se dobile zone inhibicije. Müller-Hinton agar (Merck, Njemačka) korišten je kao hranjivi medij za utvrđivanje zona inhibicije rasta. 50 µL spoja otopljenog u DMSO-u unešeno je u rupice, te je inkubirano prvo na 4 °C, a onda tijekom 24 h na 37 °C. DMSO je korišten kao kontrola.

Za određivanje minimalne inhibitorne (*MIC*) i minimalne mikrobicidne koncentracije (*MMcC*) korištena je metoda serijalnog mikrorazrijeđenja u mikrotitar pločama s 96 jažica (TTG, Švicarska) u Müller-Hinton bujonu (Merck, Njemačka), prema smjernicama Clinical and Laboratory Standards Institute (CLSI, prije National Committee for Clinical Laboratory Standards, NCCLS) M7-A4.<sup>107</sup> Inokulum je pripremljen s fiziološkom otopinom kako bi dobili približnu gustoću mikrobnih stanica od

0,5 McFarlandovih jedinica. *MIC* i *MMcC* određene su nakon perioda inkubacije (24 h) i nakon subkultivacije svih razrjeđenja na površini Müller-Hinton agara. Nakon 24 h inkubacije, *MIC* je određena kao najniža koncentracija koja uzrokuje rast  $\leq 20\%$  od kontrolne razine, a *MMcC* kao najniža koncentracija kod koje nije došlo do vizualnog rasta.

Kod najviše koncentracije (min. 99%) DMSO nije pokazao antimikrobnu aktivnost.



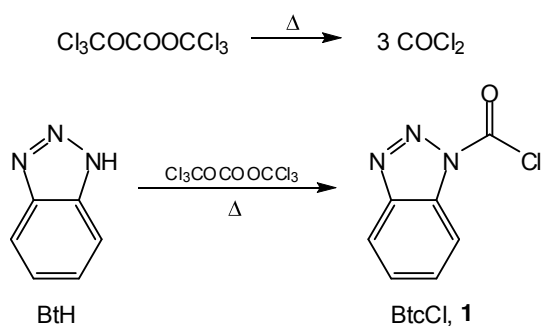
## **5. REZULTATI I RASPRAVA**





## 5.1. SINTEZE

Početni spoj za pripravu derivata aminokiselina: *N*-(1-benzotriazolkarbonil)-aminokiselina (*N*-Btc-aminokiselina) **2**, njihovih klorida **3**, amida **4**, 3,5-disupstituiranih hidantoina **5** i derivata NSAID: NSAID benzotriazolida **7**, NSAID hidroksamskih kiselina i njihovih derivata **8**, amida ketoprofena **9**, **10**, **11** i 3-hidroksipropilamida NSAID **12**, bio je klorid 1-benzotriazolkarboksilne kiseline (BtcCl, **1**). Taj spoj dobiven je refluksiranjem benzotriazola i trifozgena u toluenskoj otopini (Shema 36).<sup>108</sup> Klorid **1** može se prirediti i iz benzotriazola i 20%-tne otopine fozgena u toluenu ili uvođenjem plinovitog fozgena iz metalnog spremnika u toluensku otopinu benzotriazola.<sup>109</sup> Zbog otežanog rukovanja i sigurnosti na radu u laboratoriju, danas se sve više upotrebljava trimer fozgena, odnosno čvrsti trifozgen, koji zagrijavanjem prelazi u fozgen prema jednadžbi prikazanoj na Shemi 36.



**Shema 36.** Sinteza klorida 1-benzotriazolkarboksilne kiseline (BtcCl, **1**).

5.1.1. SINTEZA 3,5-DISUPSTITUIRANIH HIDANTOINA **5a-h**

Prvi korak u sintezi hidantoina je sinteza *N*-Btc-aminokiselina **2a-d**. Klorid 1-benzotriazolkarboksilne kiseline reagira s amino skupinom aminokiselina (L-valin, L-leucin, D-fenilglicin, L-fenilalanin) pri čemu nastaju *N*-Btc-aminokiseline.<sup>101</sup> Reakcija se provodi u bezvodnom dioksanu, na sobnoj temperaturi, uz molarni omjer reaktanata 1:2, pri čemu 1 mol aminokiseline služi kao akceptor u reakciji oslobođenog klorovodika. Nastali hidroklorid aminokiseline praktički je netopljiv u dioksanu i odsiše se, a uparavanjem matičnice dobije se sirovi produkt **2**.

*N*-(1-benzotriazolkarbonil)aminokiseline **2a-d** prevedene su pomoću tionilklorida u odgovarajuće kiselinske kloride **3a-d**, koji su upotrebljeni u daljnjim reakcijama bez čišćenja. Reakcijom s odgovarajućim aminima priređeni su amidi *N*-Btc-aminokiselina **4** (Shema 37).<sup>3,5</sup>

Pripravljeni su sljedeći amidi:

*N*-(1-benzotriazolkarbonil)-L-valin benzhidrilamid (**4a**),

*N*-(1-benzotriazolkarbonil)-L-leucin benzhidrilamid (**4b**),

*N*-(1-benzotriazolkarbonil)-D-fenilglicin cikloheksilamid (**4c**),

*N*-(1-benzotriazolkarbonil)-D-fenilglicin benzhidrilamid (**4d**),

*N*-(1-benzotriazolkarbonil)-L-fenilalanin ciklopentilamid (**4e**),

*N*-(1-benzotriazolkarbonil)-L-fenilalanin cikloheksilamid (**4f**),

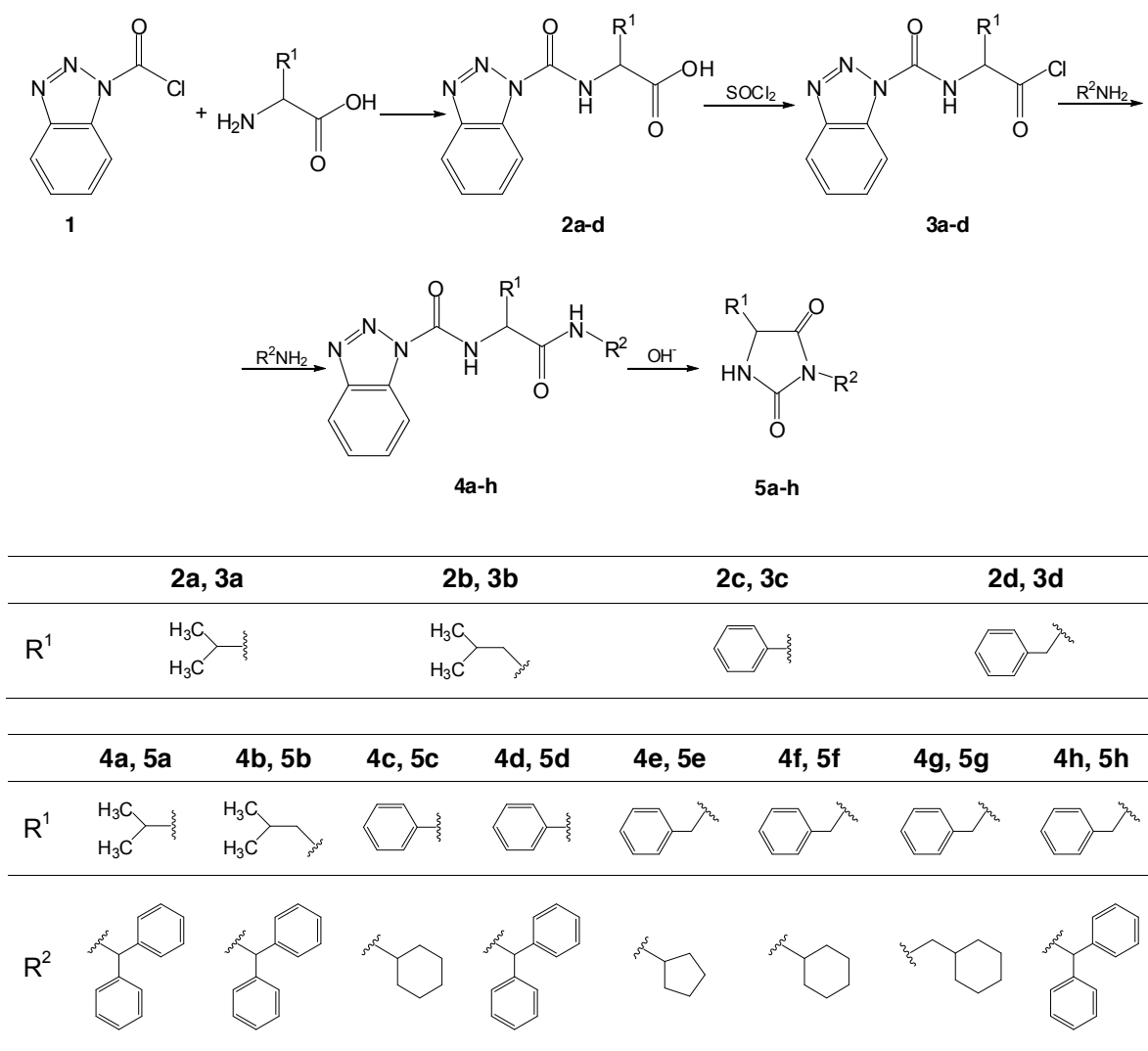
*N*-(1-benzotriazolkarbonil)-L-fenilalanin cikloheksanmetilamid (**4g**),

*N*-(1-benzotriazolkarbonil)-L-fenilalanin benzhidrilamid (**4h**).

Svi amidi sintetizirani su prema ranije razvijenom postupku,<sup>5</sup> a sinteza i potpuna karakterizacija (tališta, elementarne analize, IR, <sup>1</sup>H i <sup>13</sup>C NMR) tih i srodnih spojeva također je opisana ranije.<sup>3</sup> Novi Btc-amid je **4a**, pa su u Tablicama 3–5 dani i njegovi podaci.

Amidi *N*-Btc-aminokiselina **4** u lužnatom mediju vrlo lako cikliziraju u 3,5-disupstituirane hidantoina **5** uz odvajanje benzotriazola (Shema 37).<sup>3,5</sup> Supstituent u položaju 5 ovisi o upotrebljenoj aminokiselini, a supstituent u položaju 3 o upotrebljenom aminu u sintezi amida **4**. Reakcija je vrlo brza i jednostavna. Otopini amida **4** u acetonu dodaje se vodena otopina natrijevog karbonata (*w* = 5%). Reakcija završava nakon kratkotrajnog miješanja na sobnoj temperaturi. Hidantoin **7** taloži se

nakon uparavanja acetona te se odsiše, a natrijeva sol benzotriazola zaostaje u vodenom sloju.



**Shema 37.** Sinteza 3,5-disupstituiranih hidantoina **5a-h**.

Priređeni su sljedeći hidantoini:

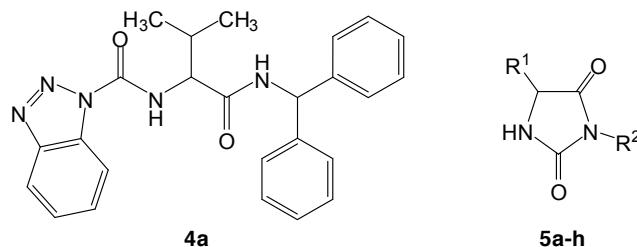
- 3-benzhidril-5-izopropil hidantoin (**5a**),
- 3-benzhidril-5-izobutil hidantoin (**5b**),
- 3-cikloheksil-5-fenil hidantoin (**5c**),
- 3-benzhidril-5-fenil hidantoin (**5d**),
- 3-ciklopentil-5-benzil hidantoin (**5e**),
- 3-cikloheksil-5-benzil hidantoin (**5f**),
- 3-cikloheksanmetil-5-benzil hidantoin (**5g**),
- 3-benzhidril-5-benzil hidantoin (**5h**).

Od sintetiziranih spojeva novi spojevi su **4a** i svi hidantoini, osim **5c** i **5f**.<sup>5,65,66</sup> Sinteza hidantoina i njihova čistoća praćeni su tankoslojnom kromatografijom, a strukture spojeva **4a** te **5a-h** potvrđene su IR, <sup>1</sup>H i <sup>13</sup>C NMR spektroskopijom i elementarnom analizom (sve elementarne analize bile su unutar 0,4%).

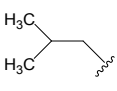
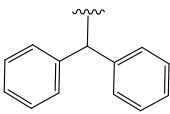
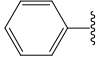
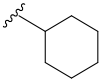
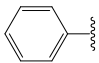
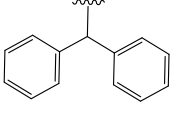
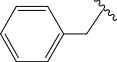
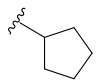
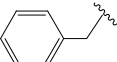
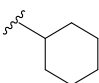
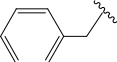
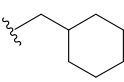
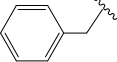
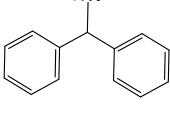
IR spektri hidantoina pokazuju karakteristične vrpce kod 3227–3314 (NH), 1760–1774 i 1698–1718 (C=O) cm<sup>-1</sup>. <sup>1</sup>H NMR spektri ispitivanih spojeva otkrivaju da se NH nalazi u području 8,15 do 8,91 ppm. Analizom <sup>13</sup>C NMR spektara utvrđeno je da se karbonil u položaju 4 nalazi u području 172,35–175,20 ppm, a karbonil u položaju 2 u području 156,22–158,25 ppm. Kemijski pomaci drugih protona u <sup>1</sup>H, te atoma ugljika u <sup>13</sup>C NMR spektrima u skladu su s predloženim strukturama novih spojeva.

Analitički i spektroskopski podaci dani su u Tablicama 3–5.

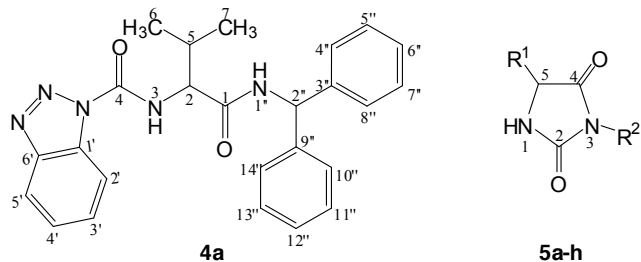
**Tablica 3.** Analitički i IR podaci za *N*-(1-benzotriazolkarbonil)-*L*-valin benzhidrilamid (**4a**) i 3,5-disupstituirane hidantoinine **5a-h**.



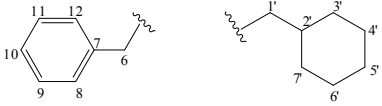
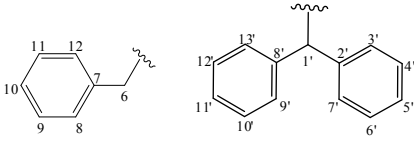
Spoj	R <sup>1</sup>	R <sup>2</sup>	Iskor. (%)	<i>t</i> <sub>t</sub> (°C)	Molekulska formula (M <sub>r</sub> )	IR (KBr/film) ν <sub>max</sub> (cm <sup>-1</sup> )
<b>4a</b>	—	—	48	155–160	C <sub>25</sub> H <sub>25</sub> N <sub>5</sub> O <sub>2</sub> (427,25)	3288, 3111, 3063, 2966, 1713, 1650, 1556, 1524, 1449, 1232, 1077, 760, 698
<b>5a</b>			86	ulje	C <sub>19</sub> H <sub>20</sub> N <sub>2</sub> O <sub>2</sub> (308,37)	3249, 3063, 3030, 2963, 2930, 1772, 1711, 1496, 1450, 1417, 1347, 1176, 1116, 748, 697

<b>5b</b>			88	139–141	$C_{20}H_{22}N_2O_2$ (322,40)	3265, 3110, 3069, 3032, 2956, 2930, 1773, 1711, 1496, 1450, 1422, 1373, 1320, 1175, 1113, 714, 699, 668
<b>5c</b>			37	180–184	$C_{15}H_{18}N_2O_2$ (258,32)	3228, 3100, 3037, 2927, 2856, 1765, 1706, 1458, 1429, 1383, 1349, 1194, 1115, 763, 726, 706
<b>5d</b>			24	172–177	$C_{22}H_{18}N_2O_2$ (342,39)	3230, 3093, 3032, 2825, 1774, 1712, 1495, 1455, 1423, 1373, 1283, 1176, 826, 763, 722, 701
<b>5e</b>			73	121–124	$C_{15}H_{18}N_2O_2$ (258,32)	3258, 3091, 3034, 2959, 2869, 1760, 1718, 1431, 1387, 1213, 760, 700
<b>5f</b>			85	119–120	$C_{16}H_{20}N_2O_2$ (272,34)	3271, 3093, 3033, 2926, 2856, 1768, 1707, 1629, 1560, 1498, 1436, 1384, 1111, 725, 696
<b>5g</b>			80	150–153	$C_{17}H_{22}N_2O_2$ (286,37)	3314, 3085, 3030, 2925, 2852, 1768, 1698, 1496, 1454, 1428, 1360, 1124, 1099, 755, 726, 700
<b>5h</b>			29	76 (raspad)	$C_{23}H_{22}N_2O_2$ (356,42)	3269, 3030, 2925, 1774, 1711, 1602, 1496, 1452, 1419, 1374, 1178, 752, 699

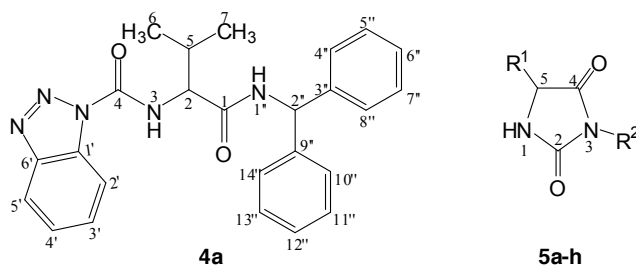
**Tablica 4.**  $^1\text{H}$  NMR spektroskopski podaci za *N*-(1-benzotriazolkarbonil)-L-valin benzhidrilamid **4a** i 3,5-disupstituirane hidantoine **5a-h**.

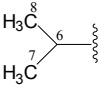
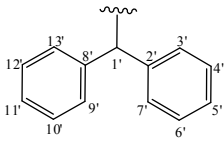
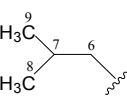
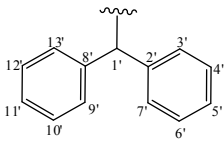
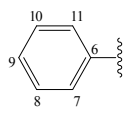
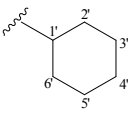


Spoj	R <sup>1</sup>	R <sup>2</sup>	$^1\text{H}$ NMR (DMSO- <i>d</i> <sub>6</sub> , $\delta$ ppm, <i>J</i> /Hz)
<b>4a</b>	—	—	9,19 (d, 1H, 3, <i>J</i> = 8,42), 8,68 (d, 1H, 1'', <i>J</i> = 8,53), 8,25–7,14 (m, 14H, arom.), 6,20 (d, 1H, 2'', <i>J</i> = 8,54), 4,49 (d, 1H, 2, <i>J</i> = 7,89), 2,34–2,23 (m, 1H, 5), 0,96–0,70 (m, 6H, 6, 7)
<b>5a</b>			8,40 (s, 1H, 1), 7,38–7,23 (m, 10H, arom.), 6,35 (s, 1H, 1'), 4,07 (d, 1H, 5, <i>J</i> = 3,33), 2,08–1,97 (m, 1H, 6), 0,92 (d, 3H, 7, <i>J</i> = 6,92), 0,71 (d, 3H, 8, <i>J</i> = 6,78)
<b>5b</b>			8,51 (s, 1H, 1), 7,38–7,22 (m, 10H, arom.), 6,34 (s, 1H, 1'), 4,18 (q, 1H, 5, <i>J</i> = 4,11), 1,79–1,74 (m, 1H, 7), 1,56–1,36 (m, 2H, 6), 0,87 (2d, 6H, 8, 9, <i>J</i> = 4,09)
<b>5c</b>			8,64 (s, 1H, 1), 7,44–7,29 (m, 5H, arom.), 5,13 (s, 1H, 5), 3,81–3,70 (m, 1H, 1'), 2,12–1,02 (m, 10H, 2'–6')
<b>5d</b>			8,91 (s, 1H, 1), 7,43–7,20 (m, 15H, arom.), 6,39 (s, 1H, 1'), 5,34 (s, 1H, 5)
<b>5e</b>			8,18 (s, 1H, 1), 7,28–7,13 (m, 5H, arom.), 4,29 (t, 1H, 5, <i>J</i> = 4,38), 4,09–4,02 (m, 1H, 1'), 2,94 (d, 2H, 6, <i>J</i> = 4,22), 1,67–1,42 (m, 8H, 2'–5')
<b>5f</b>			8,15 (s, 1H, 1), 7,28–7,13 (m, 5H, arom.), 4,29 (t, 1H, 5, <i>J</i> = 4,39), 3,52–3,44 (m, 1H, 1'), 2,93 (t, 2H, 6, <i>J</i> = 3,53), 1,85–0,94 (m, 10H, 2'–6')

<b>5g</b>		8,21 (s, 1H, 1), 7,27–7,14 (m, 5H, arom.), 4,38 (t, 1H, 5, $J = 4,22$ ), 3,05–2,87 (m, 4H, 6, 1'), 1,61–0,50 (m, 11H, 2'–7')
<b>5h</b>		8,44 (s, 1H, 1), 7,30–6,73 (m, 15H, arom.), 6,13 (s, 1H, 1'), 4,52 (t, 1H, 5, $J = 4,28$ ), 3,07–2,94 (m, 2H, 6)

**Tablica 5.**  $^{13}\text{C}$  NMR spektroskopski podaci za *N*-(1-benzotriazolkarbonil)-L-valin benzhidrilamid (**4**) i 3,5-disupstituirane hidantoine **5a-h**.



Spoj	R <sup>1</sup>	R <sup>2</sup>	$^{13}\text{C}$ NMR (DMSO- <i>d</i> <sub>6</sub> , $\delta$ ppm)
<b>4a</b>	–	–	169,29 (1), 148,59 (4), 145,45, 142,00, 131,17 (1', 6', 3', 9''), 130,08, 128,30, 128,15, 127,24, 127,15, 126,99, 125,61, 119,82, 113,37 (2'–5', 4''–8'', 10''–14''), 63,90 (2), 56,04 (2'') 30,77 (5), 19,17 (6), 18,20 (7)
<b>5a</b>			173,63 (4), 156,87 (2), 138,63, 138,37 (2', 8'), 128,56, 128,37, 128,32, 128,22, 127,64, 127,53 (3'–7', 9'–13'), 61,06 (1'), 57,14 (5), 29,92 (6), 18,64 (7), 15,84 (8)
<b>5b</b>			174,34 (4), 156,22 (2), 138,30, 138,21 (2', 8'), 128,15, 128,12, 127,33 (3'–7', 9'–13'), 56,85 (1'), 54,44 (5), 40,75 (6), 23,96 (7), 22,98 (8), 21,27 (9)
<b>5c</b>			172,36 (4), 156,61 (2), 135,91 (6), 128,62, 128,23, 126,68 (7–11), 59,08 (5), 50,22 (1'), 28,92 (2'), 28,83 (6), 25,27 (3'), 25,24 (5'), 24,72 (4')

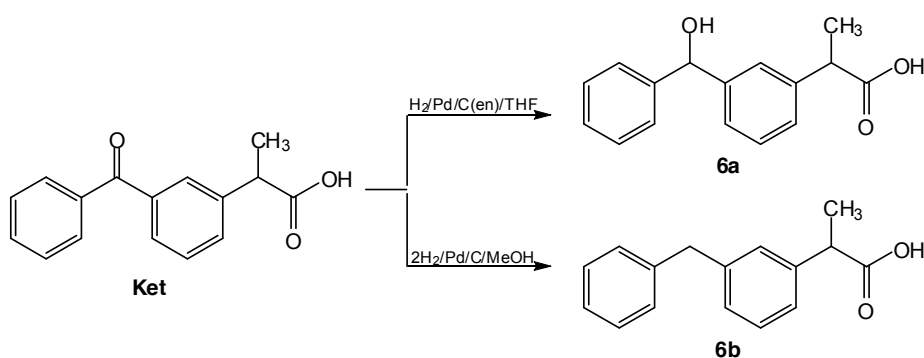


<b>5d</b>		<p>172,35 (4), 156,54 (2), 138,96, 138,30, 135,85 (6, 2', 8'), 128,94–126,87 (7–11, 3'–7', 9'–13'), 59,66 (1'), 57,35 (5)</p>
<b>5e</b>		<p>175,20 (4), 158,25 (2), 136,80 (7), 131,64, 129,81, 128,55 (8–12), 58,11 (5), 51,90 (1'), 38,30 (6), 30,30 (5'), 30,02 (2'), 26,39 (3', 4')</p>
<b>5f</b>		<p>173,20 (4), 156,22 (2), 134,78 (7), 129,76, 127,82, 126,60 (8–12), 56,04 (5), 49,64 (1'), 36,28 (6), 28,58 (2'), 28,39 (6'), 25,18 (3', 5'), 24,68 (4')</p>
<b>5g</b>		<p>173,27 (4), 156,60 (2), 134,78 (7), 129,80, 127,82, 126,58 (8–12), 56,71 (5), 43,37 (1'), 35,95 (6), 35,66 (2'), 29,79 (3'), 29,52 (7'), 25,65 (4'), 25,17 (6'), 25,12 (5')</p>
<b>5h</b>		<p>172,87 (4), 155,72 (2), 138,01, 137,95, 134,65 (7, 2', 8'), 126,78–130,01 (8–12, 3'–7', 9'–13'), 56,62 (5, 1'), 35,78 (6)</p>

## 5.1.2. SINTEZA DERIVATA NSAID 6–12

## 5.1.2.1. Sinteza reduciranih derivata ketoprofena 6a,b

Dva derivata ketoprofena, **6a** i **b**, pripravljena su katalitičkim hidrogeniranjem ketoprofena. Variranjem otapala i upotrebljenog katalizatora optimirane su metode za potpunu, odnosno djelomičnu redukciju keto skupine (Shema 38).



**Shema 38.** Redukcija ketoprofena pri različitim reakcijskim uvjetima.

Katalitičkim hidrogeniranjem ketoprofena pri atmosferskom tlaku vodika uz 10%-tni Pd/C i metanol kao otapalo, karbonilna skupina ketoprofena reducira se u metilensku skupinu. Pod tim uvjetima nastali međuprodukt **6a** odmah se dalje reducira u **6b**, pa je krajnji produkt hidrogeniranja difenilmetanski derivat **6b**.

Hattori i suradnici razvili su blagu i kemoselektivnu metodu hidrogeniranja  $\alpha$ -aromatskih ketona i aldehida u odgovarajuće benzilne alkohole uz heterogeni paladijev katalizator, Pd-etilendiamin kompleks na ugljenu (Pd/C(en)).<sup>110</sup> On posjeduje slabiju katalitičku aktivnost od komercijalnog Pd/C jer koordinirani etilendiamin djeluje kao slabi otrov za katalizator. Osim selektivnog hidrogeniranja aromatskih aldehida i ketona u benzilne alkohole, on također selektivno katalizira hidrogeniranje različitih spojeva, kao što su olefini, benzilni esteri, azidi i nitro spojevi, pri čemu ne dolazi do hidrogenolize *O*-benzilnih, *N*-benziloksikarbonilnih i *O*-*t*-butildimetilsililnih zaštitnih skupina i epoksida. Isto tako, uz njega se acetati benzilnih alkohola lako deacetoksiliraju te nastaju odgovarajući metilenski derivati, iako on ne katalizira izravnu hidrogenolizu benzilnih alkohola u metilenske derivate.

Pomoću 10%-tnog Pd/C(en) karbonilna skupina ketoprofena selektivno je reducirana u hidroksilnu skupinu. Kao otapalo korišten je tetrahidrofuran, u kojem reakcija napreduje sporije nego u metanolu, ali je selektivnija te ju je moguće zaustaviti na hidroksilnom derivatu **6a**. Nakon završetka reakcije katalizator je odfiltriran, a matičnica uparena, te su dobiveni čisti produkti **6a** i **b** u kvantitativnom iskorištenju.

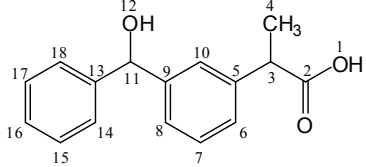
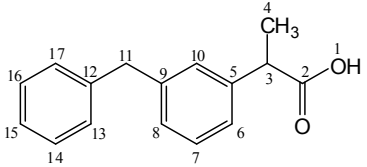
U literaturi je opisana analogna sinteza **6a** uz Pd/C kao katalizator te dodatak TEA.<sup>85,86</sup> Međutim, katalitičkim hidrogeniranjem ketoprofena uz 10%-tni Pd/C(en), **6a** je dobiven u značajno višem iskorištenju.

Sinteza spojeva **6a** i **b** i njihova čistoća praćeni su tankoslojnom kromatografijom, a njihove strukture potvrđene su IR, <sup>1</sup>H i <sup>13</sup>C NMR spektroskopijom i elementarnom analizom (sve elementarne analize bile su unutar 0,4%).

IR spektri oba spoja pokazuju dvije karakteristične vrpce: široku vrpcu u području 3400–2500 cm<sup>-1</sup> (OH skupina karboksilne kiseline povezana vodikovom vezom), te usku vrpcu kod 1700, odnosno 1709 cm<sup>-1</sup> (C=O). U <sup>1</sup>H NMR spektrima OH skupina karboksilne kiseline nalazi se na 12,23 ppm, dok se karbonilna skupina u <sup>13</sup>C NMR spektrima nalazi se na 175,76, odnosno 175,78 ppm.

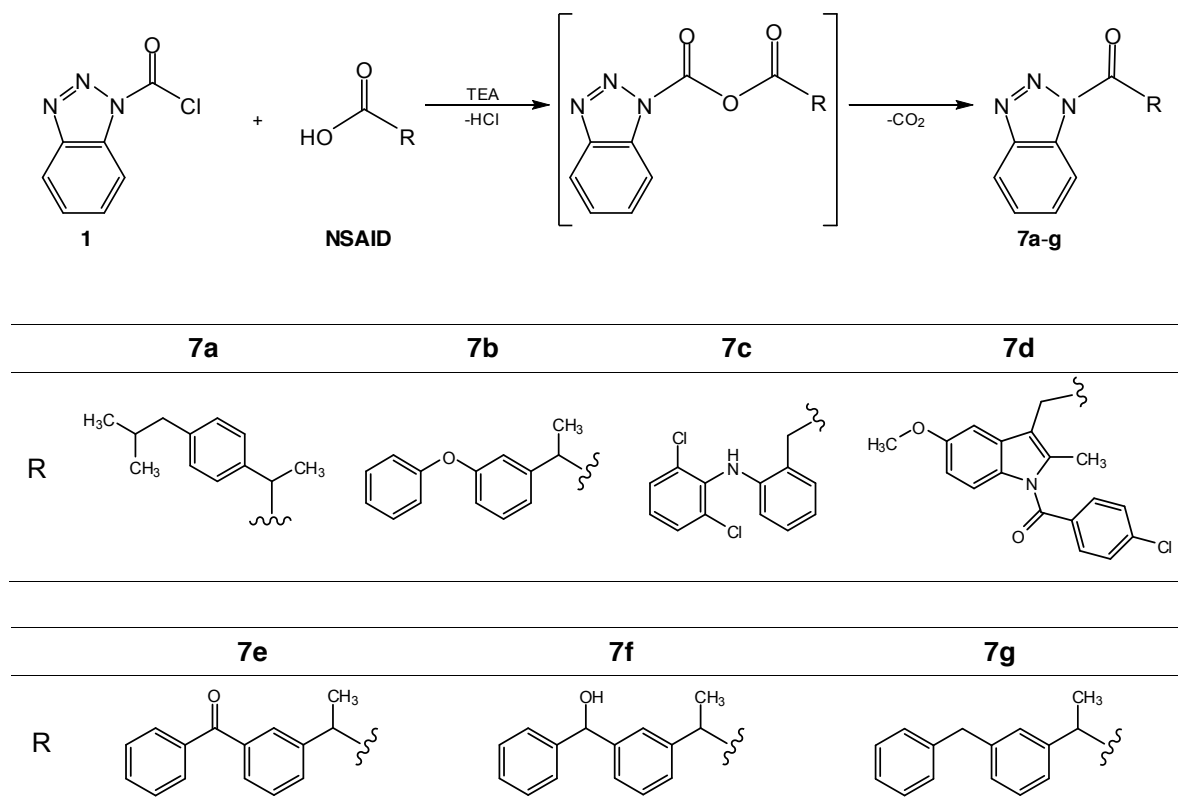
Tališta spojeva **6a** i **b** nisu identična s literaturnim podacima, ali njihovi spektroskopski podaci u skladu su s literaturnim podacima i u skladu s predloženim strukturama,<sup>81,84,85</sup> te su prikazani u Tablici 6.

Tablica 6. Analitički i spektroskopski podaci za derivate ketoprofena **6a** i **b**.

Spoj		
	<b>6a</b>	<b>6b</b>
Iskor. (%)	100	100
$t_f$ (°C)	116–118	53–54
Molekulska formula	C <sub>16</sub> H <sub>16</sub> O <sub>3</sub>	C <sub>16</sub> H <sub>16</sub> O <sub>2</sub>
$M_r$	256,30	240,30
IR (KBr) $\nu_{\max}$ (cm <sup>-1</sup> )	3417, 3028, 2988, 2918, 2713, 2610, 1709, 1601, 1490, 1454, 1327, 1237, 1020, 914, 839, 799, 708, 698	3084, 3060, 3027, 2987, 2931, 2733, 2642, 1700, 1598, 1494, 1451, 1417, 1238, 1213, 1085, 939, 756, 717, 699
<sup>1</sup> H NMR (DMSO- <i>d</i> <sub>6</sub> , $\delta$ ppm, <i>J</i> /Hz)	12,23 (s, 1H, 1), 7,38–7,11 (m, 9H, arom.), 5,89 (s, H, 12), 5,68 (s, 1H, 11), 3,64 (q, 1H, 3, <i>J</i> = 7,05), 1,33 (d, 3H, 4, <i>J</i> = 7,08)	12,23 (s, 1H, 1), 7,29–7,06 (m, 9H, arom.), 3,90 (s, 3H, 11), 3,60 (q, 1H, 3, <i>J</i> = 7,06), 1,31 (d, 3H, 4, <i>J</i> = 7,12)
<sup>13</sup> C NMR (DMSO- <i>d</i> <sub>6</sub> , $\delta$ ppm)	175,78 (2), 146,35, 146,07, 141,54 (5, 9, 13), 128,61, 128,53, 127,17, 126,68, 126,19, 125,69, 125,26 (6–8, 10, 14–18), 74,69 (11), 45,20 (3), 19,08 (4)	175,76 (2), 141,86, 141,84, 141,61 (5, 9, 12), 129,13, 128,98, 128,88, 128,26, 127,63, 126,43, 125,45 (6–8, 10, 13–17), 45,09 (3), 41,53 (11), 19,01 (4)

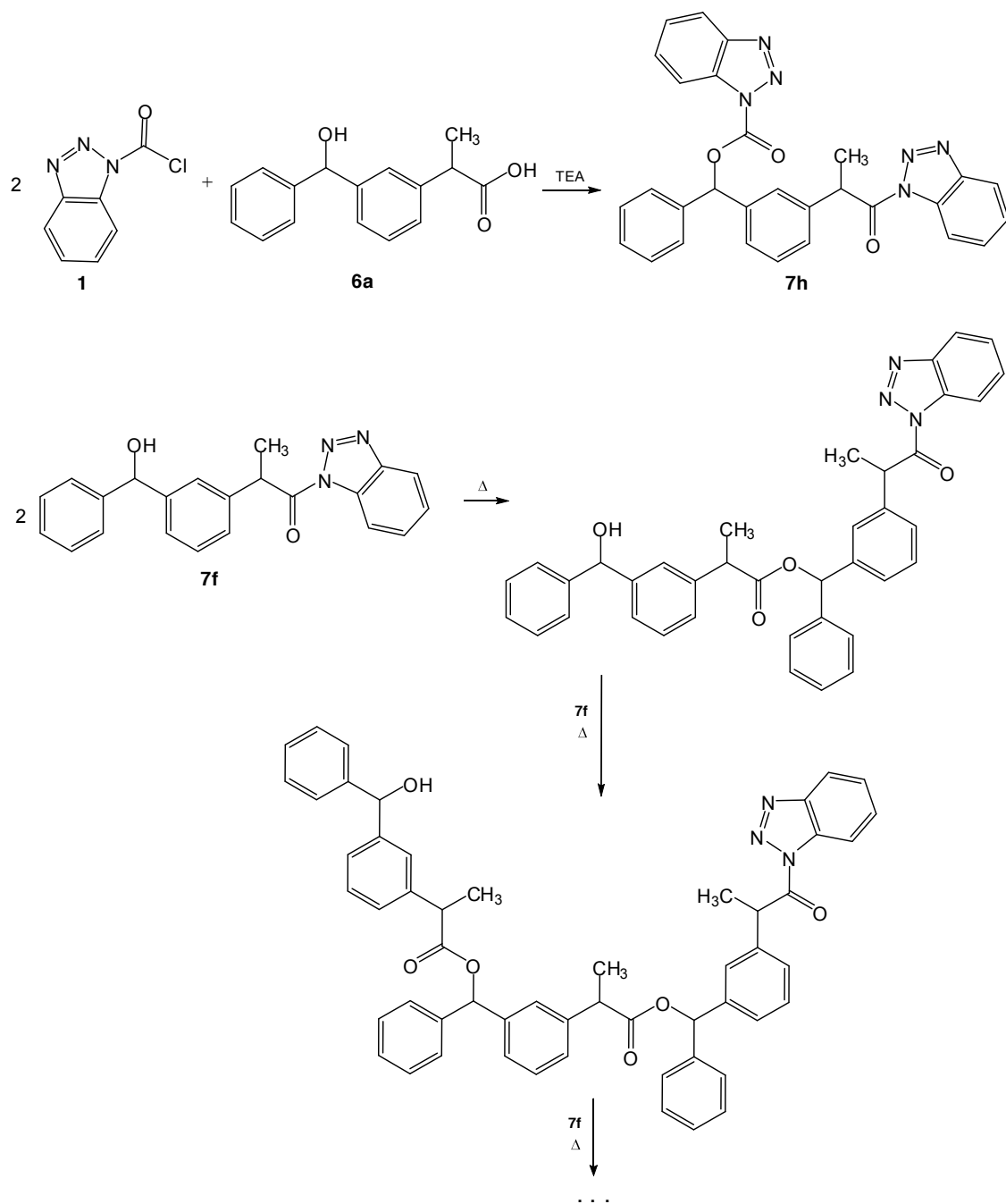
## 5.1.2.2. Sinteza NSAID benzotriazolida 7a-h

NSAID benzotriazolidi **7a-g** pripremljeni su reakcijom u kojoj klorid **1** reagira s odgovarajućim NSAID (ibuprofen, fenoprofen, diklofenak, indometacin, ketoprofen i njegovi derivati **6a,b**) u omjeru 1:1, u prisutnosti TEA.<sup>102,103</sup> Reakcijom prvo nastaje mješoviti anhidrid koji dekarboksilacijom daje benzotriazolid **7** (Shema 39).



Shema 39. Sinteza NSAID benzotriazolida **7a-g**.

Ako se reakcija spoja **6a** provodi s dva ekvivalenta klorida **1** nastaje benzotriazolid **7h**, u kojem je acilirana i hidroksilna skupina, u 70%-tnom iskorištenju (Shema 40). Reakcija kod sobne temperature niti uz suveliki višak klorida **1** ne ide do kraja, pa je spoj **7h** popraćen s više ili manje međuprodukta **7g**. Međutim, na povišenoj temperaturi postoji mogućnost sporedne reakcije u kojoj benzotriazolid **7f** (koji nastaje prvi) reagira s hidroksilnom skupinom iz druge molekule **7f**, te može doći do polikondenzacije (Shema 40).



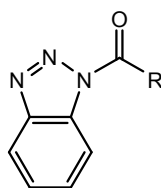
**Shema 40.** Sinteza benzotriazolida **7h** i moguća sporedna reakcija polikondenzacije.

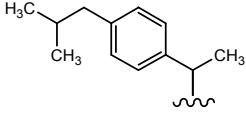
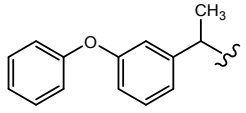
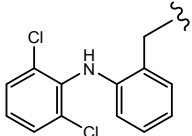
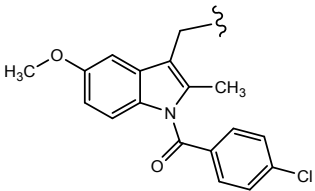
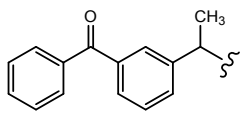
Sinteza i čistoća spojeva **7a-h** i praćeni su tankoslojnom kromatografijom, a njihove strukture potvrđene su IR,  $^1\text{H}$  i  $^{13}\text{C}$  NMR spektroskopijom i elementarnom analizom (elementarne analize bile su unutar 0,4%). Tališta ranije pripremljenih spojeva **7a-e** i njihovi spektroskopski podaci u skladu su s literaturnim podacima.<sup>102,103</sup>

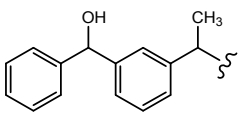
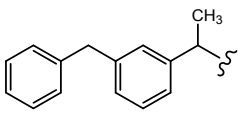
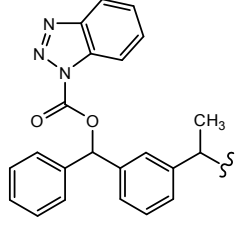
IR spektri NSAID benzotriazolida **7a-h** pokazuju za acilazole karakteristične  $\nu(\text{CO})$  apsorpcije kod  $1724\text{--}1739\text{ cm}^{-1}$ , pomaknute prema višim valnim brojevima u odnosu na apsorpcije karbonilne skupine u običnim amidima. Karbonilna skupina u položaju 1 u  $^{13}\text{C}$  NMR spektrima nalazi se u području  $169,43\text{--}173,50\text{ ppm}$ , te je pomaknuta u više polje (manji broj kemijskog pomaka) u odnosu na ishodnu karboksilnu kiselinu zbog njenog zasjenjenja benzotriazolskom skupinom. Kemijski pomaci u  $^1\text{H}$  i  $^{13}\text{C}$  NMR spektrima u skladu su s predloženim strukturama novih spojeva **7f-g**.

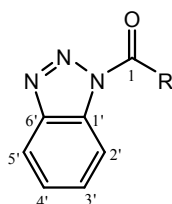
Analički i spektroskopski podaci spojeva **7a-h** prikazani su u Tablicama 7–9.

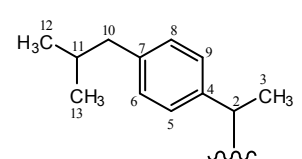
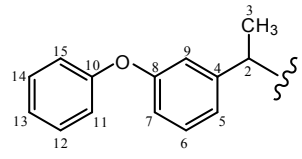
**Tablica 7.** Analitički i IR podaci za NSAID benzotriazole **7a-h**.



Spoj	R	Iskor. (%)	$t_f$ (°C)	Molekulska formula ( $M_r$ )	IR (KBr) $\nu_{\text{max}}$ ( $\text{cm}^{-1}$ )
<b>7a</b>		82	57–59	$\text{C}_{19}\text{H}_{21}\text{N}_3\text{O}$ (307,39)	3027, 2954, 1739, 1379, 949, 752
<b>7b</b>		75	63–67	$\text{C}_{21}\text{H}_{17}\text{N}_3\text{O}_2$ (343,38)	3064, 2985, 1729, 1580, 1487, 1450, 1374, 1243, 954, 770, 692
<b>7c</b>		77	163–165	$\text{C}_{20}\text{H}_{14}\text{Cl}_2\text{N}_4\text{O}$ (397,26)	3321, 3076, 2925, 1728, 1710, 1590, 1450, 1382, 1006, 750
<b>7d</b>		86	105–107	$\text{C}_{25}\text{H}_{19}\text{ClN}_4\text{O}_3$ (458,90)	3097, 2926, 1739, 1679, 1609, 1598, 1483, 1368, 1315, 1227, 1066, 965, 745
<b>7e</b>		78	59–60	$\text{C}_{22}\text{H}_{19}\text{N}_3\text{O}$ (341,41)	3027, 2937, 2918, 2852, 1730, 1597, 1485, 1452, 1390, 1372, 1168, 955, 780, 756, 738, 708, 692

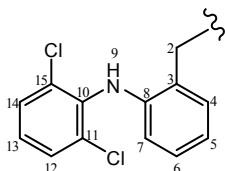
<b>7f</b>		75	96–99	$C_{22}H_{19}N_3O_2$ (357,41)	3342, 3072, 3027, 3003, 2942, 2874, 1738, 1060, 1597, 1486, 1452, 1376, 959, 771, 751, 746, 710
<b>7g</b>		87	96–98	$C_{22}H_{17}N_3O_2$ (355,39)	3027, 2917, 1724, 1652, 1450, 1382, 1321, 1282, 962, 942, 750, 713, 609
<b>7h</b>		70	124–127	$C_{29}H_{22}N_6O_3$ (502,52)	3091, 3032, 2980, 2937, 1764, 1732, 1597, 1486, 1451, 1398, 1250, 1036, 951, 781, 760, 748, 708, 583

Tablica 8.  $^1H$  NMR podaci za NSAID benzotriazole 7a-h.

Spoj	R	$^1H$ NMR (DMSO- $d_6$ , $\delta$ ppm, $J$ /Hz)
<b>7a</b>		8,27–8,21 (m, 2H, arom.), 7,80–7,75 (m, 1H, arom.), 7,62–7,57 (m, 1H, arom.), 7,35 (d, 2H, arom., $J = 8,02$ ), 7,12 (d, 2H, arom., $J = 8,05$ ), 5,31 (q, 1H, 2, $J = 6,96$ ), 2,37 (d, 2H, 10, $J = 7,14$ ), 1,79–1,75 (m, 1H, 11), 1,64 (d, 3H, 3, $J = 6,99$ ), 0,81 (d, 6H, 12, 13, $J = 6,60$ )
<b>7b</b>		8,26–8,22 (m, 2H, arom.), 7,81–7,76 (m, 1H, arom.), 7,64–7,58 (m, 1H, arom.), 7,39–7,33 (m, 3H, arom.), 7,22–7,12 (m, 3H, arom.), 6,99–6,96 (m, 2H, arom.), 6,88– 6,85 (m, 1H, arom.), 5,34 (q, 1H, 2, $J = 6,97$ ), 1,66 (d, 3H, 3, $J = 6,99$ )

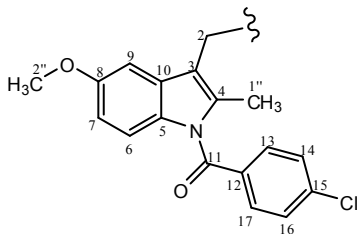


7c



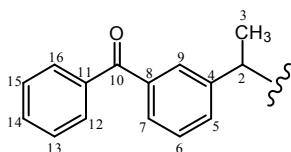
8,27 (dd, 2H, arom.,  $J = 8,29$ ,  $J = 3,10$ ), 7,82–7,77 (m, 1H, arom.), 7,65–7,60 (m, 1H, arom.), 7,53 (d, 2H, arom.,  $J = 8,07$ ), 7,36–7,08 (m, 4H, arom., 9), 6,89–6,84 (m, 1H, arom.), 6,24 (d, 1H, arom.,  $J = 8,01$ ), 4,94 (s, 2H, 2)

7d



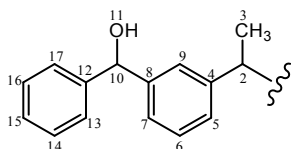
8,19 (d, 1H, arom.,  $J = 4,14$ ), 8,12 (d, 1H, arom.,  $J = 4,11$ ), 7,68 (t, 1H, arom.,  $J = 3,70$ ), 7,62 (d, 2H, arom.,  $J = 4,20$ ), 7,56 (d, 2H, arom.,  $J = 4,20$ ), 7,53 (t, 1H, arom.,  $J = 3,69$ ), 7,18 (d, 1H, arom.,  $J = 1,08$ ), 6,87 (d, 1H, arom.,  $J = 4,50$ ), 6,64 (dd, 1H, arom.,  $J = 1,16$ ,  $J = 3,33$ ), 4,83 (s, 2H, 2), 3,65 (s, 3H, 2''), 2,25 (s, 3H, 1'')

7e



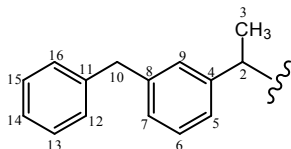
8,26–8,22 (m, 2H, arom.), 7,84–7,49 (m, 11H, arom.), 5,45 (q, 1H, 2,  $J = 7,05$ ), 1,70 (d, 3H, 3,  $J = 7,05$ )

7f



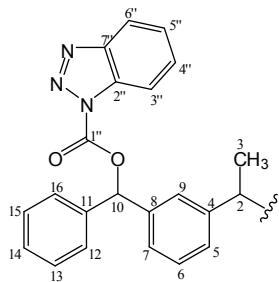
8,26–8,21 (m, 2H, arom.), 7,80–7,75 (m, 1H, arom.), 7,62–7,57 (m, 1H, arom.), 7,52–7,50 (m, 1H, arom.), 7,33–7,14 (m, 8H, arom.), 5,88 (d, 1H, 11,  $J = 4,00$ ), 5,65 (d, 1H, 10,  $J = 3,83$ ), 5,32 (q, 1H, 2,  $J = 6,89$ ), 1,63 (d, 3H, 3,  $J = 6,94$ )

7g

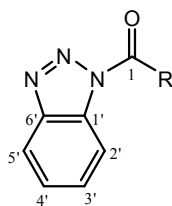


8,25–8,20 (m, 2H, arom.), 7,79–7,74 (m, 1H, arom.), 7,61–7,56 (m, 1H, arom.), 7,33–7,07 (m, 9H, arom.), 5,30 (q, 1H, 2,  $J = 6,94$ ), 3,90 (s, 2H, 10), 1,63 (d, 3H, 3,  $J = 6,99$ )

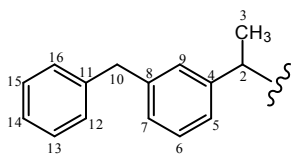
7h



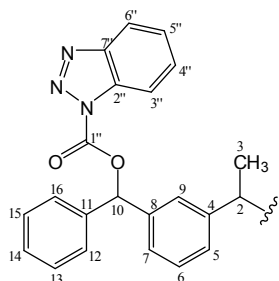
8,28–7,98 (m, 3H, arom.), 7,78–7,28 (m, 15H, arom.), 7,24 (s, 1H, 10), 5,38 (q, 1H, 2,  $J = 6,84$ ), 1,66 (d, 3H, 3,  $J = 6,94$ )

Tablica 9.  $^{13}\text{C}$  NMR podaci za NSAID benzotriazole **7a-h**.

Spoj	R	$^{13}\text{C}$ NMR (DMSO- $d_6$ , $\delta$ ppm)
<b>7a</b>		173,07 (1), 145,33, 140,19, 136,87, 130,65 (4, 7, 1', 6'), 130,82, 129,31, 127,37, 126,46, 119, 97, 113,92 (5, 6, 8, 9, 2'-5'), 44,11 (2), 44,04 (10), 29,41 (3), 22,04 (12, 13), 18,52 (11)
<b>7b</b>		172,80 (1), 157,02, 156,25, 145,50, 141,89, 130,78 (4, 8, 10, 1', 6'), 130,99, 130,52, 130,10, 126,63, 123,72, 122,64, 120,14, 118,81, 118,09, 117,20, 114,07 (5-7, 9, 11-15, 2'-5'), 44,59 (2), 18,61 (3)
<b>7c</b>		170,08 (1), 145,35, 143,62, 136,92, 132,01, 130,78, 120,91 (3, 8, 10, 11, 15, 1', 6'), 131,96, 130,64, 129,04, 128,03, 126,48, 126,26, 119,92, 119,78, 114,91, 113, 97 (4-7, 12-14, 2'-5'), 38,11 (2)
<b>7d</b>		169,43 (1), 167,87 (11), 155,61, 145,49, 137,71, 136,38, 134,02, 130,79, 130,72, 130,26, 111,40 (3-5, 8, 10, 12, 15, 1', 6'), 131,17, 130,69, 129,04, 126,36, 119,99, 114,51, 113,95, 111,51, 102,00 (6, 7, 9, 13, 14, 16, 17, 2'-5'), 55,39 (2"), 30,89 (2), 13,29 (1")
<b>7e</b>		195,33 (10), 172,74 (1), 140,80, 137,38, 136,80, 130,96, 114,05 (4, 8, 11, 1', 6'), 145,48, 132,78, 132,13, 129,66, 129,22, 129,21, 129,12, 128,87, 128,57, 126,60, 120,11 (5-7, 9, 12-16, 2'-5'), 44,35 (2), 18,60 (3)
<b>7f</b>		173,50 (1), 146,82, 145,88, 145,83, 140,01, 131,18 (4, 8, 12, 1', 6'), 131,39, 129,08, 128,45, 127,14, 127,02, 126,66, 126,63, 126,58, 125,84, 120,53, 114,44 (5-7, 9, 13-17, 2'-5'), 74,49 (10), 45,12 (2), 19,07 (3)

**7g**

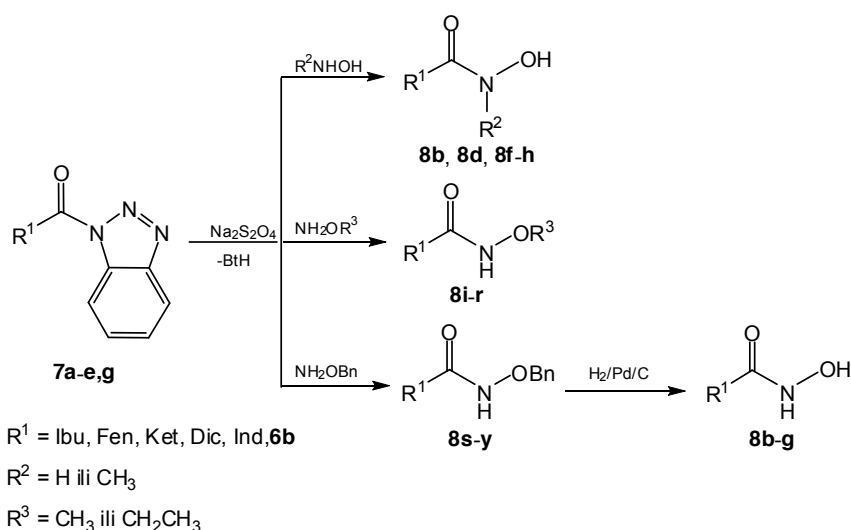
173,47 (1), 145,88, 142,33, 141,39, 140,32, 131,18 (4, 8, 11, 1', 6'), 131,38, 129,41, 129,06, 128,82, 128,57, 128,21, 127,01, 126,41, 125,77, 120,52, 114,45 (5-7, 9, 12-16, 2'-5'), 45,05 (2), 41,37 (10), 19,06 (3)

**7h**

173,28 (1), 147,91 (1''), 145,80, 145,77, 140,72, 140,02, 139,17, 131,73 (4, 8, 11, 1', 6', 2'', 7''), 131,36, 131,11, 129,83, 129,20, 128,29, 127,36, 127,23, 126,97, 126,79, 126,55, 126,38, 120,70, 120,45, 114,39, 113,67 (5-7, 9, 12-16, 2'-5', 3''-6''), 81,48 (10), 45,04 (2), 18,98 (3)

### 5.1.2.3. Sinteza NSAID hidrosamskih kiselina i njihovih derivata **8a-y** i IR i NMR spektroskopska studija

Reaktivni NSAID benzotriazolidi **7a-e** i **7g** bili su ishodni spojevi u sintezi NSAID hidrosamskih kiselina i njihovih derivata **8a-y**. Benzotriazol je u spojevima **7a-e** i **7g** u reakciji nukleofilne supstitucije zamijenjen odgovarajućim hidrosilaminom (hidrosilamin, *N*-metilhidrosilamin, *O*-metilhidrosilamin, *O*-etilhidrosilamin i *O*-benzilhidrosilamin, Shema 41). Reakcije su izvođene u odsutnosti TEA (Metoda A) ili u prisutnosti TEA (Metoda B), u različitim otapalima i uz natrijev ditionit kao antioksidans kako bi se poboljšala iskorištenja. Općenito, Metodom B dobivena su viša iskorištenja uz kraća reakcijska vremena (Tablica 10). *O*-benzilirani derivati **8s-y** reakcijom katalitičkog hidrogeniranja (Metoda C) dali su slobodne NSAID hidrosamske kiseline **8b-g**.

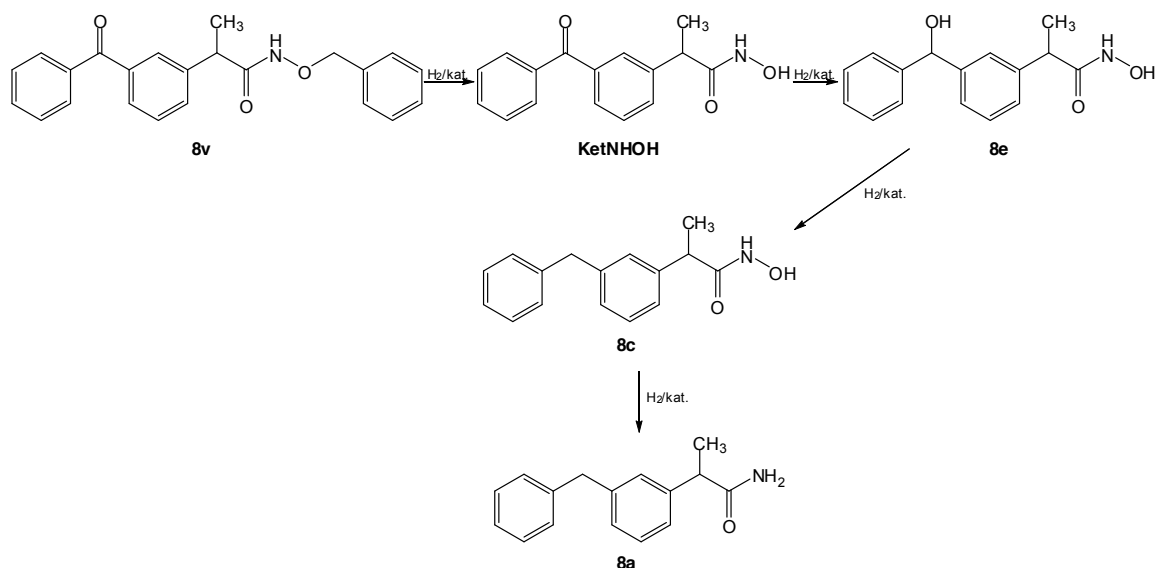


**Shema 41.** Sinteza derivata hidrosamskih kiselina **8b-y**.

Zanimljiva je reakcija redukcije *N*-benziloksi-2-(3-benzoilfenil)propanamida (**8v**) (Shema 42). Uklanjanjem benzilne skupine nastaje ketoprofen hidrosamska kiselina (KetNHOH). U daljnjoj reakciji njezina keto skupina reducira se u hidrosilnu i potom u metilensku skupinu, te nastaju spojevi **8e**, odnosno **8c**. Ako reakciju hidrogeniranja provodimo dovoljno dugo, funkcionalna skupina hidrosamskih kiselina (–CONHOH) prijeći će u amidnu skupinu (–CONH<sub>2</sub>). Variranjem katalizatora (10%-tni Pd/C ili Pd/C(en)), njegove količine, otapala (metanol ili tetrahidrofuran) i trajanja

reakcije hidrogeniranja pokušali smo naći optimalne uvjete za selektivnu hidrogenolizu spoja **8v**. Najveći problem predstavljala je sinteza KetNHOH. Naime, kod svih kombinacija otapala, katalizatora i trajanja reakcije, reakcija skidanja benzilne zaštitne skupine i redukcija keto skupine odvijale su se usporedno, reakciju nije bilo moguće zaustaviti na željenom produktu. Sintaza spojeva **8e**, **8c** i **8a** najbolje je napredovala uz 10%-tni Pd/C u metanolu. Utvrdili smo da prilikom redukcije **8v** količina upotrebljenog katalizatora određuje selektivnost reakcije, odnosno manja količina katalizatora omogućuje prekid reakcije te nastaje produkt **8e** uz malu količinu spoja **8c**. Produljenjem reakcije hidrogeniranja, iz spoja **8c** nastaje **8a**.

Reakcije redukcije spoja **8v** uz 10%-tni Pd/C(en) u tetrahidrofuranu bile su prespore i manje selektivne.



**Shema 42.** Redukcija spoja **8v**.

Privedene su sljedeće NSAID hidroksamske kiseline i njihovi derivati:

2-(3-benzilfenil)propanamid (**8a**),

*N*-hidroksi-2-(4-izobutilfenil)propanamid (**8b**),

*N*-hidroksi-2-(3-benzilfenil)propanamid (**8c**),

*N*-hidroksi-2-(3-fenoksifenil)propanamid (**8d**),

*N*-hidroksi-2-(3-(hidroksi(fenil)metil)fenil)propanamid (**8e**),

*N*-hidroksi-2-(2-(2,6-diklorfenilamino)fenil)acetamid (**8f**),

*N*-hidroksi-1-(4-klorbenzoil)-2-metil-5-metoksi-1*H*-indol-3-acetamid (**8g**),

*N*-hidroksi-2-(2-(2,6-diklorfenilamino)fenil)-*N*-metilacetamid (**8h**),  
2-(3-benzilfenil)-*N*-metoksipropanamid (**8i**),  
2-(3-benzoilfenil)-*N*-metoksipropanamid (**8j**),  
2-(2-(2,6-diklorfenilamino)fenil)-*N*-metoksiacetamid (**8k**),  
1-(4-klorbenzoil)-2-metil-*N*,5-dimetoksi-1*H*-indol-3-acetamid (**8l**),  
*N*-etoksi-2-(4-izobutilfenil)propanamid (**8m**),  
2-(3-benzilfenil)-*N*-etoksipropanamid (**8n**),  
*N*-etoksi-2-(3-fenoksifenil)propanamid (**8o**),  
2-(3-benzoilfenil)-*N*-etoksipropanamid (**8p**),  
*N*-etoksi-2-(2-(2,6-diklorfenilamino)fenil)acetamid (**8q**),  
*N*-etoksi-1-(4-klorbenzoil)-2-metil-5-metoksi-1*H*-indol-3-acetamid (**8r**),  
*N*-benziloksi-2-(4-izobutilfenil)propanamid (**8s**),  
*N*-benziloksi-2-(3-benzilfenil)propanamid (**8t**),  
*N*-benziloksi-2-(3-fenoksifenil)propanamid (**8u**),  
*N*-benziloksi-2-(3-benzoilfenil)propanamid (**8v**),  
*N*-benziloksi-2-(2-(2,6-diklorfenilamino)fenil)acetamid (**8x**),  
*N*-benziloksi-1-(4-klorbenzoil)-2-metil-5-metoksi-1*H*-indol-3-acetamid (**8y**).

Od sintetiziranih spojeva novi spojevi su **8a,c,e,i,j,m-x**, te su svi pripremljeni novom, do sada neobjavljenom metodom. Sinteza spojeva **8a-y** i njihova čistoća praćeni su tankoslojnom kromatografijom, a strukture potvrđene IR, <sup>1</sup>H i <sup>13</sup>C NMR spektroskopijom i elementarnom analizom. Tališta i spektroskopski podaci ranije pripremljenih spojeva podudaraju se s literaturnim podacima.<sup>1,7,9,45,47,85,87-99</sup> Sve elementarne analize bile su unutar 0,4%. Reakcijski uvjeti pripreme prikazani su u Tablici 10, a analitički i spektroskopski podaci u Tablicama 11–13.

$pK_a$  vrijednosti spojeva **8b,d,f-h** određene su potenciometrijskom titracijom s otopinom Bu<sub>4</sub>NOH (Tablica 10). Prema očekivanjima,  $pK_a$  vrijednosti NSAID hidroksamskih kiselina značajno su više (između 9,91 i 10,97) od  $pK_a$  vrijednosti NSAID od kojih potječu (ibuprofen 5,2, diklofenak 4,5, indometacin 4,5).<sup>111</sup>

**Tablica 10.** Reakcijski uvjeti sinteze NSAID hidroksamskih kiselina i njihovih derivata **8a-y**.

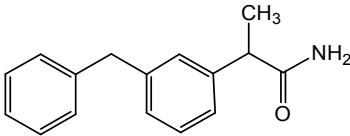
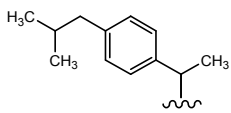
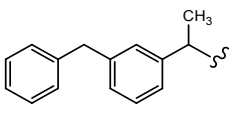
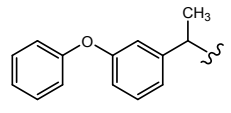
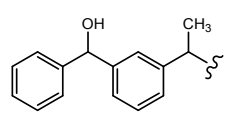
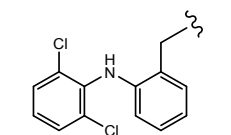
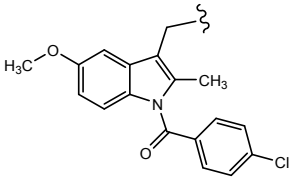
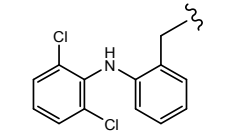
8a-y	Metoda A				Metoda B				Metoda C				pK <sub>a</sub>
	Otapalo	t (°C)	Trajanje (h)	Iskor. (%)	Otapalo	t (°C)	Trajanje (h)	Iskor. (%)	Otapalo	t (°C)	Trajanje (h)	Iskor. (%)	
<b>a</b>			<sup>a</sup>				<sup>a</sup>		metanol	20	17	100	n.o. <sup>b</sup>
<b>b</b>	kloroform	20	24	45	kloroform	20	0,6	41	metanol	20	0,25	96	10,89
<b>c</b>			<sup>a</sup>				<sup>a</sup>		metanol	20	2,50	80	n.o.
<b>d</b>	kloroform	20	24	40			<sup>c</sup>		metanol	20	0,62	94	10,66
<b>e</b>			<sup>a</sup>				<sup>a</sup>		metanol	20	3	74	n.o.
<b>f</b>			<sup>d</sup>		kloroform	20	0,5	65	etil-acetat	20	0,15	89	10,64
<b>g</b>			<sup>e</sup>		dioksan	20	24	53	metanol	20	0,5	78	10,97
<b>h</b>	kloroform	20	24	26	kloroform	20	4	86		<sup>a</sup>			9,91
<b>i</b>			<sup>a</sup>		toluen	20	48	59		<sup>a</sup>			n.o.
<b>j</b>			<sup>a</sup>		toluen	20	26	71		<sup>a</sup>			n.o.
<b>k</b>			<sup>a</sup>		toluen	20	24	39		<sup>a</sup>			n.o.
<b>l</b>			<sup>a</sup>		toluen	20	48	65		<sup>a</sup>			n.o.
<b>m</b>			<sup>a</sup>		toluen	20	40	64		<sup>a</sup>			n.o.
<b>n</b>			<sup>a</sup>		toluen	20	46	46		<sup>a</sup>			n.o.
<b>o</b>			<sup>a</sup>		toluen	20	24	59		<sup>a</sup>			n.o.

<b>p</b>						toluen	20	24	47		<sup>a</sup>	n.o.
<b>q</b>						toluen	20	6,5	77		<sup>a</sup>	n.o.
<b>r</b>						toluen	20	43	79		<sup>a</sup>	n.o.
<b>s</b>						kloroform	20	48	70		<sup>a</sup>	n.o.
						toluen	20	48	62			
<b>t</b>						toluen	75	11	67		<sup>a</sup>	n.o.
<b>u</b>	kloroform	20	24	52		kloroform	20	48	69		<sup>a</sup>	n.o.
						toluen	refluks	5,5	91			
<b>v</b>						toluen	20	48	75		<sup>a</sup>	n.o.
<b>x</b>	kloroform	20	24	89		kloroform	20	27	57		<sup>a</sup>	n.o.
						toluen	refluks	1	88			
<b>y</b>	kloroform	20	24	57		kloroform	20	48	91		<sup>a</sup>	n.o.

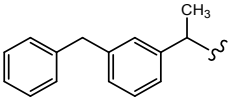
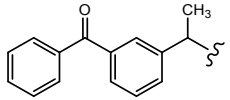
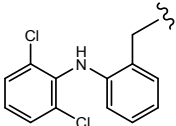
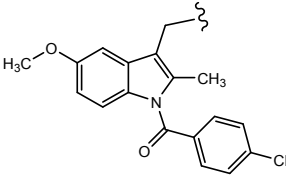
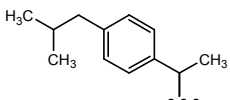
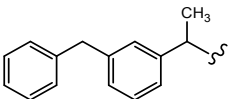
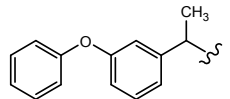
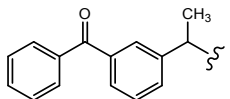
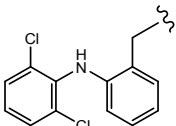
<sup>a</sup> Spoj nije pripremljen opisanom metodom. <sup>b</sup> n.o. – Nije određeno; <sup>c</sup> smjesa produkata; <sup>d</sup> teškoće kod čišćenja; <sup>e</sup> dolazi do pucanja amidne veze.



Tablica 11. Analitički i IR podaci za NSAID hidroksamske kiseline i derivate **8a-y**.

Spoj	R <sup>1</sup>	R <sup>2</sup>	R <sup>3</sup>	<i>t</i> <sub>i</sub> (°C)	Molekulska formula (M <sub>r</sub> )	IR (KBr/film) $\nu_{\max}$ (cm <sup>-1</sup> )
						
<b>8a</b>	–	–	–	76–78	C <sub>16</sub> H <sub>17</sub> NO (239,31)	3393, 3177, 3084, 3026, 2980, 1653, 1599, 1451, 1406, 1368, 1288, 1123, 786, 710, 694, 646, 628
						
<b>8b</b>		H	H	117–119 raspad	C <sub>13</sub> H <sub>19</sub> NO <sub>2</sub> (221,29)	3191, 3025, 2955, 1634, 1513, 1462, 1025, 939
						
<b>8c</b>		H	H	135–137	C <sub>16</sub> H <sub>17</sub> NO <sub>2</sub> (255,31)	3189, 3023, 2904, 1632, 1533, 1486, 1072, 1029, 723, 702
						
<b>8d</b>		H	H	118–119 raspad	C <sub>15</sub> H <sub>15</sub> NO <sub>3</sub> (257,28)	3426, 3215, 3038, 2920, 1628, 1582, 1536, 1489, 1248, 698
						
<b>8e</b>		H	H	148–152	C <sub>16</sub> H <sub>17</sub> NO <sub>3</sub> (271,31)	3378, 3214, 2979, 2915, 1645, 1520, 1492, 1447, 1022, 945, 724, 701
						
<b>8f</b>		H	H	158–162 raspad	C <sub>14</sub> H <sub>12</sub> Cl <sub>2</sub> N <sub>2</sub> O <sub>2</sub> (311,16)	3289, 3235, 3031, 2963, 2891, 1660, 1626, 1589, 1507, 1453, 774, 749
						
<b>8g</b>		H	H	175–178	C <sub>19</sub> H <sub>17</sub> ClN <sub>2</sub> O <sub>4</sub> (372,80)	3243, 3015, 2965, 2840, 1652, 1635, 1630, 1604, 1483, 1468, 1402, 1383, 1225, 1090, 870, 786
						
<b>8h</b>		CH <sub>3</sub>	H	134–138	C <sub>15</sub> H <sub>14</sub> Cl <sub>2</sub> N <sub>2</sub> O <sub>2</sub> (325,19)	3272, 3066, 3036, 2925, 1614, 1581, 1509, 1452, 770, 752

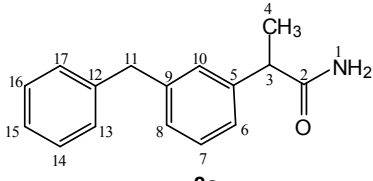
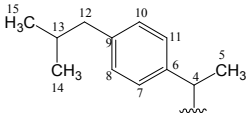
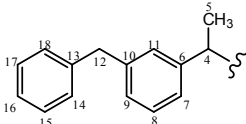
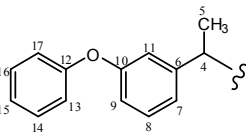
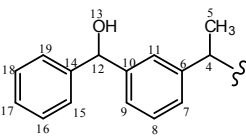
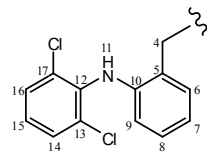
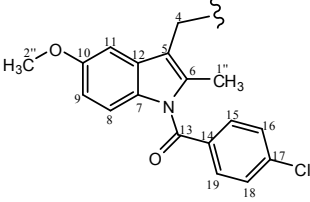
## 5. Rezultati i rasprava

<b>8i</b>		H	CH <sub>3</sub>	61–64	C <sub>17</sub> H <sub>19</sub> NO <sub>2</sub> (269,34)	3153, 3083, 2971, 938, 2854, 1661, 1640, 493, 1069, 1054, 720, 706
<b>8j</b>		H	CH <sub>3</sub>	105–107	C <sub>17</sub> H <sub>17</sub> NO <sub>3</sub> (283,32)	3164, 2984, 2945, 882, 1664, 1651, 1642, 1603, 1445, 1318, 1289, 722, 703, 692,
<b>8k</b>		H	CH <sub>3</sub>	178–179	C <sub>15</sub> H <sub>14</sub> Cl <sub>2</sub> N <sub>2</sub> O <sub>2</sub> (325,19)	3277, 3152, 2979, 2866, 1644, 1592, 1510, 1452, 1280, 1046, 977, 949, 772, 750
<b>8l</b>		H	CH <sub>3</sub>	182–184	C <sub>20</sub> H <sub>19</sub> ClN <sub>2</sub> O <sub>4</sub> (386,83)	3222, 3093, 2991, 2929, 1677, 1660, 1615, 1596, 1479, 1318, 1224, 1072, 849, 755
<b>8m</b>		H	CH <sub>2</sub> CH <sub>3</sub>	54–56	C <sub>15</sub> H <sub>23</sub> NO <sub>2</sub> (249,35)	3178, 2933, 2870, 1659, 1512, 1464, 1042, 934, 850
<b>8n</b>		H	CH <sub>2</sub> CH <sub>3</sub>	114–116	C <sub>18</sub> H <sub>21</sub> NO <sub>2</sub> (283,36)	3170, 3023, 2987, 1671, 1650, 1600, 1492, 1047, 721, 707
<b>8o</b>		H	CH <sub>2</sub> CH <sub>3</sub>	60–61	C <sub>17</sub> H <sub>19</sub> NO <sub>3</sub> (285,34)	3145, 2946, 2880, 1673, 1654, 1582, 1488, 1251, 1226, 945, 694
<b>8p</b>		H	CH <sub>2</sub> CH <sub>3</sub>	75–77	C <sub>18</sub> H <sub>19</sub> NO <sub>3</sub> (297,35)	3192, 2980, 2936, 1660, 1597, 1448, 1319, 1284, 1042, 718, 643
<b>8q</b>		H	CH <sub>2</sub> CH <sub>3</sub>	181–182	C <sub>16</sub> H <sub>16</sub> Cl <sub>2</sub> N <sub>2</sub> O <sub>2</sub> (339,22)	3298, 3152, 2980, 2882, 1642, 1578, 1507, 1454, 1304, 1060, 975, 782, 750

## 5. Rezultati i rasprava

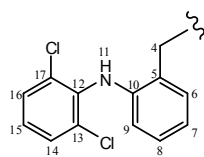
<b>8r</b>		H	CH <sub>2</sub> CH <sub>3</sub>	184–186	C <sub>21</sub> H <sub>21</sub> ClN <sub>2</sub> O <sub>4</sub> (400,86)	3220, 3090, 2988, 2933, 2889, 1678, 1659, 1614, 1595, 1479, 1316, 1225, 1071, 849, 755
<b>8s</b>		H		66–68	C <sub>20</sub> H <sub>25</sub> NO <sub>2</sub> (311,42)	3156, 3068, 2975, 2948, 2866, 1674, 1648, 1530, 1454, 1376, 1042, 733, 696
<b>8t</b>		H		ulje	C <sub>23</sub> H <sub>23</sub> NO <sub>2</sub> (345,43)	3181, 3062, 3028, 2975, 2934, 1658, 1601, 1495, 1454, 1027, 749, 725, 698
<b>8u</b>		H		ulje	C <sub>22</sub> H <sub>21</sub> NO <sub>3</sub> (347,41)	3181, 3065, 3033, 2973, 1658, 1583, 1487, 1453, 751, 695
<b>8v</b>		H		82–85	C <sub>23</sub> H <sub>21</sub> NO <sub>3</sub> (359,42)	3188, 3088, 3063, 3031, 2974, 2875, 1660, 1597, 1578, 1497, 1448, 1319, 1284, 1026, 719, 698
<b>8x</b>		H		161–164	C <sub>21</sub> H <sub>18</sub> Cl <sub>2</sub> N <sub>2</sub> O <sub>2</sub> (401,29)	3265, 3153, 3065, 2974, 1655, 1636, 1588, 1507, 1454, 1304, 751, 733, 696
<b>8y</b>		H		156–158	C <sub>26</sub> H <sub>23</sub> ClN <sub>2</sub> O <sub>4</sub> (462,92)	3240, 3065, 3033, 2997, 2925, 2864, 1685, 1656, 1609, 1518, 1479, 1452, 1370, 1321, 1227, 1089, 836, 753, 699

Tablica 12.  $^1\text{H}$  NMR podaci za NSAID hidoksamske kiseline i njihove derivate **8a-y**.

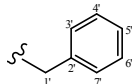
Spoj	$\text{R}^1$	$\text{R}^2$	$\text{R}^3$	$^1\text{H}$ NMR (DMSO- $d_6$ , $\delta$ ppm, $J/\text{Hz}$ )
				
				<b>8a</b>
				<b>8b-y</b>
<b>8a</b>	—	—	—	7,41–7,04 (m, 9H, arom.), 6,78 (s, 2H, 1), 3,91 (s, 2H, 11), 3,53 (q, 1H, 3, $J = 7,01$ ), 1,28 (d, 3H, 4, $J = 7,06$ )
<b>8b</b>		H	H	10,59 (s, 1H, 1), 8,75 (s, 1H, 2), 7,21 (d, 2H, arom., $J = 8,07$ ), 7,07 (d, 2H, arom., $J = 8,07$ ), 3,49 (q, 1H, 4, $J = 7,03$ ), 2,40 (d, 2H, 12, $J = 7,11$ ), 1,84–1,75 (m, 1H, 13), 1,31 (d, 3H, 5, $J = 7,06$ ), 0,84 (d, 6H, 14, 15, $J = 6,61$ )
<b>8c</b>		H	H	10,61 (s, 1H, 1), 8,77 (s, 1H, 2), 7,31–7,05 (m, 9H, arom.), 3,91 (s, 2H, 12), 3,39 (q, 1H, 4, $J = 7,06$ ), 1,30 (d, 3H, 5, $J = 7,02$ )
<b>8d</b>		H	H	10,63 (s, 1H, 1), 8,81 (s, 1H, 2), 7,42–7,37 (m, 2H, arom.), 7,31 (t, 1H, arom., $J = 7,04$ ), 7,17–7,08 (m, 2H, arom.), 7,01–6,99 (m, 3H, arom.), 6,85–6,82 (m, 1H, arom.), 3,43 (q, 1H, 4, $J = 7,05$ ), 1,31 (d, 3H, 5, $J = 6,99$ )
<b>8e</b>		H	H	10,62 (s, 1H, 1), 8,77 (s, 1H, 2), 7,38–7,16 (m, 9H, arom.), 5,87 (d, 1H, 13, $J = 3,90$ ), 5,66 (d, 1H, 12, $J = 3,60$ ), 3,41 (q, 1H, 4, $J = 7,00$ ), 1,31 (d, 3H, 5, $J = 7,00$ )
<b>8f</b>		H	H	10,87 (s, 1H, 1), 8,97 (s, 1H, 2), 8,44 (s, 1H, 11), 7,43 (d, 2H, arom., $J = 8,05$ ), 7,09–7,06 (m, 2H, arom.), 6,97 (t, 1H, arom., $J = 7,15$ ), 6,78 (t, 1H, arom., $J = 7,22$ ), 6,23 (d, 1H, arom., $J = 7,92$ ), 3,39 (s, 2H, 4)
<b>8g</b>		H	H	10,59 (s, 1H, 1), 8,76 (s, 1H, 2), 7,61 (d, 2H, arom., $J = 8,28$ ), 7,56 (d, 2H, arom., $J = 8,45$ ), 7,07 (s, 1H, arom.), 6,84 (d, 1H, arom., $J = 8,96$ ), 6,63 (dd, 1H, arom., $J = 1,90$ , $J = 6,84$ ), 3,70 (s, 3H, 2"), 3,32 (s, 2H, 4), 2,18 (s, 3H, 1")

<b>8h</b>		$^1\text{CH}_3$	H	10,30 (s, 1H, 1), 7,82 (s, 1H, 11), 7,51 (d, 2H, arom., $J = 8,07$ ), 7,20–7,14 (m, 2H, arom.), 7,08–7,02 (m, 1H, arom.), 6,88–6,83 (m, 1H, arom.), 6,30 (d, 1H, arom., $J = 7,78$ ), 3,86 (s, 2H, 4), 3,16 (s, 3H, 1')
<b>8i</b>		H	$^1\text{CH}_3$	11,19 (s, 1H, 2), 7,30–7,07 (m, 9H, arom.), 3,91 (s, 2H, 12), 3,38–3,32 (m, 4H, 4, 1'), 1,30 (d, 3H, 5, $J = 7,09$ )
<b>8j</b>		H	$^1\text{CH}_3$	11,30 (s, 1H, 2), 7,75–7,49 (m, 9H, arom.), 3,55–3,47 (m, 4H, 4, 1'), 1,37 (d, 3H, 5, $J = 7,03$ )
<b>8k</b>		H	$^1\text{CH}_3$	11,44 (s, 1H, 2), 8,03 (s, 1H, 11), 7,44 (d, 2H, arom., $J = 8,08$ ), 7,10–7,07 (m, 2H, arom.), 6,99–6,96 (m, 1H, arom.), 6,80–6,77 (m, 1H, arom.), 6,22 (d, 1H, arom., $J = 7,95$ ), 3,54 (s, 3H, 1'), 3,37 (s, 2H, 4)
<b>8l</b>		H	$^1\text{CH}_3$	11,28 (s, 1H, 2), 7,70 (d, 2H, arom., $J = 8,70$ ), 7,65 (d, 2H, arom., $J = 8,71$ ), 7,12 (d, 1H, arom., $J = 2,17$ ), 6,93 (d, 1H, arom., $J = 8,98$ ), 6,71 (dd, 1H, arom., $J = 2,50$ , $J = 6,50$ ), 3,77 (s, 3H, 2''), 3,59 (s, 3H, 1'), 3,40 (s, 2H, 4), 2,24 (s, 3H, 1')
<b>8m</b>		H	$^1\text{CH}_2\text{CH}_3$	11,07 (s, 1H, 2), 7,20 (d, 2H, arom., $J = 8,03$ ), 7,08 (d, 2H, arom., $J = 8,03$ ), 3,75 (q, 2H, 1', $J = 7,03$ ), 3,38 (q, 1H, 4, $J = 7,05$ ), 2,40 (d, 2H, 12, $J = 7,13$ ), 1,87–1,73 (m, 1H, 13), 1,31 (d, 3H, 5, $J = 7,04$ ), 1,09 (t, 3H, 2', $J = 7,03$ ), 0,85 (d, 6H, 14, 15, $J = 6,60$ )
<b>8n</b>		H	$^1\text{CH}_2\text{CH}_3$	11,07 (s, 1H, 2), 7,31–7,07 (m, 9H, arom.), 3,91 (s, 2H, 12), 3,71 (q, 1H, 4, $J = 7,03$ ), 3,37 (q, 2H, 1', $J = 7,07$ ), 1,30 (d, 3H, 5, $J = 7,04$ ), 1,07 (t, 3H, 2', $J = 7,03$ )
<b>8o</b>		H	$^1\text{CH}_2\text{CH}_3$	11,10 (s, 1H, 2), 7,42–7,30 (m, 3H, arom.), 7,14 (t, 1H, arom., $J = 7,36$ ), 7,07 (d, 1H, arom., $J = 7,65$ ), 7,01–6,96 (m, 3H, arom.), 6,86 (dd, 1H, arom., $J = 1,89$ , $J = 6,14$ ), 3,72 (q, 2H, 1', $J = 7,02$ ), 3,41 (q, 1H, 4, $J = 7,03$ ), 1,31 (d, 3H, 5, $J = 7,01$ ), 1,08 (t, 3H, 2', $J = 7,02$ )

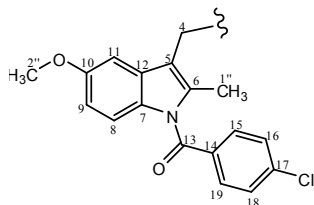
<b>8p</b>		H	$1' \quad 2'$ $\text{CH}_2\text{CH}_3$	11,17 (s, 1H, 2), 7,74–7,67 (m, 4H, arom.), 7,64–7,49 (m, 5H, arom.), 3,75 (q, 2H, 1', $J = 7,02$ ), 3,54 (q, 1H, 4, $J = 7,02$ ), 1,37 (d, 3H, 5, $J = 7,04$ ), 1,11 (t, 3H, 2', $J = 7,03$ )
<b>8q</b>		H	$1' \quad 2'$ $\text{CH}_2\text{CH}_3$	11,40 (s, 1H, 2), 8,12 (s, 1H, 11), 7,52 (d, 2H, arom., $J = 8,08$ ), 7,20–7,14 (m, 2H, arom.), 7,08–7,03 (m, 1H, arom.), 6,89–6,84 (m, 1H, arom.), 6,30 (d, 1H, arom., $J = 7,88$ ), 3,83 (q, 2H, 1', $J = 7,03$ ), 3,46 (s, 2H, 4), 1,14 (t, 3H, 2', $J = 7,03$ )
<b>8r</b>		H	$1' \quad 2'$ $\text{CH}_2\text{CH}_3$	11,17 (s, 1H, 2), 7,69 (d, 2H, arom., $J = 8,71$ ), 7,64 (d, 2H, arom., $J = 8,39$ ), 7,13 (d, 1H, arom., $J = 2,17$ ), 6,93 (d, 1H, arom., $J = 8,98$ ), 6,71 (dd, 1H, arom., $J = 2,48$ , $J = 6,53$ ), 3,80 (q, 2H, 1', $J = 7,05$ ), 3,77 (s, 3H, 2''), 3,41 (s, 2H, 4), 2,24 (s, 3H, 1''), 1,13 (t, 3H, 2', $J = 7,02$ )
<b>8s</b>		H		11,19 (s, 1H, 2), 7,37–7,29 (m, 5H, arom.), 7,21 (d, 2H, arom., $J = 8,01$ ), 7,10 (d, 2H, arom., $J = 8,04$ ), 4,75 (s, 2H, 1'), 3,40 (q, 1H, 4, $J = 7,04$ ), 2,43 (d, 2H, 12, $J = 7,10$ ), 1,87–1,78 (m, 1H, 13), 1,33 (d, 3H, 5, $J = 7,03$ ), 0,87 (d, 6H, 14, 15, $J = 6,60$ )
<b>8t</b>		H		11,18 (s, 1H, 2), 7,34–7,07 (m, 14H, arom.), 4,70 (s, 2H, 1'), 3,92 (s, 2H, 12), 3,38 (q, 1H, 4, $J = 7,01$ ), 1,30 (d, 3H, 5, $J = 7,03$ )
<b>8u</b>		H		11,13 (s, 1H, 2), 7,32–7,22 (m, 8H, arom.), 7,07–7,05 (m, 1H, arom.), 6,99 (d, 1H, arom., $J = 7,56$ ), 6,94–6,90 (m, 3H, arom.), 6,79 (dd, 1H, arom., $J = 1,74$ , $J = 6,22$ ), 4,65 (s, 2H, 1'), 3,34 (q, 1H, 4, $J = 6,90$ ), 1,25 (d, 3H, 5, $J = 7,01$ )
<b>8v</b>		H		11,27 (s, 1H, 2), 7,75–7,49 (m, 10H, arom.), 7,31 (s, 5H, arom.), 4,73 (s, 2H, 1'), 3,54 (q, 1H, 4, $J = 7,08$ ), 1,37 (d, 3H, 5, $J = 6,99$ )

**8x**

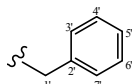
H



11,47 (s, 1H, 2), 8,09 (s, 1H, 11), 7,53 (d, 2H, arom.,  $J = 8,06$ ), 7,37 (s, 5H, arom.), 7,20–7,14 (m, 3H, arom.), 7,09–7,04 (m, 1H, arom.), 6,89–6,84 (m, 1H, arom.), 6,31 (d, 1H, arom.,  $J = 7,80$ ), 4,82 (s, 2H, 1'), 3,47 (s, 2H, 4)

**8y**

H



11,20 (s, 1H, 2), 7,61 (d, 2H, arom.,  $J = 8,44$ ), 7,57 (d, 2H, arom.,  $J = 8,30$ ), 7,27 (s, 5H, arom.), 7,05 (d, 1H, arom.,  $J = 1,77$ ), 6,86 (d, 1H, arom.,  $J = 8,98$ ), 6,64 (dd, 1H, arom.,  $J = 2,11$ ,  $J = 6,81$ ), 4,75 (s, 2H, 1'), 3,72 (s, 3H, 2''), 3,39 (s, 2H, 4), 2,20 (s, 3H, 1'')

Tablica 13.  $^{13}\text{C}$  NMR podaci za NSAID hidoksamske kiseline i njihove derivate **8a-y**.

Spoj	$\text{R}^1$	$\text{R}^2$	$\text{R}^3$	$^{13}\text{C}$ NMR (DMSO- $d_6$ , $\delta$ ppm)
<b>8a</b>				175,69 (2), 143,02, 141,68, 141,46 (5, 9, 12), 129,12, 128,87, 128,15, 127,30, 126,41, 125,41 (6–8, 10, 13–17), 45,33 (3), 41,65 (11), 18,97 (4)
<b>8b</b>		H	H	179,39 (3), 139,29, 139,09 (6, 9), 128,68, 126,95 (7, 8, 10, 11), 44,22 (12), 41,73 (4), 29,61 (5), 22,13 (14, 15), 18,16 (13)
<b>8c</b>		H	H	170,67 (3), 142,46, 141,64, 141,49 (6, 10, 13), 129,13, 128,88, 128,71, 128,11, 127,47, 126,43, 125,43 (7–9, 11, 14–18), 42,54 (5), 41,62 (12), 18,71 (4)
<b>8d</b>		H	H	169,77 (3), 156,46, 156,37, 143,98 (6, 10, 11), 129,96, 129,62, 123,34, 122,32, 118,48, 117,47, 116,58 (7–9, 11, 13–17), 41,88 (4), 18,06 (5)
<b>8e</b>		H	H	170,65 (3), 146,12, 146,02, 142,09 (6, 10, 14), 128,52, 128,33, 127,16, 126,73, 126,13, 125,64, 125,11 (7–9, 11, 15–19), 74,80 (12), 42,62 (4), 18,77 (5)
<b>8f</b>		H	H	168,11 (3), 142,99, 137,16, 129,27, 125,13 (5, 10, 12, 13, 17), 130,29, 129,15, 127,28, 124,93, 120,71, 116,04 (6–9, 14–16), 36,57 (4)
<b>8g</b>		H	H	167,81 (3), 166,31 (13), 155,50, 137,57, 135,23, 134,19, 130,72, 130,25, 113,74 (5–7, 10, 12, 14, 17), 131,12, 129,00, 114,45, 111,12, 102,09 (8, 9, 11, 15, 16, 18, 19), 55,43 (2''), 28,36 (4), 13,29 (1'')



<b>8h</b>		${}^1\text{CH}_3$	H	171,22 (3), 143,30, 137,33, 129,60, 125,08 (5, 10, 12, 13, 17), 131,19, 129,32, 127,36, 125,29, 120,90, 116,18 (6–9, 14–16), 35,98 (4), 35,26 (1')
<b>8i</b>		H	${}^1\text{CH}_3$	170,48 (3), 141,99, 141,67, 141,62 (6, 10, 13), 129,13, 128,87, 128,00, 127,57, 126,42, 125,30 (7–9, 11, 14–18), 63,48 (1'), 42,52 (4), 41,59 (12), 18,65 (5)
<b>8j</b>		H	${}^1\text{CH}_3$	196,14 (11), 170,18 (2), 142,25, 137,46, 137,43 (5, 9, 12), 133,19, 132,03, 130,07, 129,13, 129,05, 128,84, 128,78 (6–8, 10, 13–17), 63,59 (1'), 42,44 (3), 18,61 (4)
<b>8k</b>		H	${}^1\text{CH}_3$	168,02 (3), 142,93, 137,03, 129,50, 124,48 (5, 10, 12, 13, 17), 130,38, 129,17, 127,44, 124,19, 120,77, 116,01 (6–9, 14–16), 63,33 (1'), 36,57 (4)
<b>8l</b>		H	${}^1\text{CH}_3$	168,31 (3), 166,72 (13), 156,02, 138,08, 135,86, 134,65, 131,13, 130,71, 113,75 (5–7, 10, 12, 14, 17), 131,64, 129,51, 115,04, 111,77, 102,22 (8, 9, 11, 15, 16, 18, 19), 63,70 (1'), 55,91 (2''), 28,86 (4), 13,77 (1'')
<b>8m</b>		H	${}^1\text{CH}_2\text{CH}_3$	170,78 (3), 139,87, 139,20 (6, 9), 129,27, 127,34 (7, 8, 10, 11), 70,87 (1'), 44,68 (12), 42,20 (4), 30,08 (5), 22,62 (14, 15), 18,63 (13), 13,84 (2')
<b>8n</b>		H	${}^1\text{CH}_2\text{CH}_3$	170,55 (2), 142,11, 141,62 (5, 9, 12), 129,11, 128,86, 128,82, 127,99, 127,55, 126,41, 125,28 (6–8, 10, 13–17), 70,85 (1'), 42,51 (3), 41,60 (11), 18,65 (4), 13,83 (2')
<b>8o</b>		H	${}^1\text{CH}_2\text{CH}_3$	170,26 (3), 157,03, 156,99, 144,14 (6, 10, 12), 130,51, 130,33, 123,93, 122,72, 119,08, 117,82, 117,27 (7–9, 11, 13–17), 70,91 (1'), 42,41 (4), 18,50 (5), 13,83 (2')
<b>8p</b>		H	${}^1\text{CH}_2\text{CH}_3$	196,16 (12), 170,25 (3), 142,38, 137,48, 137,43 (6, 10, 13), 133,19, 132,00, 130,06, 129,10, 129,05, 128,82, 128,73 (7–9, 11, 14–18), 70,97 (1'), 42,43 (4), 18,59 (5), 13,83 (2')

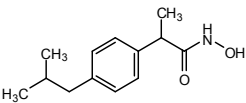
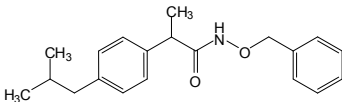
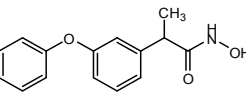
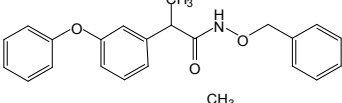
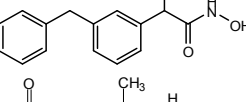
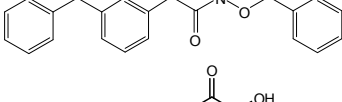
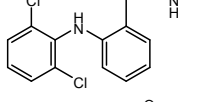
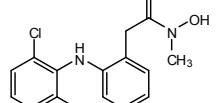
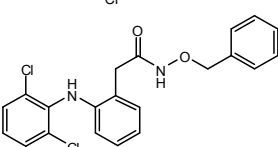
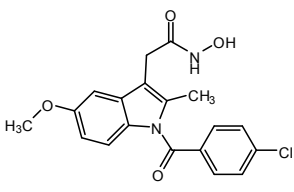
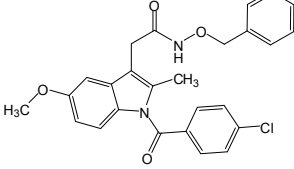
<b>8q</b>		H	${}^{1'}\text{CH}_2\text{CH}_3$	168,59 (3), 143,42, 137,53, 129,99, 125,12 (5, 10, 12, 13, 17), 130,83, 129,67, 127,91, 125,68, 121,27, 116,50 (6–9, 14–16), 71,21 (1'), 36,93 (4), 13,88 (2')
<b>8r</b>		H	${}^{1'}\text{CH}_2\text{CH}_3$	168,31 (3), 166,78 (13), 156,02, 138,07, 135,83, 134,66, 131,13, 130,72, 113,90 (5–7, 10, 12, 14, 17), 131,64, 129,51, 115,04, 111,78, 102,20 (8, 9, 11, 15, 16, 18, 19), 71,02 (1'), 55,91 (2''), 28,86 (4), 13,89 (2'), 13,78 (1'')
<b>8s</b>		H		170,57 (3), 139,57, 138,77, 136,03 (6, 9, 2'), 129,08, 128,93, 128,36, 127,09 (7, 8, 10, 11, 3'–7'), 76,69 (1'), 44,36 (12), 41,80 (4), 29,77 (13), 22,30 (14, 15), 18,22 (5)
<b>8t</b>		H		170,71 (2), 141,99, 141,62 (5, 9, 12), 136,34 (2'), 129,36, 128,71 (3'–7'), 129,12, 128,86, 128,82, 128,04, 127,56, 126,42, 125,36 (6–8, 10, 13–17), 77,06 (1'), 42,44 (3), 41,60 (11), 18,59 (4)
<b>8u</b>		H		169,93 (3), 156,52, 143,55, 135,82 (6, 10, 12, 2'), 130,00, 129,80, 128,89, 128,22, 123,41, 122,30, 118,56, 117,48, 116,78 (7–9, 11, 13–17, 3'–7'), 76,59 (1'), 41,88 (4), 17,97 (5)
<b>8v</b>		H		196,16 (12), 170,37 (3), 142,28, 137,48, 137,42, 136,26 (6, 10, 13, 2'), 133,19, 132,03, 130,08, 129,41, 129,05, 128,92, 128,76, 128,71 (7–9, 11, 14–18, 3'–7'), 77,08 (1'), 42,36 (4), 18,50 (5)
<b>8x</b>		H		168,16 (3), 142,87, 136,98, 135,75, 129,54, 124,45 (5, 10, 12, 13, 17, 2'), 130,35, 129,11, 128,78, 128,23, 127,35, 125,18, 120,66, 115,89 (6–9, 14–16, 3'–7'), 76,77 (1'), 36,29 (4)
<b>8y</b>		H		168,32 (3), 167,03 (13), 156,03, 138,07, 136,38, 135,86, 134,66, 131,17, 130,71, 113,83 (5–7, 10, 12, 14, 17, 2'), 131,63, 129,52, 129,35, 128,74, 115,01, 111,74, 102,34 (8, 9, 11, 15, 16, 18, 19, 3'–7'), 77,25 (1'), 55,92 (2''), 28,80 (4), 13,79 (1'')

Napravljena je IR i NMR spektroskopska studija hidroksamskih kiselina, derivata ibuprofena (**8b**), fenoprofena (**8d**), ketoprofena (**8c**), diklofenaka (**8f**) i indometacina (**8g**), te njihovih derivata sa supstituiranim dušikom ili kisikom u funkcionalnoj skupini hidroksamskih kiselina: *N*-metilni derivat diklofenaka (**8h**) i *O*-benzilni derivati ibuprofena (**8s**), fenoprofena (**8u**), ketoprofena (**8v**), diklofenaka (**8x**) i indometacina (**8y**). Na temelju nje opisane su strukturne značajke i geometrija molekula u seriji derivata hidroksamskih kiselina **8**, mogućnost tvorbe vodikove veze, te njihovo ponašanje u čvrstom stanju i u otopini.

Ispitivanja su provedena u čvrstom stanju (KBr ili film) pomoću IR metode i u otopini u DMSO-*d*<sub>6</sub> pomoću jedno- i dvodimenzijских homo- i heteronuklearnih NMR spektroskopskih metoda: <sup>1</sup>H, <sup>13</sup>C, COSY, NOESY, HMQC i HMBC.

U IR spektrima vodikova veza opažena je u području –OH i –NH rastezних vibracija, te u području rastezних vibracija karbonilne skupine hidroksamskih kiselina (**8b-d,f,g**), pokazujući pomak tih vibracija prema manjim valnim brojevima, u usporedbi s karbonilnom skupinom u ishodnoj karboksilnoj kiselini i u njihovim *O*-benzilnim derivatima (**8s,u-y**) (Tablica 14).

Tablica 14. Rastezne vibracije NSAID hidoksamskih kiselina i njihovih derivata 8.

Spoj	Struktura	IR (KBr) $\nu_{\max}$ (cm <sup>-1</sup> )			
		O-H	N-H	C=O	C=C-H
8b		3191 (široka vrpca)		1634	3025
8s		–	3156	1674 1648	3068 3028
8d		3426	3215	1628	3038
8u		–	3181	1658	3065 3033
8c		3189 (široka vrpca)		1632	3023
8v		–	3188	1660	3088 3063 3031
8f		3289	3235	1660	3031
8h		3272 (široka vrpca)		1614	3066 3036
8x		–	3265 3153	1655 1636	3065
8g		3243 (široka vrpca)		1652 1635	3015
8y		–	3240	1685 1657	3090 3070 3033

$^1\text{H}$  NMR spektri otkrivaju da se NH protoni funkcionalne skupine hidroksamske kiseline u svim *O*-benzilnim derivatima nalaze u području 11,13–11,47 ppm, dok se u hidroksamskim kiselinama pojavljuju od 8,75 do 8,97 ppm. Hidroksilni protoni u hidroksamskoj skupini javljaju se u području 10,30–10,87 ppm, te su u usporedbi s hidroksilnim protonima odgovarajućih NSAID pomaknuti su u više polje za oko 1,5 ppm.

$^{13}\text{C}$  NMR spektri ispitivanih spojeva otkrivaju da se karbonilna skupina u svim NSAID nalazi u području 171,97–175,80 ppm, u hidroksamskim kiselinama u području 167,81–179,38 ppm, a u *O*-benzilnim derivatima u području 168,16–170,57 ppm. Najznačajnija razlika u kemijskim pomacima za karbonilnu skupinu nađena je kod ibuprofena, ibuprofen hidroksamske kiseline **8b** i njezinog *O*-benzilnog derivata **8s** (175,37, 179,39 i 170,57).

Nasuprot svim drugim NSAID, karbonilna skupina ibuprofen hidroksamske kiseline **8b** pokazuje značajni pomak u niže polje u usporedbi s ibuprofenom ( $\Delta = -4,02$  ppm) i u usporedbi sa svojim *O*-benzilnim derivatom ( $\Delta = -9,01$  ppm). Kod svih drugih NSAID hidroksamskih kiselina i njihovih derivata, kemijski pomak za karbonilnu skupinu pomaknut je u više polje. U ovim spojevima –NHOBn i –NHOH skupine zasjenjuju njihove susjedne karbonilne skupine, što rezultira manjim brojem kemijskog pomaka karbonilne skupine, odnosno pomakom u više polje.

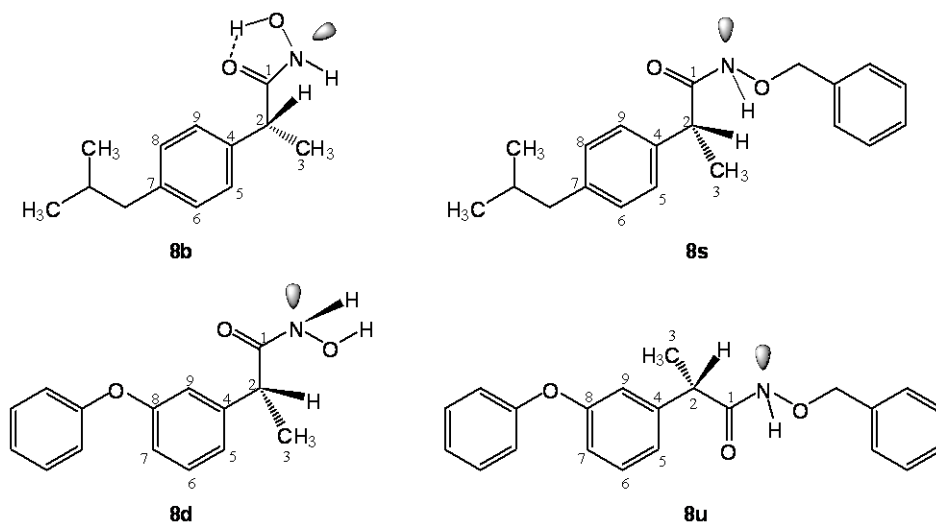
NOESY i HMBC NMR interakcije pokazale su da ibuprofen hidroksamska kiselina u DMSO- $d_6$  otopini stvara intramolekularne vodikove veze (Tablica 15). Zbog vodikove veze između H-atoma hidroksilne skupine i karbonilnog kisika nastaje 5-člani prsten. Zbog činjenice da vodikova veza slabi elektronsku gustoću karbonilne skupine, ona je pomaknuta u niže polje u  $^{13}\text{C}$  NMR spektru spoja **8b**, u odnosu na sami lijek i njegov *O*-benzilni derivat **8s**. Ovaj fenomen, opažen kod ibuprofen hidroksamske kiseline u odnosu na sve druge ispitivane hidroksamske kiseline, može biti objašnjen i pripisan induktivnom učinku *i*-butilne skupine u *p*-položaju prema supstituentu 2-propilkarboksilne kiseline i njezinih derivata.

**Tablica 15.** Interakcije u NOESY i HMBC NMR spektrima **8b,s,d** i **u**, u dijelu koji se odnosi na profenski dio molekule, R-CH(CH<sub>3</sub>)CONH-R'.

Spoj <sup>a</sup>	NOESY interakcija			HMBC interakcija	
	H-atom	DA	NE	DA	NE
<b>8b</b>	OH CH <sub>3</sub>	H-2 H-5 i H-6	CH <sub>3</sub> H-8 i H-9	C=O i OH (s) <sup>b</sup>	C=O i NH
<b>8s</b>	CH <sub>3</sub>	H-5 i H-6	H-8, H-9 i NH	n.i. <sup>c</sup>	C=O i NH
<b>8d</b>	OH NH	H-2 (s), CH <sub>3</sub> (w) <sup>d</sup> H-2 (s), CH <sub>3</sub> (w), H-5,6,7,9 (vw) <sup>e</sup>	n.i.	C=O i OH (vs) <sup>f</sup>	C=O i OH (vs)
<b>8d</b>	NH CH <sub>3</sub>	H-2 (s), CH <sub>3</sub> (w), H-5,6,7,9 (vw), H-9 (s)	n.i.	C=O i NH (s)	n.i.

<sup>a</sup> Za strukture spojeva i numeraciju vidi Sliku 5. <sup>b</sup> s – Jaka interakcija; <sup>c</sup> n.i. – nije uočena interakcija bitna za geometriju molekule. <sup>d</sup> w – Slaba interakcija; <sup>e</sup> vw – vrlo slaba interakcija; <sup>f</sup> vs – vrlo jaka interakcija.

Snimljeni NMR spektri pokazali su da su sve ispitivane hidroksamske kiseline u keto-obliku. Rezultati NMR analiza u suglasju su s analizama IR spektara hidroksamskih kiselina. Predložene geometrije NSAID hidroksamskih kiselina i njihovih derivata (Slika 5) dobivene su na temelju rezultata analiza NOESY i HMBC spektara.



**Slika 5.** Geometrije molekula **8b,d,s** i **u** dobivene na temelju interakcija u NOESY i HMBC NMR spektrima.

#### 5.1.2.4. Sinteza derivata ketoprofena 9a-i, 10a-f i 11a-f

U sklopu ranijih istraživanja na Zavodu za farmaceutsku kemiju sintetizirani su različiti amidi ketoprofena kao citostatici i potencijalni selektivni inhibitori ciklooksigenaze-2.<sup>21,58</sup> U ovom radu pripremljeni su amidi reduciranog ketoprofena **9** i **11**, te novi amidi ketoprofena **10**.

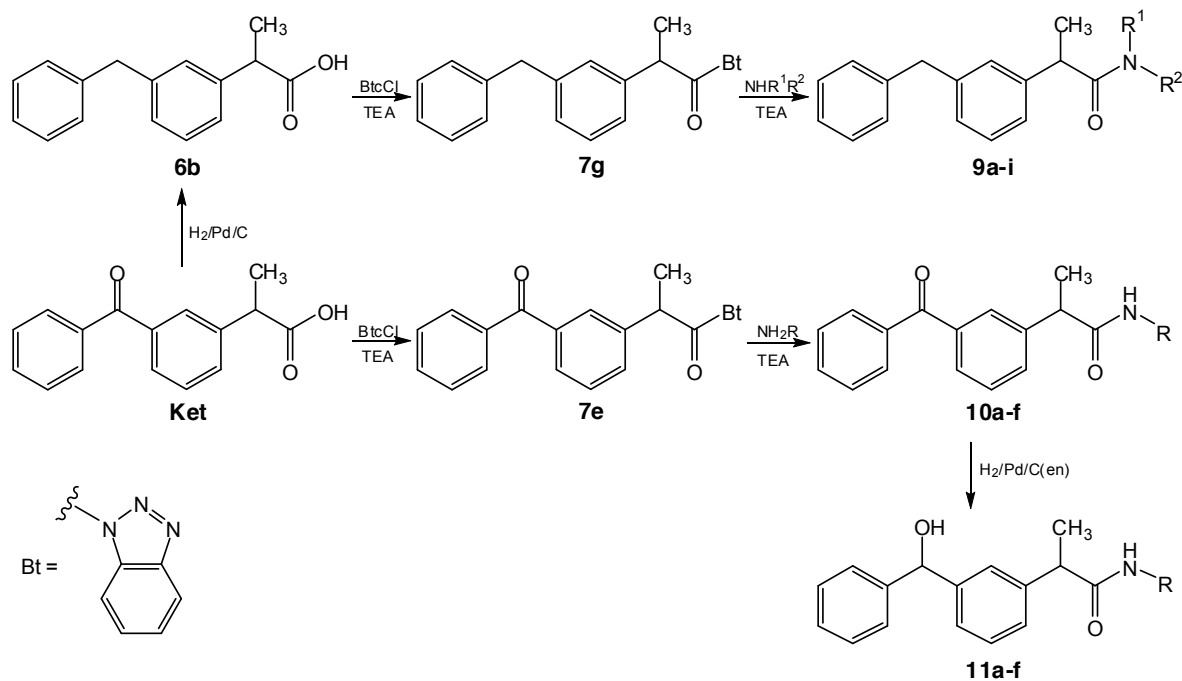
Amidi **9a-i** i **10a-f** pripremljeni su reakcijama amidiranja benzotriazolida **7e** i **7g** odgovarajućim aminima. One su izvedene u prisutnosti 5 ekvivalenata TEA u toluenu, na sobnoj temperaturi u vremenu od 1–8 h ili na 78 °C u vremenu od 11–16 h (Shema 43). Postupak se u odnosu na analogni literaturni<sup>58</sup> razlikuje time što je umjesto viška amina upotrebljen višak TEA. TEA s oslobođenim benzotriazolom stvara sol, te u isto vrijeme uzrokuje bazični pH tijekom ekstrakcije vodom, zbog čega benzotriazol lakše i kvantitativnije prelazi u vodeni sloj.

Sinteza spojeva **9a-e** i **10a-e** napredovala je vrlo dobro na sobnoj temperaturi u toluenu te su dobivena visoka iskorištenja. Općenito se priprava amida **10a-e** zbivala brže nego priprava amida **9a-e**. Nasuprot tome, sinteza amida **9f** i **10f** napredovala je vrlo sporo na sobnoj temperaturi, vjerojatno zbog steričkih smetnji u benzhidrilaminu. Na 78 °C (vrelište TEA) reakcije su se zbivale znatno brže.

Reakcije s hidrofilnim bifunkcionalnim aminima (2-hidroksietilamin, 3-hidroksipropilamin, dietanolamin) provedene su u smjesi otapala toluen/etil-acetat, odnosno toluen/acetonitril zbog netopljivosti amina u toluenu. Za razliku od ranije opisanog postupka,<sup>58</sup> reakcija je provedena na sobnoj temperaturi, jer je utvrđeno da pri danim reakcijskim uvjetima hidroksilna skupina amina ne reagira. Sinteza **9i** (reakcija s dietanolaminom) napredovala je puno sporije od reakcija pripreme **9f** i **9g** (reakcije s 2-hidroksietilaminom, odnosno 3-hidroksipropilaminom). Reakcije su provedene uz 1,1 ekvivalent amina i 1 ekvivalent TEA. Uzrok tome je drugačija obrada reakcijske smjese nakon završetka reakcije. Benzotriazol nije uklonjen ekstrakcijom već kromatografijom na koloni, jer je razlika u  $R_f$  vrijednosti benzotriazola i produkta dovoljno velika za njihovo uspješno razdvajanje.

Derivati ketoprofena **11a-f** sintetizirani su katalitičkim hidrogeniranjem spojeva **10a-f** uz 10%-tni Pd/C(en) kao katalizator (Shema 43). Reakcije su izvedene na sobnoj temperaturi kroz 5–9 h. Kao otapalo upotrebljen je metanol, jer u njemu reakcije napreduju brže nego u tetrahidrofuranu. Za razliku od reakcije katalitičkog hidrogeniranja spoja **8v** (vidi Shemu 42), daljnja hidrogenoliza nastale

hidroksimetilenske skupine do metilenske skupine vrlo je spora te je reakciju moguće zaustaviti kada je nastala tek mala količina metilenskog nusprodukta (spojevi **9a-f**), koji je odvojen kromatografijom na koloni.



	<b>9a</b>	<b>9b</b>	<b>9c</b>	<b>9d</b>	<b>9e</b>	<b>9f</b>	<b>9g</b>	<b>9h</b>	<b>9i</b>
$\text{R}^1$									
$\text{R}^2$	H	H	H	H	H	H	H	H	
	<b>10a, 11a</b>	<b>10b, 11b</b>	<b>10c, 11c</b>	<b>10d, 11d</b>	<b>10e, 11e</b>	<b>10f, 11f</b>			
R									

Shema 43. Sinteza derivata ketoprofena **9a-i**, **10a-f** i **11a-f**.



Priredeni su sljedeći amidi:

2-(3-benzilfenil)-*N*-ciklopentilpropanamid (**9a**),  
2-(3-benzilfenil)-*N*-cikloheksilpropanamid (**9b**),  
2-(3-benzilfenil)-*N*-(cikloheksanmetil)propanamid (**9c**),  
*N*-benzil-2-(3-benzilfenil)propanamid (**9d**),  
2-(3-benzilfenil)-*N*-fenetilpropanamid (**9e**),  
*N*-benzhidril-2-(3-benzilfenil)propanamid (**9f**),  
2-(3-benzilfenil)-*N*-(2-hidroksietil)propanamid (**9g**),  
2-(3-benzilfenil)-*N*-(2-hidroksipropil)propanamid (**9h**),  
2-(3-benzilfenil)-*N,N*-bis(2-hidroksietil)propanamid (**9i**),  
2-(3-benzoilfenil)-*N*-ciklopentilpropanamid (**10a**),  
2-(3-benzoilfenil)-*N*-cikloheksilpropanamid (**10b**),  
2-(3-benzoilfenil)-*N*-(cikloheksanmetil)propanamid (**10c**),  
*N*-benzil-2-(3-benzoilfenil)propanamid (**10d**),  
2-(3-benzoilfenil)-*N*-fenetilpropanamid (**10e**),  
*N*-benzhidril-2-(3-benzoilfenil)propanamid (**10f**),  
*N*-ciklopentil-2-(3-(hidroksi(fenil)metil)fenil)propanamid (**11a**),  
*N*-cikloheksil-2-(3-(hidroksi(fenil)metil)fenil)propanamid (**11b**),  
*N*-cikloheksanmetil-2-(3-(hidroksi(fenil)metil)fenil)propanamid (**11c**),  
*N*-benzil-2-(3-(hidroksi(fenil)metil)fenil)propanamid (**11d**),  
2-(3-(hidroksi(fenil)metil)fenil)-*N*-fenetilpropanamid (**11e**),  
*N*-benzhidril-2-(3-(hidroksi(fenil)metil)fenil)propanamid (**11f**).

Svi sintetizirani spojevi su novi, osim spojeva **10b**<sup>58</sup> i **10d**.<sup>112</sup> Priprava **10d** drugačijim sintetskim postupkom ranije je opisana, međutim reakcijski produkt nije izoliran niti karakteriziran.

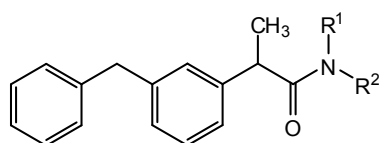
Tijek sinteze i čistoća spojeva praćeni su tankoslojnom kromatografijom, a njihove strukture potvrđene su IR, <sup>1</sup>H i <sup>13</sup>C NMR spektroskopijom i elementarnom analizom (sve elementarne analize bile su unutar 0,4%).

U IR spektrima prisutne su karakteristične vrpce za NH i za amidnu skupinu. U seriji spojeva **9a-i** NH se nalazi u području  $3274\text{--}3312\text{ cm}^{-1}$ , a amidna karbonilna skupina u području  $1635\text{--}1652\text{ cm}^{-1}$  (amid I) i  $1529\text{--}1558\text{ cm}^{-1}$  (amid II). Kod spojeva **10a-f** NH se nalazi u području  $3251\text{--}3355\text{ cm}^{-1}$ , a amidni karbonil u području  $1634\text{--}1649\text{ cm}^{-1}$  (amid I) i  $1526\text{--}1563\text{ cm}^{-1}$  (amid II). NH i OH skupine u spojevima **11a-f** prisutne su u području  $3274\text{--}3414\text{ cm}^{-1}$ , te se kod nekih spojeva preklapaju. Isto tako, iz IR spektara spojeva **11a-f** vidljivo je da je OH skupina slobodna i ne dolazi do povezivanja vodikovim vezama. Amidna skupina javlja se u području  $1641\text{--}1652\text{ cm}^{-1}$  (amid I) i  $1531\text{--}1550\text{ cm}^{-1}$  (amid II).

U  $^1\text{H}$  NMR spektrima spojeva **9a-i** NH se javlja u području 7,74–7,97 ppm. Iznimka su spojevi **9d** (8,44 ppm) i **9f** (8,86 ppm), kod kojih supstituenti s fenilnim prstenovima otkrivaju NH skupinu te dolazi do kemijskog pomaka u niže polje. Taj učinak kod spoja **9e** nije tako izražen zbog udaljenosti fenilnog prstena. U seriji **10a-f** NH se javlja u području 7,91–8,11 ppm, s iznimkom spojeva **10d** (8,56 ppm) i **10f** (8,98 ppm). NH skupina u spojevima **11a-f** nalazi se u području 7,74–8,04 ppm, s nešto višim vrijednostima kod spojeva **11d** (8,46 ppm) i **11f** (8,88 ppm). OH skupina javlja se u području 5,84–5,91 ppm.

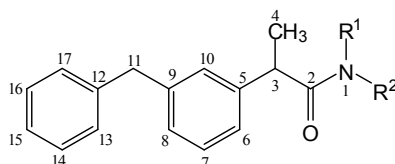
Karbonilna skupina u položaju 2 u  $^{13}\text{C}$  NMR spektrima svih sintetiziranih amida nalazi se od 172,29 do 173,82 ppm. Za pojedinu seriju spojeva karakteristični su kemijski pomaci parnih aromatskih ugljikovih atoma. Vrijednosti tih kemijskih pomaka za spojeve **9a-i** su  $\approx 143,0$ , 141,7 i 141,4 ppm, za spojeve **10a-f**  $\approx 143,3$ , 137,5 i 137,3 ppm, te za spojeve **11a-f**  $\approx 146,1$ , 146,0 i 142,7 ppm.

Analitički i spektroskopski podaci dani su u Tablicama 16–24.

Tablica 16. Analitički i IR podaci za derivate ketoprofena **9a-i**.

Spoj	R <sup>1</sup>	R <sup>2</sup>	Iskor. (%)	<i>t</i> <sub>f</sub> (°C)	Molekulska formula ( <i>M<sub>r</sub></i> )	IR (KBr/film) $\nu_{\max}$ (cm <sup>-1</sup> )
<b>9a</b>		H	82	92–93	C <sub>21</sub> H <sub>25</sub> NO (307,43)	3274, 3061, 3027, 2962, 2936, 2864, 1635, 1599, 1548, 1448, 785, 731, 711, 699
<b>9b</b>		H	85	89–93	C <sub>22</sub> H <sub>27</sub> NO (321,46)	3297, 3062, 3026, 2980, 2936, 2854, 1639, 1585, 1546, 1448, 779, 750, 698
<b>9c</b>		H	82	50–54	C <sub>23</sub> H <sub>29</sub> NO (335,48)	3295, 3061, 3027, 2968, 2918, 2851, 1647, 1602, 1585, 1558, 1442, 1221, 1155, 711, 698
<b>9d</b>		H	88	70–74	C <sub>23</sub> H <sub>23</sub> NO (329,43)	3292, 3062, 3028, 2971, 2930, 1648, 1602, 1546, 1495, 1453, 722, 697
<b>9e</b>		H	86	60–64	C <sub>24</sub> H <sub>25</sub> NO (343,46)	3306, 3064, 3026, 2925, 1642, 1548, 1496, 1454, 753, 712, 698
<b>9f</b>		H	70	122–123	C <sub>29</sub> H <sub>27</sub> NO (405,53)	3297, 3087, 3064, 3025, 2979, 1667, 1641, 1601, 1586, 1529, 1494, 1452, 757, 741, 718, 703
<b>9g</b>		H	84	ulje	C <sub>18</sub> H <sub>21</sub> NO <sub>2</sub> (283,36)	3414, 3312, 3084, 3027, 2972, 2931, 1648, 1601, 1560, 1540, 1494, 1453, 1363, 1072, 723, 700

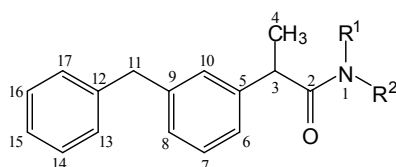
<b>9h</b>		H	77	ulje	$C_{19}H_{23}NO_2$ (297,39)	3301, 3062, 3027, 2970, 2935, 2877, 1652, 1601, 1558, 1548, 1494, 1453, 721, 699
<b>9i</b>			76	ulje	$C_{20}H_{25}NO_3$ (327,42)	3370, 3060, 3026, 2931, 1622, 1494, 1473, 1454, 1442, 1061, 745, 699

Tablica 17.  $^1H$  NMR podaci za derivate ketoprofena **9a-i**.

Spoj	$R^1$	$R^2$	$^1H$ NMR (DMSO- $d_6$ , $\delta$ ppm, $J$ /Hz)
<b>9a</b>		H	7,85 (d, 1H, 1, $J = 7,15$ ), 7,30–7,04 (m, 9H, arom.), 3,99–3,87 (m, 3H, 11, 1'), 3,52 (q, 1H, 3, $J = 7,01$ ), 1,83–1,16 (m, 8H, 2'–5'), 1,27 (d, 3H, 4, $J = 7,03$ )
<b>9b</b>		H	7,74 (d, 1H, 1, $J = 7,79$ ), 7,29–7,04 (m, 9H, arom.), 3,90 (s, 2H, 11), 3,52 (q, 1H, 3, $J = 7,04$ ), 3,49–3,40 (m, 1H, 1'), 1,73–1,54, 1,21–0,93 (2m, 8H, 2'–6'), 1,27 (d, 3H, 4, $J = 7,03$ )
<b>9c</b>		H	7,84 (t, 1H, 1, $J = 5,31$ ), 7,30–7,03 (m, 9H, arom.), 3,90 (s, 2H, 11), 3,56 (q, 1H, 3, $J = 6,97$ ), 2,85 (dd, 2H, 1', $J = 6,11$ , $J = 6,50$ ), 1,66–1,51, 1,40–1,24, 1,17–1,04, 0,84–0,72 (4m, 4H, 3'–7'), 1,28 (d, 3H, 4, $J = 7,02$ )
<b>9d</b>		H	8,44 (t, 1H, 1, $J = 5,65$ ), 7,31–7,06 (m, 14H, arom.), 4,24 (d, 2H, 1', $J = 5,52$ ), 3,91 (s, 2H, 11), 3,64 (q, 1H, 3, $J = 6,96$ ), 1,34 (d, 3H, 4, $J = 7,01$ )
<b>9e</b>		H	7,97 (t, 1H, 1, $J = 5,43$ ), 7,29–7,05 (m, 14H, arom.), 3,91 (s, 2H, 11), 3,52 (q, 1H, 3, $J = 7,00$ ), 3,29–3,16 (m, 2H, 1'), 2,64 (t, 2H, 2', $J = 7,23$ ), 1,27 (d, 3H, 4, $J = 7,04$ )

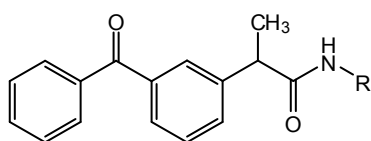
<b>9f</b>		H	8,86 (d, 1H, 1, $J = 8,45$ ), 7,36–7,04 (m, 19H, arom.), 6,07 (d, 1H, 1', $J = 8,45$ ), 3,90 (s, 2H, 11), 3,80 (q, 1H, 3, $J = 6,94$ ), 1,32 (d, 3H, 4, $J = 7,00$ )
<b>9g</b>		H	7,92 (t, 1H, 1, $J = 5,24$ ), 7,31–7,04 (m, 9H, arom.), 4,64 (t, 1H, 3', $J = 5,36$ ), 3,91 (s, 2H, 11), 3,57 (q, 1H, 3, $J = 7,03$ ), 3,39–3,33 (m, 2H, 2'), 3,17–3,01 (m, 2H, 1'), 1,28 (d, 3H, 4, $J = 7,03$ )
<b>9h</b>		H	7,89 (t, 1H, 1, $J = 5,29$ ), 7,31–7,04 (m, 9H, arom.), 4,38 (t, 1H, 4'), 3,91 (s, 2H, 11), 3,53 (q, 1H, 3, $J = 7,00$ ), 3,34 (q, 2H, 1', $J = 6,19$ ), 3,06 (q, 2H, 3', $J = 6,51$ ), 1,54–1,45 (m, 2H, 2'), 1,28 (d, 3H, 4, $J = 7,04$ )
<b>9i</b>		H	7,31–7,04 (m, 9H, arom.), 4,82 (s, 1H, 3'), 4,46 (s, 1H, 3''), 4,10 (q, 1H, 3, $J = 6,74$ ), 3,91 (s, 2H, 11), 3,56–3,34, 3,19–3,10 (m, 8H, 1', 2', 1'', 2''), 1,24 (d, 3H, 4, $J = 6,77$ )

Tablica 18.  $^{13}\text{C}$  NMR podaci za derivate ketoprofena **9a-i**.

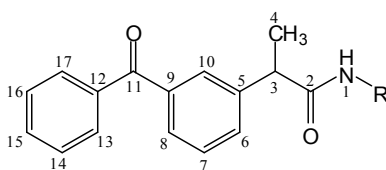


Spoj	$\text{R}^1$	$\text{R}^2$	$^{13}\text{C}$ NMR (DMSO- $d_6$ , $\delta$ ppm)
<b>9a</b>		H	173,02 (2), 143,11, 141,69, 141,42 (5, 9, 12), 129,09, 128,83, 128,68, 128,03, 127,21, 126,39, 125,26 (6–8, 10, 13–17), 50,64 (1'), 45,22 (3), 41,67 (11), 32,68, 32,63 (2', 5'), 23,96, 23,92 (3', 4'), 19,01 (4)
<b>9b</b>		H	172,59 (2), 143,15, 141,69, 141,41 (5, 9, 12), 129,10, 128,82, 128,67, 128,00, 127,19, 126,37, 125,26 (6–8, 10, 13–17), 47,84 (1'), 45,27 (3), 41,66 (11), 32,81, 32,78 (2', 6'), 25,69, 25,04, 24,96 (3'–5'), 19,00 (4)

9c		H	173,55 (2), 143,10, 141,67, 141,36 (5, 9, 12), 129,07, 128,83, 128,66, 128,11, 127,27, 126,39, 125,31 (6–8, 10, 13–17), 45,46 (3), 45,24 (1'), 41,65 (11), 37,88 (2'), 30,81, 30,77 (2', 7'), 26,49, 25,85 (4'–6'), 19,02 (4)
9d		H	173,69 (2), 142,88, 141,66, 141,48 (5, 9, 12), 140,00 (2'), 129,11, 128,86, 128,67, 128,16, 127,23, 126,41, 125,41 (6–8, 10, 13–17), 128,76, 127,51, 127,41, 127,14 (3'–7'), 45,52 (3), 42,48 (1'), 41,64 (11), 19,04 (4)
9e		H	173,53 (2), 142,90, 141,67, 141,47 (5, 9, 12), 139,91 (3'), 129,13, 128,86, 128,71, 128,12, 127,30, 126,40, 125,40 (6–8, 10, 13–17), 129,10, 128,67, 126,44 (4'–8'), 45,50 (3), 41,66 (11), 40,83 (1'), 35,37 (2'), 19,02 (4)
9f		H	172,97 (2), 142,95, 141,67, 141,40 (5, 9, 12), 142,86, 142,74 (2', 8'), 129,09, 128,85, 128,72, 128,23, 127,28, 126,40, 125,38 (6–8, 10, 13–17), 128,68, 127,85, 127,55, 127,41, 127,40 (3'–7', 9'–13'), 56,28 (1'), 45,06 (3), 41,65 (11), 18,86 (4)
9g		H	173,81 (2), 143,11, 141,67, 141,47 (5, 9, 12), 129,13, 128,86, 128,71, 128,14, 127,27, 126,41, 125,37 (6–8, 10, 13–17), 60,30 (1'), 45,40 (3), 41,98 (2'), 41,65 (11), 19,21 (4)
9h		H	173,64 (2), 143,02, 141,66, 141,47 (5, 9, 12), 129,12, 128,86, 128,72, 128,08, 127,28, 126,40, 125,30 (6–8, 10, 13–17), 58,80 (1'), 45,50 (3), 41,65 (11), 36,20 (3'), 32,83 (2'), 19,07 (4)
9i		H	173,73 (2), 143,10, 141,89, 141,63 (5, 9, 12), 129,09, 128,86, 128,00, 127,32, 126,40, 125,40 (6–8, 10, 13–17), 59,73, 59,07 (1', 1''), 50,64, 48,93 (2', 2''), 41,64 (11), 41,60 (3), 21,26 (4)

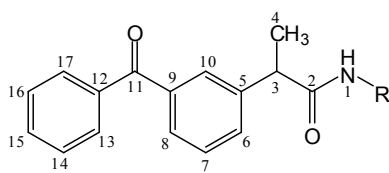
Tablica 19. Analitički i IR podaci za derivate ketoprofena **10a-f**.

Spoj	R	Iskor. (%)	$t_t$ (°C)	Molekulska formula ( $M_r$ )	IR (KBr) $\nu_{\max}$ (cm <sup>-1</sup> )
<b>10a</b>		80	94–95	C <sub>21</sub> H <sub>23</sub> NO <sub>2</sub> (321,41)	3355, 3066, 2964, 2870, 1663, 1648, 1596, 1528, 1449, 1312, 1284, 723, 702, 642
<b>10b</b>		77	120–121	C <sub>22</sub> H <sub>25</sub> NO <sub>2</sub> (335,44)	3355, 3067, 2976, 2936, 2851, 1660, 1648, 1596, 1526, 1448, 1311, 1285, 1220, 768, 722, 701, 644
<b>10c</b>		90	96–98	C <sub>23</sub> H <sub>27</sub> NO <sub>2</sub> (349,47)	3298, 3094, 2919, 2853, 1676, 1660, 1642, 1597, 1563, 1447, 1289, 1271, 1234, 729, 707, 640
<b>10d</b>		83	97–99	C <sub>23</sub> H <sub>21</sub> NO <sub>2</sub> (343,42)	3314, 3287, 3066, 3033, 2926, 2870, 1644, 1551, 1449, 1349, 1015, 712, 701
<b>10e</b>		92	66–69	C <sub>24</sub> H <sub>23</sub> NO <sub>2</sub> (357,44)	3255, 3062, 2936, 2876, 1661, 1634, 1599, 1559, 1543, 1448, 1288, 748, 702
<b>10f</b>		73	115–119	C <sub>29</sub> H <sub>25</sub> NO <sub>2</sub> (419,51)	3316, 3251, 3057, 3030, 2932, 1656, 1649, 1598, 1528, 1494, 1320, 1285, 723, 704, 696

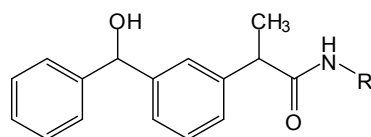
Tablica 20.  $^1\text{H}$  NMR podaci za derivate ketoprofena **10a-f**.

Spoj	R	$^1\text{H}$ NMR (DMSO- $d_6$ , $\delta$ ppm, $J$ /Hz)
<b>10a</b>		7,99 (d, 1H, 1, $J = 7,01$ ), 7,72–7,45 (m, 9H, arom.), 3,99–3,87 (m, 1H, 1'), 3,66 (q, 1H, 3, $J = 6,73$ ), 1,83–1,17 (m, 8H, 2'–5'), 1,32 (d, 3H, 4, $J = 7,00$ )
<b>10b</b>		7,91 (d, 1H, 1, $J = 7,97$ ), 7,74–7,47 (m, 9H, arom.), 3,69 (q, 1H, 3, $J = 7,02$ ), 3,54–3,42 (m, 1H, 1'), 1,76–1,51, 1,27–0,98 (2m, 10H, 2'–6'), 1,34 (d, 3H, 4, $J = 7,07$ )
<b>10c</b>		7,98 (t, 1H, 1, $J = 7,98$ ), 7,74–7,47 (m, 9H, arom.), 3,72 (q, 1H, 3, $J = 6,99$ ), 2,87 (dd, 2H, 1', $J = 6,18$ , $J = 4,38$ ), 1,67–1,51, 1,41–1,30, 1,18–1,03, 0,84–0,73 (4m, 4H, 3'–7'), 1,35 (d, 3H, 4, $J = 7,00$ )
<b>10d</b>		8,56 (t, 1H, 1, $J = 5,75$ ), 7,76–7,49 (m, 9H, arom.), 7,29–7,14 (m, 5H, arom.), 4,25 (d, 2H, 1', $J = 5,84$ ), 3,80 (q, 1H, 3, $J = 7,03$ ), 1,40 (d, 3H, 4, $J = 7,03$ )
<b>10e</b>		8,11 (t, 1H, 1, $J = 5,45$ ), 7,75–7,48 (m, 9H, arom.), 7,24–7,07 (m, 5H, arom.), 3,69 (q, 1H, 3, $J = 6,94$ ), 3,32–3,18 (m, 2H, 1'), 2,66 (t, 2H, 2', $J = 7,13$ ), 1,34 (d, 3H, 4, $J = 7,02$ )
<b>10f</b>		8,98 (d, 1H, 1, $J = 8,46$ ), 7,78–7,48 (m, 9H, arom.), 7,37–7,08 (m, 10H, arom.), 6,08 (d, 1H, 1', $J = 8,40$ ), 3,96 (q, 1H, 3, $J = 6,99$ ), 1,39 (d, 3H, 4, $J = 7,01$ )

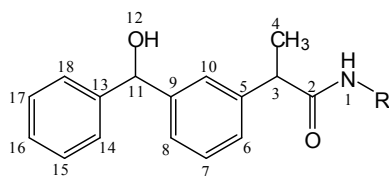


Tablica 21.  $^{13}\text{C}$  NMR podaci za derivate ketoprofena **10a-f**.

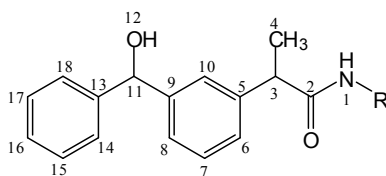
Spoj	R	$^{13}\text{C}$ NMR (DMSO- $d_6$ , $\delta$ ppm)
<b>10a</b>		196,23 (11), 172,71 (2), 143,34, 137,53, 137,28 (5, 9, 12), 133,14, 131,99, 130,04, 129,03, 128,97, 128,88, 128,41 (6–8, 10, 13–17), 50,73 (1'), 45,08 (3), 32,68 (2', 5'), 23,94, 23,90 (3', 4'), 18,95 (4)
<b>10b</b>		196,23 (11), 172,29 (2), 143,40, 137,55, 137,29 (5, 9, 12), 133,13, 131,98, 130,05, 129,02, 128,96, 128,88, 128,37 (6–8, 10, 13–17), 47,93 (1'), 45,14 (3), 32,98 (2', 6'), 25,67, 25,00, 24,92 (3'–5'), 18,96 (4)
<b>10c</b>		196,22 (11), 173,24 (2), 143,41, 137,53, 137,30 (5, 9, 12), 133,17, 132,00, 130,04, 129,03, 128,92, 128,44 (6–8, 10, 13–17), 45,30 (3), 45,26 (1'), 37,89 (2'), 30,78, 30,75 (3', 7'), 26,46, 25,84 (4'–6'), 18,92 (4)
<b>10d</b>		196,22 (11), 173,37 (2), 143,15, 137,51, 137,38 (5, 9, 12), 139,86 (2'), 133,17, 132,08, 130,07, 129,04, 129,02, 128,58 (6–8, 10, 13–17), 128,70, 127,50, 127,21 (3'–7'), 45,36 (3), 42,54 (1'), 18,91 (4)
<b>10e</b>		196,22 (11), 173,22 (2), 143,19, 137,54, 137,32 (5, 9, 12), 139,85 (2'), 133,16, 132,09, 130,08, 129,04, 128,99, 128,97, 128,52 (6–8, 10, 13–17), 129,10, 128,64, 126,44 (4'–8'), 45,33 (3), 40,71 (1'), 35,40 (2'), 18,91 (4)
<b>10f</b>		196,23 (11), 172,64 (2), 143,01, 137,51, 137,35 (5, 9, 12), 142,80, 142,77 (2', 8'), 133,16, 132,07, 130,05, 129,03, 128,98, 128,53 (6–8, 10, 13–17), 128,88, 128,68, 127,86, 127,45, 127,33 (3'–7', 9'–13'), 56,36 (1'), 44,98 (3), 18,81 (4)

Tablica 22. Analitički i IR podaci za derivate ketoprofena **11a-f**.

Spoj	R	Iskor. (%)	$t_f$ (°C)	Molekulska formula ( $M_r$ )	IR (KBr/film) $\nu_{\max}$ (cm <sup>-1</sup> )
<b>11a</b>		78	120–125	C <sub>21</sub> H <sub>25</sub> NO <sub>2</sub> (323,19)	3274, 3062, 3031, 2964, 2933, 2866, 1645, 1603, 1549, 1453, 1231, 1195, 1021, 730, 701
<b>11b</b>		75	94–98	C <sub>22</sub> H <sub>27</sub> NO <sub>2</sub> (337,46)	3366, 3308, 3058, 2973, 2924, 2855, 1641, 1603, 1539, 1449, 1015, 712, 701
<b>11c</b>		80	ulje	C <sub>23</sub> H <sub>29</sub> NO <sub>2</sub> (351,48)	3312, 3063, 2925, 2852, 1649, 1604, 1550, 1493, 1450, 1025, 731, 701
<b>11d</b>		82	100–103	C <sub>23</sub> H <sub>21</sub> NO <sub>2</sub> (343,42)	3331, 3285, 1648, 1603, 1539, 1494, 1454, 1238, 1017, 730, 701
<b>11e</b>		73	ulje	C <sub>24</sub> H <sub>25</sub> NO <sub>2</sub> (359,46)	3414, 3312, 3062, 3028, 2973, 2932, 1652, 1603, 1558, 1540, 1522, 1454, 1368, 1239, 1025, 750, 700
<b>11f</b>		90	51–55	C <sub>29</sub> H <sub>27</sub> NO <sub>2</sub> (421,53)	3410, 3304, 3062, 3029, 2975, 2930, 1649, 1602, 1531, 1494, 1451, 1028, 743, 699

Tablica 23.  $^1\text{H}$  NMR podaci za derivate ketoprofena **11a-f**.

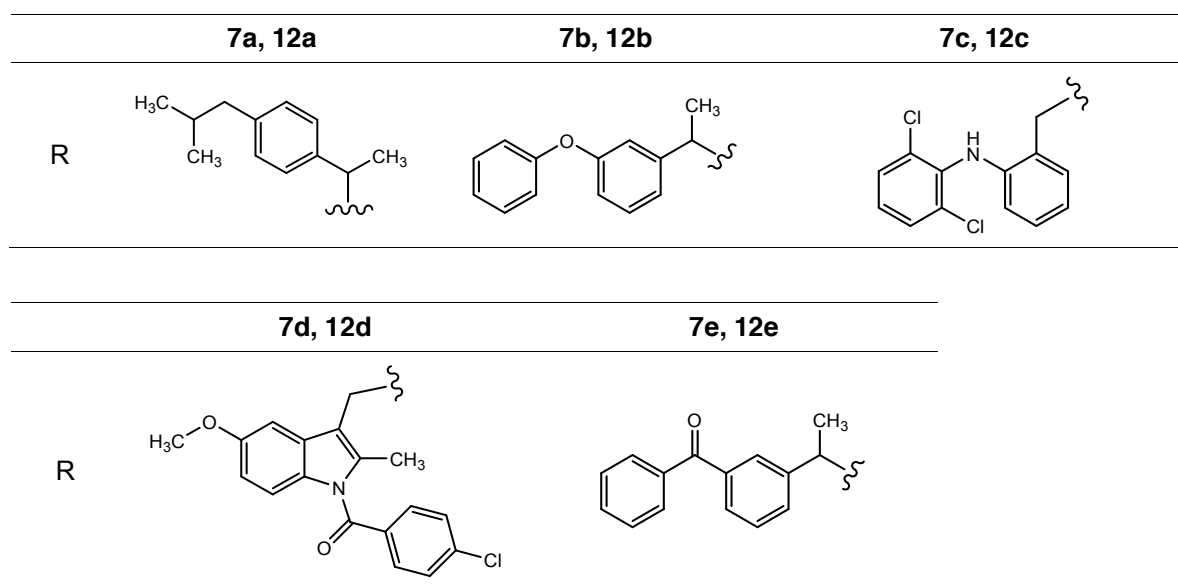
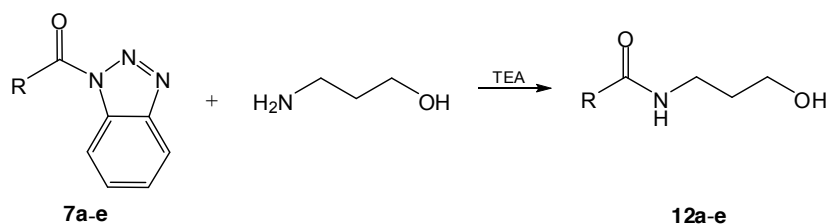
Spoj	R	$^1\text{H}$ NMR (DMSO- $d_6$ , $\delta$ ppm, $J/\text{Hz}$ )
<b>11a</b>		7,86 (d, 1H, 1, $J = 6,92$ ), 7,36–7,13 (m, 9H, arom.), 5,86 (d, 1H, 12, $J = 3,83$ ), 5,65 (d, 1H, 11, $J = 3,04$ ), 3,98–3,87 (m, 1H, 1'), 3,54 (q, 1H, 3, $J = 6,94$ ), 1,81–1,18 (m, 8H, 2'–5'), 1,27 (d, 3H, 4, $J = 6,99$ )
<b>11b</b>		7,74 (dd, 1H, 1, $J = 5,24$ , $J = 2,39$ ), 7,35–7,11 (m, 9H, arom.), 5,84 (d, 1H, 12, $J = 3,84$ ), 5,64 (d, 1H, 11, $J = 3,57$ ), 3,53 (q, 1H, 3, $J = 6,98$ ), 3,48–3,38 (m, 1H, 1'), 1,72–1,46, 1,27–0,92 (2m, 10H, 2'–6'), 1,25 (d, 3H, 4, $J = 6,56$ )
<b>11c</b>		7,87 (t, 1H, 1, $J = 5,56$ ), 7,37–7,14 (m, 9H, arom.), 5,86 (dd, 1H, 12, $J = 2,84$ , $J = 1,05$ ), 5,65 (d, 1H, 11, $J = 3,50$ ), 3,58 (q, 1H, 3, $J = 7,01$ ), 2,85 (t, 2H, 1', $J = 6,26$ ), 1,68–1,51, 1,39–1,24, 1,19–1,05, 0,89–0,73 (4m, 4H, 3'–7'), 1,28 (d, 3H, 4, $J = 6,85$ )
<b>11d</b>		8,46 (t, 1H, 1, $J = 5,57$ ), 7,41–7,15 (m, 15H, arom.), 5,88 (d, 1H, 12, $J = 3,21$ ), 5,66 (s, 1H, 11), 4,24 (d, 2H, 1', $J = 5,74$ ), 3,66 (q, 1H, 3, $J = 6,97$ ), 1,34 (d, 3H, 4, $J = 6,97$ )
<b>11e</b>		8,04 (t, 1H, 1, $J = 5,47$ ), 7,42–7,14 (m, 14H, arom.), 5,91 (dd, 1H, 12, $J = 3,25$ , $J = 0,63$ ), 5,70 (d, 1H, 11, $J = 3,75$ ), 3,58 (q, 1H, 3, $J = 6,93$ ), 3,26 (q, 2H, 1', $J = 7,22$ ), 2,68 (t, 2H, 2', $J = 7,28$ ), 1,32 (d, 3H, 4, $J = 6,89$ )
<b>11f</b>		8,88 (d, 1H, 1, $J = 8,39$ ), 7,44–7,10 (m, 19H, arom.), 6,06 (d, 1H, 1', $J = 8,38$ ), 5,87 (d, 1H, 12, $J = 3,86$ ), 5,65 (d, 1H, 11, $J = 3,19$ ), 3,82 (q, 1H, 3, $J = 6,78$ ), 1,32 (d, 3H, 4, $J = 6,20$ )

Tablica 24.  $^{13}\text{C}$  NMR podaci za derivate ketoprofena **11a-f**.

Spoj	R	$^{13}\text{C}$ NMR (DMSO- $d_6$ , $\delta$ ppm)
<b>11a</b>		173,00 (2), 146,16, 145,99, 142,76 (5, 9, 13), 128,47, 128,29, 127,11, 126,69, 126,01, 125,56, 124,81 (6–8, 10, 14–18), 74,84 (11), 50,63 (1'), 45,29 (3), 32,69, 32,65 (2', 5'), 23,97, 23,93 (3', 4'), 19,10 (4)
<b>11b</b>		172,59 (2), 146,16, 145,98, 142,82 (5, 9, 13), 128,45, 128,28, 127,11, 126,71, 126,02, 125,55, 124,81 (6–8, 10, 14–18), 74,84 (11), 47,83 (1'), 45,34 (3), 32,83, 32,80 (2', 6'), 25,70 (3'), 25,05 (5'), 24,98 (4'), 19,10 (4)
<b>11c</b>		173,58 (2), 146,15, 145,93, 142,71 (5, 9, 13), 128,47, 128,28, 127,13, 126,69, 126,03, 125,62, 124,90 (6–8, 10, 14–18), 74,82 (11), 45,53 (3), 45,28 (1'), 37,87 (2'), 30,83 (3'), 30,81 (7'), 26,49 (4'), 25,85 (5', 6'), 19,13 (4)
<b>11d</b>		173,71 (2), 146,11, 146,02, 142,50 (5, 9, 13), 139,96 (2'), 128,69, 127,53 (3'–7'), 128,50, 128,38, 127,14, 126,73, 126,09, 125,67, 124,04 (6–8, 10, 14–18), 74,83 (11), 45,59 (3), 42,51 (1'), 19,11 (4)
<b>11e</b>		173,55 (2), 146,16, 146,02, 142,55 (5, 9, 13), 139,90 (3'), 129,10, 128,71, 126,45 (4'–8'), 128,49, 128,34, 127,14, 126,73, 126,17, 125,63, 124,95 (6–8, 10, 14–18), 74,83 (11), 45,58 (3), 40,74 (1'), 35,53 (2'), 19,12 (4)
<b>11f</b>		173,00 (2), 146,13, 145,97, 142,82 (5, 9, 13), 143,01, 142,36 (2', 8'), 128,85, 128,70, 127,81, 127,58, 127,55, 127,41, 127,26 (3'–7', 9'–13'), 128,49, 128,33, 127,13, 126,73, 126,05, 125,76, 125,04 (6–8, 10, 14–18), 74,83 (11), 56,30 (1'), 45,14 (3), 18,95 (4)

## 5.1.2.5. Sinteza 3-hidroksipropilamida NSAID 12a-e

3-Hidroksipropilamidi **12a-e** sintetizirani su iz NSAID benzotriazolida **7a-e** reakcijom nukleofilne supstitucije s 3-hidroksipropilaminom (Shema 44). Reakcija se izvodi uz 1,1 ekvivalent amina i 1 ekvivalent TEA u smjesi otapala toluen/etil-acetat, na sobnoj temperaturi tijekom 1 h.



Shema 44. Sinteza 3-hidroksipropilamida NSAID **12a-e**.

Priredeni su sljedeći spojevi:

*N*-(3-hidroksipropil)-2-(4-izobutilfenil)propanamid (**12a**),

2-(3-fenoksifenil)-*N*-(3-hidroksipropil)propanamid (**12b**),

*N*-(3-hidroksipropil)-2-(2-(2,6-diklorfenilamino)fenil)acetamid (**12c**),

*N*-(3-hidroksipropil)-1-(4-klorbenzoil)-2-metil-5-metoksi-1*H*-indol-3-acetamid (**12d**),

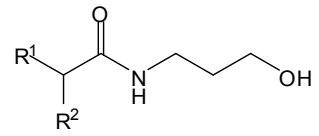
2-(3-benzoilfenil)-*N*-(3-hidroksipropil)propanamid (**12e**).

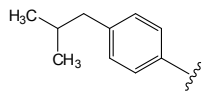
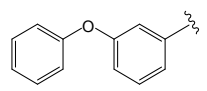
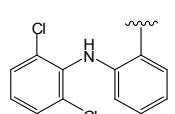
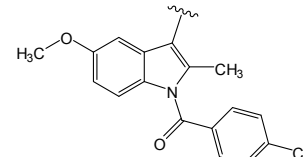
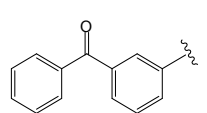
Tijek sinteze i čistoća spojeva praćeni su tankoslojnom kromatografijom, a njihove strukture potvrđene su IR,  $^1\text{H}$  i  $^{13}\text{C}$  NMR spektroskopijom i elementarnom analizom (sve elementarne analize bile su unutar 0,4%).

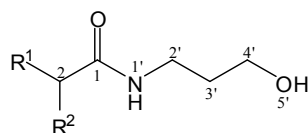
IR spektri 3-hidroksipropilamida NSAID **12a-e** pokazuju karakteristične vrpce kod 3299–3495 (NH i OH), 1618–1652 (amid I) i 1546–1582 (amid II)  $\text{cm}^{-1}$ . U  $^1\text{H}$  NMR spektrima NH se javlja u području 7,88–8,35 ppm, a OH u području 4,39–4,48 ppm. Karbonilna skupina u položaju 1 u  $^{13}\text{C}$  NMR spektrima nalazi se u području 169,82–173,52 ppm.

Od sintetiziranih spojeva novi su **12a** i **12c**. Analitički i spektroskopski podaci spojeva **12b,d,e** (osim tališta spoja **12d**) podudaraju se s ranije sintetiziranim spojevima,<sup>58,59,96,100</sup> te su zajedno s podacima za nove spojeve dani u Tablicama 25–27.

Tablica 25. Analitički i IR podaci za 3-hidroksipropilamide NSAID 12a-e.

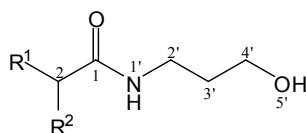


Spoj	R <sup>1</sup>	R <sup>2</sup>	Iskor. (%)	t <sub>t</sub> (°C)	Molekulska formula (M <sub>r</sub> )	IR (KBr/film) ν <sub>max</sub> (cm <sup>-1</sup> )
12a		CH <sub>3</sub>	75	ulje	C <sub>16</sub> H <sub>25</sub> NO <sub>2</sub> (263,38)	3299, 3088, 2954, 2932, 2869, 1652, 1548, 1512, 1065, 849
12b		CH <sub>3</sub>	82	ulje	C <sub>18</sub> H <sub>21</sub> NO <sub>3</sub> (299,36)	3400, 3298, 2937, 1648, 1582, 1486, 1443, 1246, 1209, 1071, 926, 757, 693
12c		H	96	130–133	C <sub>17</sub> H <sub>18</sub> Cl <sub>2</sub> N <sub>2</sub> O <sub>2</sub> (353,24)	3495, 3432, 3297, 3253, 3082, 2947, 2882, 1618, 1565, 1508, 1453, 1286, 1070, 775, 747
12d		H	60	130–131	C <sub>22</sub> H <sub>23</sub> ClN <sub>2</sub> O <sub>4</sub> (414,88)	3428, 3314, 3093, 2928, 2884, 1673, 1620, 1561, 1478, 1317, 1071, 835, 755
12e		CH <sub>3</sub>	80	ulje	C <sub>19</sub> H <sub>21</sub> NO <sub>3</sub> (311,38)	3301, 3064, 2936, 2876, 1651, 1597, 1546, 1448, 1319, 1285, 1237, 722, 705

Tablica 26.  $^1\text{H}$  NMR podaci za 3-hidroksipropilamide NSAID **12a-e**.

Spoj	R <sup>1</sup>	R <sup>2</sup>	$^1\text{H}$ NMR (DMSO- <i>d</i> <sub>6</sub> , $\delta$ ppm, <i>J</i> /Hz)
<b>12a</b>		$^3\text{CH}_3$	7,88 (t, 1H, 1', <i>J</i> = 5,40), 7,21 (d, 2H, arom., <i>J</i> = 8,03), 7,07 (d, 2H, arom., <i>J</i> = 8,10), 4,39 (t, 1H, 5', <i>J</i> = 5,25), 3,54 (q, 1H, 2, <i>J</i> = 7,04), 3,35 (q, 2H, 4', <i>J</i> = 6,27), 3,13–3,01 (m, 2H, 2'), 2,40 (d, 2H, 10, <i>J</i> = 7,12), 1,87–1,74 (m, 1H, 11), 1,56–1,47 (m, 2H, 3'), 1,30 (d, 3H, 3, <i>J</i> = 7,05), 0,86 (d, 6H, 12, 13, <i>J</i> = 6,61)
<b>12b</b>		$^3\text{CH}_3$	8,01 (bs, 1H, 1'), 7,38 (t, 2H, arom., <i>J</i> = 7,62), 7,29 (t, 1H, arom., <i>J</i> = 7,83), 7,13 (t, 1H, arom., <i>J</i> = 7,11), 7,07 (d, 1H, arom., <i>J</i> = 7,80), 6,98 (s, 3H, arom.), 6,83 (d, 1H, arom. <i>J</i> = 7,80), 4,48 (bs, 1H, 5'), 3,57 (q, 1H, 2, <i>J</i> = 7,14), 3,34 (t, 2H, 4', <i>J</i> = 6,00), 3,06 (t, 2H, 2', <i>J</i> = 5,83), 1,49 (t, 2H, 3', <i>J</i> = 6,49), 1,28 (d, 3H, 3, <i>J</i> = 6,81)
<b>12c</b>		H	8,45 (s, 1H, 9), 8,35 (t, 1H, 1', <i>J</i> = 5,27), 7,51 (d, 2H, arom., <i>J</i> = 8,06), 7,20–7,12 (m, 2H, arom.), 7,06–7,01 (m, 1H, arom.), 6,87–6,82 (m, 1H, arom.), 6,29 (d, 1H, arom., <i>J</i> = 7,81), 4,45 (t, 1H, 5', <i>J</i> = 5,16), 3,57 (s, 1H, 2), 3,42 (q, 2H, 4', <i>J</i> = 5,90), 3,13 (q, 2H, 2', <i>J</i> = 6,49), 1,62–1,53 (m, 2H, 3')
<b>12d</b>		H	8,02 (t, 1H, 1', <i>J</i> = 5,24), 7,69 (d, 3H, arom., <i>J</i> = 8,63), 7,64 (d, 2H, <i>J</i> = 8,38), 7,12 (d, 1H, arom., <i>J</i> = 1,96), 6,95 (d, 1H, arom., <i>J</i> = 9,03), 6,71 (dd, 1H, arom., <i>J</i> = 2,09, <i>J</i> = 6,80), 4,43 (t, 1H, 5', <i>J</i> = 5,10), 3,77 (s, 3H, 2''), 3,49 (s, 2H, 2), 3,40 (q, 2H, 4', <i>J</i> = 5,79), 3,12 (q, 2H, 2', <i>J</i> = 6,39), 2,23 (s, 3H, 1''), 1,60–1,51 (m, 2H, 3')
<b>12e</b>		$^3\text{CH}_3$	8,06 (t, 1H, 1', <i>J</i> = 5,30), 7,47–7,40 (m, 9H, arom.), 4,43 (t, 1H, 5', <i>J</i> = 4,90), 3,70 (q, 1H, 2, <i>J</i> = 6,70), 3,36 (q, 2H, 4', <i>J</i> = 4,90), 3,08 (q, 2H, 2', <i>J</i> = 6,60), 1,56–1,47 (m, 2H, 3'), 1,35 (d, 3H, 3, <i>J</i> = 6,89)



Tablica 27.  $^{13}\text{C}$  NMR podaci za 3-hidroksipropilamide NSAID **12a-e**.

Spoj	R <sup>1</sup>	R <sup>2</sup>	$^{13}\text{C}$ NMR (DMSO- <i>d</i> <sub>6</sub> , $\delta$ ppm)
<b>12a</b>		$^3\text{CH}_3$	173,52 (1), 139,79, 139,25 (4, 7), 128,85, 127,03 (5, 6, 8, 9), 58,46 (4'), 44,86 (2), 44,37 (10), 35,87 (2'), 32,50 (3'), 29,75 (11), 22,32 (12, 13), 18,74 (3)
<b>12b</b>		$^3\text{CH}_3$	173,06 (1), 156,72, 156,56, 144,77 (4, 8, 10), 130,16, 129,87, 123,51, 122,48, 118,67, 117,63, 116,70 (5-7, 9, 11-15), 58,41 (4'), 45,02 (2), 35,86 (2'), 32,46 (3'), 18,57 (3)
<b>12c</b>		H	172,03 (1), 143,43, 137,65, 129,83, 126,03 (3, 8, 10, 11, 15), 130,82, 129,65, 127,63, 125,44, 121,11, 116,40 (4-7, 12-14), 58,77 (4'), 40,04 (2'), 36,45 (3'), 32,67 (2)
<b>12d</b>		H	169,82 (1), 168,31 (11), 156,01, 138,01, 135,56, 134,74, 131,35, 130,74, 114,90 (3-5, 8, 10, 12, 15), 131,61, 129,49, 115,02, 111,75, 102,25 (6, 7, 9, 13, 14, 16, 17), 58,85 (4'), 55,87 (2''), 36,41 (2'), 32,89 (3'), 31,66 (2), 13,84 (1'')
<b>12e</b>		$^3\text{CH}_3$	195,66 (10), 172,76 (1), 142,75 136,97, 136,77 (4, 8, 11), 132,59, 131,48, 129,51, 128,48, 128,43, 128,35, 127,94 (5-7, 9, 12-16), 58,22 (4'), 44,78 (2), 35,71 (2'), 32,25 (3'), 18,44 (3)

## 5.2. BIOLOŠKA ISPITIVANJA

### 5.2.1. ANTITUMORSKA ISPITIVANJA

Antitumorska ispitivanja provedena su na Institutu Rudjer Bošković i na Rega Institute for Medical Research, Katholieke Universiteit Leuven, Belgija, te je eksperimentalna metoda ispitivanja opisana ranije.<sup>113</sup>

#### 5.2.1.1. 3,5-Disupstituirani hidantoini **5**

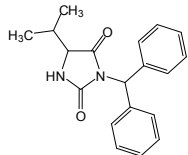
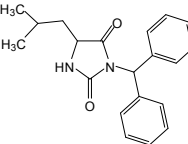
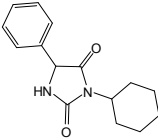
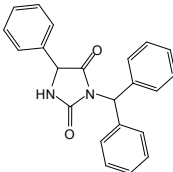
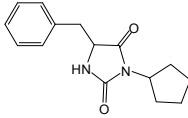
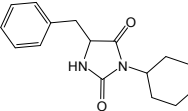
Citostatsko djelovanje hidantoina **5a-h** ispitano je *in vitro* na sljedeće maligne stanične linije: leukemija porijeklom iz miša (L1210), zloćudno preobraženi T-limfociti (Molt4/C8 i CEM), karcinom grlića maternice (HeLa), karcinom dojke (MCF-7), karcinom gušterače (MiaPaCa-2), karcinom pluća (H 460), karcinom debelog crijeva (SW620) i na staničnu liniju normalnih fibroblasta porijeklom iz čovjeka (WI 38) (Tablica 28).<sup>113</sup> Ispitivanja su pokazala je MCF-7 najosjetljivija na djelovanje hidantoina **5a-h**.

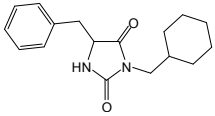
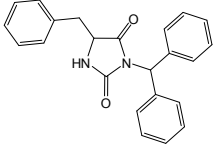
Prema našim očekivanjima, rezultati su pokazali da je citostatsko djelovanje spojeva **5a-h** značajno jače od djelovanja ranije sintetiziranih hidantoina,<sup>3</sup> zbog njihove veće lipofilnosti. Usporedbom hidantoina, derivata istih aminokiselina (L-valina, L-leucina, D-fenilglicina i L-fenilalanina), a uzimajući u obzir i ranije ispitane spojeve,<sup>3</sup> može se zaključiti da derivati L-fenilalanina, najlipofilnije aminokiseline, imaju naj snažnije citostatsko djelovanje. Isto tako, među derivatima L-valina i L leucina, spojevi s benzhidrilnim supstituentom na N-3 (**5a** i **5b**) imaju najbolji učinak.

Međutim, hidantoini derivati D-fenilglicina i L-fenilalanina ne slijede u potpunosti to pravilo, te je usporedba supstituenata na N-3 pokazala opadanje jačine citostatskog djelovanja sljedećim redoslijedom: cikloheksanmetil > benzhidril > cikloheksil > ciklopentil.

Dva hidantoina s najjačim citostatskim djelovanjem na staničnu liniju MCF-7, derivat L-fenilalanina **5g** i derivat D-fenilglicina, 3-cikloheksanmetil-5-fenil hidantoin, ( $IC_{50} = 2$ , odnosno  $3,3 \mu\text{mol L}^{-1}$ ) ispoljili su značajno različito djelovanje na staničnu liniju normalnih fibroblasta. Dok spoj **5g** pokazuje gotovo jednak učinak, djelovanje 3-cikloheksanmetil-5-fenil hidantoina vrlo je selektivno ( $IC_{50} = 78,9 \mu\text{mol L}^{-1}$ ).

**Tablica 28.** Inhibitorno djelovanje 3,5-disupstituiranih hidantoina **5a-h** na rast malignih staničnih linija i normalnih fibroblasta (WI 38).

Spoj	Struktura	Rast tumorskih stanica [ $IC_{50}^a$ ( $\mu\text{mol L}^{-1}$ )]								
		L1210	MoltC4/C8	CEM	HeLa	MCF-7	MiaPaCa-2	H 460	SW620	WI 38
<b>5a</b>		102 ± 3	183 ± 38	83 ± 4	> 100	36 ± 13	47 ± 5	65 ± 35	62 ± 20	77 ± 23
<b>5b</b>		57 ± 21	232 ± 194	148 ± 95	47 ± 44	16 ± 0,6	46 ± 29	43 ± 1,5	31 ± 27	42 ± 2
<b>5c</b>		> 500	> 500	406 ± 16	> 100	63 ± 14	> 100	> 100	> 100	> 100
<b>5d</b>		303 ± 9	317 ± 12	266 ± 15	37	18 ± 1	81 ± 10	> 100	78 ± 21	55 ± 14
<b>5e</b>		312 ± 128	> 500	246 ± 85	38 ± 8	22 ± 2	70 ± 19	> 100	74 ± 25	42 ± 2
<b>5f</b>		42 ± 2	53 ± 2	48 ± 4	13 ± 1,4	11 ± 1	14 ± 0,9	19 ± 4	15 ± 2	13 ± 5

<b>5g</b>		$172 \pm 52$	$277 \pm 45$	$146 \pm 14$	$5,4 \pm 13$	$2 \pm 1,6$	$58 \pm 42$	$58 \pm 25$	$60 \pm 35$	$1,5 \pm 0,3$
<b>5h</b>		$46 \pm 4$	$52 \pm 5$	$50 \pm 4$	$21 \pm 3$	$20 \pm 10$	$22 \pm 0,7$	$23 \pm 0,7$	$21 \pm 0,9$	$> 100$
	Hidroksiurea	n.o. <sup>b</sup>	n.o.	n.o.	$42 \pm 38$	$> 100$	$> 100$	$> 100$	$> 100$	$> 100$
	5-Fluorouracil	n.o.	n.o.	n.o.	$4 \pm 1,5$	$15 \pm 2$	$10 \pm 3$	$2 \pm 0,7$	$9 \pm 2$	$14 \pm 12$
	Cisplatina	n.o.	n.o.	n.o.	$4 \pm 3$	$12 \pm 6$	$5 \pm 1$	$0,3 \pm 0,1$	$8 \pm 6$	$20 \pm 19$

<sup>a</sup>  $IC_{50}$  – koncentracija spoja kod koje je rast stanica inhibiran za 50%; <sup>b</sup> n.o. – nije određeno.

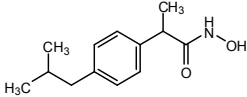
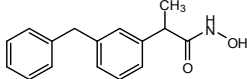
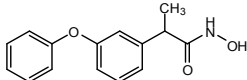
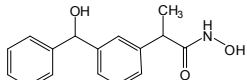
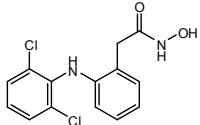
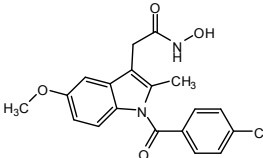
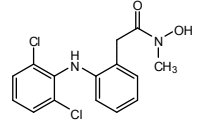
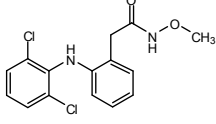
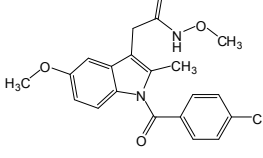
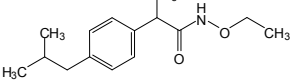
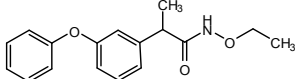
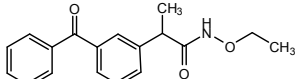
### 5.2.1.2. NSAID hidroksamske kiseline i njihovi derivati 8

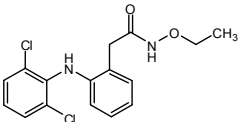
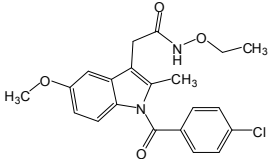
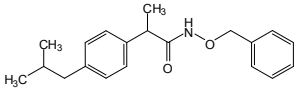
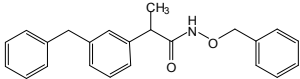
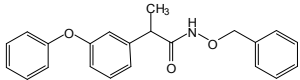
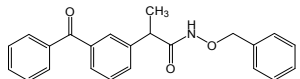
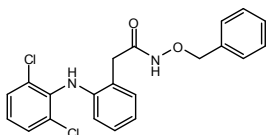
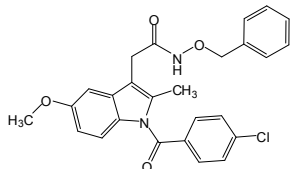
Citostatsko djelovanje spojeva **8** ispitano je *in vitro* na sljedeće maligne stanične linije: L1210, Molt4/C8, CEM, akutna limfoblastična leukemija (MOLT-4), HeLa, MiaPaCa-2, karcinom debelog crijeva (SW620 i HCT 116), karcinom prsne žlijezde (FM3A/0), MCF-7, metastatski adenokarcinom dojke (SK-BR-3), karcinom pluća velikih stanica (NCI-H727) i H 460, te je uspoređeno s njihovim djelovanjem na rast WI 38 (Tablica 29 i 30).

Između NSAID hidroksamskih kiselina **8b-h**, indometacin hidroksamska kiselina (**8g**) pokazala je najsnažnije antiproliferativno djelovanje na ispitane maligne stanične linije, koje nije bilo selektivno u usporedbi s djelovanjem na WI 38. Nasuprot njoj, MeKet hidroksamska kiselina (**8c**) i fenoprofen hidroksamska kiselina (**8d**) pokazale su selektivno i diferencijalno djelovanje na stanične linije MiaPaCa-2, odnosno HeLa, u koncentracijama  $1 \times 10^{-6}$  i  $1 \times 10^{-5}$  mol L<sup>-1</sup> ( $IC_{50} = 2,2$ , odnosno  $6,5 \mu\text{mol L}^{-1}$ ). Usporedba citostatskog djelovanja *O*-benzilnih derivata NSAID hidroksamskih kiselina **8s-y** pokazala je da spoj **8t**, derivat MeKet, ima najsnažnije djelovanje (na staničnu liniju MOLT-4,  $IC_{50} = 5 \mu\text{mol L}^{-1}$ ). *O*-alkilni derivati NSAID hidroksamskih kiselina **8k-m,o-r** pokazali su najslabije citostatsko djelovanje prema svim ispitanim staničnim linijama. Međutim, spojevi **8m** i **8r**, *O*-etilni derivati ibuprofen i indometacin hidroksamske kiseline, na staničnu liniju MiaPaCa-2 djeluju diferencijalno i selektivno ( $IC_{50} = 8$ , odnosno  $9,7 \mu\text{mol L}^{-1}$ ).

Jačina citostatskog djelovanja kod derivata ibuprofena, fenoprofena i ketoprofena opada sljedećim redoslijedom: *O*-benzilni derivati hidroksamskih kiselina > hidroksamske kiseline > *O*-alkilni derivati hidroksamskih kiselina. Iznimke su spojevi **8c** i **8m** (na staničnu liniju MiaPaCa-2), te spoj **8d** (na staničnu liniju HeLa). Usporedba citostatskog djelovanja derivata diklofenaka i indometacina pokazala je da njihove hidroksamske kiseline imaju najsnažnije djelovanje, slijede ih *O*-benzilni i *O*-alkilni derivati. Međutim, njihovo djelovanje nije selektivno u usporedbi s djelovanjem na staničnu liniju normalnih fibroblasta (iznimka je spoj **8r** i njegovo djelovanje na staničnu liniju MiaPaCa-2).

**Tablica 29.** Inhibitorno djelovanje NSAID hidoksamskih kiselina i njihovih derivata **8** na rast malignih staničnih linija.

Spoj	Struktura	Rast tumorskih stanica [ $IC_{50}^a$ ( $\mu\text{mol L}^{-1}$ )]					
		L1210	Molt4/ C8	MOLT-4	CEM	HeLa	MiaPaCa- 2
<b>8b</b>		$42 \pm 0$	$37 \pm 1$	n.o. <sup>b</sup>	$50 \pm 5$	$56 \pm 12$	$73 \pm 25$
<b>8c</b>		$27 \pm 17$	$42 \pm 11$	n.o.	$34 \pm 7$	56,3	2,2
<b>8d<sup>c</sup></b>		$39 \pm 0$	$44 \pm 3$	n.o.	$44 \pm 4$	$6,5 \pm 4,6$	$40 \pm 13$
<b>8e</b>		n.o.	n.o.	$49 \pm 31$	n.o.	n.o.	n.o.
<b>8f</b>		$10 \pm 0$	$11 \pm 4$	n.o.	$12 \pm 1$	$30 \pm 10$	$50 \pm 25$
<b>8g</b>		$8,4 \pm 0,1$	$8,8 \pm 1,5$	n.o.	$7,4 \pm 0,3$	$3,0 \pm 1,9$	$26 \pm 6$
<b>8h</b>		$43 \pm 1$	$28 \pm 19$	n.o.	$25 \pm 17$	$42 \pm 19$	$34 \pm 16$
<b>8k</b>		$\geq 500$	$> 500$	n.o.	$> 500$	$> 100$	$> 100$
<b>8l</b>		$34 \pm 18$	$41 \pm 2$	n.o.	$25 \pm 8$	67,9	53,4
<b>8m</b>		$76 \pm 49$	$135 \pm 5$	n.o.	$72 \pm 7$	$> 100$	8
<b>8o</b>		$66 \pm 21$	$94 \pm 51$	n.o.	$54 \pm 10$	$> 100$	71,8
<b>8p</b>		$38 \pm 20$	$71 \pm 14$	n.o.	$45 \pm 2$	$> 100$	55,7

<b>8q</b>		$\geq 500$	$> 500$	n.o.	$> 500$	$> 100$	84,8
<b>8r</b>		$318 \pm 166$	$> 500$	n.o.	$> 500$	57,1	9,7
<b>8s</b>		$41 \pm 1$	$38 \pm 2$	n.o.	$39 \pm 0$	$32 \pm 7$	$34 \pm 7$
<b>8t<sup>d</sup></b>		n.o.	n.o.	$5 \pm 3$	n.o.	n.o.	n.o.
<b>8u</b>		$39 \pm 1$	$36 \pm 3$	n.o.	$36 \pm 1$	$35 \pm 6$	$38 \pm 9$
<b>8v</b>		$20 \pm 4$	$35 \pm 0$	n.o.	$24 \pm 12$	96,6	17,7
<b>8x<sup>e</sup></b>		$139 \pm 85$	$138 \pm 74$	n.o.	$221 \pm 63$	$34,4 \pm 11$	$76 \pm 8$
<b>8y<sup>e</sup></b>		$30 \pm 2$	$63 \pm 13$	n.o.	$73 \pm 54$	$11,9 \pm 3,6$	$\geq 100$

<sup>a</sup>  $IC_{50}$  – koncentracija spoja kod koje je rast stanica inhibiran za 50%; <sup>b</sup> n.o. – nije određeno; <sup>c</sup> taloži se iz medija (HeLa i MiaPaCa-2) kod koncentracije  $1 \times 10^{-4}$  mol L<sup>-1</sup>. <sup>d</sup> Taloži se iz medija (MOLT-4) kod koncentracije  $1 \times 10^{-4}$  mol L<sup>-1</sup>. <sup>e</sup> Taloži se iz medija (HeLa i MiaPaCa-2) kod koncentracija  $1 \times 10^{-5}$  mol L<sup>-1</sup> i  $1 \times 10^{-4}$  mol L<sup>-1</sup>.

**Tablica 30.** Inhibitorno djelovanje NSAID hidoksamskih kiselina i njihovih derivata **8** na rast malignih staničnih linija i normalnih fibroblasta (WI 38).

Spoj <sup>a</sup>	Rast tumorskih stanica [ $IC_{50}^b$ ( $\mu\text{mol L}^{-1}$ )]							
	FM3A/0	MCF-7	SK-BR-3	SW620	HCT 116	NCI-H727	H 460	WI 38
<b>8b</b>	n.o. <sup>c</sup>	57 ± 20	n.o.	42 ± 16	n.o.	n.o.	n.o.	22 ± 22
<b>8c</b>	27 ± 9	49,8	21	50,7	n.o.	67,1	n.o.	62,7
<b>8d<sup>d</sup></b>	n.o.	41 ± 15	n.o.	48 ± 13	n.o.	n.o.	n.o.	34 ± 34
<b>8e</b>	n.o.	>100	n.o.	>100	>100	n.o.	>100	n.o.
<b>8f</b>	n.o.	51 ± 10	n.o.	39 ± 14	n.o.	n.o.	n.o.	13 ± 6
<b>8g</b>	n.o.	28 ± 9	n.o.	19 ± 14	n.o.	n.o.	n.o.	1,0 ± 1,0
<b>8h</b>	n.o.	39 ± 11	n.o.	34 ± 12	n.o.	n.o.	n.o.	46 ± 4
<b>8k</b>	> 500	74,2	> 100	> 100	n.o.	> 100	n.o.	69,4
<b>8l</b>	40 ± 4	27,6	35,5	22,7	n.o.	> 100	n.o.	36
<b>8m</b>	218 ± 4	66	> 100	> 100	n.o.	> 100	n.o.	>100
<b>8o</b>	231 ± 58	77	79,1	> 100	n.o.	> 100	n.o.	> 100
<b>8p</b>	292 ± 105	66,8	86	39,4	n.o.	> 100	n.o.	> 100
<b>8q</b>	> 500	96,3	88,2	97,3	n.o.	> 100	n.o.	78,1
<b>8r</b>	> 500	38,7	34,5	29,7	n.o.	86,9	n.o.	36,2
<b>8s</b>	n.o.	31 ± 6	n.o.	30 ± 12	n.o.	n.o.	n.o.	23 ± 14
<b>8t<sup>e</sup></b>	n.o.	15 ± 1	n.o.	16 ± 0,2	7 ± 5	n.o.	7 ± 1	n.o.
<b>8u</b>	n.o.	30 ± 8	n.o.	43 ± 8	n.o.	n.o.	n.o.	38 ± 26
<b>8v</b>	26 ± 22	25,9	n.o.	23,8	n.o.	64,6	n.o.	61,1
<b>8x<sup>f</sup></b>	n.o.	75 ± 10	n.o.	40 ± 14	n.o.	n.o.	n.o.	21 ± 6
<b>8y<sup>f</sup></b>	n.o.	≥ 100	n.o.	46,7 ± 10	n.o.	n.o.	n.o.	30 ± 14

<sup>a</sup> Za strukture vidi Tablicu 29. <sup>b</sup>  $IC_{50}$  – koncentracija spoja kod koje je rast stanica inhibiran za 50%; <sup>c</sup> n.o. – nije određeno; <sup>d</sup> taloži se iz medija (MCF-7, SW620, NCI-H727 i WI 38) kod koncentracije  $1 \times 10^{-4}$  mol L<sup>-1</sup>. <sup>e</sup> Taloži se iz medija (MCF-7, SW620, HCT 116 i H 460) kod koncentracije  $1 \times 10^{-4}$  mol L<sup>-1</sup>. <sup>f</sup> Taloži se iz medija (MCF-7, SW620, NCI-H727 i WI 38) kod koncentracija  $1 \times 10^{-5}$  mol L<sup>-1</sup> i  $1 \times 10^{-4}$  mol L<sup>-1</sup>.



### 5.2.1.3. Derivati ketoprofena 9–11

U prijašnjim antitumorskim istraživanjima amida ketoprofena i fenoprofena, pokazalo se da lipofilniji amidi ketoprofena i fenoprofena imaju snažnije inhibitorno djelovanje na rast tumorskih staničnih linija.<sup>21</sup> Zbog toga su samo neki novosintetizirani amidi izabrani za to ispitivanje.

Citostatsko djelovanje derivata ketoprofena ispitano je *in vitro* na sljedeće maligne stanične linije: SW620, HCT 116, MCF-7, MOLT-4 i H 460 (Tablica 31). Rezultati su pokazali da svi ispitani spojevi pokazuju slično antiproliferativno djelovanje na ispitane stanične linije.

Najsnažnije djelovanje od svih ispitanih spojeva pokazao je derivat MeKet **9f** (na staničnu liniju HCT 116,  $IC_{50} = 4 \mu\text{mol L}^{-1}$ ), koji je i najlipofilniji spoj unutar serije. Međutim, ne može se reći da je lipofilnost spojeva jedino i najvažnije svojstvo koje određuje jačinu citostatskog djelovanja. Ako se uspoređi antiproliferativno djelovanje spojeva s istim NSAID dijelom molekule, a različitim amidnim supstituentom, ne može se naći pravilnost u opadanju jačine citostatskog djelovanja.

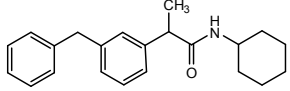
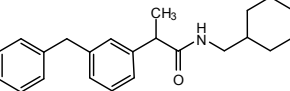
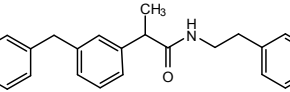
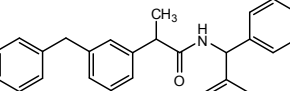
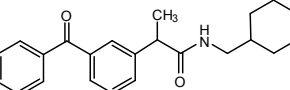
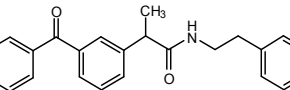
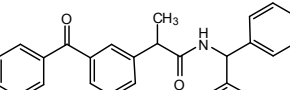
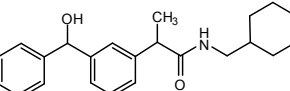
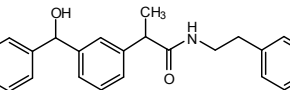
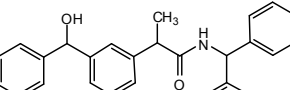
Slični zaključci izvedeni su i usporedbom djelovanja spojeva s jednakim amidnim supstituentom, a različitim NSAID dijelom. Između derivata s cikloheksanmetilnim i feniletilnim amidnim supstituentom na većinu ispitanih staničnih linija najjače djelovanje imaju najlipofilniji spojevi, derivati MeKet **9c**, odnosno **9e**. Njihova djelovanja na ostale stanične linije vrlo su slična. Međutim, usporedba spojeva s benzhidrilamidnim dijelom pokazala je da najmanje lipofilan derivat HyKet **11f** ima snažnije djelovanje od **9f** na sve maligne stanične linije, osim na HCT 116.

Ako se uspoređi citostatsko djelovanje amida s feniletilnim supstituentom (**9e**, **10e** i **11e**) te strukturno srodnih *O*-benzilnih derivata hidroksamskih kiselina **8t** i **8v** (derivati MeKet, odnosno ketoprofena), dolazi se do sljedećih rezultata: unutar te skupine spojeva najjače djelovanje na sve maligne stanične linije pokazuje *O*-benzilni derivat hidroksamske kiseline izvedene iz MeKet (**8t**). Amidi **9e**, **10e** i **11e** pokazuju snažnije djelovanje na staničnu liniju MCF-7, a slabije na SW620 od *O*-benzilnog derivata KetNHOH (**8v**).

Od dvije ispitane stanične linije karcinoma debelog crijeva, ispitivani spojevi pokazali su snažnije djelovanje na HCT 116 nego na SW620. Najjače djelovanje na staničnu liniju HCT 116 pokazao je **9f**, dok drugi spojevi na nju imaju slično djelovanje ( $IC_{50} = 11\text{--}18 \mu\text{mol L}^{-1}$ ). Djelovanje na staničnu liniju SW620 značajno je slabije, najsnažnije djeluje **11f** ( $IC_{50} = 18 \mu\text{mol L}^{-1}$ ). Na staničnu liniju MCF-7 svi spojevi (osim **10f**) pokazuju slično djelovanje ( $IC_{50} = 13\text{--}23 \mu\text{mol L}^{-1}$ ), dok na MOLT-4 najsnažnije djelovanje imaju **9e** i **11f** ( $IC_{50} = 11 \mu\text{mol L}^{-1}$ ). Spojevi **9c,9e,10c,10e** pokazuju najjače djelovanje na staničnu liniju H 460 ( $IC_{50} = 19\text{--}22 \mu\text{mol L}^{-1}$ ).

Najslabije djelovanje na sve ispitane stanične linije pokazao je spoj **10f**, vjerojatno zbog svog jakog taloženja iz medija, što je kompromitiralo njegovo ispitivanje.

**Tablica 31.** Inhibitorno djelovanje derivata ketoprofena **9–11** na rast malignih staničnih linija.

Spoj	Struktura	Rast tumorskih stanica [ $IC_{50}^a$ ( $\mu\text{mol L}^{-1}$ )]				
		HCT 116	SW620	MCF-7	MOLT-4	H 460
<b>9b<sup>b</sup></b>		12 ± 3	56 ± 43	14 ± 1	19 ± 3	53 ± 46
<b>9c</b>		11 ± 0,3	24 ± 2	14 ± 0,1	17 ± 0,2	19 ± 1
<b>9e</b>		15 ± 0,6	25 ± 5	20 ± 2	11 ± 8	21 ± 0,7
<b>9f<sup>b</sup></b>		4 ± 3	87 ± 10	14 ± 4	40 ± 15	> 100
<b>10c</b>		13 ± 5	53 ± 42	13 ± 0,4	15 ± 0,8	20 ± 1
<b>10e</b>		15 ± 2	30 ± 3	17 ± 5	15 ± 3	22 ± 4
<b>10f<sup>b</sup></b>		> 100	> 100	> 100	> 100	> 100
<b>11c</b>		13 ± 0,8	37 ± 8	13 ± 0,1	15 ± 0,4	32 ± 8
<b>11e<sup>b</sup></b>		18 ± 15	50 ± 40	23 ± 16	27 ± 15	57 ± 37
<b>11f<sup>b</sup></b>		13 ± 2	18 ± 2	13 ± 2	11 ± 4	15 ± 0,01

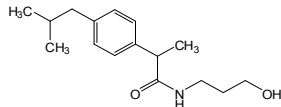
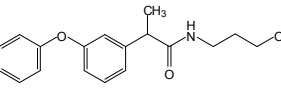
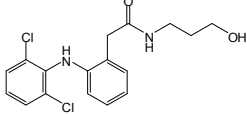
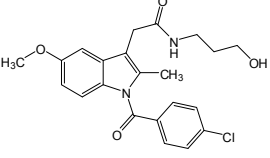
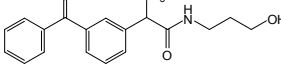
<sup>a</sup>  $IC_{50}$  – koncentracija spoja kod koje je rast stanica inhibiran za 50%; <sup>b</sup> taloži se iz medija kod koncentracije  $1 \times 10^{-4} \mu\text{mol L}^{-1}$ .

## 5.2.1.4. 3-Hidroksipropilamidi NSAID 12

Citostatsko djelovanje 3-hidroksipropilamida NSAID **12a-e** ispitano je *in vitro* na sljedeće maligne stanične linije: L1210, Molt4/C8, CEM, HeLa, MiaPaCa-2, SW620, MCF-7 i H 460 (Tablica 32).<sup>114</sup>

Svi ispitani spojevi pokazali su dosta slabo citostatsko djelovanje ( $IC_{50} > 100 \mu\text{mol L}^{-1}$ ). Najjače djelovanje imao je spoj **12d**, i to na stanične linije HeLa i MCF-7 ( $IC_{50} = 26$ , odnosno  $22 \mu\text{mol L}^{-1}$ ).

**Tablica 32.** Inhibitorno djelovanje 3-hidroksipropilamida NSAID **12a-e** na rast malignih staničnih linija.

Spoj	Struktura	Rast tumorskih stanica [ $IC_{50}^a$ ( $\mu\text{mol L}^{-1}$ )]							
		L1210	Molt4/C8	CEM	HeLa	MCF-7	MiaPaCa-2	H 460	SW620
<b>12a</b>		213 ± 16	93 ± 7	55 ± 3	> 100	> 100	≥ 100	> 100	> 100
<b>12b</b>		230 ± 6	99 ± 18	71 ± 1	> 100	> 100	> 100	> 100	> 100
<b>12c</b>		200 ± 35	215 ± 12	212 ± 23	46 ± 10	39 ± 29	54 ± 25	68 ± 34	36 ± 3
<b>12d</b>		179 ± 93	113 ± 68	78 ± 26	26 ± 16	22 ± 14	44 ± 20	> 100	47 ± 2
<b>12e</b>		273 ± 14	97 ± 18	71 ± 9	> 100	> 100	> 100	> 100	> 100

<sup>a</sup>  $IC_{50}$  – koncentracija spoja kod koje je rast stanica inhibiran za 50%.

5.2.2. ANTIMIKROBNA ISPITIVANJA NSAID HIDROKSAMSKIH KISELINA I NJIHOVIH DERIVATA **8**

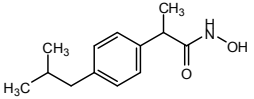
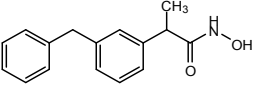
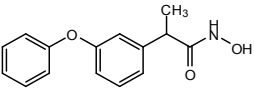
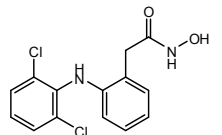
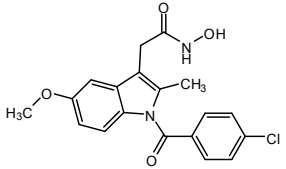
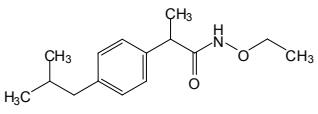
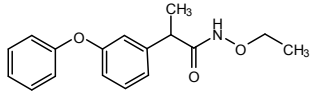
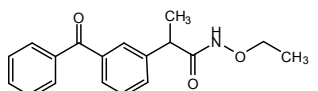
Antimikrobno djelovanje spojeva **8** ispitano je korištenjem difuzijske metode (bušenjem cilindrima: visine 10, vanjskog promjera 8, a unutrašnjeg 6 mm).<sup>104</sup> Utvrđeno je da samo hidroksamske kiseline sa slobodnom i *O*-etil supstituiranom hidroksilnom skupinom pokazuju značajno antimikrobno djelovanje pri koncentraciji 29,6 mg mL<sup>-1</sup> (Tablica 33). Ostali spojevi nisu pokazali zone inhibicije rasta te su smatrani antimikrobno inaktivnima pri danoj koncentraciji i provedenoj metodi, vjerojatno zbog njihove slabe topljivosti u Müller-Hinton agaru (taloženje supstancije, rezultati nisu prikazani). Ibuprofen i fenoprofen hidroksamske kiseline **8b,d** pokazale su široki spektar antimikrobnog djelovanja protiv ispitanih Gram-pozitivnih i Gram-negativnih bakterijskih vrsta. Spojevi **8f,g** (diklofenak i indometacin hidroksamske kiseline) pokazali su značajnu baktericidnu aktivnost samo prema *E. faecalis*, dok je MeKet hidroksamska kiselina **8c** pokazala aktivnost prema *S. aureus*, *E. coli*, *S. enterica* subsp. *enterica* i *P. aeruginosa*. *O*-etilni derivati ibuprofen, fenoprofen i ketoprofen hidroksamskih kiselina **8m,o,p** pokazale su antimikrobno djelovanje protiv *B. subtilis*, dok je spoj **8m** pokazao značajnu aktivnost i prema *K. rhizophila* i *P. aeruginosa*. Antifungalno djelovanje protiv *C. albicans* pokazao je samo *O*-metilni derivat diklofenak hidroksamske kiseline **8k**.

Minimalna inhibitorna (*MIC*) i minimalna mikrobicidna koncentracija (*MMcC*) određene su metodom serijalnog mikrorazrijeđenja (CLSI)<sup>105</sup> (Tablica 34). Spoj **8b** pokazao je jednake vrijednosti *MIC/MMcC* kao i **8d** prema *B. subtilis* (0,116/0,232 mg mL<sup>-1</sup>) i *S. enterica* subsp. *enterica*. Niže vrijednosti *MIC/MMcC* spoj **8b** pokazao je prema *E. coli*, dok je **8d** bio aktivniji prema *S. aureus*, *E. faecalis*, *K. rhizophila* i *P. aeruginosa*. Spoj **8c** pokazao je samo slabo djelovanje protiv *S. aureus*, dok su **8m,o** pokazali djelovanje protiv *K. rhizophila*. Hidroksamske kiseline sa slobodnom hidroksilnom skupinom i prema ovoj metodi pokazale su bolje antimikrobno djelovanje, međutim njihovo djelovanje općenito je slabo (visoke vrijednosti *MIC/MMcC*).

Promjer zona inhibicije rasta u metodi difuzije ovisi, između ostalog i o topljivosti supstancija u agaru te o koncentraciji ispitivanih tvari. Direktno se mogu uspoređivati samo zone inhibicija rasta onih supstancija koje imaju jednake koncentracije. Oksitetraciklin, norfloksacin i nistatin korišteni su kao kontrola

osjetljivosti mikrobnih kultura u metodi difuzije, te se njihove zone inhibicije ne mogu uspoređivati sa zonama inhibicije NSAID hidrosamskih kiselina i njihovih derivata **8**.

**Tablica 33.** Antimikrobno djelovanje NSAID hidrosamskih kiselina i njihovih derivata **8**.

Spoj	Struktura	Bakterijske vrste <sup>a</sup>								Gljivice
		1	2	3	4	5	6	7	8	
<b>8b<sup>b</sup></b>		24 <sup>f</sup>	15	n.a. <sup>g</sup>	10	15	17	15	n.a.	
<b>8c<sup>b</sup></b>		n.a.	12	n.a.	n.a.	9	10	10	n.a.	
<b>8d<sup>b</sup></b>		23	16	11	18	23	21	18	n.a.	
<b>8f<sup>b</sup></b>		n.a.	n.a.	13	n.a.	n.a.	n.a.	n.a.	n.a.	
<b>8g<sup>b</sup></b>		n.a.	n.a.	12	n.a.	n.a.	n.a.	n.a.	n.a.	
<b>8m<sup>b</sup></b>		13	n.a.	n.a.	14	n.a.	n.a.	9	n.a.	
<b>8o<sup>b</sup></b>		11	n.a.	n.a.	n.a.	n.a.	n.a.	n.a.	n.a.	
<b>8p<sup>b</sup></b>		18	n.a.	n.a.	n.a.	n.a.	n.a.	n.a.	10	
	Oksitetraciklin hidroklorid <sup>c</sup>	35	12	13	27	21	n.a.	17	n.o. <sup>h</sup>	
	Norfloksacin <sup>d</sup>	25	n.a.	19	10	30	21	n.a.	n.o.	
	Nistatin <sup>e</sup>	n.o.	n.o.	n.o.	n.o.	n.o.	n.o.	n.o.	20	

<sup>a</sup> Mikrobiološke vrste: 1 – *B. subtilis* ATCC 6633; 2 – *S. aureus* ATCC 25923; 3 – *E. faecalis* ATCC 29212; 4 – *K. rhizophila* ATCC 9341; 5 – *E. coli* ATCC 10536; 6 – *S. enterica* subsp. *enterica* ATCC 13076; 7 – *P. aeruginosa* ATCC 27853; 8 – *C. albicans* ATCC 10231. Koncentracije: <sup>b</sup> 29,6; <sup>c</sup> 0,5; <sup>d</sup> 0,4; <sup>e</sup> 5 mg mL<sup>-1</sup>; <sup>f</sup> zona inhibicije rasta (mm); <sup>g</sup> n.a. – zona inhibicije rasta nije detektirana; <sup>h</sup> n.o. – nije određeno.

**Tablica 34.** Minimalna inhibitorna (*MIC*) i minimalna mikrobicidna koncentracija (*MMcC*) NSAID hidroksamskih kiselina i njihovih derivata **8** utvrđena metodom serijalnog mikrorazrijeđenja.

Spoj <sup>a</sup>	Bakterijske vrste <sup>b</sup>							Gljivice
	1	2	3	4	5	6	7	8
<b>8b</b>	0,116 (0,232) <sup>c</sup>	1,850 (3,700)	n.o. <sup>d</sup>	n.a. <sup>e</sup>	0,116 (0,232)	3,700 (7,400)	1,850 (3,700)	n.o.
<b>8c</b>	n.o.	1,850 (3,700)	n.o.	n.o.	n.a.	n.a.	n.a.	n.o.
<b>8d</b>	0,116 (0,232)	0,232 (0,463)	0,925 (1,850)	0,925 (1,850)	0,232 (0,463)	3,700 (7,400)	0,463 (0,925)	n.o.
<b>8f</b>	n.o.	n.o.	n.a.	n.o.	n.o.	n.o.	n.o.	n.o.
<b>8g</b>	n.o.	n.o.	n.a.	n.o.	n.o.	n.o.	n.o.	n.o.
<b>8m</b>	n.a.	n.o.	n.o.	0,925 (1,850)	n.o.	n.o.	n.a.	n.a.
<b>8o</b>	n.a.	n.o.	n.o.	3,700 (7,400)	n.o.	n.o.	n.a.	n.a.
<b>8p</b>	n.a.	n.o.	n.o.	n.o.	n.o.	n.o.	n.a.	n.a.

<sup>a</sup> Za strukture spojeva vidi Tablicu 33. <sup>b</sup> Mikrobiološke vrste: 1 – *B. subtilis* ATCC 6633; 2 – *S. aureus* ATCC 25923; 3 – *E. faecalis* ATCC 29212; 4 – *K. rhizophila* ATCC 9341; 5 – *E. coli* ATCC 10536; 6 – *S. enterica* subsp. *enterica* ATCC 13076; 7 – *P. aeruginosa* ATCC 27853; 8 – *C. albicans* ATCC 10231. <sup>c</sup> *MIC* (*MMcC*)/mg mL<sup>-1</sup>; <sup>d</sup> n.o. – nije određeno; <sup>e</sup> n.a. – nema djelovanja kod koncentracija do 14,8 mg mL<sup>-1</sup>.

### 5.2.3. ANTIVIRUSNA ISPITIVANJA

Antivirusna ispitivanja provedena su na Rega Institute for Medical Research, Katholieke Universiteit Leuven, Belgija, te je eksperimentalna metoda ispitivanja opisana ranije.<sup>113</sup>

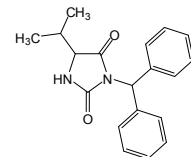
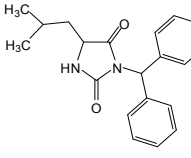
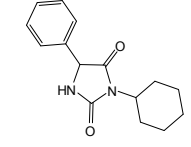
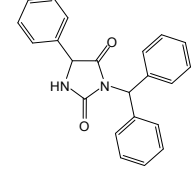
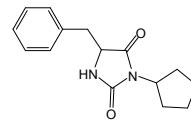
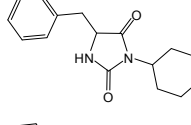
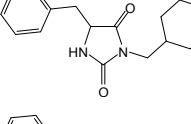
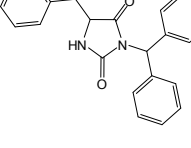
#### 5.2.3.1. 3,5-Disupstituirani hidantoini **5**

Antivirusno djelovanje 3,5-disupstituiranih hidantoina **5a-h** ispitano je na sljedeće viruse: herpes simpleks tip 1 (HSV-1 (KOS)), herpes simpleks virus tip 1 bez aktivnosti timidin kinaze (HSV-1 TK KOS ACV<sup>1</sup>), herpes simpleks tip 2 (HSV-2 (G)), vaccinia virus, vesicular stomatitis virus, Coxsackie virus B4, respiracijski sincicijski virus, parainfluenza-3 virus, reovirus-1, Sindbis virus i Punta Toro virus, te je uspoređeno s djelovanjem aciklovira, ganciklovira i ribavirina (Tablica 35 i 36).<sup>113</sup>

Strukturno slični hidantoini **5f** i **5h** pokazali su slično inhibitorno djelovanje na ispitane viruse. Ovi spojevi pokazali su antivirusno djelovanje na Coxsackie virus B4, parainfluenza-3 virus, reovirus-1 i Sindbis virus ( $EC_{50} = 16 \mu\text{g mL}^{-1}$ ), što je 5 puta niža koncentracija od minimalne citotoksične koncentracije ( $MCC$ ). Spoj **5a** pokazao je inhibitorno djelovanje na vaccinia virus u koncentraciji koja je 25 puta niža od  $MCC$  ( $EC_{50} = 16 \mu\text{g mL}^{-1}$ ).



**Tablica 35.** Antivirusno djelovanje 3,5-disupstituiranih hidantoina **5a-h**.

Spoj	Struktura	$MCC^a$ ( $\mu\text{g mL}^{-1}$ )	$EC_{50}^b$ ( $\mu\text{g mL}^{-1}$ )				
			1 <sup>c</sup>	2	3	4	5
<b>5a</b>		400	> 80	80	80	16	80
<b>5b</b>		80	> 16	> 16	> 16	> 16	> 16
<b>5c</b>		> 400	> 400	> 80	240	240	> 400
<b>5d</b>		80	> 16	> 16	> 16	> 16	> 80
<b>5e</b>		400	> 80	> 80	> 80	> 80	> 16
<b>5f</b>		80	> 16	> 16	> 16	16	> 16
<b>5g</b>		80	> 16	> 16	> 16	> 16	> 80
<b>5h</b>		80	> 16	> 16	> 16	> 16	> 16
	Aciklovir	> 100	0,11	13,51	0,18	67,5	> 100
	Ganciklovir	> 25	0,02	0,2	0,02	15,3	> 25
	Ribavirin	> 100	> 100	> 100	73,3	24,4	> 100

<sup>a</sup>  $MCC$  – minimalna citotoksična koncentracija kod koje je mikroskopski vidljiva promjena morfologije normalne stanice; <sup>b</sup>  $EC_{50}$  – efektivna koncentracija kod koje je stvaranje plakova virusa smanjeno za 50%.  
<sup>c</sup> Virusi: 1 – HSV-1 (KOS); 2 – HSV-1 TK KOS ACV<sup>f</sup>; 3 – HSV-2 (G); 4 – vaccinia virus; 5 – vesicular stomatitis virus.

**Tablica 36.** Antivirusno djelovanje 3,5-disupstituiranih hidantoina **5a-h**.

Spoj <sup>a</sup>	$EC_{50}$ <sup>b</sup> ( $\mu\text{g mL}^{-1}$ )					
	Coxsackie virus B4	Respiracijski sincicijski virus	Parainfluenza-3 virus	Reovirus-1	Sindbis virus	Punta Toro virus
<b>5a</b>	> 80	> 80	> 80	> 80	48	> 80
<b>5b</b>	> 16	> 16	> 16	> 16	16	> 16
<b>5c</b>	240	> 400	> 400	> 400	240	> 400
<b>5d</b>	80	> 80	> 80	> 80	> 80	> 80
<b>5e</b>	> 16	> 16	> 16	> 16	> 16	> 16
<b>5f</b>	16	> 16	16	16	16	> 16
<b>5g</b>	> 80	> 80	> 80	> 80	> 80	> 80
<b>5h</b>	16	> 16	16	16	16	> 16
Ribavirin	> 100	> 100	73,3	73,3	24,4	73,3

<sup>a</sup> Za strukture spojeva vidi Tablicu 35; <sup>b</sup>  $EC_{50}$  – efektivna koncentracija kod koje je stvaranje plakova virusa smanjeno za 50%.

### 5.2.3.2. NSAID hidoksamske kiseline i njihovi derivati **8**

Ispitano je antivirusno djelovanje većine derivata NSAID hidoksamskih kiselina **8** na virus influenze te je uspoređeno s djelovanjem oseltamivir karboksilata, ribavirina, amantadina i rimantadina. Rezultati su pokazali da niti jedan od ispitanih spojeva **8** nije inhibirao citopatološko djelovanje influenze A ili B u subtoksičnim koncentracijama (rezultati nisu pokazani). Jedina iznimka bio je spoj **8s**, koji je pokazao antivirusno djelovanje niske selektivnosti (odnos  $MCC/EC_{50} = 7-10$ ) i ograničeno na podtip influenza A/H1N1.

Također je ispitano antivirusno djelovanje spojeva **8** na sljedeće viruse: HSV-1 (KOS), HSV-1 TK KOS ACV<sup>r</sup>, HSV-2 (G), vaccinia virus i vesicular stomatitis virus. Niti jedan ispitani spoj **8** nije pokazao specifično antivirusno djelovanje ( $MIC$  najmanje 5 puta niža od  $MCC$ ) kada je ispitivanje provedeno na staničnim linijama ljudskih embrionalnih plućnih stanica (HEL) (rezultati nisu pokazani).

Ispitivanje antivirusnog djelovanja spojeva **8c,k-m,o-r** i **v** na viruse Feline Corona i Feline Herpes i citotoksičnosti na staničnim kulturama bubrega Crandell-Rees Feline pokazalo je da niti jedan spoj **8** nije značajno inhibirao dane viruse u subtoksičnim koncentracijama (rezultati nisu pokazani).

Međutim, spojevi **8b-d,f-h,m,s** i **u-y** pokazali su antivirusno djelovanje na parainfluenza-3 virus, reovirus-1, Sindbis virus, Coxackie virus B4 i Punta Toro virus u Vero staničnoj kulturi (Tablica 37). Najbolje djelovanje pokazao je spoj **8y** ( $MIC = 12 \mu\text{mol L}^{-1}$  ( $5,6 \mu\text{g mL}^{-1}$ ), indeks selektivnosti  $MCC/MIC = 8,3$ ).

**Tablica 37.** Citotoksičnost i antivirusno djelovanje NSAID hidroksamskih kiselina i njihovih derivata **8**.

Spoj	Struktura	$MCC^a$ ( $\mu\text{mol L}^{-1}$ )	$MIC^b$ ( $\mu\text{mol L}^{-1}$ )				
			1 <sup>c</sup>	2	3	4	5
<b>8b</b>		$\geq 100$	12	12	> 100	> 100	> 100
<b>8c</b>		100	20	> 20	> 20	> 20	20
<b>8d</b>		$\geq 100$	20	12	> 100	> 100	> 100
<b>8f</b>		$\geq 100$	> 100	> 100	> 100	60	> 100
<b>8g</b>		> 100	20	12	60	100	> 100
<b>8h</b>		100	> 20	> 20	> 20	> 20	> 20
<b>8m</b>		> 100	> 100	> 100	> 100	> 100	59
<b>8s</b>		100	> 20	> 20	> 20	> 20	> 20
<b>8u</b>		100	> 20	> 20	> 20	> 20	> 20
<b>8v</b>		$\geq 100$	> 100	> 100	> 100	59	> 100
<b>8x</b>		20	> 4	> 4	> 4	> 4	> 4
<b>8y</b>		100	20	> 20	> 20	> 20	12
	Brivudin	> 250	> 250	> 250	> 250	> 250	> 250
	(S)-DHPA	> 250	30	150	> 250	> 250	> 250
	Ribavirin	> 250	150	150	> 250	> 250	50

<sup>a</sup>  $MCC$  – minimalna koncentracija kod koje je mikroskopski vidljiva promjena morfologije normalne stanice; <sup>b</sup>  $MIC$  – minimalna inhibitorna koncentracija kod koje je patogenost virusa inhibirana za 50%; <sup>c</sup> Virusi: 1 – parainfluenza-3 virus; 2 – reovirus-1; 3 – Sindbis virus; 4 – Coxsackie virus B4; 5 – Punta Toro virus.

**5.2.3.3. 3-Hidroksipropilamidi NSAID 12**

Antivirusno djelovanje spojeva **12a-e** ispitano je na sljedeće viruse: virus HIV-a tip 1 i tip 2, herpes simpleks tip 1 i tip 2, vaccinia virus, varicella-zoster virus, citomegalovirus, vesicular stomatitis virus, Coxsackie virus B4, respiracijski sincicijski virus, parainfluenza-3 virus, reovirus-1, Sindbis virus i Punta Toro virus.<sup>114</sup>

Niti jedan ispitani spoj **12** nije pokazao specifično antivirusno djelovanje na bilo koji virus (rezultati nisu pokazani), osim spoja **12d** koji je pokazao slabo inhibitorno djelovanje na citomegalovirus i vesicular stomatitis virus u koncentracijama 30–77  $\mu\text{mol L}^{-1}$ .

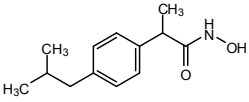
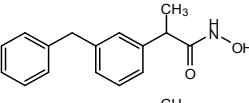
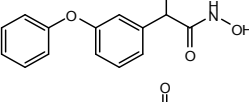
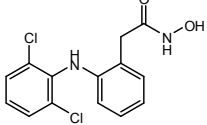
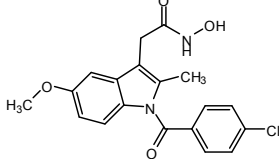
## 5.2.4. INHIBICIJA UREAZE

Inhibicija ureaze NSAID hidroksamskim kiselinama i njihovim derivatima **8b-d,f-h,s** i **u-y** određena je korištenjem modificirane kolorimetrijske vremenske metode.<sup>104,105</sup> Iako postoji značajna razlika u inhibiciji *H. pylori* ureaze i ureaze iz soje (*Canavalia ensiformis* (Jack bean) ureaza),<sup>10</sup> koristili smo ureazu iz soje, jer ureaza iz *H. pylori* nije komercijalno dostupna i prilično ju je teško izolirati. Postotak inhibicije svakog uzorka izračunat je prema sljedećoj jednadžbi:

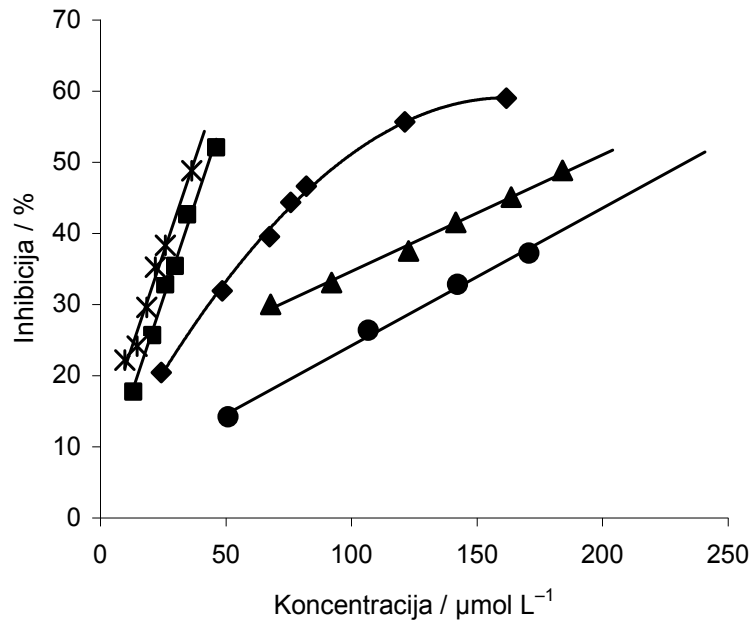
$$\text{postotak inhibicije (\%)} = [(t - t_0)/t] \times 100$$

gdje je  $t$  vremenski interval (s) mjeran za svaki uzorak određene molarne koncentracije ispitivanog spoja, a  $t_0$  vremenski interval (s) mjeran za uzorak bez ispitivanog spoja (slijepa proba). Rezultati su pokazali da samo hidroksamske kiseline sa slobodnom hidroksilnom skupinom inhibiraju aktivnost ureaze (Tablica 38, Slika 6). Najjači inhibitor je derivat diklofenaka **8f** ( $IC_{50} = 37,4 \mu\text{mol L}^{-1}$ ), dok su njegovi *N*-metilni i *O*-alkilni derivati inaktivni.

**Tablica 38.** Inhibicija ureaze hidroksamskim kiselinama **8**.

Spoj	Struktura	$IC_{50}$ ( $\mu\text{mol L}^{-1}$ ) <sup>a</sup>
<b>8b</b>		97,4
<b>8c</b>		193,8
<b>8d</b>		43,2
<b>8f</b>		37,4
<b>8g</b>		233,3 <sup>b</sup>

<sup>a</sup>  $IC_{50}$  – koncentracija kod koje je aktivnost ureaze inhibirana za 50%; <sup>b</sup> taloži se iz medija pri koncentracijama ispod  $IC_{50}$  ( $IC_{50}$  je ekstrapolirana vrijednost).



**Slika 6.** Ovisnost inhibicije ureaze iz soje o koncentraciji ispitivanog spoja: **8b** (◆), **8c** (▲), **8d** (■), **8f** (\*), **8g** (●).

### 5.2.5. ANTIOKSIDACIJSKO DJELOVANJE, INHIBICIJA LIPIDNE PEROKSIDACIJE LINOLNE KISELINE I INHIBICIJA LIPOOKSIGENAZE

Ispitivanje antioksidacijskog djelovanja, inhibicije lipidne peroksidacije linolne kiseline i inhibicija lipooksigenaze provedena su na Department of Pharmaceutical Chemistry, School of Pharmacy, Aristotles University of Thessaloniki, Thessaloniki, Grčka, a eksperimentalne metode opisane su ranije.<sup>115–117</sup>

Spojevi s antioksidacijskim djelovanjem mogu služiti za razvoj novih protuupalnih lijekova i lijekova protiv reumatoidnog artritisa.<sup>118</sup> Isto tako, inhibitori lipooksigenaze, ključnog enzima u biokemijskom putu pretvorbe arahidonske kiseline u leukotriene, potencijalni su protuupalni lijekovi.

Lipidna peroksidacija je oksidativna degeneracija lipida. Ako se ne zaustavi, dolazi do oštećenja stanične membrane i membrane staničnih organela, koje se sastoje uglavnom od lipida. Krajnji produkti lipidne peroksidacije mogu biti mutageni i kancerogeni (malondialdehid reagira s deoksiadenozinom i deoksigvanozinom iz DNA te nastaju DNA adukti).<sup>119</sup> Lipidna peroksidacija također se može povezati s patogeneom brojnih bolesti, uključujući aterosklerozu, astmu, Alzheimerovu i Parkinsonovu bolest, šećernu bolest, ozljede uzrokovane radijacijom i kemikalijama.<sup>120,121</sup>

#### 5.2.5.1. NSAID hidroksamske kiseline i njihovi derivati 8

Interakcija supstancija sa stabilnim slobodnim radikalom 1,1-difenil-2-pikrilhidrazil radikalom (DPPH) opisuje njihovu sposobnost hvatanja slobodnih radikala u sustavu bez željeza i pokazuje kolika je njihova reducirajuća aktivnost. Jačina reakcije spojeva s DPPH ovisi o njihovoj koncentraciji.

Na temelju te činjenice ispitana je interakcija derivata NSAID hidroksamskih kiselina **8a,c,e,i,j,m-y** s DPPH, prema ranije opisanoj metodi,<sup>115</sup> nakon 20 i 60 min kod dvije koncentracije ispitivanih spojeva (0,05 i 0,1 mmol L<sup>-1</sup>), a rezultati su prikazani u Tablici 39. Nije bilo značajnih promjena ovisnih o vremenu, osim za spojeve **8c,e,m,q,s,u,v**. Promatranje dobivenih vrijednosti kod 0,05 mmol L<sup>-1</sup> pokazuje da spojevi **8o** i **8c** imaju najsnažnije djelovanje (77 i 58%). Pri koncentraciji 0,1 mmol L<sup>-1</sup> najaktivniji su spojevi **8o** i **8c**, te ih slijede **8v** > **m** = **x** > **r** > **s**. Nije uočena uloga lipofilnosti cijele molekule na interakciju s DPPH. Nasuprot tome, lipofilni doprinos



supstituenta  $\pi$  je važan za spomenutu interakciju. Niže  $\pi$  vrijednosti povezane su s jačim djelovanjem pri 0,1 mmol L<sup>-1</sup>: **8m** (76%) > **8s** (63%) ( $\pi$  -CH<sub>2</sub>CH<sub>3</sub> = 1,02,  $\pi$  -CH<sub>2</sub>C<sub>6</sub>H<sub>5</sub> = 2,01), **8o** (86%) > **8u** (63%) ( $\pi$  -CH<sub>2</sub>CH<sub>3</sub> = 1,02,  $\pi$  -CH<sub>2</sub>C<sub>6</sub>H<sub>5</sub> = 2,01).

Azo spojevi koji generiraju slobodne radikale spontanom termičkom razgradnjom korisni su za *in vitro* studije nastajanja slobodnih radikala. Jedan od njih je i vodotopljivi 2,2'-azobis(2-amidinopropan) dihidroklorid (AAPH), izvor alkilperoksidnih slobodnih radikala koji se uobičajeno upotrebljava u znanstvenim istraživanjima. U našoj studiji AAPH je korišten kao inicijator slobodnih radikala, što slijede oksidativne promjene linolne kiseline do konjugiranog peroksidnog diena.

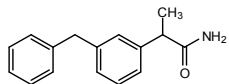
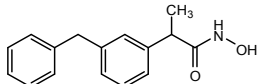
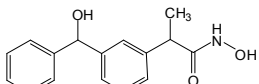
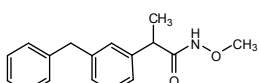
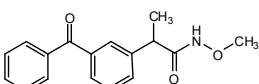
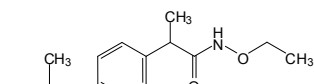
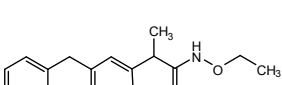
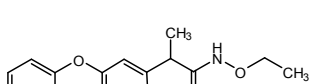
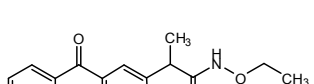
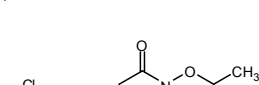
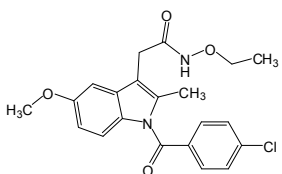
Ispitana je sposobnost inhibicije lipidne peroksidacije linolne kiseline derivatima NSAID hidroksamskih kiselina **8a,c,e,i,j,m-y**, prema ranije opisanoj metodi.<sup>116</sup> Rezultati pokazuju da su spojevi **8t,y,x,r,o** vrlo dobri inhibitori lipidne peroksidacije linolne kiseline (98,7–93%, Tablica 39).

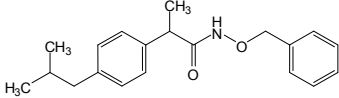
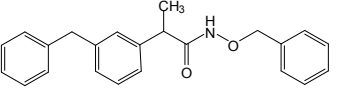
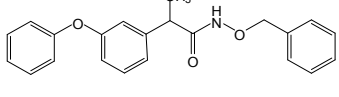
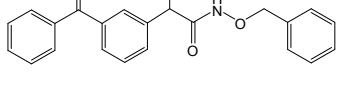
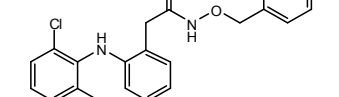
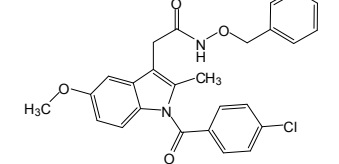
Lipooksigenaze oksidiraju određene masne kiseline, koje u svojoj strukturi sadrže konjugiranu triensku strukturu na specifičnim položajima, do hidroperoksida, prekursora leukotriena, važnih medijatora upale. Poznato je da NSAID i njihovi ranije opisani derivati **8k** i **l** inhibiraju lipooksigenazu iz soje (LO),<sup>7</sup> koja prevodi linolnu kiselinu u 13-hidroperoksilinolnu kiselinu, na sličan način kao i lipooksigenaza iz masnih stanica štakora. Zbog toga se inhibicija LO može uzeti kao pouzdani pokazatelj inhibicije tog enzima. Većina inhibitora lipooksigenaze su antioksidansi ili hvatači slobodnih radikala, zbog toga što se lipooksigenacija događa preko ugljikovih radikala.

Sposobnost inhibicije LO derivatima NSAID hidroksamskih kiselina **8a,c,e,i,j,m-y** ispitana je enzimskim testom temeljenim na mjerenju UV apsorpcije (Tablica 39).<sup>115,117</sup> Između ispitanih spojeva, naj snažniji inhibitor je spoj **8j** ( $IC_{50} = 75 \mu\text{mol L}^{-1}$ ), slijede ga spojevi **8r,s,u**. Iako je lipofilnost važna fizikalno-kemijska veličina inhibitora lipooksigenaze,<sup>122–124</sup> samo se spoj **8s** pokorava tom pravilu (clog  $P = 7,03$ ).

Kavena kiselina, nordihidroguaiaretična kiselina (NDGA) i troloks poznati su antioksidansi te je djelovanje spojeva **8** uspoređeno s njihovim djelovanjem. Niti jedan spoj nije stupio u jaču interakciju s DPPH kod obje ispitane koncentracije (0,05 i 0,1 mmol L<sup>-1</sup>) od NDGA. Nasuprot tome, svi derivati NSAID hidroksamskih kiselina bili su snažniji inhibitori LO od kavene kiseline, dok su spojevi **8t,y,x,r,o,s,j** bili bolji inhibitori lipidne peroksidacije od troloksa.

**Tablica 39.** Teorijski izračunate  $clog P$  vrijednosti, interakcija s DPPH, inhibicija lipidne peroksidacije linolne kiseline i *in vitro* inhibicija lipooksigenaze NSAID hidroksamskih kiselina i njihovih derivata **8**.

Spoj	Struktura	$clog P^{a}$	DPPH	DPPH	DPPH	DPPH	Inhibicija LP <sup>c</sup> (%)	LO <sup>d</sup>
			20 min <sup>b</sup> (%)	60 min <sup>b</sup> (%)	20 min <sup>c</sup> (%)	60 min <sup>c</sup> (%)		
<b>8a</b>		2,83	4,5	4,8	30,0	24,1	23,6	325
<b>8c</b>		3,22	58	46	82	68	n.a. <sup>e</sup>	380
<b>8e</b>		1,56	7,4	18,3	26,6	43,0	44,3	200
<b>8i</b>		3,04	4,7	5,3	22,8	26,1	n.a.	n.i. <sup>f</sup>
<b>8j</b>		n.o. <sup>g</sup>	2,1	n.a.	34,7	29,5	68,3	75
<b>8m</b>		3,79	8	30	76	63	4	400
<b>8n</b>		3,57	6,5	5,9	27,6	28,6	n.a.	385
<b>8o</b>		4,73	77	n.a.	86	65	93	n.a.
<b>8p</b>		2,88	32	25	26	31	54	190
<b>8q</b>		4,83	32	35	34	55	32	310
<b>8r</b>		4,29	n.a.	n.a.	68	45	96	82

<b>8s</b>		7,03	21	44	63	63	71	96
<b>8t</b>		4,98	6,2	5,4	29,4	29,3	98,7	100
<b>8u</b>		5,76	15	18	20	63	17	125
<b>8v</b>		6,12	18	28	80	93	28	n.a.
<b>8x</b>		8,07	11	34	76	75	96	250
<b>8y</b>		7,53	30	11	38	34	97	340
	Kavena kiselina	n.o.	n.o.	n.o.	n.o.	n.o.	n.o.	600
	NDGA	81	83	93	97	n.o.	n.o.	n.o.
	Troloks	n.o.	n.o.	n.o.	n.o.	n.o.	63	n.o.

<sup>a</sup> Lipofilnost molekule teorijski je izračunata kao  $\log P$  u smjesi *n*-oktanola i pufera CLOGP programom (Biobyte Corp).<sup>125</sup> Koncentracije: <sup>b</sup>  $5 \times 10^{-5}$  mol L<sup>-1</sup>; <sup>c</sup>  $1 \times 10^{-4}$  mol L<sup>-1</sup>; <sup>d</sup>  $IC_{50}$  ( $\mu$ mol L<sup>-1</sup>); <sup>e</sup> n.a. – nema aktivnosti; <sup>f</sup> n.i. –  $IC_{50}$  nije mogla biti određena, postotak inhibicije bio je 12, odnosno 27,5% pri koncentracijama 100, odnosno 500  $\mu$ mol L<sup>-1</sup>; <sup>g</sup> n.o. – nije određeno.

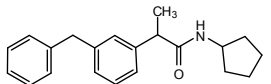
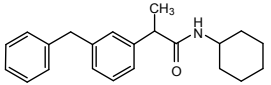
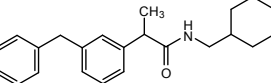
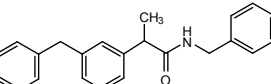
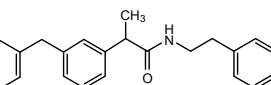
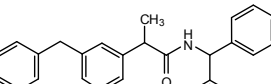
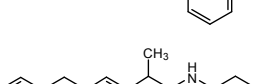
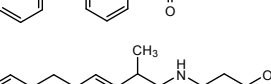
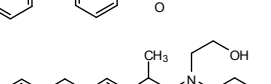
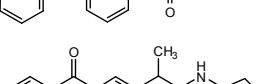
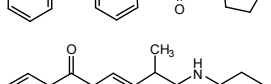
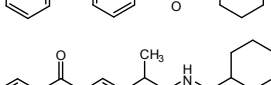
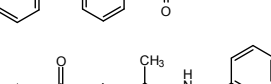
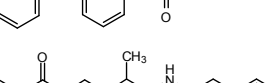
### 5.2.5.2. Derivati ketoprofena 9–11

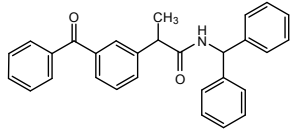
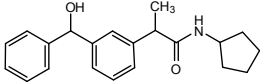
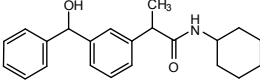
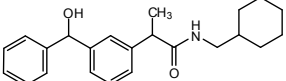
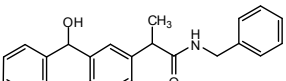
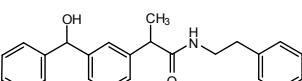
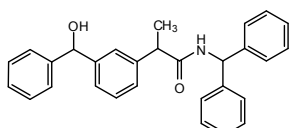
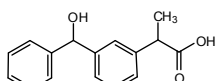
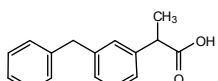
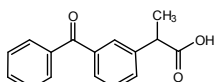
Interakcije derivata ketoprofena **9–11** s DPPH promatrana je kod dvije koncentracije spojeva (0,05 i 0,1 mmol L<sup>-1</sup>, Tablica 40). Rezultati su pokazali da ketoprofen, početni spoj serija **9–11**, kao i njegovi reducirani derivati **6a,b**, stupaju u vrlo slabu interakciju s DPPH. Nije bilo značajnih promjena u interakciji spojeva s DPPH ovisnih o vremenu. Najaktivniji spojevi pri koncentraciji 0,1 mmol L<sup>-1</sup> bili su derivati **10f,a,d,e** (38,5–35,2%). Nereducirani amidi ketoprofena **10** imali su snažnije djelovanje od reduciranih (npr. **10a > 9a**, **10b > 9b**, **10d > 9d**). Najslabiju antioksidacijsku aktivnost imali su derivati ketoprofena s hidroksilnom skupinom **11**. Lipofilnost spojeva ne utječe na njihovu interakciju s DPPH. interakcija svih ispitanih spojeva s DPPH puno je slabija od interakcije NDGA s DPPH kod obje promatrane koncentracije.

Rezultati ispitivanja inhibicije lipidne peroksidacije linolne kiseline pokazali su da su spojevi **9e**, **10d**, **9f**, **9i**, **10f**, **9d**, **10e** i **10c** izvrsni inhibitori lipidne peroksidacije (99,9–92,2%), značajno jači od ketoprofena (69,3%) i njegovih reduciranih derivata **6a** i **6b** (51,8 i 31,1%) (Tablica 40). Općenito, metilenski derivati **9** i keto derivati **10** snažniji su inhibitori lipidne peroksidacije od hidroksi derivata **11** (**9a-g** i **10b-f** snažnji su inhibitori lipidne peroksidacije od troloksa). Usporedba amidnih supstituenata pokazala je da u seriji **9** aktivnost pada na sljedeći način: aromatski > cikloalkilni > alifatski supstituent. U seriji **10** aromatski amidi također su imali jače inhibitorno djelovanje od cikloalkilnih. Utvrđeno je da je lipofilnost molekule glavni parametar koji utječe na inhibiciju lipidne peroksidacije.

Sposobnost inhibicije LO derivatima ketoprofena **9–11** ispitana je enzimskim testom temeljenim na mjerenju UV apsorpcije (Tablica 40).<sup>115,117</sup> Svi spojevi bolji su inhibitori LO od poredbene supstancije (kavena kiselina). Usporedba *IC*<sub>50</sub> vrijednosti pokazuje da je spoj **11f** najaktivniji od svih ostalih, slijede ga spojevi **9b**, **9e**, **9f**, **10c**, **10a**, **10e** ≈ **10f**, **9d**, **9c** i **9a** (*IC*<sub>50</sub> = 20,5–82 μmol L<sup>-1</sup>). Derivati ketoprofena s hidroksilnom skupinom **11**, osim **11f**, imaju puno slabije djelovanje. Općenito, amidi s aromatskim i cikloalkilnim supstituentima snažniji su inhibitori lipooksigenaze (*IC*<sub>50</sub> = 37,5–120 μmol L<sup>-1</sup>) od derivata s funkcionalnom skupinom karboksilnih kiselina (*IC*<sub>50</sub> ketoprofena, **6a** i **b** su 130, 200 i 415 μmol L<sup>-1</sup>). Spoj **11f**, koji je imao najjače inhibitorno djelovanje na LO, nema najveću vrijednost *clog P* te se općenito može reći da lipofilnost molekula nije glavni parametar koji pozitivno utječe na inhibitornu aktivnost.

**Tablica 40.** Teorijski izračunate  $clog P$  vrijednosti, interakcija s DPPH, inhibicija lipidne peroksidacije linolne kiseline i *in vitro* inhibicija lipooksigenaze derivata ketoprofena 9–11.

Spoj	Struktura	$clog P^a$	DPPH 20 min <sup>b</sup> (%)	DPPH 60 min <sup>b</sup> (%)	DPPH 20 min <sup>c</sup> (%)	DPPH 60 min <sup>c</sup> (%)	Inhibicija LP <sup>c</sup> (%)	LO <sup>d</sup>
9a		4,54	6,0	4,0	28,5	27,6	63,2	82
9b		5,10	5,7	4,9	30,9	29,5	80,4	37,5
9c		5,72	3,1	4,3	31,4	33,9	87,9	80
9d		4,63	6,0	1,1	19,9	26,6	97,0	74,5
9e		5,01	6,6	3,4	32,9	21,7	99,9	43
9f		5,98	4,9	4,5	34,0	28,5	98,8	50
9g		2,69	n.a. <sup>c</sup>	n.a.	33,0	22,5	66,7	270
9h		2,14	2,1	n.a.	32,2	27,7	32,6	280
9i		2,83	2,9	n.a.	32,7	23,5	22,8	400
10a		3,51	2,0	n.a.	38,1	33,8	55,8	61,5
10b		4,07	0,8	n.a.	36,1	31,6	69,7	120
10c		4,69	2,2	n.a.	29,4	35,4	92,2	53
10d		3,61	2,5	n.a.	36,8	31,2	99,0	87,5
10e		3,98	1,5	n.a.	35,2	30,8	92,2	65

<b>10f</b>		4,95	2,6	n.a.	38,5	32,5	98,6	64,5
<b>11a</b>		2,78	3,4	4,9	1,9	2,7	23,6	230
<b>11b</b>		3,34	4,4	5,6	2,9	2,6	43,0	425
<b>11c</b>		3,96	1,5	6,9	2,9	3,4	28,1	295
<b>11d</b>		2,88	2,9	4,5	3,9	2,6	31,2	200
<b>11e</b>		3,26	1,3	0,9	1,2	5,4	35,1	120
<b>11f</b>		4,22	3,2	3,8	3,8	2,1	n.a.	20,5
<b>6a</b>		2,03	n.a.	2,6	n.a.	5,5	51,8	200
<b>6b</b>		3,79	5,6	4,0	6,9	4,8	31,1	415
<b>Ket</b>		2,76	6,4	3,1	8,1	7,2	69,3	130
	NDGA	n.o. <sup>f</sup>	81	83	93	97	n.o.	n.o.
	Troloks	n.o.	n.o.	n.o.	n.o.	n.o.	63	n.o.
	Kavena kiselina	n.o.	n.o.	n.o.	n.o.	n.o.	n.o.	600

<sup>a</sup> Lipofilnost molekule teorijski je izračunata kao  $\log P$  u smjesi *n*-oktanola i pufera CLOGP programom (Biobyte Corp).<sup>125</sup> Koncentracije: <sup>b</sup>  $5 \times 10^{-5}$  mol L<sup>-1</sup>; <sup>c</sup>  $1 \times 10^{-4}$  mol L<sup>-1</sup>; <sup>d</sup>  $IC_{50}$  (μmol L<sup>-1</sup>); <sup>e</sup> n.a. – nema aktivnosti; <sup>f</sup> n.o. – nije određeno.



## **6. ZAKLJUČCI**





1. U ovom doktorskom radu ukupno je sintetizirano 85 spojeva, od čega je 48 novih, do sada nepoznatih spojeva. Strukture novih spojeva potvrđene su uobičajenim analitičkim i spektroskopskim metodama (talište, elementarna analiza, IR,  $^1\text{H}$  i  $^{13}\text{C}$  NMR).
2. Sintetizirani su derivati aminokiselina: *N*-Btc-aminokiseline **2**, njihovi kloridi **3**, amidi **4** i 3,5-disupstituirani hidantoin **5**. Serija od 8 strukturnih analoga 3,5-disupstituiranih hidantoina **5a-h** s lipofilnim supstituentima na C-5, N-3 ili na oba atoma pripravljena je intramolekulskom ciklizacijom amida *N*-Btc-aminokiselina **4a-h**. Novi spojevi su **4a** i svi hidantoini, osim **5c** i **5f**.
3. Sintetizirani su derivati NSAID **6–12** (60 spojeva):
  - 3.1. Reducirani derivati ketoprofena **6a,b** sintetizirani su katalitičkim hidrogeniranjem ketoprofena uz Pd/C ili Pd/C(en).
  - 3.2. Sintetizirano je 8 NSAID benzotriazolida **7a-h** sljedećih lijekova: ibuprofena, fenoprofena, diklofenaka, indometacina, ketoprofena, **6a,b**. Novi spojevi su **7f-h**.
  - 3.3. NSAID hidroksamske kiseline i njihovi derivati **8a-y** (24 spoja) sintetizirani su novim sintetskim postupkom, iz NSAID benzotriazolida **7a-f**, u reakciji nukleofilne supstitucije u kojoj je benzotriazol zamijenjen odgovarajućim hidroksilaminom (hidroksilamin, *N*-metilhidroksilamin, *O*-metilhidroksilamin, *O*-etilhidroksilamin i *O*-benzilhidroksilamin) ili katalitičkim hidrogeniranjem *O*-benzilnih derivata NSAID hidroksamskih kiselina. Novih spojeva je 16 (**8a,c,e,i,j,m-x**).
  - 3.4. Sintetizirani su derivati ketoprofena **9a-i**, **10a-f** i **11a-f** (21 spoj). Amidi **9a-i** i **10a-f** sintetizirani su reakcijom nukleofilne supstitucije, u kojoj je benzotriazol u NSAID benzotriazolidima **7e** i **g** zamijenjen odgovarajućim aminom. Spojevi **11a-f** sintetizirani su katalitičkim hidrogeniranjem amida ketoprofena **10a-f** uz Pd/C(en). Svi spojevi su novi, osim **10b,d**.
  - 3.5. 3-Hidroksipropilamidi NSAID **12a-e** sintetizirani su reakcijom nukleofilne supstitucije, u kojoj je benzotriazol u NSAID benzotriazolidima **7a-e** zamijenjen 3-hidroksipropilaminom. Novi spojevi su **12a,c**.

4. Provedena su sljedeća biološka ispitivanja: antitumorsko, antimikrobno, antivirusno i antioksidacijsko djelovanje, inhibicija ureaze, lipooksigenaze i lipidne peroksidacije.
- 4.1. Derivati NSAID **8–11** pokazali su snažnije antiproliferativno djelovanje od derivata hidantoina **5**. Najbolje antitumorsko djelovanje pokazala je hidroksamska kiselina MeKet **8c**, koja je na rast stanične linije MiaPaCa-2 djelovala diferencijalno i selektivno ( $IC_{50} = 2,2 \mu\text{mol L}^{-1}$ ).
  - 4.2. Antimikrobno djelovanje bilo je slabo. Ibuprofen i fenoprofen hidroksamske kiseline (**8b,d**) pokazale su široki spektar antimikrobnog djelovanja protiv ispitanih Gram-pozitivnih i Gram-negativnih bakterijskih vrsta, s najvišim vrijednostima *MIC/MMcC* (0,116/0,232 mg mL<sup>-1</sup>) prema *B. subtilis* i *E. coli*.
  - 4.3. Antivirusno djelovanje svih ispitanih spojeva bilo je slabo (najbolje djelovanje pokazali su hidantoin **5a** i *O*-benzilni derivat oksametacina **8y**).
  - 4.4. Najjači inhibitor ureaze bila je diklofenak hidroksamska kiselina **8f** ( $IC_{50} = 37,4 \mu\text{mol L}^{-1}$ ).
  - 4.5. Najbolji inhibitor LO bio je amid HyKet **11f** ( $IC_{50} = 20,5 \mu\text{mol L}^{-1}$ ).
  - 4.5. Najbolje antioksidacijsko djelovanje pokazao je **8o**, *O*-etilni derivat fenoprofen hidroksamske kiseline (interakcija s DPPH 77, odnosno 86%).
  - 4.6. Najsnažniji inhibitor lipidne peroksidacije linolne kiseline bio je amid MeKet **9e** (99,9% inhibicije).

## **7. LITERATURA**



1. Kleemann, J. Engel, B. Kutscher, D. Reichert, *Pharmaceutical Substances, Synthesis, Patents, Applications*, 4<sup>th</sup> Edition, Thieme, Stuttgart, 2001.
2. D. A. Williams, T. L. Lemke, *Foye's Principles of Medicinal Chemistry*, 5<sup>th</sup> Edition, Lippincott, Williams & Wilkins, Philadelphia, 2002.
3. N. Opačić, M. Barbarić, B. Zorc, M. Cetina, A. Nagl, D. Frković, M. Kralj, K. Pavelić, The novel L- and D-amino acid derivatives of hydroxyurea and hydantoins: synthesis, X-ray crystal structure study, and cytostatic and antiviral activity, *J. Med. Chem.* **48** (2005) 475–482.
4. N. Opačić, B. Zorc, M. Cetina, D. Mrvoš-Sermek, S. Raić-Malić, M. Mintas, Synthesis and X-ray crystal structure study of the hydroxyurea and hydantoin derivatives of L-valine, *J. Peptide Res.* **66** (2005) 85–93.
5. B. Zorc, I. Butula, Reaktionen mit *N*-(1-Benzotriazolylcarbonyl)-äminosäuren. I. Synthese von Hydantoin und Hydantoinsäure-amiden, *Croat. Chem. Acta* **54** (1981) 441–449.
6. D. L. Flynn, T. Capiris, W. J. Cetenko, D. T. Connor, R. D. Dyer, C. R. Kostlan, D. E. Nies, D. J. Schrier, J. C. Sircar, Nonsteroidal anti-inflammatory drug hydroxamic acids. Dual inhibitors of both cyclooxygenase and 5-lipoxygenase, *J. Med. Chem.* **33** (1990) 2070–2072.
7. W. A. Cetenko, D. T. Connor, D. L. Flynn, J. C. Sircar, Preparation of hydroxyindeneacetamide and hydroxyindoleacetamide derivatives of selected nonsteroidal antiinflammatory acyl residues having cyclooxygenase and 5-lipoxygenase inhibition activity, EP 342682, 23.11.1989.; ref. *Chem. Abstr.* **112** (1990) 216688j.
8. E. M. F. Muri, M. J. Nieto, R. D. Sindelar, J. S. Williamson, Hydroxamic acids as pharmacological agents, *Curr. Med. Chem.* **9** (2002) 1631–1653.

- 
9. Societa Italo-Britannica L. Manetti-H. Roberts & C., A process for the preparation of 2-(4-isobutylphenyl)-propiohydroxamic acid, BE 830825, 16.10.1974.; ref. *Chem. Abstr.* **85** (1976) 62817k.
10. S. Odake, T. Morikava, M. Tsuchiya, L. Imamura, K. Kobashi, Inhibition of *Helicobacter pylori* urease activity by hydroxamic acid derivatives, *Biol. Pharm. Bull.* **17** (1994) 1329–1332.
11. P. Nandy, E. J. Lien, V. I. Avramis, Inhibition of ribonucleotide reductase by a new class of isoindole derivatives: drug synergism with cytarabine (Ara-C) and induction of cellular apoptosis, *Anticancer Res.* **19** (1999) 1625–1633.
12. L. Turbanti, G. Cerbai, C. Di Bugno, R. Giorgi, G. Garzelli, M. Criscuoli, A. R. Renzetti, A. Subissi, G. Bramanti, 1,2-Cyclomethylencarboxylic monoamide hydroxamic derivatives. A novel class of non-amino acid angiotensin converting enzyme inhibitors, *J. Med. Chem.* **36** (1993) 699–707.
13. M. Whittaker, C. D. Floyd, P. Brown, A. J. H. Gearing, Design and therapeutic application of matrix metalloproteinase inhibitors, *Chem. Rev.* **99** (1999) 2735–2776.
14. P. A. Marks, V. M. Richon, R. A. Rifkind, Histone deacetylase inhibitors: inducers of differentiation or apoptosis of transformed cells, *J. Natl. Cancer Inst.* **92** (2000) 1210–1216.
15. M. J. Thun, S. J. Henley, C. Patrono, Nonsteroidal anti-inflammatory drugs as anticancer agents: mechanistic, pharmacologic, and clinical issues, *J. Natl. Cancer Inst.* **94** (2002) 252–266.
16. V. R. Shanbhag, A. M. Crider, R. Gokhale, A. Harpalani, R. M. Dick, Ester and amide prodrugs of ibuprofen and naproxen: synthesis, anti-inflammatory activity, and gastrointestinal toxicity, *J. Pharm. Sci.* **81** (1992) 149–154.

17. P. Singh, L. L. Hingorani, G. K. Trivedi, Succinimide esters and glycine amides of non-steroidal antiinflammatory drugs, *Indian J. Chem., Sect B* **29** (1990) 551–555.
18. S. S. Dhaneshwar, S. C. Chaturvedi, Synthesis and biological evaluation of ketoprofen-glycinate methyl ester: a prodrug concept – part I, *Indian Drugs* **31** (1994) 374–377.
19. R. G. W. Spickett, A. V. Noverola, J. P. Soto, Amide derivatives of 3-benzoyl-phenylalkanoic acids, GB 1436502, 19.5.1976.; ref. *Chem. Abstr.* **86** (1977) 43691u.
20. L. Lafon, New derivatives of 2-(3-benzoylphenyl)propionic acid, BE 853321, 7.10.1977; ref. *Chem. Abstr.* **88** (1978) 190403w.
21. M. Marjanović, B. Zorc, L. Pejnović, M. Zovko, M. Kralj, Fenoprofen and ketoprofen amides as potential antitumor agents, *Chem. Biol. Drug Des.* **69** (2007) 222–226.
23. E. Mutschler, H. Derendorf, *Drug Actions, Basic Principles and Therapeutic Aspects*, Medpharm Scientific Publishers, Stuttgart, 2005.
23. M. M. L. Fiallo, H. Kozłowski, A. Garnier-Suillerot, Mitomycin antitumor compounds: Part 1. CD studies on their molecular structure, *Eur. J. Pharm. Sci.* **12** (2001) 487–494.
24. P. N. Munster, T. Troso-Sandoval, N. Rosen, R. Rifkind, P. A. Marks, V. M. Richon, The histone deacetylase inhibitor suberoylanilide hydroxamic acid induces differentiation of human breast cancer cells, *Cancer. Res.* **61** (2001) 8492–8497.
25. A. Y. Jeng, S. De Lombaert, Endothelin converting enzyme inhibitors, *Curr. Pharm. Des.* **3** (1997) 597–614.



26. T. Szekeres, M. Fritzer-Szekeres, H. L. Elford, H. M. Jayaram, The enzyme ribonucleotide reductase: target for antitumor and anti-HIV therapy, *Critical Rev. Clin. Lab. Sci.* **34** (1997) 503–528.
27. J. El Yazal, Y.-P. Pang, Proton dissociation energies of zinc-coordinated hydroxamic acids and their relative affinities for zinc: insight into design of inhibitors of zinc-containing proteinases, *J. Phys. Chem. B* **104** (2000) 6499–6504.
28. K. P. Holland, H. L. Elford, V. Bracchi, C. G. Annis, S. M. Schuster, D. Chakrabarti, Antimalarial activities of polyhydroxyphenyl and hydroxamic acid derivatives, *Antimicrob. Agents Chemother.* **42** (1998) 2456–2458.
29. M. Valapour, J. Guo, J. T. Schroeder, J. Keen, A. Cianferoni, V. Casolaro, S. N. Georas, Histone deacetylation inhibits *IL4* gene expression in T cells, *J. Allergy Clin. Immunol.* **109** (2002) 238–245.
30. M. J. Miller, Syntheses and therapeutic potential of hydroxamic acid based siderophores and analogs, *Chem. Rev.* **89** (1989) 1563–1579.
31. J. H. Weisburger, E. K. Weisburger, Biochemical formation and pharmacological, toxicological, and pathological properties of hydroxylamines and hydroxamic acids, *Pharmacol. Rev.* **25** (1973) 1–66.
32. I. Turcot, A. Stintzi, J. Xu, K. N. Raymond, Fast biological iron chelators: kinetics of iron removal from human diferric transferrin by multidentate hydroxypyridonates, *J. Biol. Inorg. Chem.* **5** (2000) 634–641.
33. Z. Amtul, Atta-ur-Rahman, R. A. Siddiqui, M. I. Choudhary, Chemistry and mechanism of urease inhibition, *Curr. Med. Chem.* **9** (2002) 1323–1348.
34. E. M. F. Muri, H. Mishra, S. M. Stein, J. S. Williamson, Molecular modeling, synthesis and biological evaluation of heterocyclic hydroxamic acids designed as *Helicobacter pylori* urease inhibitors, *Lett. Drug Des. Discov.* **1** (2004) 30–34.

- 
35. K. Kobashi, J. Hase, T. Komai, Specific inhibition of urease by hydroxamic acids, *Biochem. Biophys. Acta* **65** (1962) 380–383.
36. C. Charlier, C. Michaux, Dual inhibition of cyclooxygenase-2 (COX-2) and 5-lipoxygenase (5-LOX) as a new strategy to provide safer non-steroidal anti-inflammatory drugs, *Eur. J. Med. Chem.* **38** (2003) 645–659.
37. R. N. Garavito, The cyclooxygenase-2 structure: new drugs for an old target?, *Nat. Struct. Biol.* **3** (1996) 897–901.
38. S. T. Prigge, J. C. Boyington, M. Faig, K. S. Doctor, B. J. Gaffney, L. M. Amzel, Structure and mechanism of lipoxygenases, *Biochimie* **79** (1997) 629–636.
39. S. Pikul, K. L. McDow Dunham, N. G. Almstead, B. De, M. G. Natchus, M. V. Anastasio, S. J. McPhail, C. E. Snider, Y. O. Taiwo, T. Rydel, C. M. Dunaway, F. Gu, G. E. Mieling, Discovery of potent, achiral matrix metalloproteinase inhibitors, *J. Med. Chem.* **41** (1998) 3568–3571.
40. D. Leung, G. Abbenante, D. P. Fairlie, Protease inhibitors: current status and future prospects, *J. Med. Chem.* **43** (2000) 305–341.
41. K. Luger, A. W. Mader, R. K. Richmond, D. F. Sargent, T. J. Richmond, Crystal structure of the nucleosome core particle at 2.8 Å resolution, *Nature* **389** (1997) 251–260.
42. M. Grunstein, Histone acetylation and chromatin structure and transcription, *Nature* **389** (1997) 349–352.
43. T. Kouzarides, Histone acetylases and deacetylases in cell proliferation, *Curr. Opin. Genet. Dev.* **9** (1999) 40–48.

44. M. S. Finnin, J. R. Donigian, A. Cohen, V. M. Richon, R. A. Rifkind, P. A. Marks, R. Breslow, N. P. Pavletich, Structures of a histone deacetylase homologue bound to the TSA and SAHA inhibitors, *Nature* **401** (1999) 188–193.
45. F. De Martiis, E. Arrigoni-Martelli, T. Tamietto, Antiinflammatory, antipyretic, and analgesic 2-methyl-5-methoxy-3-indoleacetohydroxamic acids, US 3624103, 30.11.1971.; ref. *Chem. Abstr.* **76** (1971) 72402.
46. G. Orzalesi, R. Selleri, O. Caldini, I. Volpato, F. Innocenti, J. Colome, A. Sacristan, G. Varez, Ibuprofen and ibuprofen, a pharmacological comparison, *Arzneim.-Forsch./Drug Res.* **27** (1977) 1006–1012.
47. K. B. Sloan, R. Little, Mannich-base hydroxamic acid prodrugs for the improved delivery of nonsteroidal antiinflammatory agents and a pharmaceutical composition containing them, EP 39051, 4.11.1981.; ref. *Chem. Abstr.* **96** (1982) 104087.
48. M. Richter, M. Weiss, I. Weinberger, G. Fürstenberger, B. Marian, Growth inhibition and induction of apoptosis in colorectal tumor cells by cyclooxygenase inhibitors, *Carcinogenesis* **22** (2001) 17–25.
49. K. Gwyn, F. A. Sinicrope, Chemoprevention of colorectal cancer, *Am. J. Gastroenterol.* **97** (2002) 13–21.
50. S. S. Husain, I. L. Szabo, A. S. Tarnawski, NSAID inhibition of GI cancer growth: clinical implications and molecular mechanisms of action, *Am. J. Gastroenterol.* **97** (2002) 542–553.
51. N. R. Sivak-Sears, J. A. Schwartzbaum, R. Miike, M. Moghadassi, M. Wrensch, Case-control study of use of nonsteroidal antiinflammatory drugs and glioblastoma multiforme, *Am. J. Epidemiol.* **159** (2004) 1131–1139.

52. M. Kralj, S. Kapitanović, D. Kovačević, J. Lukač, Š. Spaventi, K. Pavelić, Effect of the nonsteroidal anti-inflammatory drug indomethacin on proliferation and apoptosis of colon carcinoma cells, *J. Cancer Res. Clin. Oncol.* **127** (2001) 173–179.
53. S. Kapitanović, T. Čačev, M. Antica, M. Kralj, G. Cavrić, K. Pavelić, R. Spaventi, Effect of indomethacin on E-cadherin and  $\beta$ -catenin expression in HT-29 colon cancer cells, *Exp. Mol. Pathol.* **80** (2006) 91–96.
54. P. J. Taylor, u: *Comprehensive Medicinal Chemistry*, Ed. C. Hansch, G. Sammer, J. B. Taylor, Vol. IV, Pergamon Press, Oxford, 1990.
55. T. L. Ke, G. Graff, J. M. Spellman, J. M. Yanni, Nepafenac, a unique nonsteroidal prodrug with potential utility in the treatment of trauma-induced ocular inflammation: II. *In vitro* bioactivation and permeation of external ocular barriers, *Inflammation* **24** (2000) 371–384.
56. P. N. Kourounakis, K. Tsiakitzis, A. P. Kourounakis, D. Galanakis, Reduction of gastrointestinal toxicity of NSAIDs via molecular modifications leading to antioxidant anti-inflammatory drugs, *Toxicology* **144** (2000) 205–210.
57. M. R. Hellberg, A. Namil, P. Delgado, K. C. David, T. L. Kessler, G. Graff, K. S. Haggard, J. C. Nixon, Novel esters and amides of nonsteroidal antiinflammatory carboxylic acids as antioxidants and antiproliferative agents, *J. Med. Chem.* **42** (1999) 267–276.
58. M. Zovko, B. Zorc, M. Jadrijević-Mladar Takač, B. Metelko, P. Novak, The novel ketoprofenamides: synthesis and spectroscopic characterization, *Croat. Chem. Acta* **76** (2003) 335–341.
59. M. Zovko, B. Zorc, M. Jadrijević-Mladar Takač, D. Zorc, The novel fenoprofenamides – synthesis and spectroscopic characterization, *Acta Pharm.* **51** (2001) 107–115.

- 
60. I. Muramatsu, T. Hirabayashi, A. Hagitani, *Nippon Kagaku Zasshi*, **84** (1963) 855–860.
61. K. Kitasaki, R. F. Crawford, Herbicidal composition and method, US 3326661, 20.6.1967.; ref. *Chem. Abstr.* **68** (1968) 39622h.
62. United States borax and chemical corporation, 3,5-dialkylhydantoins, GB 1092962, 24.11.1965.; ref. *Chem. Abstr.* **69** (1968) 10439.
63. E. Ware, The chemistry of the hydantoins, *Chem. Rev.* **46** (1950) 403–470.
64. E. S. Schipper, A. R. Day, u *Heterocyclic Compounds*, R. C. Elderfield (ur.), Vol. 5, John Wiley and Sons, Inc. New York, London, 1957.
65. I. Schon, J. Friss, L. Kisfaludy, Side reactions during the removal of protecting groups of *N*-(protected aminoacyl)urea derivatives, *Acta Chim. Acad. Sci. Hung.* **98** (1978) 215–223.
66. G. A. Maslova, I. T. Strukov, A new method of preparation of 3,5-disubstituted hydantoins, *Zh. Obshch. Khim.* **34** (1964) 3506.
67. M. Beller, M. Eckert, W. A. Moradi, H. Neumann, Palladium-catalyzed synthesis of substituted hydantoins – a new carbonylation reaction for the synthesis of amino acid derivatives, *Angew. Chem. Int. Ed.* **38** (1999) 1454–1457.
68. J. Vázquez, M. Royo, F. Albericio, Re-evaluation of a solid-phase hydantoin synthesis, *Lett. Org. Chem.* **1** (2004) 224–226.
69. S. Hobbs DeWitt, J. S. Kiely, C. J. Stankovic, M. C. Schroeder, D. M. Reynolds Cody, M. R. Pavia, “Diversomers”: An approach to nonpeptide, nonoligomeric chemical diversity, *Proc. Natl. Acad. Sci. USA* **90** (1993) 6909–6913.

70. P. Y. Chong, P. A. Petillo, Solid phase hydantoin synthesis: An efficient and direct conversion of Fmoc-protected dipeptides to hydantoins, *Tetrahedron Lett.* **40** (1999) 2493–2496.
71. B. A. Dressman, L. A. Spangle, S. W. Kaldor, Solid phase synthesis of hydantoins using a carbamate linker and a novel cyclization/cleavage step, *Tetrahedron Lett.* **37** (1996) 937–940.
72. J. Alsina, W. L. Scott, M. J. O'Donnell, Solid-phase synthesis of  $\alpha$ -substituted proline hydantoins and analogs, *Tetrahedron Lett.* **46** (2005) 3131–3135.
73. M. –J. Lee, C. –M. Sun, Traceless synthesis of hydantoin by focused microwave irradiation, *Tetrahedron Lett.* **45** (2004) 437–440.
74. E. Colacino, F. Lamaty, J. Martinez, I. Parrot, Microwave-assisted solid-phase synthesis of hydantoin derivatives, *Tetrahedron Lett.* **48** (2007) 5317–5320.
75. L. Baiocchi, M. Giannangeli, M. Bobanomi, G. Picconi, P. Ridolfi, Arenes from alkanes or cycloalkanes through dehydration or rearrangement with pyridinium chloride, *Gazz. Chim. Ital.* **115** (1985) 199–216.
76. D. Farge, M. N. Messer, C. Mountonnier, (3-benzoylphenyl) alkanolic acids, US 3641127, 8.2.1972.; ref. *Chem. Abstr.* **70** (1969) 77597c.
77. I. Shimizu, Y. Matsumura, Y. Arai, Process for preparing  $\alpha(\pm)$ -(3-benzylphenyl)propionic acid derivatives, WO 8807032, 22.9.1988., ref. *Chem. Abstr.* **110** (1989) 192437.
78. D. P. G. Hamon, R. A. Massy-Westropp, J. L. Newton, Synthesis of arylpropanoic acids from optically active 2-(iodophenyl)propanoic acids, *Tetrahedron Lett.* **34** (1993) 5333–5336.

79. D. P. G. Hamon, R. A. Massy-Westropp, J. L. Newton, Enantioselective syntheses of 2-arylpropanoic acid non-steroidal anti-inflammatory drugs and related compounds, *Tetrahedron* **51** (1995) 12645–12660.
80. G. Comisso, M. Mihalić, F. Kajfež, V. Šunjić, G. Snatzke, Enantioselective synthesis and absolute configuration of (+)- $\alpha$ -(3-benzoylphenyl)propionic acid, *Gazz. Chim. Ital.* **110** (1980) 123–127.
81. G. Comisso, A. Segal, V. Šunjić, Synthesis, conformational studies and enantioselective homogeneous catalytic hydrogenation with CRC-PHOS, and some congeners, *Croat. Chem. Acta* **54** (1981) 375–395.
82. C. Laue, G. Schroeder, D. Arlt, Intermediates and their use in the preparation of *S*-ketoprofen, US 5362907, 8.11.1994., ref. *Chem. Abstr.* **119** (1993) 27830.
83. C. Laue, G. Schroeder, D. Arlt, Biphosphines as catalysts for asymmetric reactions, US 5710339, 21.1.1988., ref. *Chem. Abstr.* **126** (1997) 104246.
84. M. Hannoun, N. Blažević, D. Kolbach, M. Mihalić, F. Kajfež,  $\alpha$ -Phenylpropionic acid derivatives. Synthesis and dethiation of 5-benzoylbenzo[*b*]tiophene-3-carboxylic acid, *J. Heterocyclic Chem.* **19** (1982), 1131–1136.
85. M. Allegretti, R. Bertini, M. C. Cesta, C. Bizzarri, R. Bitondo, V. Di Cioccio, E. Galliera, V. Berdini, A. Topai, G. Zampella, V. Russo, N. Di Bello, G. Nano, L. Nicolini, M. Locati, P. Fantucci, S. Florio, F. Colotta, 2-Arylpropionic CXC chemokine receptor 1 (CXCR1) ligands as novel noncompetitive CXCL8 inhibitors, *J. Med. Chem.* **48** (2005) 4312–4331.
86. M. Allegretti, M. C. Cesta, R. Bertini, C. Bizzarri, F. Colotta, 2-Arylpropionic acids and pharmaceutical compositions containing them, WO 03043625, 30.5.2003., ref. *Chem. Abstr.* **139** (2003) 6677.
87. G. Orzalesi, R. Selleri, Pharmaceutical 2-(4-isobutylphenyl)propionohydroxamic acid, DE 2400531, 25.7.1974.; ref. *Chem. Abstr.* **81** (1974) 120272j.

88. J. B. Summers, B. P. Gunn, J. G. Martin, H. Mazdiyasni, A. M. Goetze, P. R. Young, J. B. Bouska, R. D. Dyer, D. W. Brooks, G. W. Charter, In vivo characterization of hydroxamic acid inhibitors of 5-lipoxygenase, *J. Med. Chem.* **31** (1987) 2121–2126.
89. B. Božnar, J. Žmitek, D. Kocjan, 2-(4-Isobutylphenyl)propiohydroxamic acid, EP 203379, 3.12.1986.; ref. *Chem. Abstr.* **106** (1987) 84185.
90. M. A. P. J. Hacking, F. van Rantwijk, R. A. Sheldon, Lipase catalysed acylation of hydroxylamine and hydrazine derivatives, *J. Mol. Catal. B-Enzym.* **11** (2001) 315–321.
91. W. S. Marshall, Antiinflammatory, analgesic, and antipyretic substituted phenylalkanoic acids and their derivatives, FR 2015728, 30.4.1970.; ref. *Chem. Abstr.* **75** (1971) 48707.
92. A. Sallmann, R. Pfister, Antiinflammatory, analgesic, and antipyretic phenylacetohydroxamic acids, DE 2144641, 16.3.1972.; ref. *Chem. Abstr.* **77** (1972) 19403v.
93. A. Sallmann, Preparation of cyclooxygenase- and 5-lipoxygenase-inhibiting [(arylaminoaryl)alkyl]hydroxamates, EP 377896, 18.7.1990.; ref. *Chem. Abstr.* **114** (1991) 61703.
94. R. Aries, Antiinflammatory hydroxamates of indolealkanoic acids, FR 1579495, 29.8.1969.; ref. *Chem. Abstr.* **73** (1970) 3797.
95. F. De Martiis, J. S. Franzone, T. Tamietto, Synthesis and antiphlogistic properties of some indolylacetohydroxamic acids, *Boll. Chim. Farm.* **114** (1975) 309–318.
96. S. J. Wey, D. S. Garvey, X. Fang, S. K. Richardson, Preparation of 2-methylindoles as cyclooxygenase-2 selective inhibitors, WO 2006099416, 21.9.2006.; ref. *Chem. Abstr.* **145** (2005) 356642.
97. T. Tamietto, 3-Indolylacetohydroxamic acids, DE 2708646, 29.6.1978.; ref. *Chem. Abstr.* **89** (1978) 109091.



98. U. Chiodoni, 1-(4-Chlorobenzoyl)-5-methoxy-2-methyl-3-indolylacetohydroxamic acid, BE 892645, 16.7.1982.; ref. *Chem. Abstr.* **97** (1982) 215990.
99. A. S. Kalgutkar, A. B. Marnett, B. C. Crews, R. P. Remmel, L. J. Marnett, Ester and amide derivatives of the nonsteroidal antiinflammatory drug, indomethacin, as selective cyclooxygenase-2 inhibitors, *J. Med. Chem.* **43** (2000) 2860–2870.
100. K. R. Kozak, J. J. Prusakiewicz, S. W. Rowlinson, L. J. Marnett, Enantiospecific, selective, cyclooxygenase-2 inhibitors, *Bioorg. Med. Chem. Lett.* **12** (2002) 1315–1318.
101. I. Butula, B. Zorc, V. Vela, Reaktionen mit 1-Benzotriazol carbonsaurechlorid.VII. Die Umsetzung mit Aminosäuren, *Croat. Chem. Acta* **54** (1981) 435–440.
102. B. Zorc, S. Antolić, I. Butula, Macromolecular prodrugs. I. Synthesis of some non-steroidal anti-inflammatory drug esters, *Acta Pharm.* **43** (1993) 127–133.
103. B. Zorc, I. Butula, Macromolecular prodrugs. III. Esters of fenoprofen and probenecid, *Acta Pharm.* **44** (1994) 103–108.
104. D. D. Van Slyke, R. M. Archibald, Manometric, titrimetric and colorimetric methods for measurment of urease activity, *J. Biol. Chem.* **154** (1944) 623–642.
105. H.-J. Quan, J. Koyanagi, K. Ohmori, S. Uesato, T. Tsuchido, S. Saito, Preparation of heterospirostanols and their pharmacological activities, *Eur. J. Med. Chem.* **37** (2002) 659–669.
106. European Pharmacopoeia, ed. 5, Council of Europe, Strasbourg, 2006.
107. NCCLS, National Committee for Clinical Laboratory Standards. Methods for dilution antimicrobial susceptibility tests for bacteria that grow aerobically, 4th ed. Approved standard. NCCLS document M7-A4. National Committee for Clinical Laboratory Standards, Wayne, Pa, USA, 1997.

108. I. Kalčić, M. Zovko, M. Jadrijević-MLadar Takač, B. Zorc, I. Butula, Synthesis and reactions of some azolecarboxylic acid derivatives, *Croat. Chem. Acta* **76** (2003) 217–228.
109. I. Butula, M. V. Proštenik, V. Vela, Reactions with 1-benzotriazolecarboxylic acid chloride. I. Synthesis of the 2,6-bis(hydroxymethyl)pyridinedicarbamates, *Croat. Chem. Acta* **49** (1977) 837–842.
110. K. Hattori, H. Sajiki, K. Hirota, Chemoselective control of hydrofenation among aromatic carbonyl and benzyl alcohol derivatives using Pd/C(en) catalyst, *Tetrahedron* **57** (2001) 4817–4824.
111. J. J. Martínez-Pla, Y. Martín-Biosca, S. Sagrado, R. M. Villanueva-Camañas, M. J. Medina-Hernández, Evaluation of the pH effect of formulations on the skin permeability of drugs by biopartitioning micellar chromatography, *J. Chromatogr. A* **1047** (2004) 255–262.
112. A. Van Overbeke, W. Baeyens, C. Dewaele, Comparative study on the enantiomeric separation of several non-steroidal anti-inflammatory drugs on two cellulose-bases chiral stationary phases, *J. Liq. Chromatogr.* **18** (1995) 2427–2443.
113. Z. Rajić, B. Zorc, S. Raić-Malić, K. Ester, M. Kralj, K. Pavelić, J. Balzarini, E. De Clercq, M. Mintas, Hydantoin derivatives of L-and D- amino acids: synthesis, antiviral and antitumoral activity evaluations, *Molecules* **11** (2006) 837–848.
114. K. Wittine, K. Benci, Z. Rajić, B. Zorc, M. Kralj, M. Marjanović, K. Pavelić, E. De Clercq, G. Andrei, R. Snoeck, J. Balzarini, M. Mintas, The novel phosphoramidate derivatives of NSAID 3-hydroxypropylamides: Synthesis, cytostatic and antiviral activity evaluations, *Eur. J. Med. Chem.* (2008), doi:10.1016/j.ejmech.2008.03.037.
115. E. Pontiki, D. Hadjipavlou-Litina, Synthesis and pharmacochemical evaluation of novel aryl-acetic acid inhibitors of lipoxygenase, antioxidants, and anti-inflammatory agents, *Bioorg. Med. Chem.* **15** (2007) 5819–5827.

116. R. Re, N. Pellegrini, A. Proteggente, A. Pannala, M. Yang, C. Rice-Evans, Antioxidant activity applying an improved ABTS radical cation decolorization assay, *Free Rad. Biol. Med.* **26** (1999) 1231–1237.
117. R. B. Taraborewala, J. M. Kauffman, Synthesis and structure-activity relationships of anti-inflammatory 9,10-dihydro-9-oxo-2-acridine-alkanoic acids and 4-(2-carboxyphenyl)-aminobenzenealkanoic acids, *J. Pharm. Sci.* **79** (1990) 173–178.
118. B. Halliwell, J. M. C. Gutteridge, *Free radicals in Biology and Medicine*, 2<sup>nd</sup> Edition, Clarendon, Oxford, 1989.
119. L. J. Marnett, Lipid peroxidation-DNA damage by malondialdehyde, *Mutat. Res.* **424** (1999) 83–95.
120. B. Lakshmi, J. C. Tilak, S. Adhikari, T. P. A. Devasagayam, K. K. Janardhanan, Inhibition of lipid peroxidation induced by  $\gamma$ -radiation and AAPH in rat liver and brain mitochondria by mushrooms, *Curr. Sci.* **88** (2005) 484–488.
121. L. G. Wood, P. G. Gibson, M. L. Garg, Biomarkers of lipid peroxidation, airway inflammation and asthma, *Eur. Respir. J.* **21** (2003) 177–186.
122. E. Pontiki, D. Hadjipavlou-Litina, Quantitative structure-activity relationships on lipoxygenase inhibitors, *Internet Electron. J. Mol. Des.* **1** (2002) 134–141.
123. E. Pontiki, D. Hadjipavlou-Litina, Review in quantitative structure activity relationships on lipoxygenase inhibitors, *Mini Rev. Med. Chem.* **3** (2003) 487–499.
124. E. Pontiki, D. Hadjipavlou-Litina, Quantitative structure activity relationships (QSARs) on lipoxygenase inhibitors, *Curr. Med. Chem. - Anti-Inflammatory and Anti-Allergy Agents* **3** (2004) 139–156.
125. Biobyte Corp., C-QSAR Database 201 West 4<sup>th</sup> Str., Suite 204, Claremont CA, California 91711, USA.

## **8. SAŽETAK**



Sintetizirana je serija novih strukturnih analoga 3,5-disupstituiranih hidantoina **5a-h** s lipofilnim supstituentima na C-5, N-3 ili na oba atoma intramolekulskom ciklizacijom amida *N*-(1-benzotriazolkarbonil)aminokiselina **4a-h**.

Sintetizirani su derivati NSAID **6–12**: reducirani derivati ketoprofena **6a,b**, NSAID benzotriazolidi **7a-h**, NSAID hidroksamske kiseline i njihovi derivati **8a-y**, derivati ketoprofena **9a-i**, **10a-f**, **11a-f** i 3-hidroksipropilamidi NSAID **12a-e**. Reducirani derivati ketoprofena **6** pripremljeni su katalitičkim hidrogeniranjem ketoprofena uz Pd/C ili Pd/C(en). NSAID s karboksilnom funkcionalnom skupinom (ibuprofen, fenoprofen, diklofenak, indometacin, ketoprofen, **6a,b**) u reakciji s kloridom 1-benzotriazol-karboksilne kiseline (**1**) dali su odgovarajuće NSAID benzotriazole **7**, koji su bili polazni spojevi u sintezi derivata NSAID **8–12**. Razvijena je nova sintetska metoda za pripremu NSAID hidroksamskih kiselina i derivata **8**, reakcijom NSAID benzotriazolida **7** i odgovarajućih hidroksilamina (hidroksilamin, *N*-metilhidroksilamin, *O*-metilhidroksilamin, *O*-etilhidroksilamin i *O*-benzilhidroksilamin) ili katalitičkim hidrogeniranjem *O*-benzilnih derivata NSAID hidroksamskih kiselina. Derivati ketoprofena **9**, **10** i 3-hidroksipropilamidi NSAID **12** sintetizirani su iz NSAID benzotriazolida **7** i odgovarajućih amina, dok su derivati ketoprofena **11** sintetizirani katalitičkim hidrogeniranjem amida ketoprofena **10** uz Pd/C(en).

Provedena su sljedeća biološka ispitivanja: antitumorsko, antimikrobno, antivirusno i antioksidacijsko djelovanje, inhibicija ureaze, lipooksigenaze i lipidne peroksidacije. Najbolje antitumorsko djelovanje pokazao je **8c**, najbolje antimikrobno **8b,d**, najbolje antivirusno **5a** i **8y**, a najbolje antioksidacijsko djelovanje **8o**. Najjači inhibitor ureaze bio je **8f**, a lipooksigenaze **11f**. Najbolji inhibitor lipidne peroksidacije bio je **9e**.



## **9. SUMMARY**





3,5-Disubstituted hydantoin derivatives **5a-h** with lipophilic substituents at C-5, N-3 or both atoms were prepared by the intramolecular cyclization of the corresponding *N*-(1-benzotriazolecarbonyl)amino acid amides **4a-h**.

The following NSAID derivatives **6-12** were prepared: the reduced ketoprofen derivatives **6a,b**, NSAID benzotriazolides **7a-h**, NSAID hydroxamic acids and their derivatives **8a-y**, ketoprofen derivatives **9a-i**, **10a-f**, **11a-f** and NSAID 3-hydroxypropylamides **12a-e**. The reduced ketoprofen derivatives **6** were prepared by the catalytic hydrogenation of ketoprofen with Pd/C or Pd/C(en) catalyst. NSAIDs bearing carboxylic group (ibuprofen, fenoprofen, diclofenac, indomethacin, ketoprofen, **6a,b**) reacted with 1-benzotriazole carboxylic acid chloride (**1**) affording benzotriazolides **7**, which were the starting compounds in the synthesis of NSAID derivatives **8-12**. A new synthetic method for the synthesis of NSAID hydroxamic acids and their derivatives was developed. They were obtained in the reaction of NSAID benzotriazolides **7** with an appropriate hydroxylamine (hydroxylamine, *N*-methylhydroxylamine, *O*-methylhydroxylamine, *O*-ethylhydroxylamine or *O*-benzylhydroxylamine) or by the catalytic hydrogenation of *O*-benzyl derivatives of NSAID hydroxamic acids. Ketoprofen derivatives **9,10** and NSAID 3-hydroxypropylamides **12** were prepared from NSAID benzotriazolides **7**, in the reaction with an appropriate amine, while compounds of the series **11** were obtained by the catalytic hydrogenation of ketoprofen amides **10** with Pd/C(en).

The compounds were evaluated for their biological activity: antitumor, antimicrobial, antiviral and antioxidant activity, inhibition of urease, lipoxigenase and linoleic acid lipid peroxidation. The best antitumor activity was exerted by **8c**, antimicrobial by **8b,d**, antiviral by **5a** and **8y**, and antioxidant by **8o**. The strongest inhibitor of urease was **8f**, while **11f** was the strongest inhibitor of lipoxigenase. Compound **9e** showed the highest inhibition of linoleic acid lipid peroxidation.



## **10. ŽIVOTOPIS**



Zrinka Rajić rođena je u Požegi, gdje je završila osnovnu školu i gimnaziju, prirodoslovno-matematički smjer. Od 1999. do 2004. studirala je na Farmaceutsko-biokemijskom fakultetu Sveučilišta u Zagrebu. Tijekom studija primala je stipendiju Ministarstva znanosti i tehnologije RH kao najbolji student na godini. Diplomski rad pod nazivom *Sinteza i karakterizacija hidroksamskih kiselina i hidroksiurea* izradila je na Zavodu za farmaceutsku kemiju Farmaceutsko-biokemijskog fakulteta pod vodstvom prof. dr. sc. Branke Zorc te je diplomirala među prvima iz generacije.

Od 1.6.2004. zaposlena je na Farmaceutsko-biokemijskom fakultetu kao znanstveni novak-asistent te sudjeluje u izvođenju nastave na kolegijima Farmaceutska kemija i Biokemija lijekova. 2005. upisala je poslijediplomski doktorski studij Farmaceutske znanosti na Farmaceutsko-biokemijskom fakultetu. Stručni ispit za magistre farmacije položila je u listopadu 2005. i dobila licencu za samostalan rad. Član je Hrvatskog farmaceutskog društva i Hrvatske ljekarničke komore.

U ožujku 2006. boravila je na Tehnološkom sveučilištu u Grazu, Institutu za analitičku, radio- i mikrokemiju, a od rujna 2007. do ožujka 2008. na ETH, Zürich, Laboratoriju za organsku kemiju, u grupi prof. Vaselle, gdje je sudjelovala u sintetskim istraživanjima oligonukleozida.

Objavila je dva znanstvena rada (tri rada poslana su u znanstvene časopise za objavljivanje) i tri stručna rada, sudjelovala s priopćenjima na više domaćih i inozemnih kongresa te održala dva predavanja.

#### **Znanstveni radovi:**

1. Z. Rajić, B. Zorc, S. Raić-Malić, K. Ester, M. Kralj, K. Pavelić, J. Balzarini, E. De Clercq, M. Mintas, Hydantoin derivatives of L- and D- amino acids: synthesis, antiviral and antitumoral activity evaluations, *Molecules* **11** (2006) 837–848.

2. K. Wittine, K. Benci, Z. Rajić, B. Zorc, M. Kralj, M. Marjanović, K. Pavelić, E. De Clercq, G. Andrei, R. Snoeck, J. Balzarini, M. Mintas, The novel phosphoramidate derivatives of NSAID 3-hydroxypropylamides: Synthesis, cytostatic and antiviral activity evaluations, *Eur. J. Med. Chem.* (2008), doi:10.1016/j.ejmech.2008.03.037.

3. Z. Rajić, I. Perković, I. Butula, B. Zorc, D. Hadjipavlou-Litina, E. Pontiki, S. Pepeljnjak, I. Kosalec, Synthesis and biological evaluation of *O*-methyl and *O*-ethyl NSAID hydroxamic acids, *J. Enzym. Inhib. Med. Ch.* (prihvaćeno).

4. Z. Rajić, I. Butula, B. Zorc, S. Kraljević Pavelić, K. Hock, K. Pavelić, L. Naesens, E. De Clercq, J. Balzarini, M. Przyborowska, T. Ossowski, M. Mintas, Cytostatic and antiviral activity evaluations of NSAID hydroxamic acids, poslano u *Chem. Biol. Drug Des.*

5. Z. Rajić, G. Džimbeg, B. Zorc, P. P. Singh, S. Singh, Macromolecular prodrugs. XII. Primaquine conjugates: synthesis and antimalarial evaluation, poslano u *Acta Pharm.*

#### **Kongresi:**

1. Z. Rajić, B. Zorc, Sinteza halogenhidroksamskih kiselina, 1st International CROatian Student Summit, Zagreb, 2005.

2. Z. Rajić, B. Zorc, Dvojni lijekovi, Treći hrvatski kongres farmacije, Cavtat, 2005.

3. Z. Rajić, B. Zorc, Synthesis and characterization of halogenhydroxamic acids, Treći hrvatski kongres farmacije, Cavtat, 2005.

4. Z. Rajić, I. Butula, M. Przyborowska, T. Ossowski, B. Zorc, NSAID-hidroksamske kiseline: sinteza i određivanje  $pK_a$  vrijednosti, XX. hrvatski skup kemičara i kemijskih inženjera, Zagreb, 2007.

5. Z. Rajić, B. Zorc, S. Raić-Malić, K. Ester, M. Kralj, K. Pavelić, J. Balzarini, E. De Clercq, M. Mintas, Hidantoini derivati L- i D-aminokiselina: sinteza i ispitivanje virustatskog i citostatskog djelovanja, XX. hrvatski skup kemičara i kemijskih inženjera, Zagreb, 2007.

- 
6. Z. Rajić, G. Džimbeg, B. Zorc, M. Kralj, K. Ester, K. Pavelić, J. Balzarini, E. De Clercq, M. Mintas, The novel primaquine derivatives of *N*-alkyl, cycloalkyl or aryl urea: synthesis, cytostatic and antiviral activity evaluations, 3rd Pharmaceutical Sciences World Congress, Amsterdam, 2007.
7. Z. Rajić, B. Zorc, M. Jadrijević-Mladar Takač, M. Vinković, V. Takač, A study of H-bond in a group of NSAID hydroxamic acid derivatives by FTIR and NMR spectroscopy, 3rd Pharmaceutical Sciences World Congress, Amsterdam, 2007.
8. Z. Rajić, I. Butula, B. Zorc, S. Kraljević Pavelić, K. Hock, K. Pavelić, L. Naesens, E. De Clercq, J. Balzarini, M. Przyborowska, T. Ossowski, NSAID hydroxamic acids: Synthesis, cytostatic and antiviral activity evaluations, 5<sup>th</sup> Joint Meeting on Medicinal Chemistry, Portorož, 2007.
9. K. Wittine, Z. Rajić, B. Zorc, M. Kralj, K. Pavelić, E. De Clercq, J. Balzarini, S. Raić-Malić, M. Mintas, The novel 3-hydroxypropylamide derivatives of nonsteroidal antiinflammatory drugs and their phosphoroamidate prodrugs: synthesis, cytostatic and antiviral activity evaluations, 15<sup>th</sup> European Symposium on Organic Chemistry, Dublin, 2007.
10. Z. Rajić, I. Perković, I. Butula, B. Zorc, I. Kosalec, S. Pepeljnjak, Antibacterial and antiurease evaluation of NSAID hydroxamic acids, *Drugs Fut.* **33** (Suppl. A)(2008): XXth Int. Symp. Med. Chem., Beč, 2008.
11. I. Perković, I. Butula, Z. Rajić, B. Zorc, Preparation of hydrophilic ureido amides, *Drugs Fut.* **33** (Suppl. A)(2008): XXth Int. Symp. Med. Chem., Beč, 2008.
12. Z. Rajić, B. Zorc, Novi amidni derivati ketoprofena, XII. Ružičkini dani, Vukovar, 2008.
13. Z. Rajić, G. Džimbeg, B. Zorc, I. Perković, P. P. Singh, S. Singh, Konjugati primakina: sinteza i antimalarijsko djelovanje, XII. Ružičkini dani, Vukovar, 2008.



**Stručni radovi:**

1. Z. Rajić, Estrogeni i gestageni u transdermalnim terapijskim sustavima, *Farm. Glas.* **63** (2007), 505–517.
2. I. Vuk, Z. Rajić, B. Zorc, Malarija i antimalarici, *Farm. Glas.* **64** (2008), 51–60.
3. M. Huzjak, Z. Rajić, B. Zorc, Dvojni lijekovi s identičnim i neidentičnim podjedinicama, *Kem. Ind.* **57** (2008) 511–519.

**Javna predavanja:**

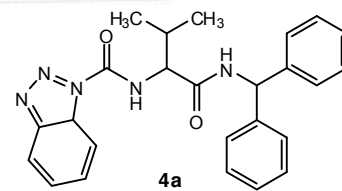
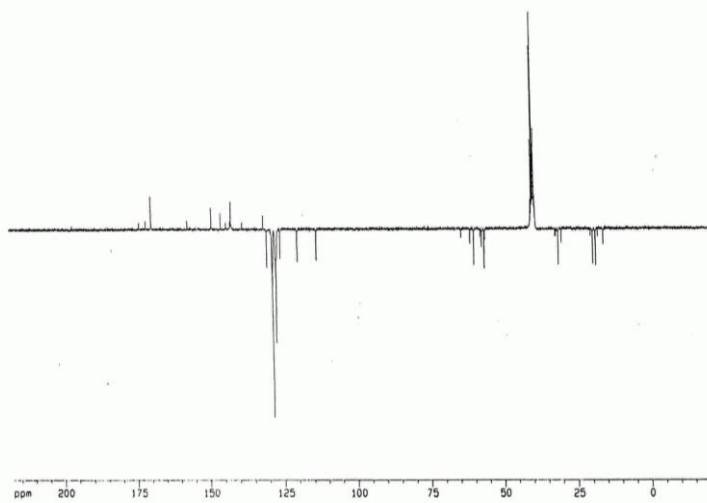
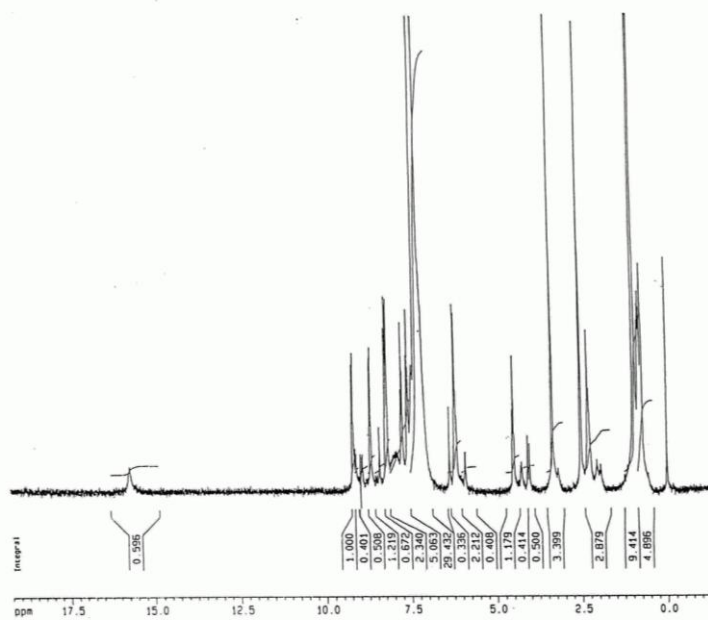
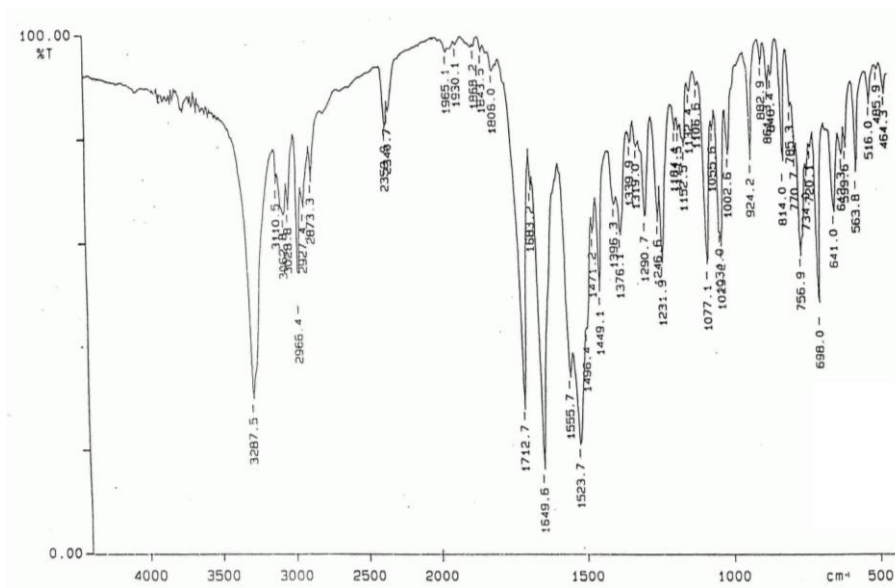
1. Sinteza i studija povezivanja amidno i hidrazidno povezanih analoga nukleozida, Kolokvij zavoda za organsku kemiju i biokemiju i Sekcije za organsku kemiju Hrvatskog kemijskog društva, 12.5.2008., Zagreb.
2. Znanstveni pristupi u istraživanju estrogena i gestagena za transdermalnu primjenu, Hrvatsko farmaceutsko društvo, 30.6.2008., Zagreb.

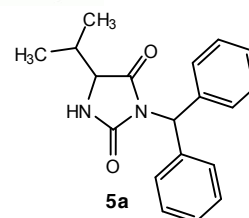
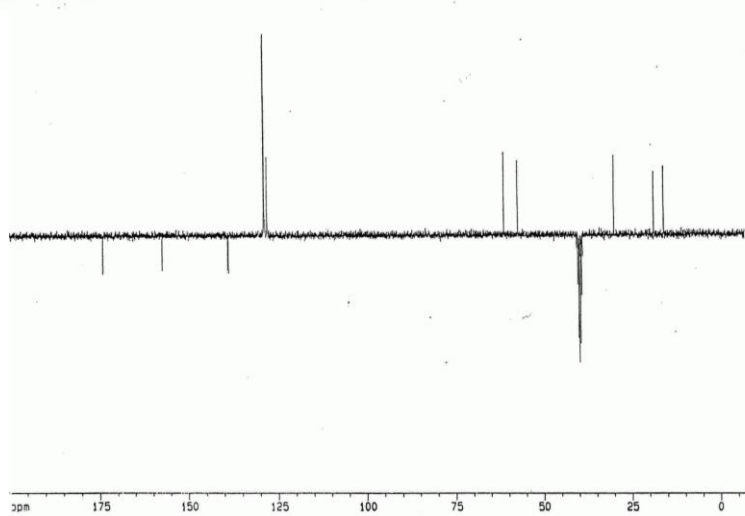
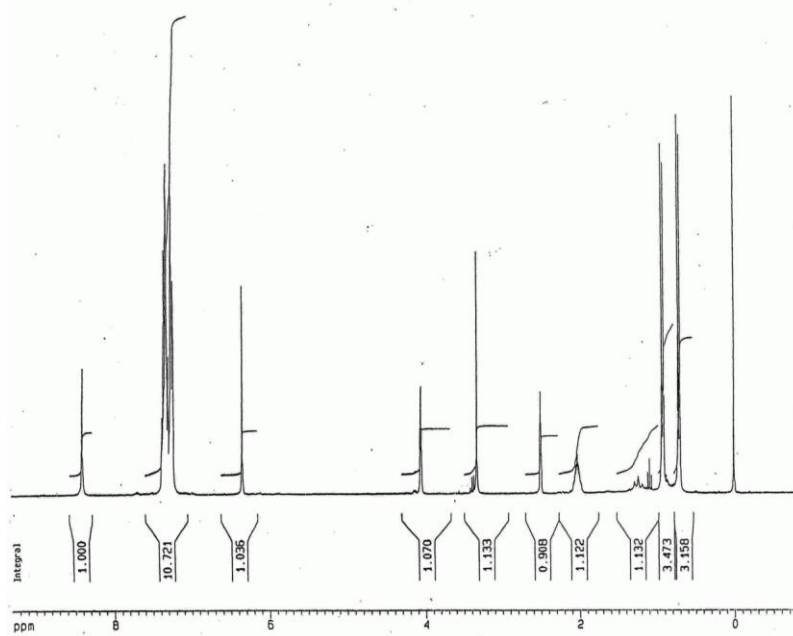
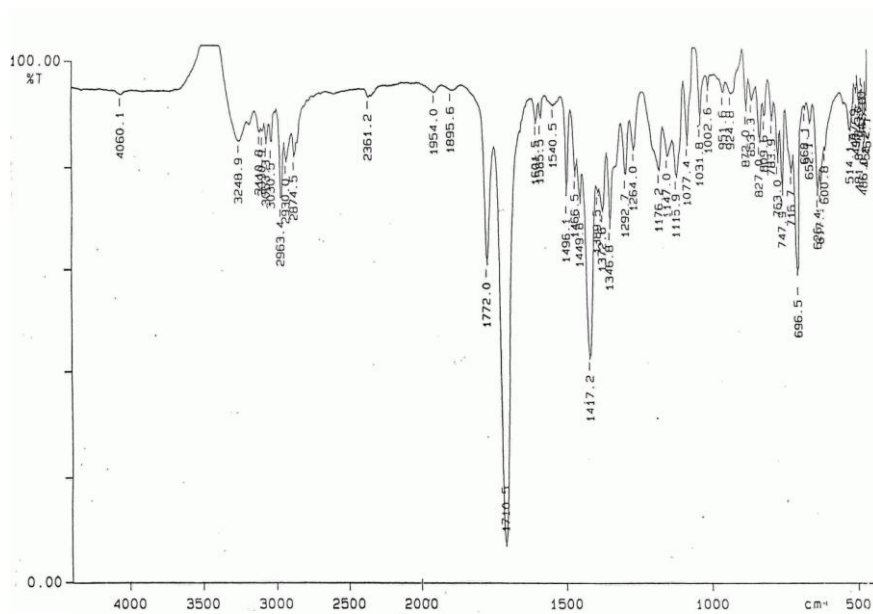
**Ostali radovi:**

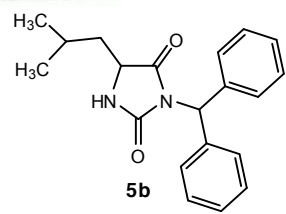
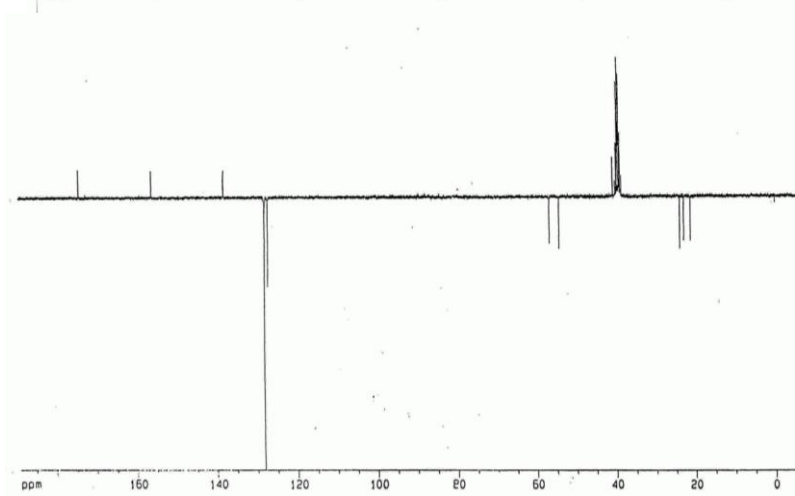
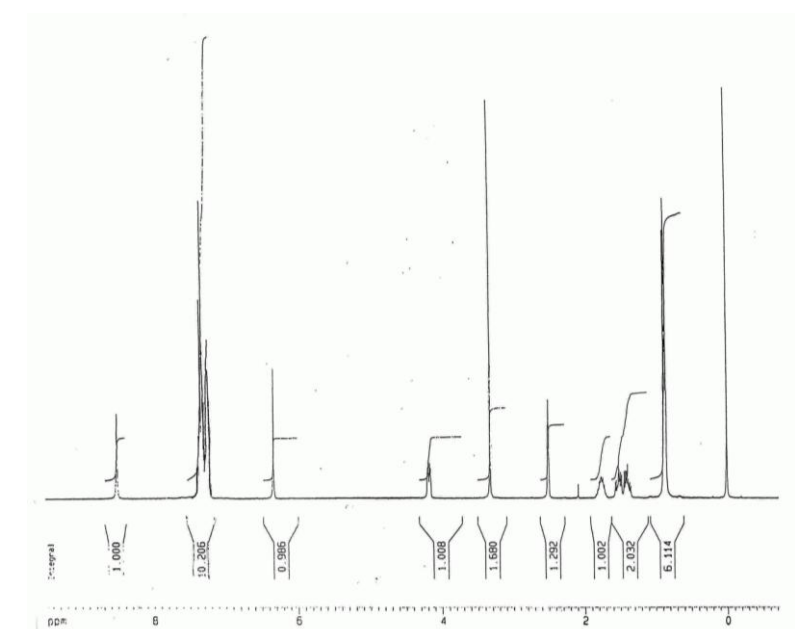
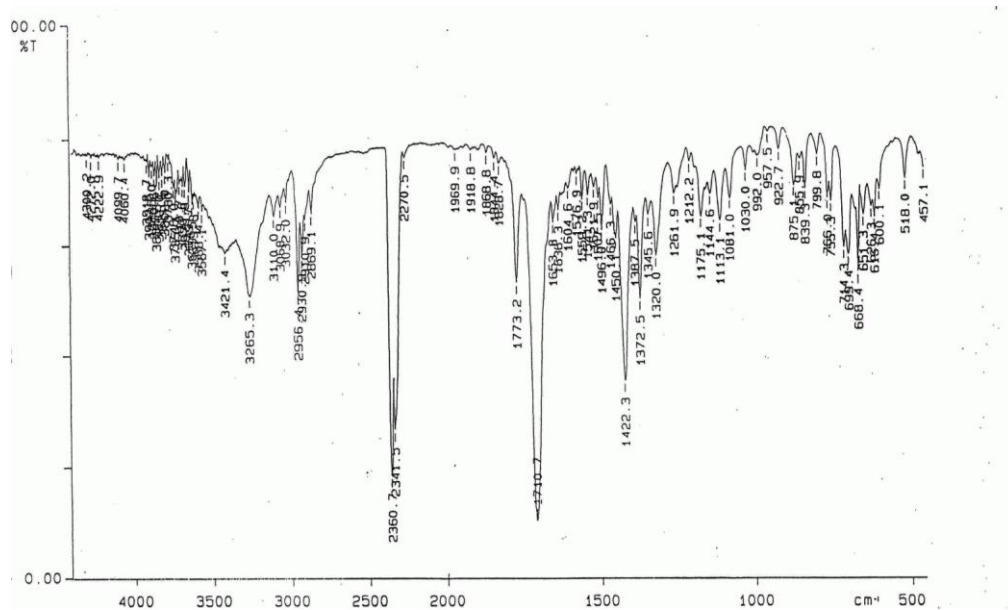
1. M. Jadrijević-Mladar Takač, N. Mirošević, I. Janković, Z. Rajić, V. Takač, I. Perković, Optimiranje terapije lijekovima – imperativ za svjetsko zdravlje, *Farm. Glas.* **64** (2007) 411–419.

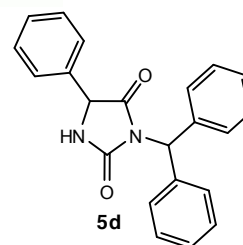
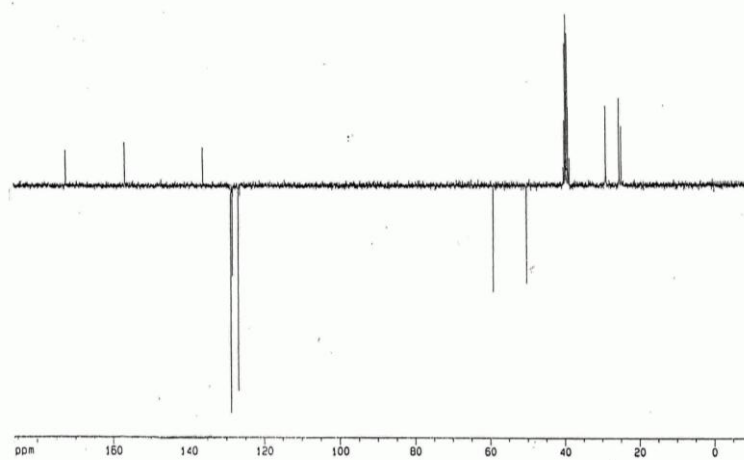
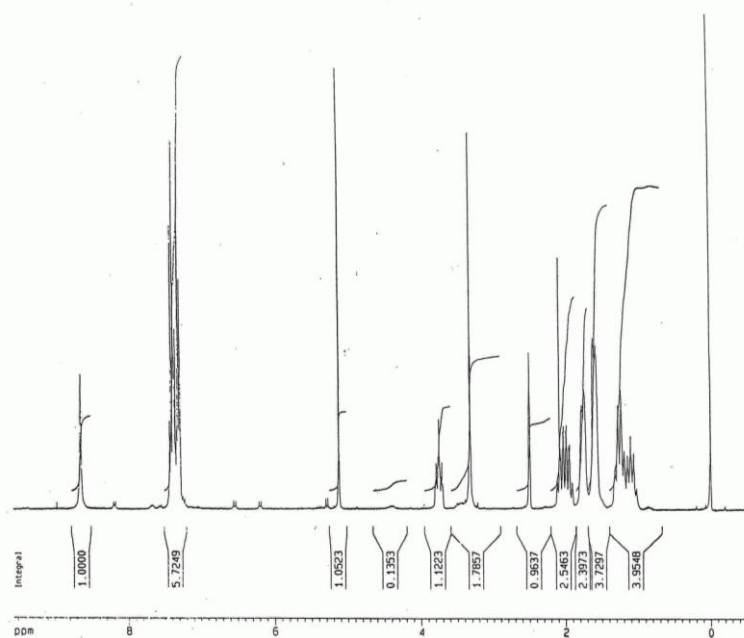
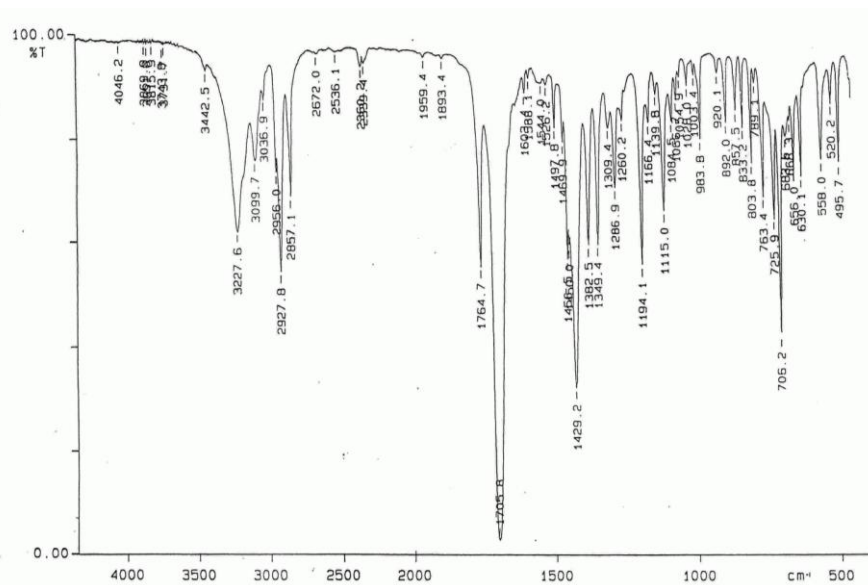
## **11. PRILOZI**

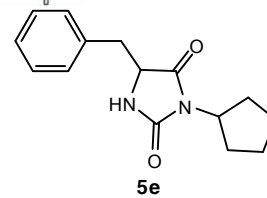
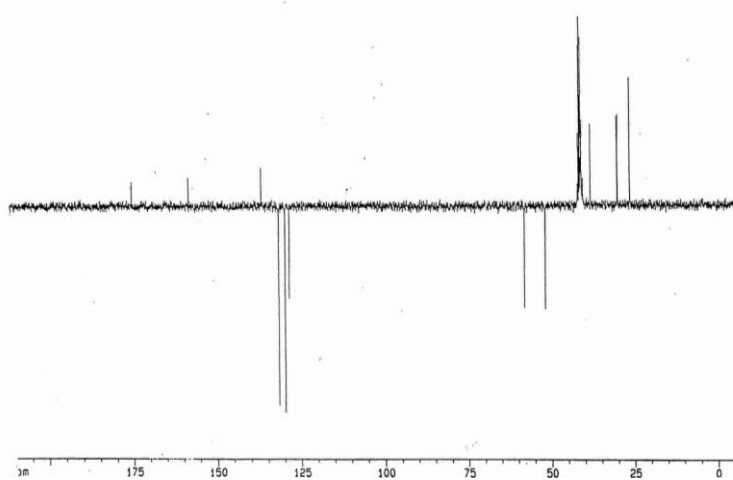
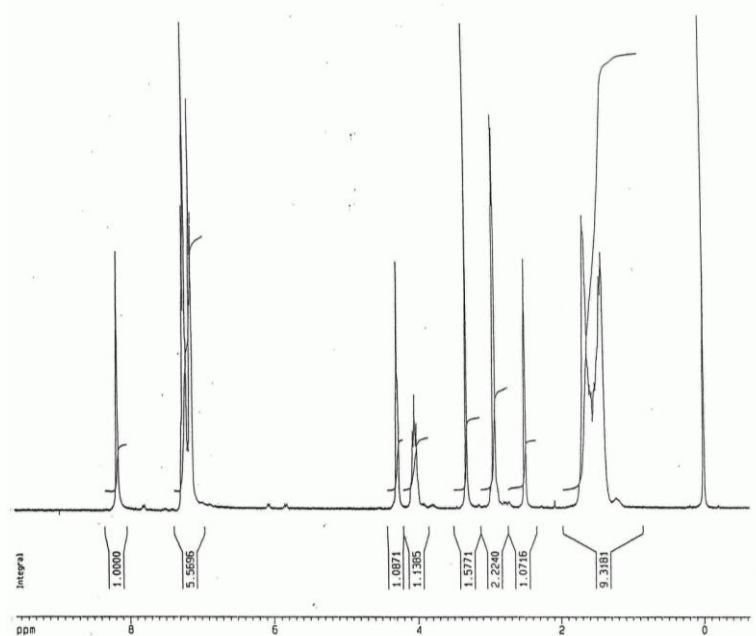
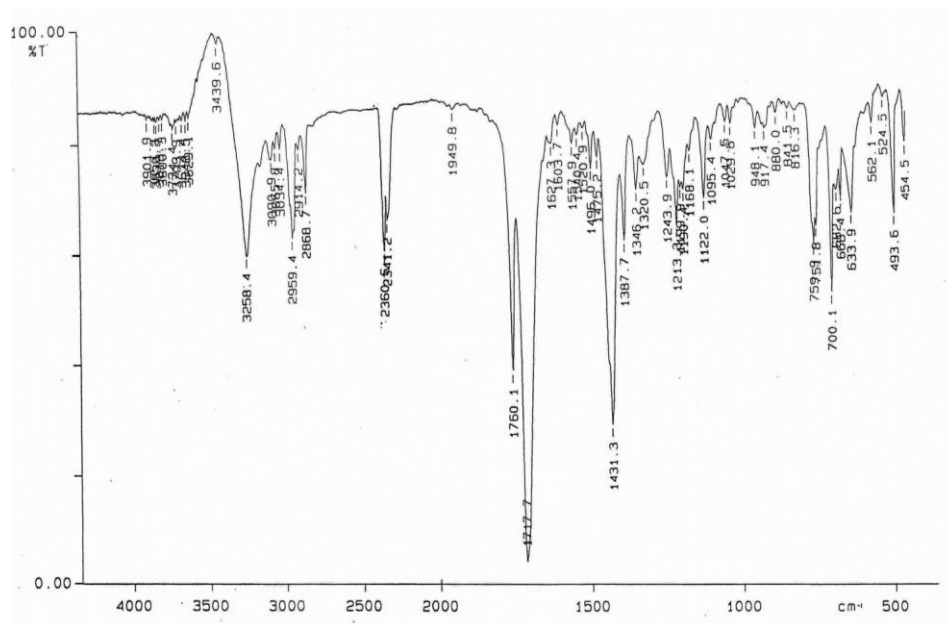




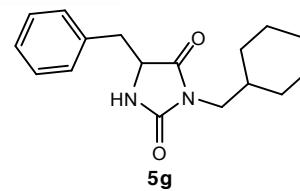
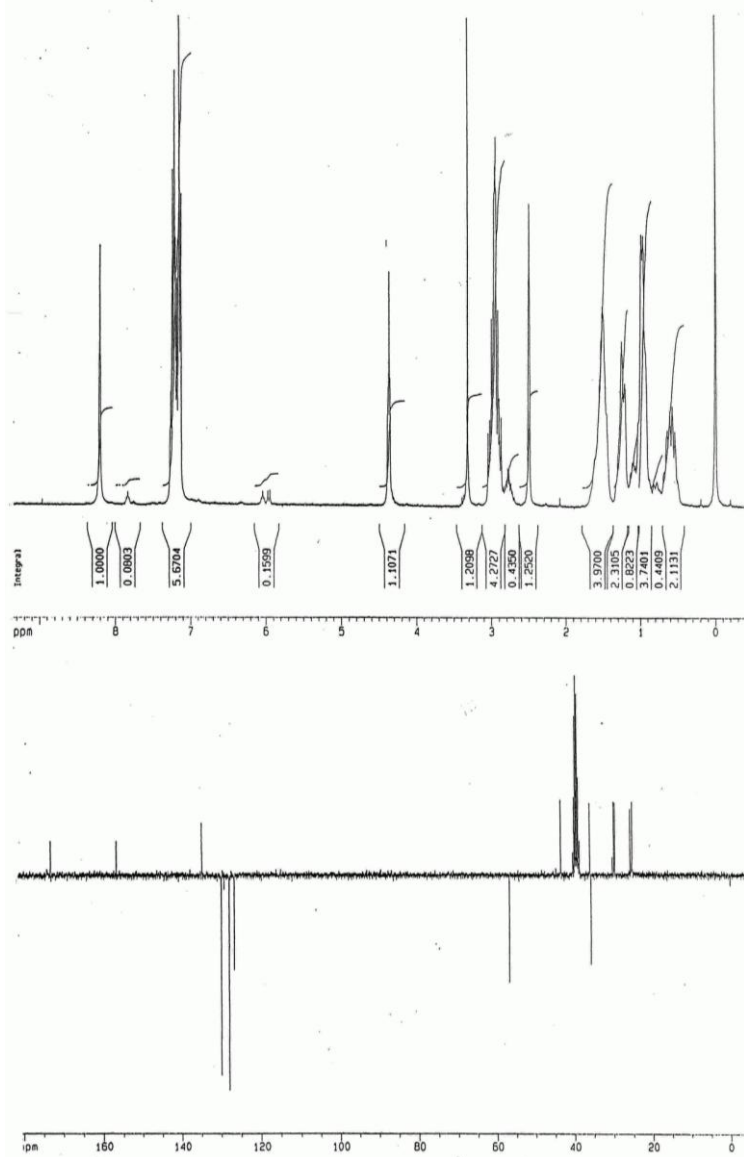
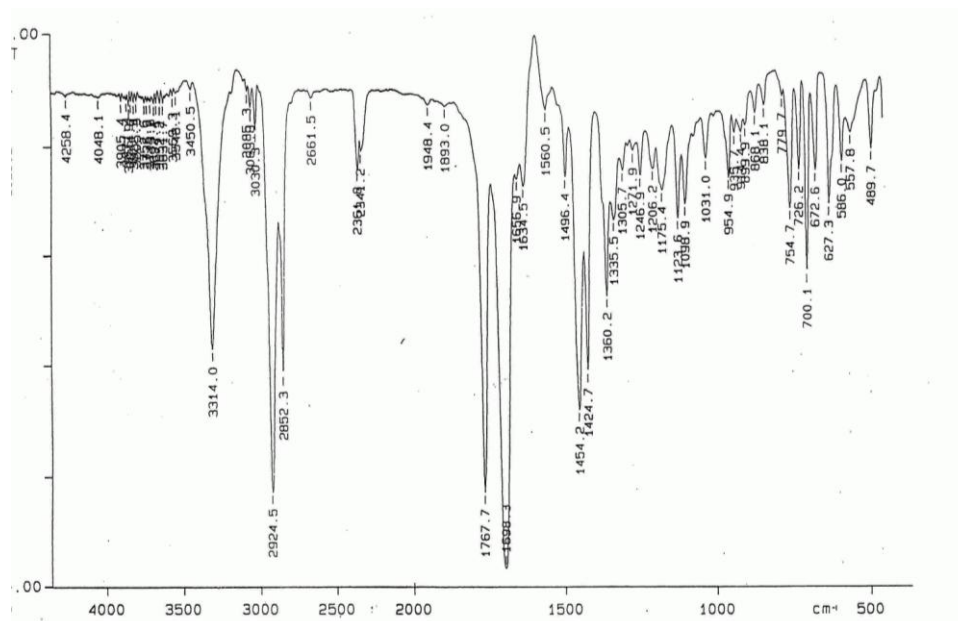


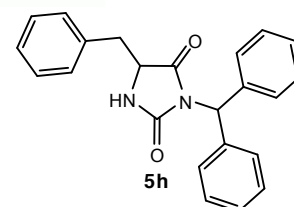
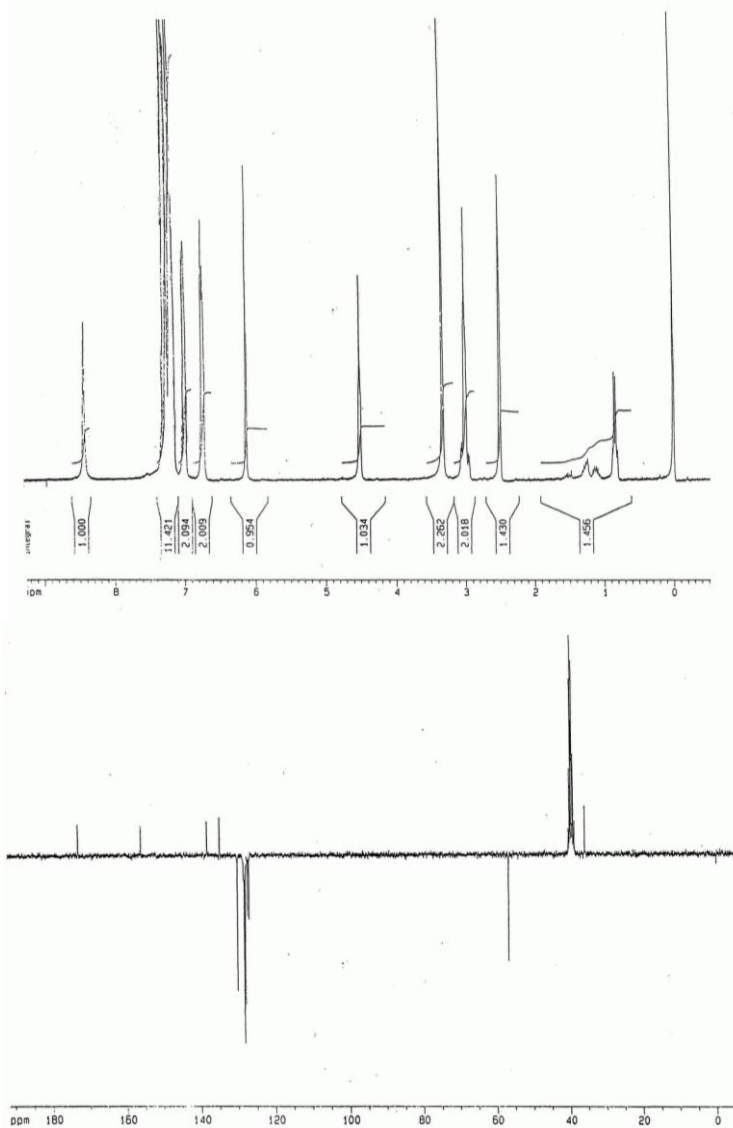
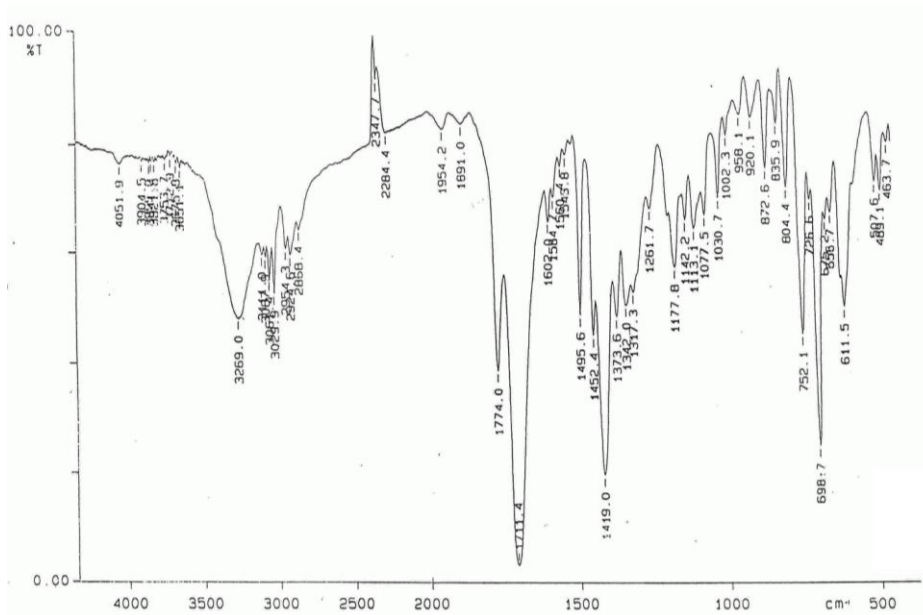


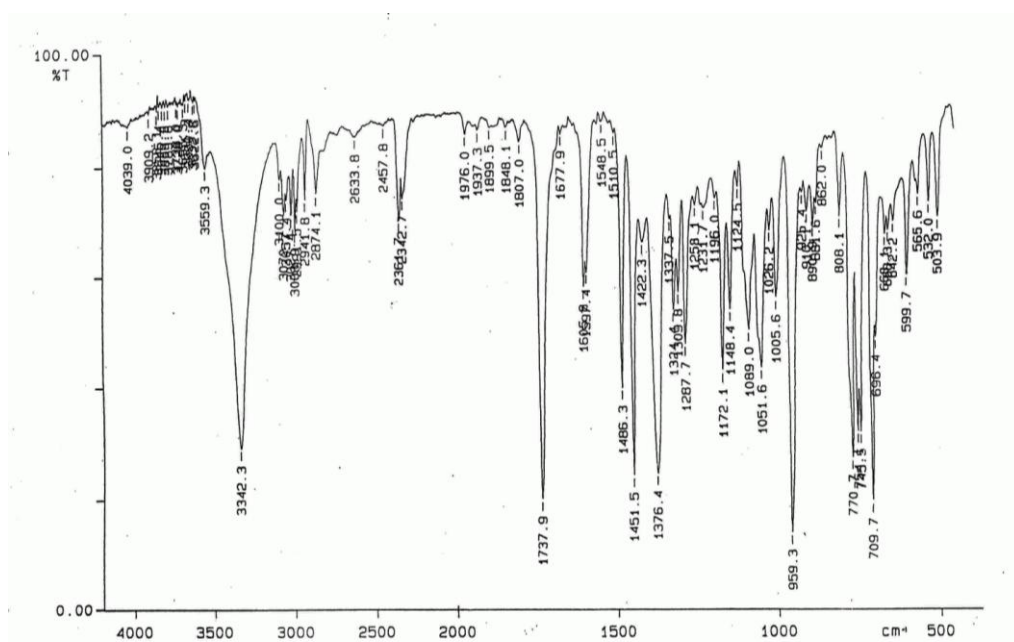


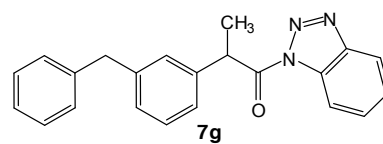
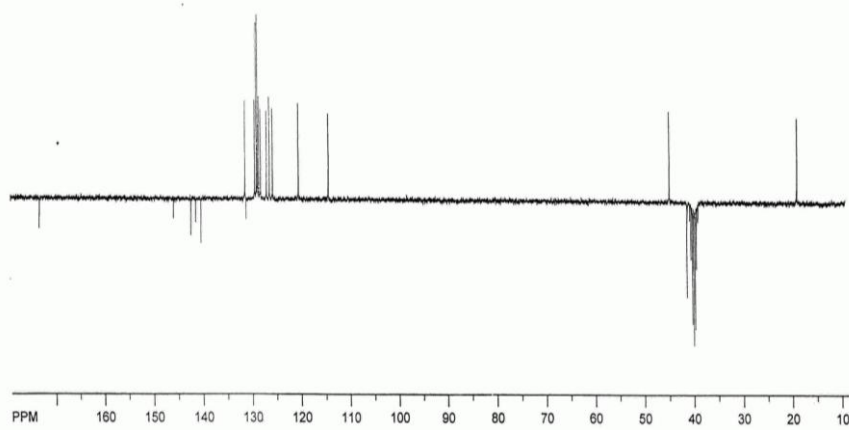
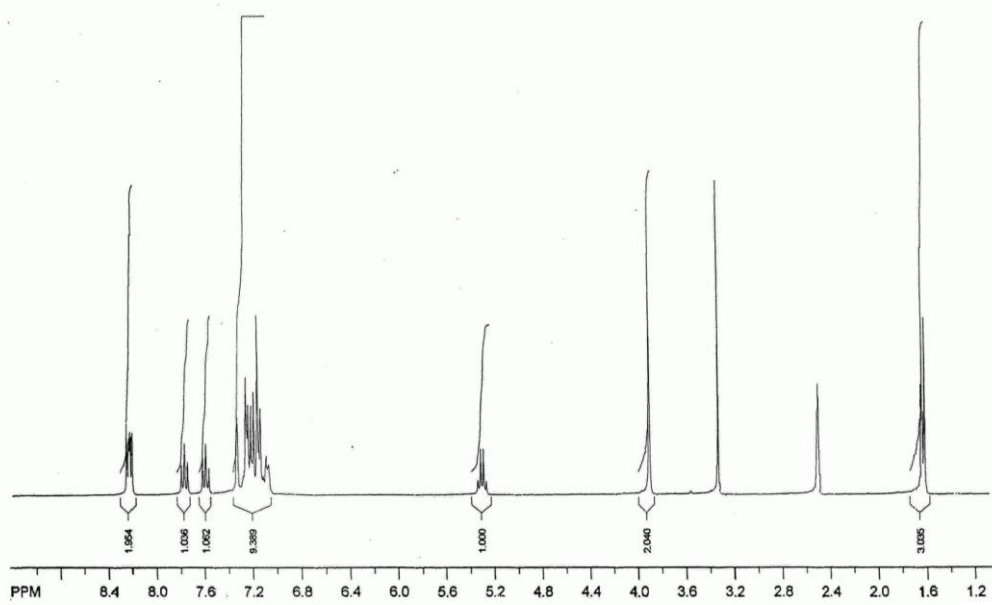
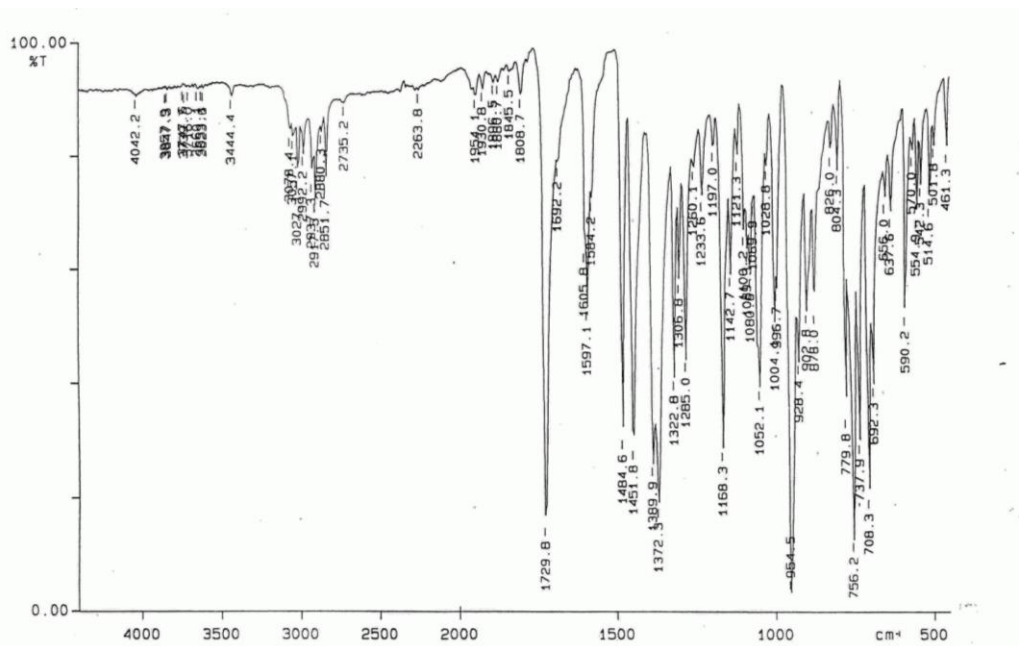


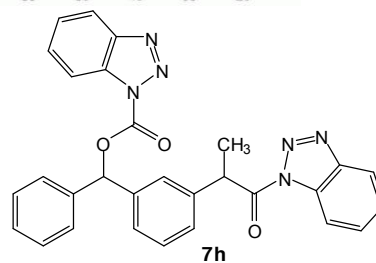
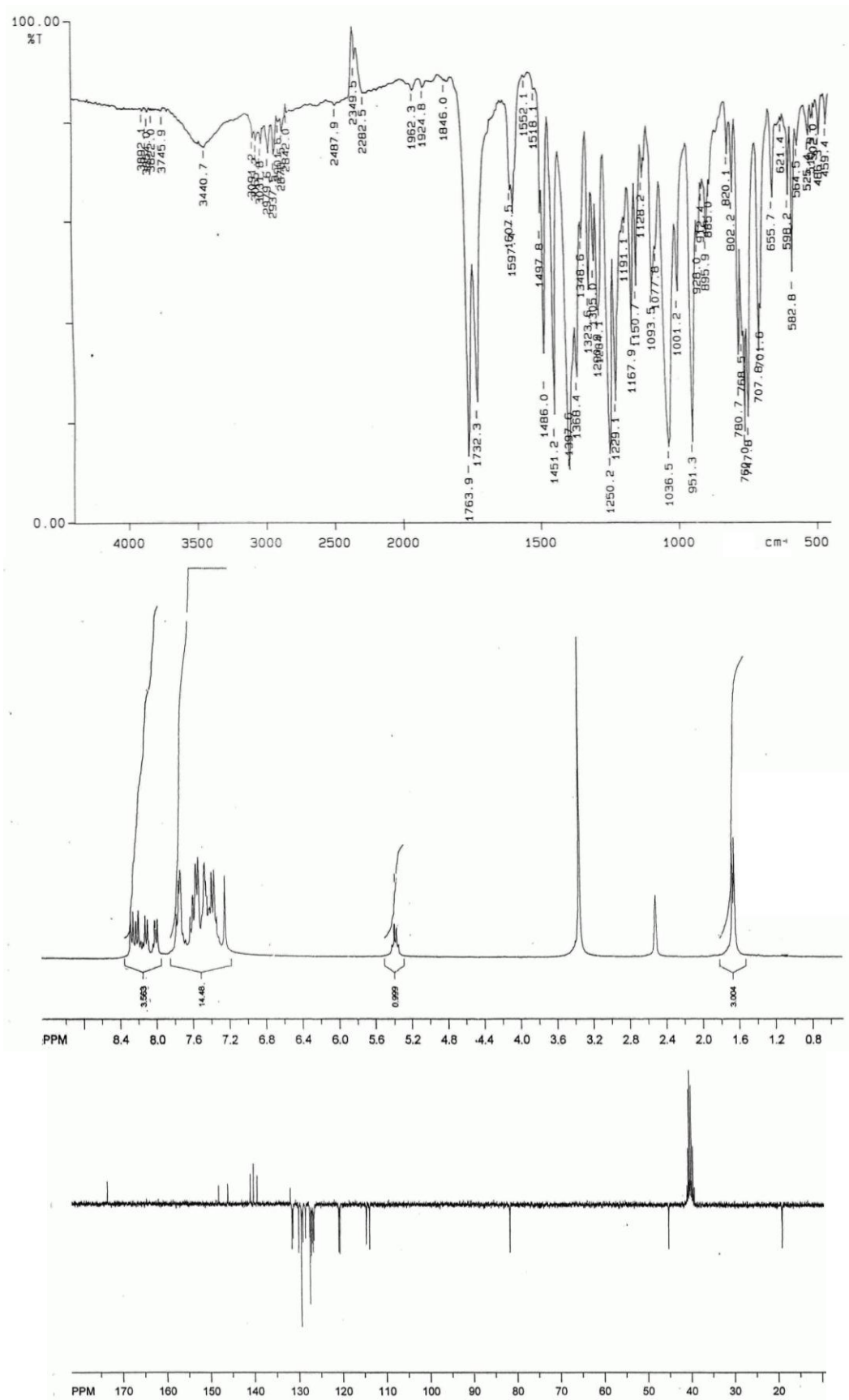


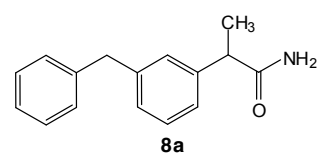
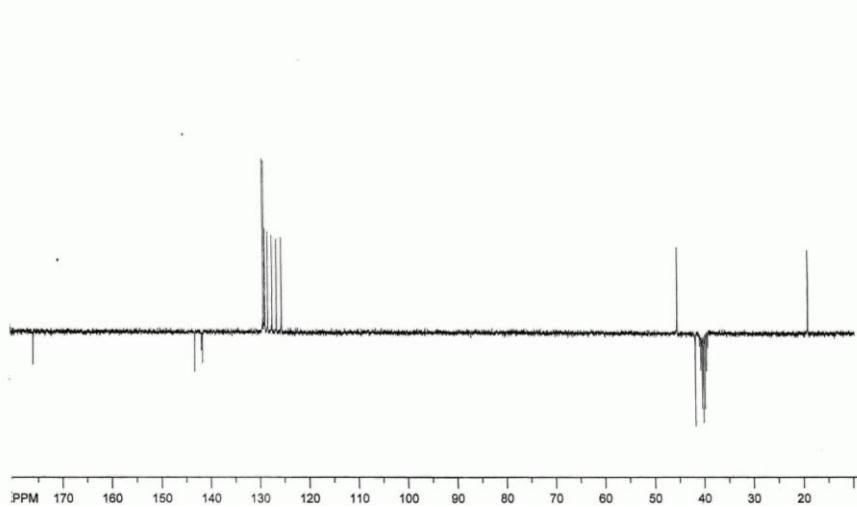
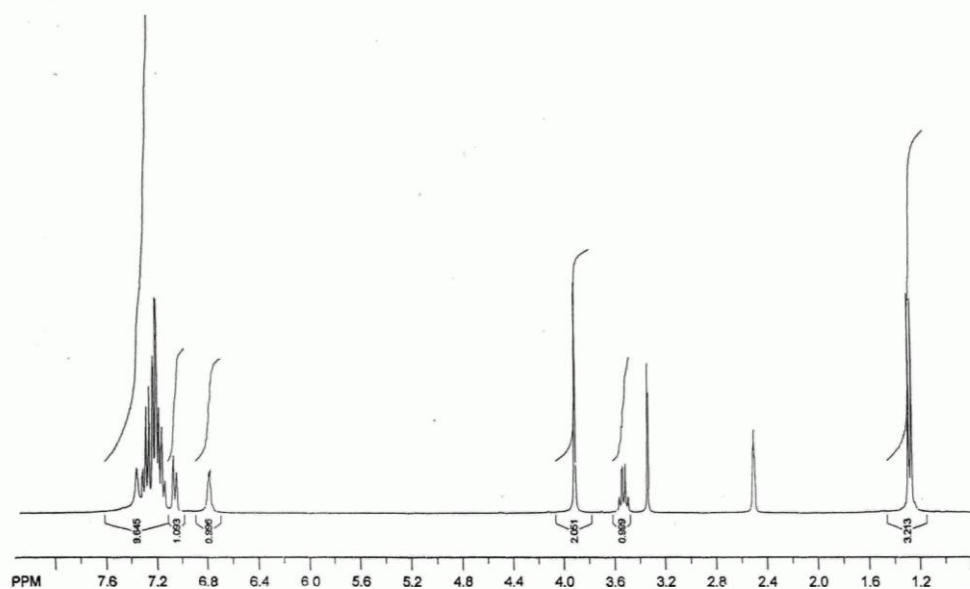
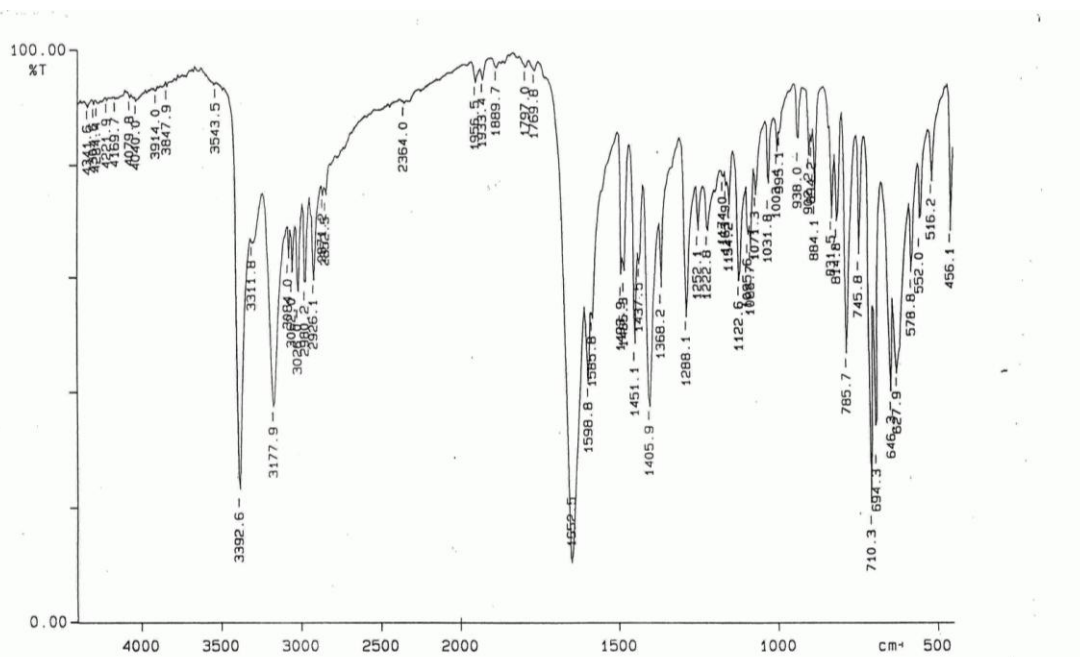


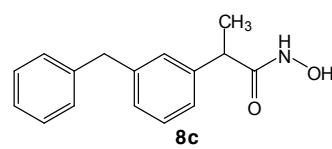
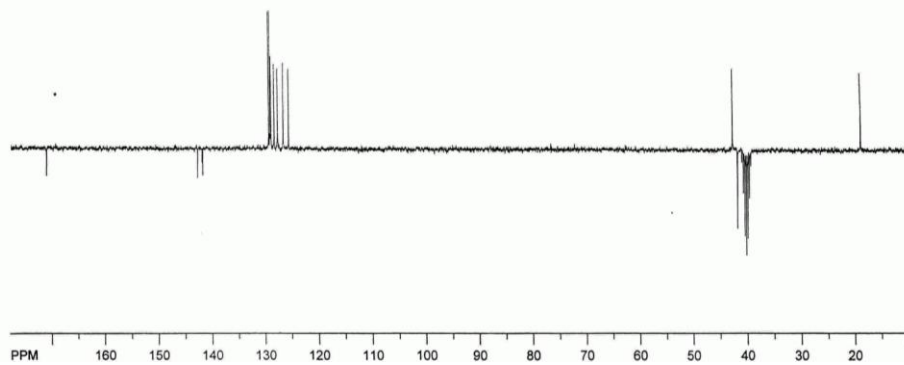
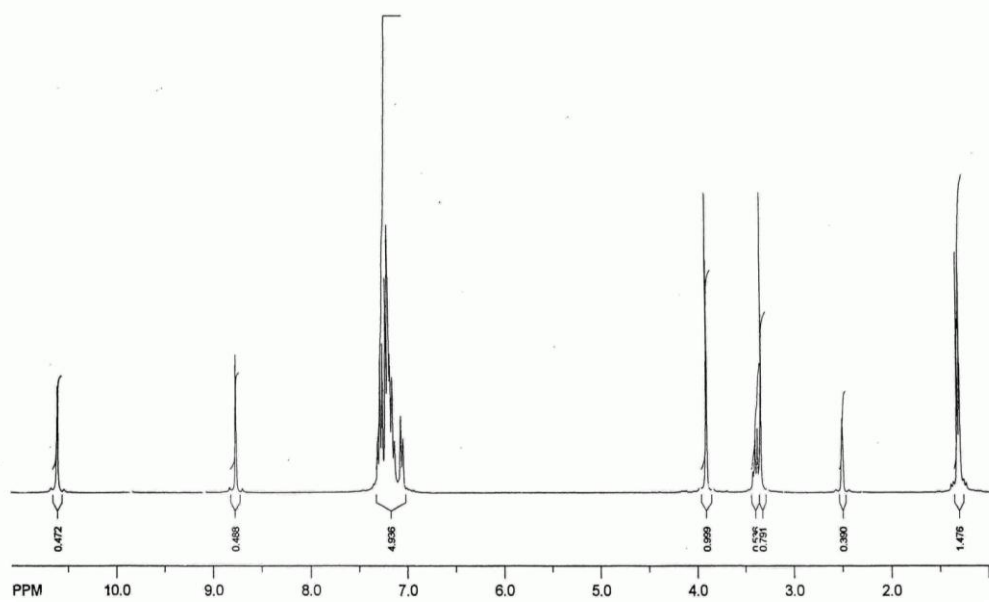
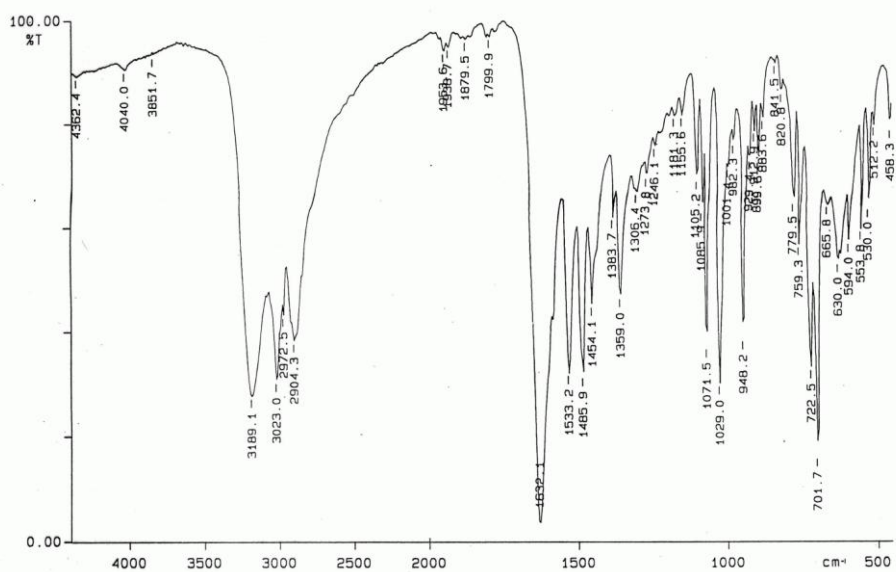


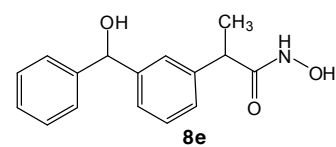
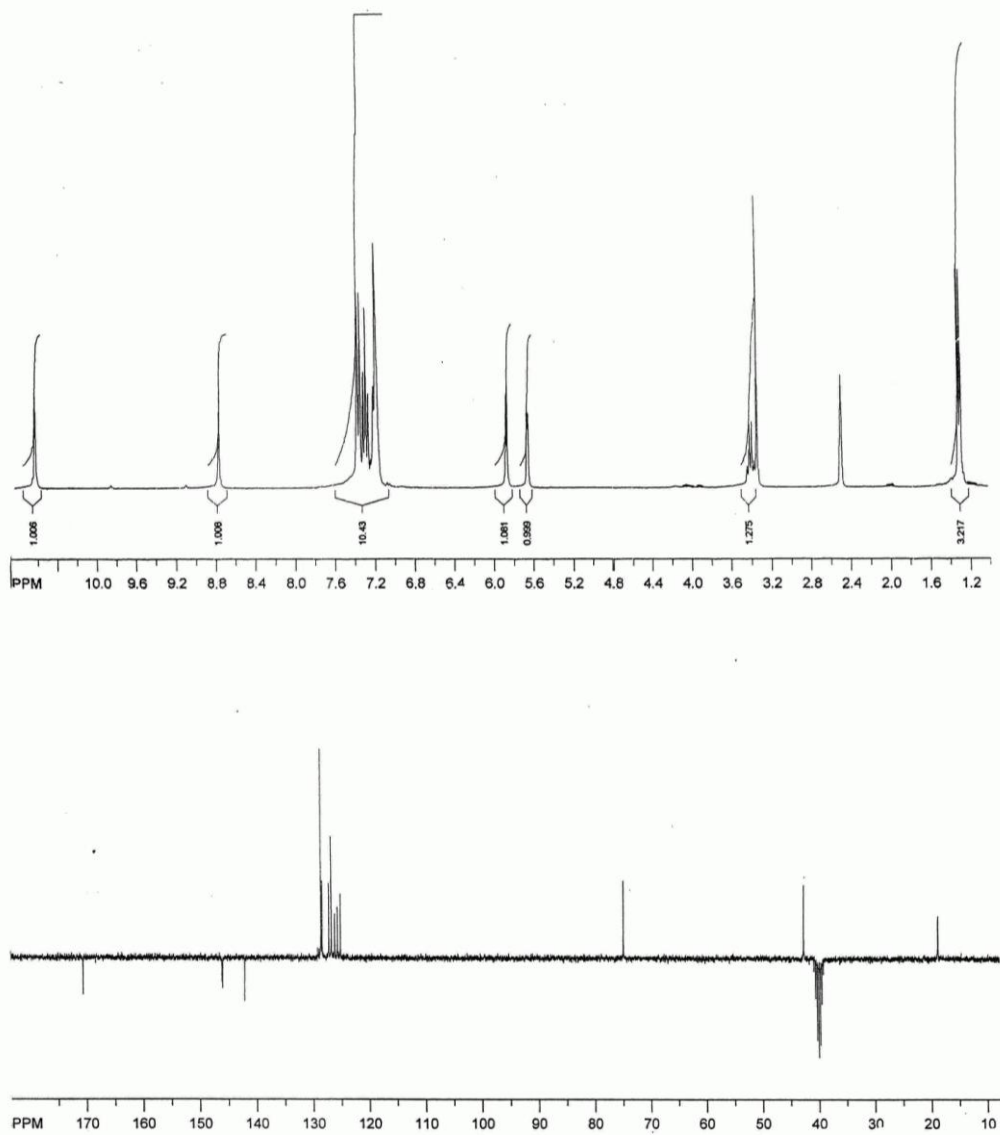
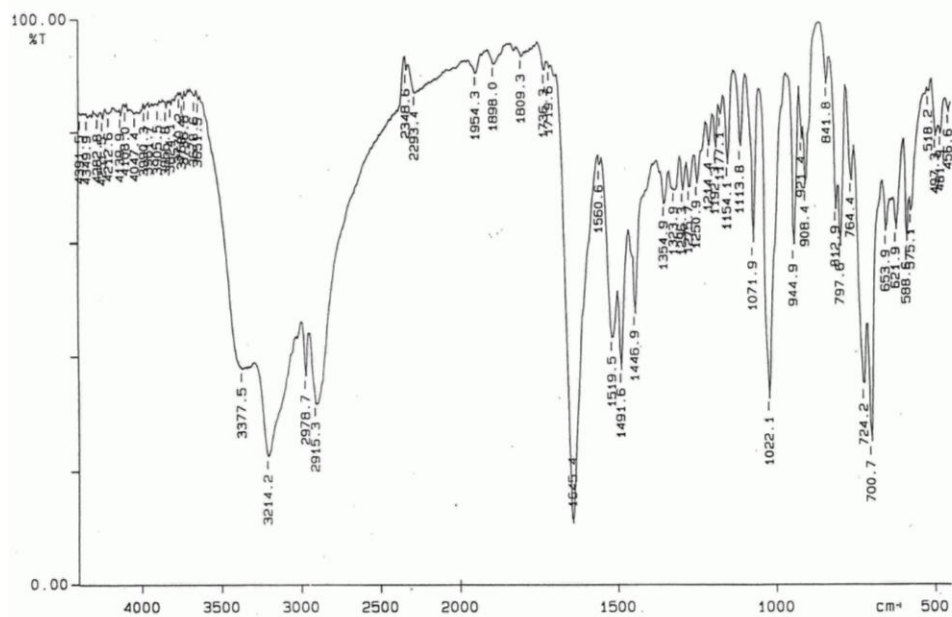




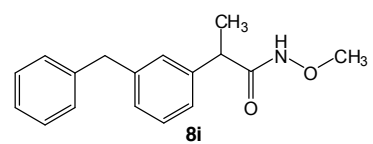
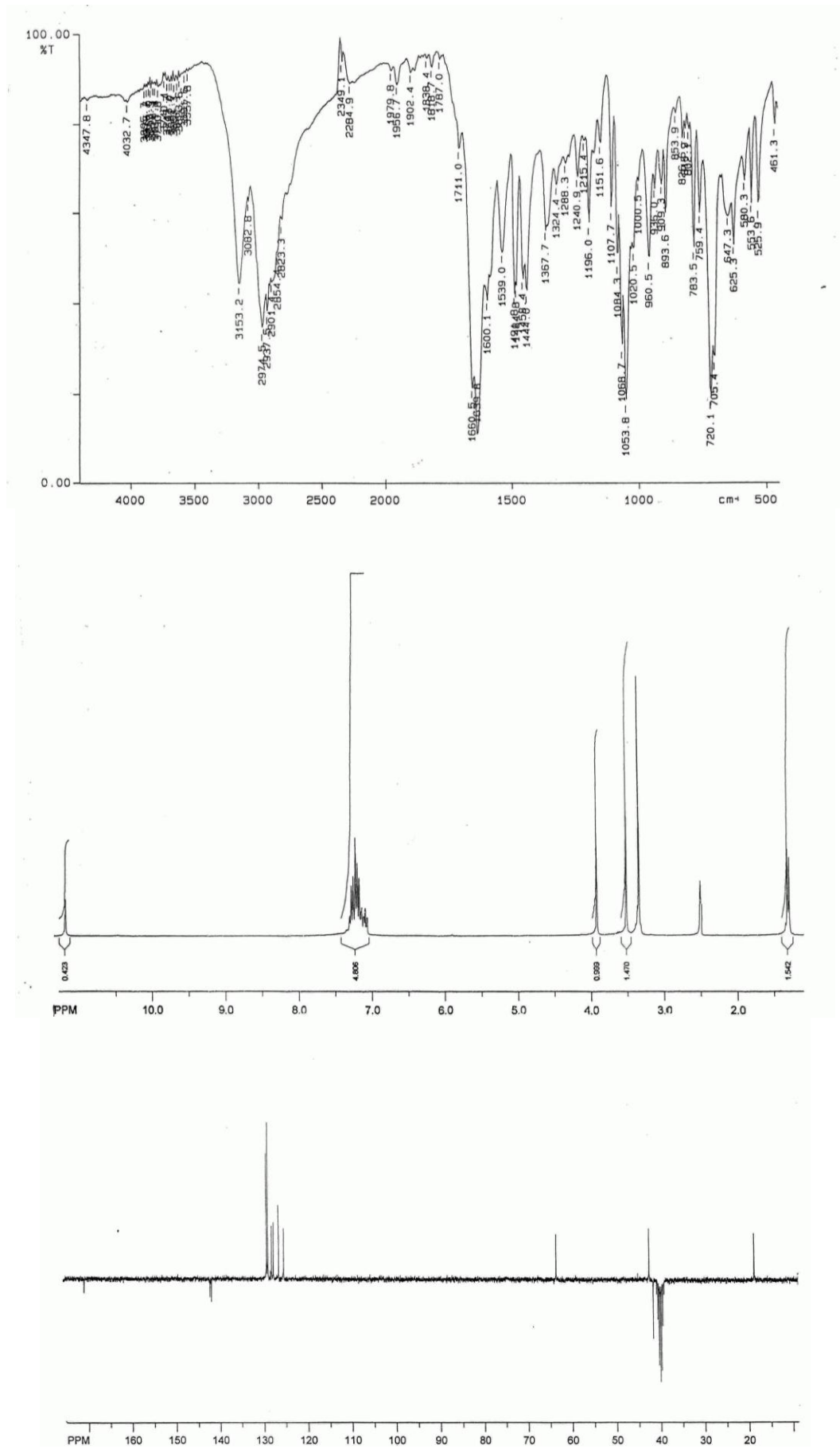


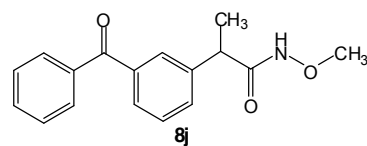
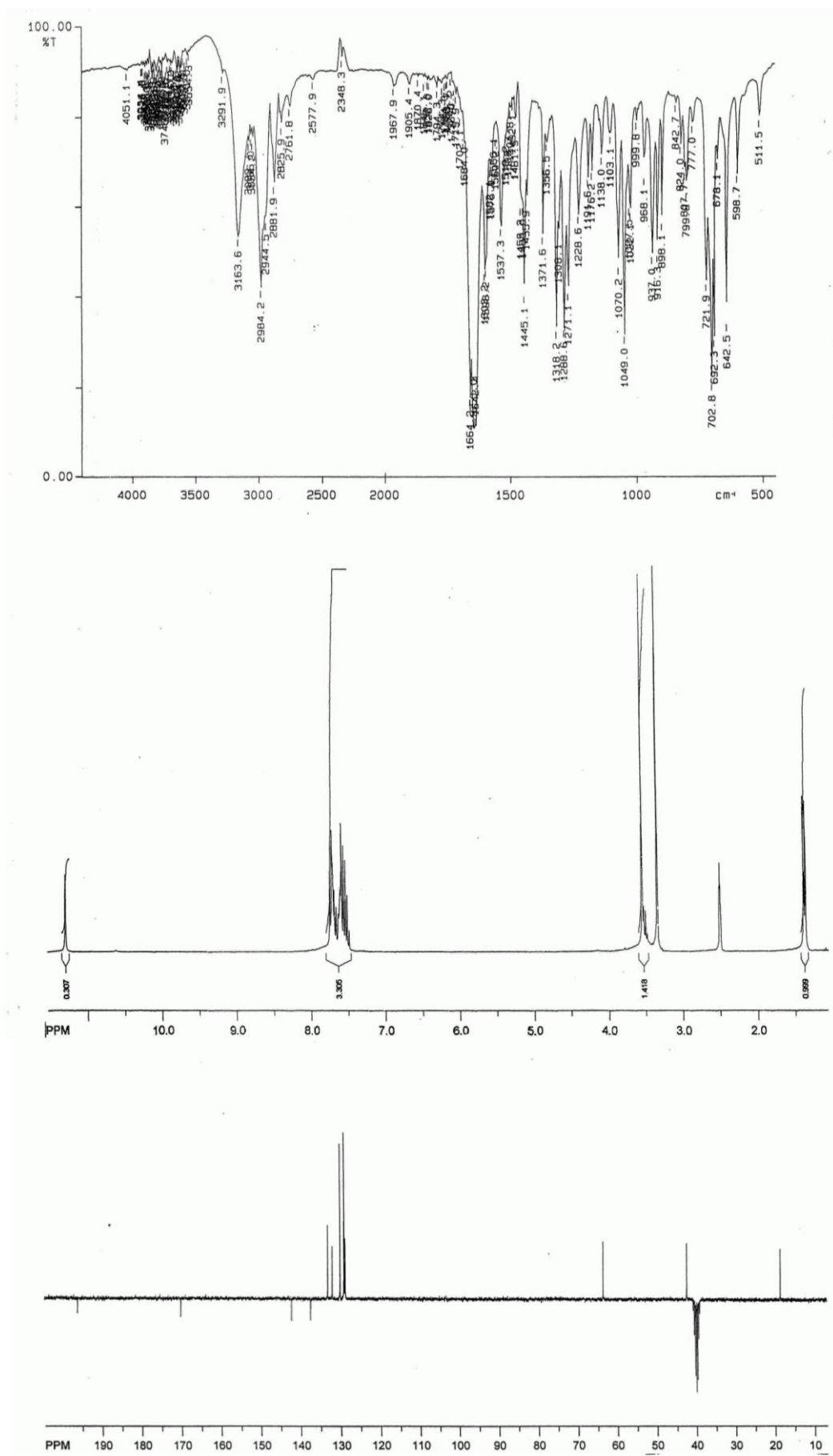


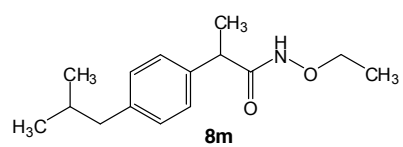
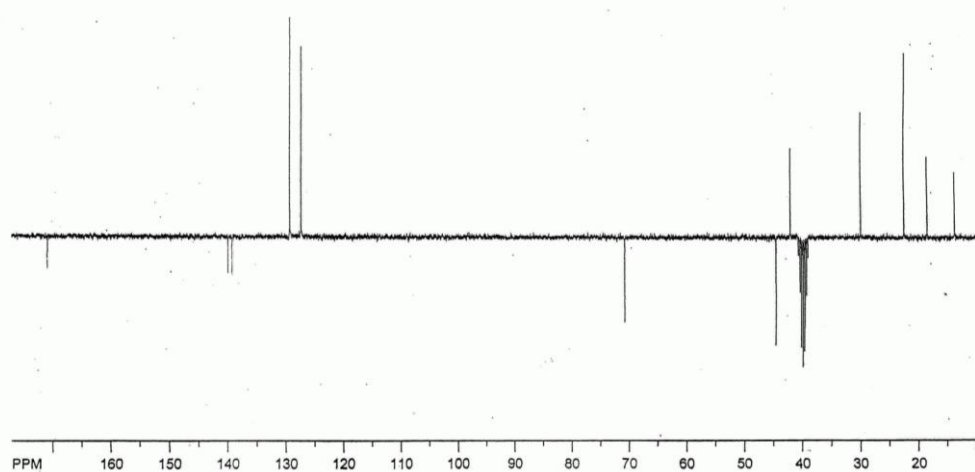
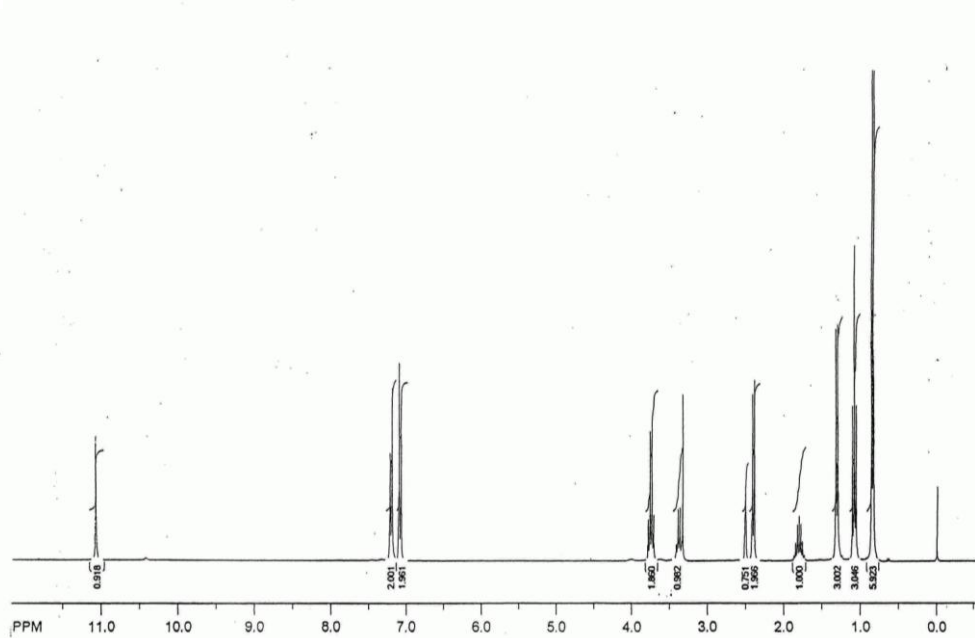
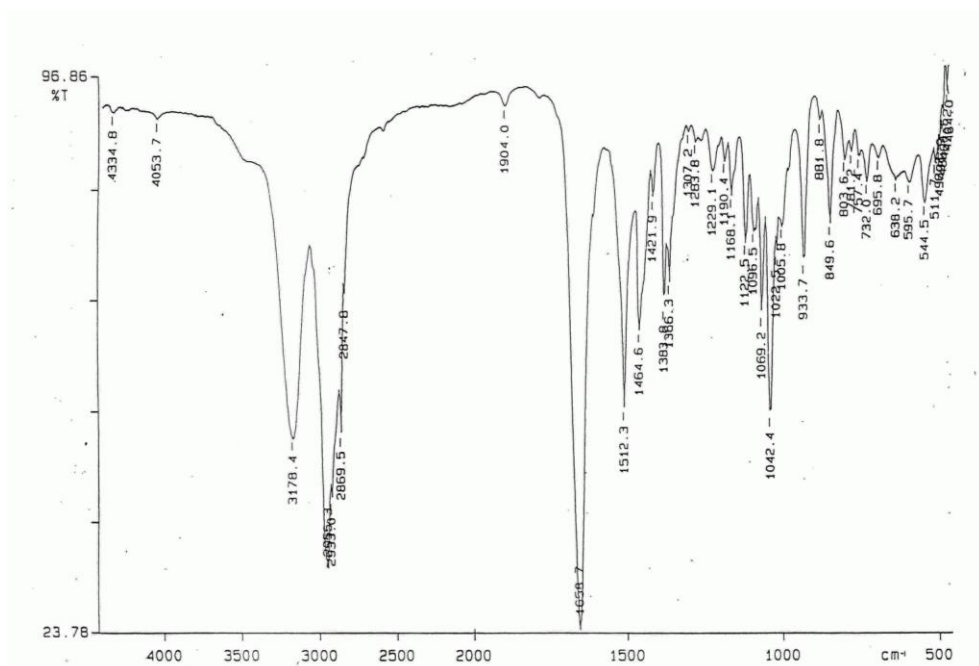


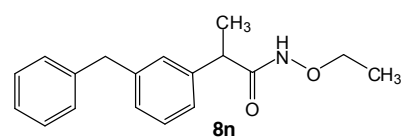
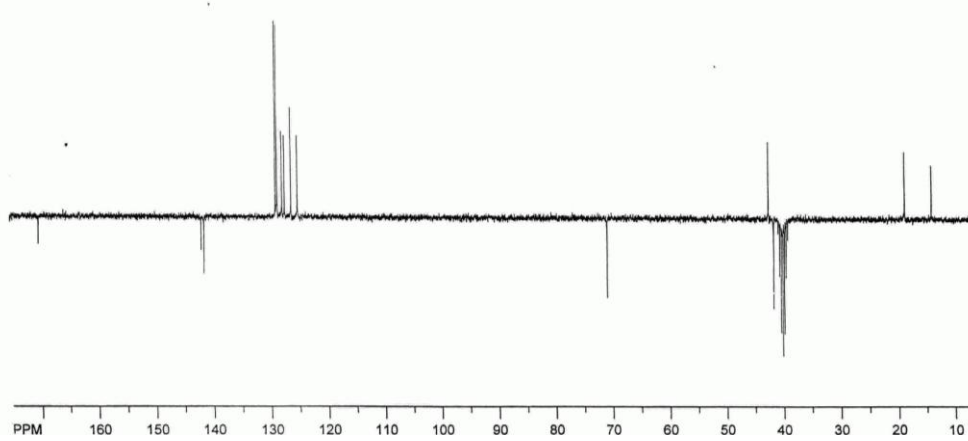
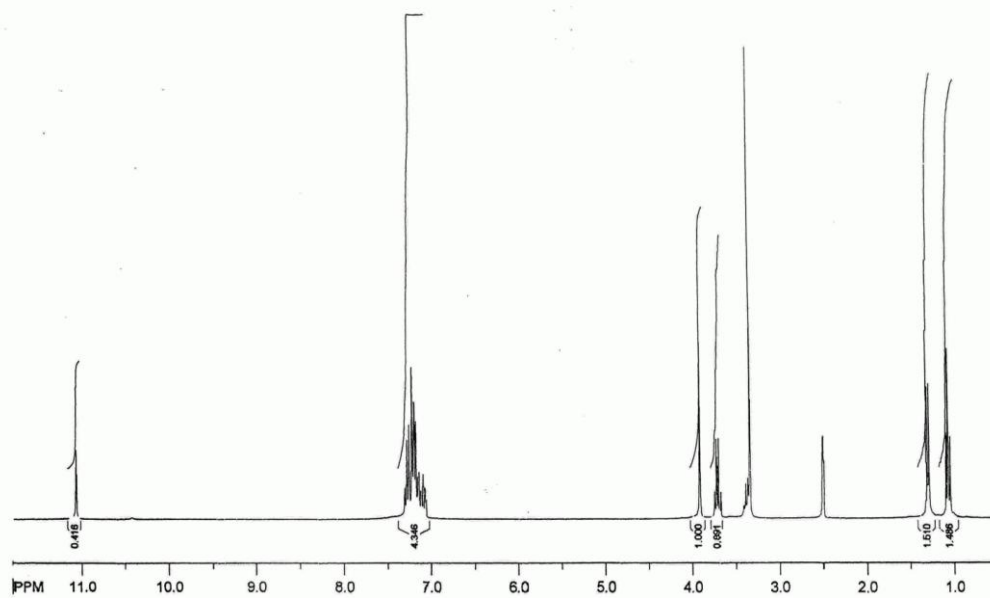
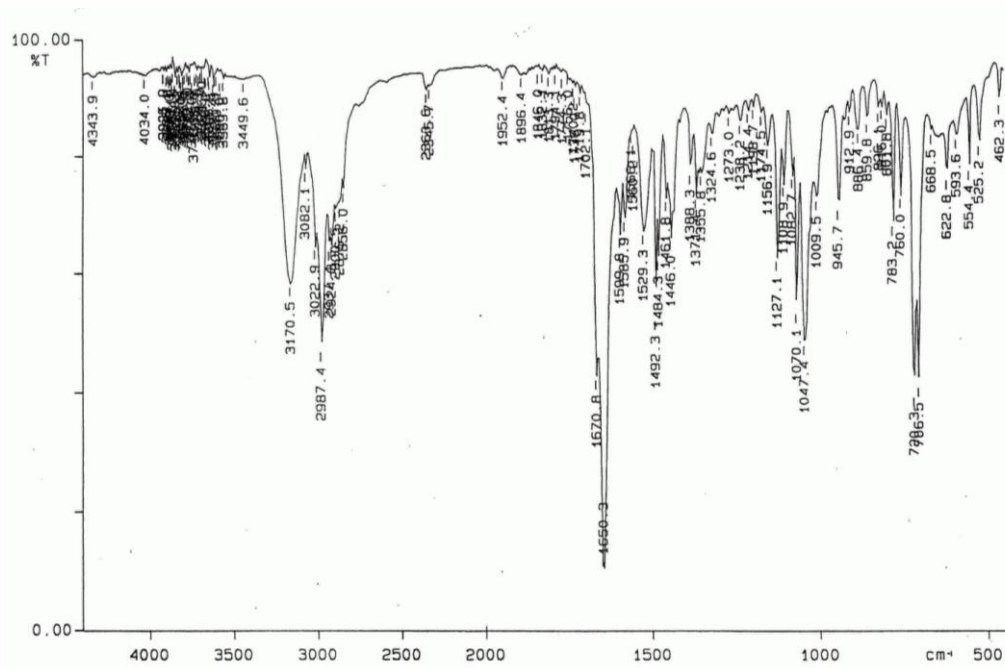




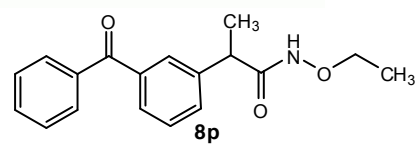
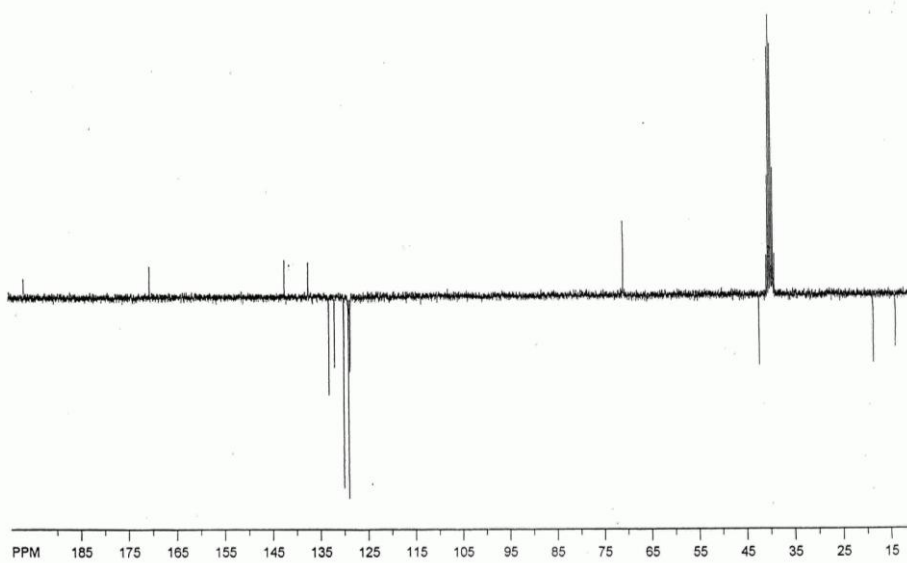
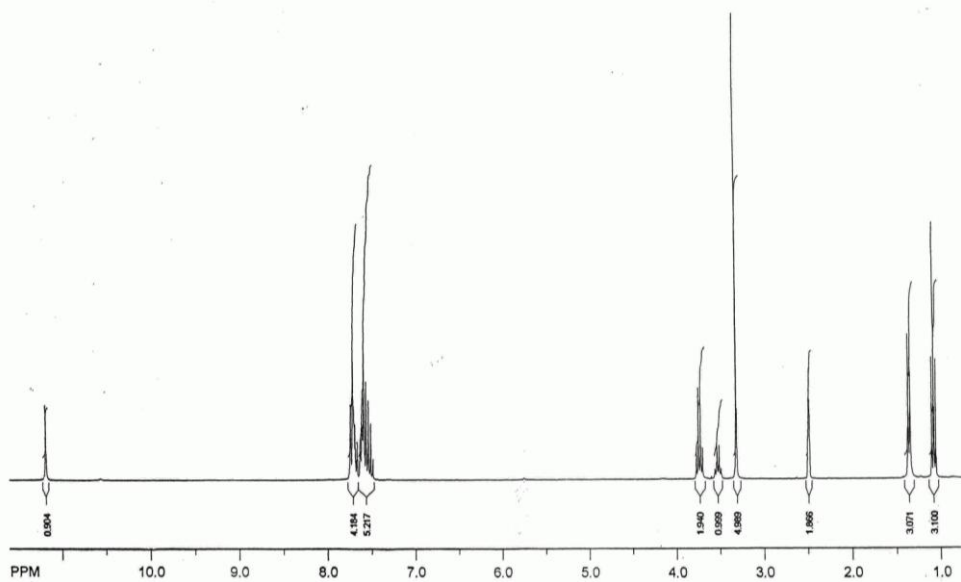
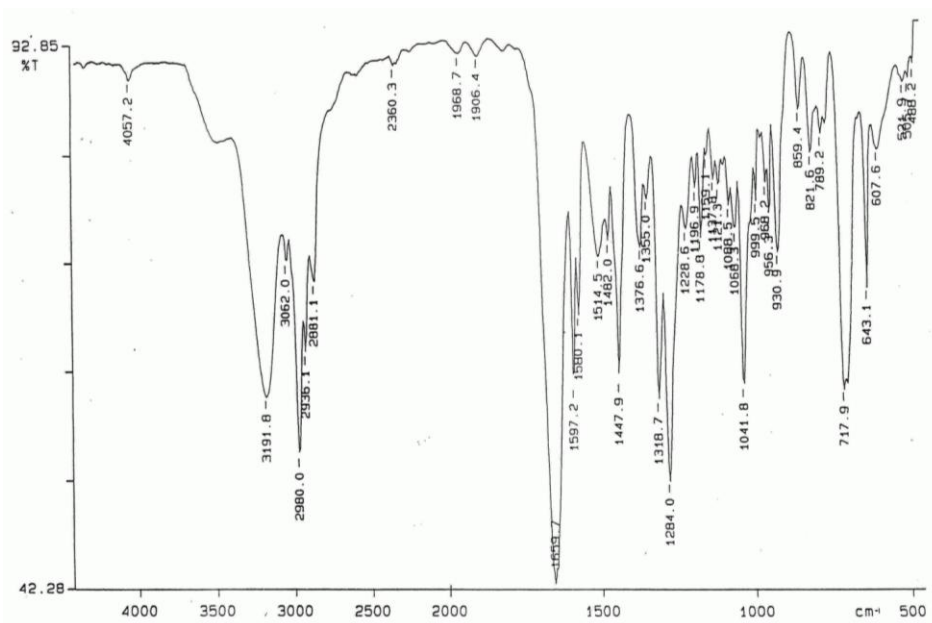


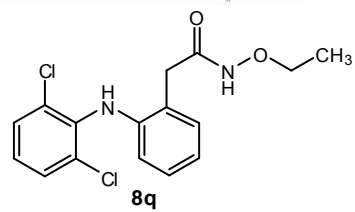
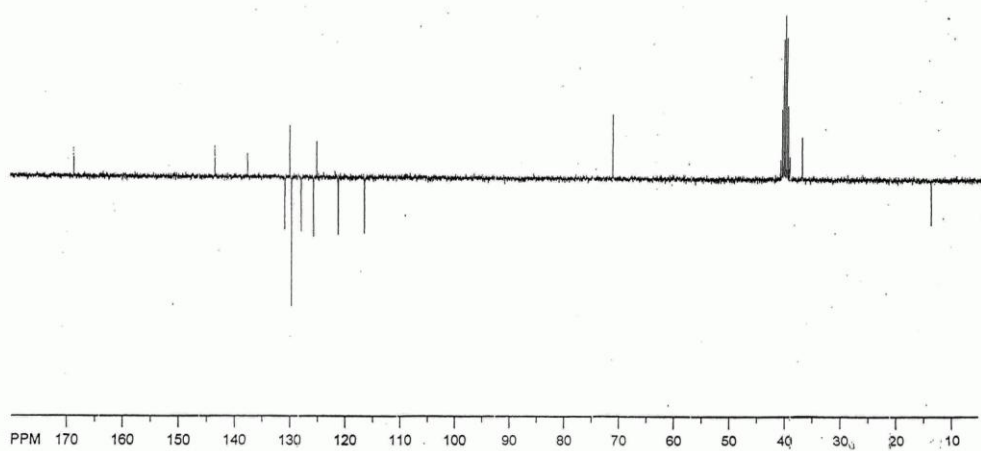
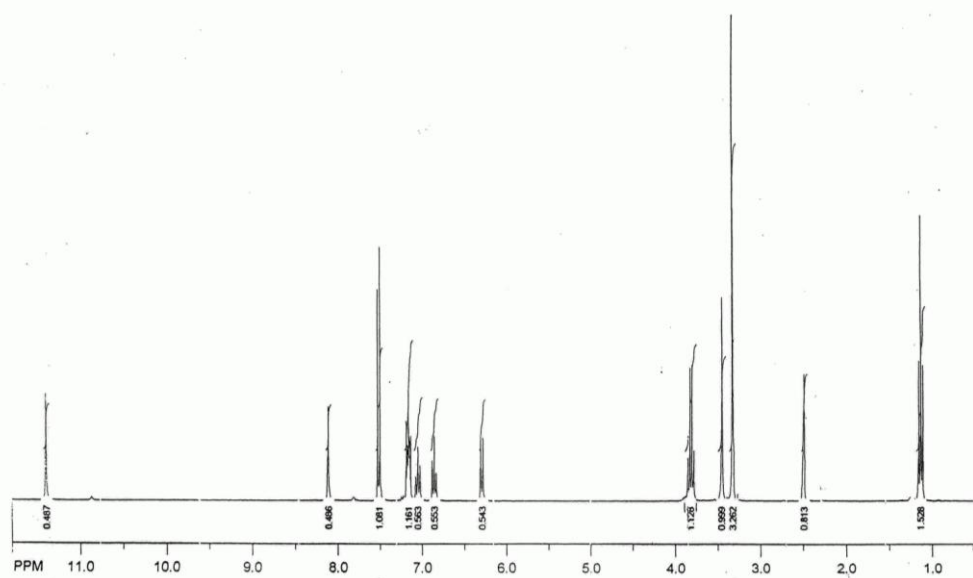
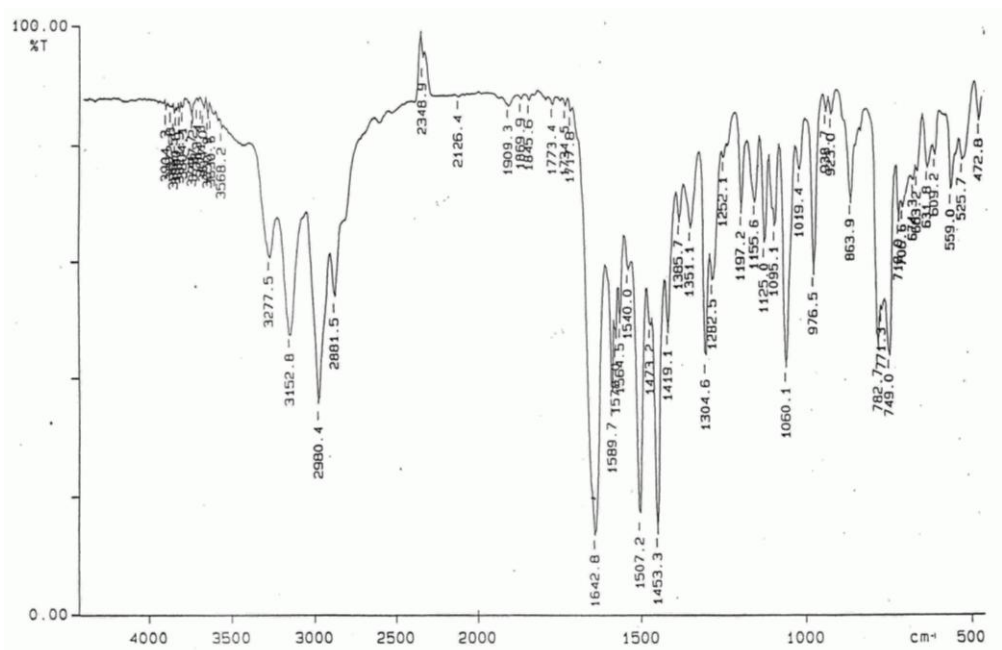


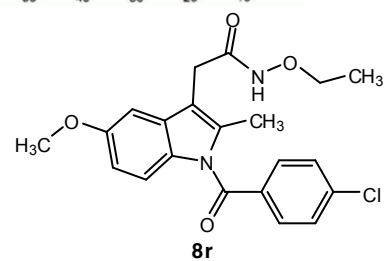
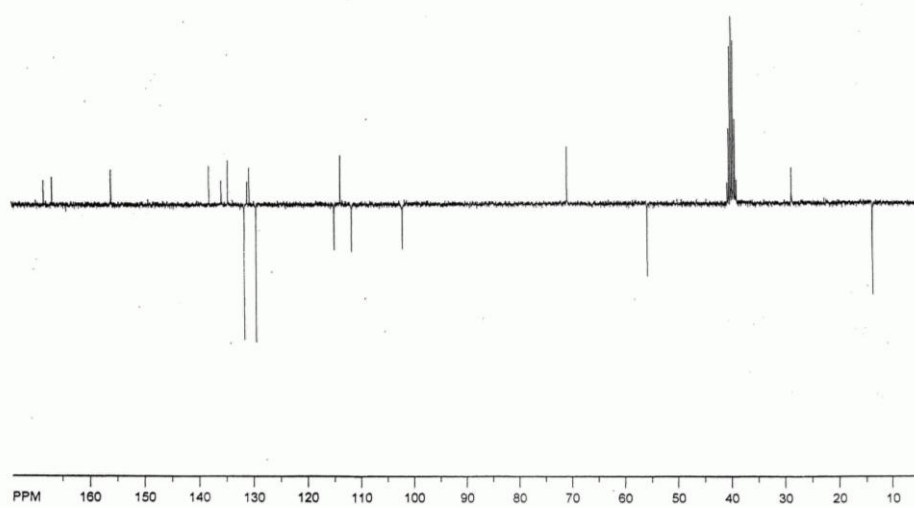
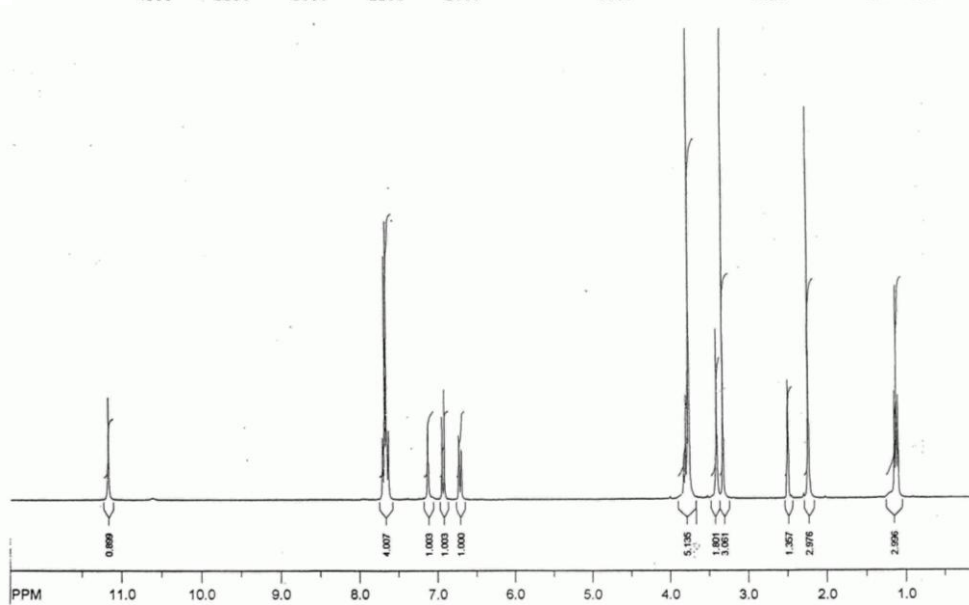
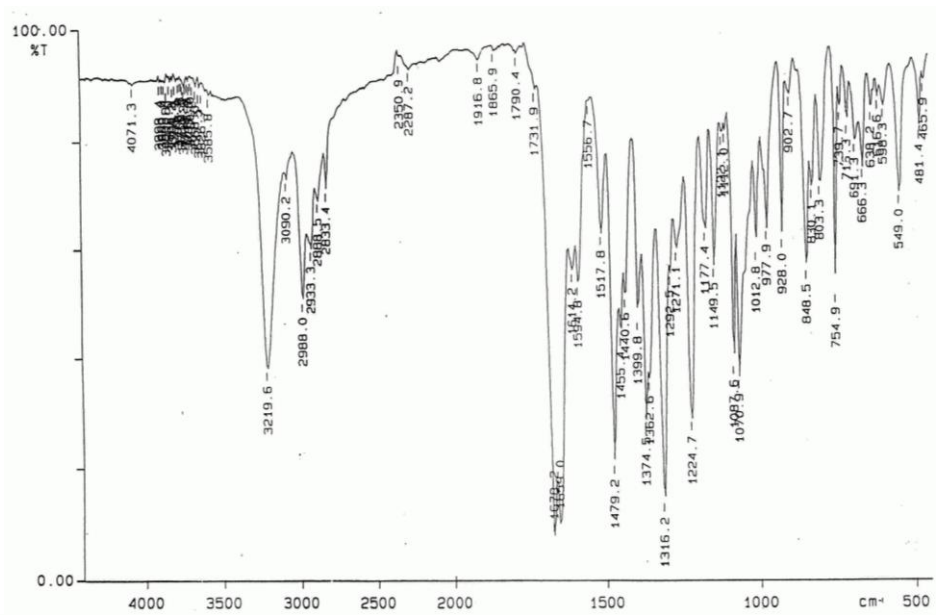




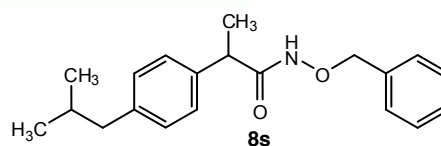
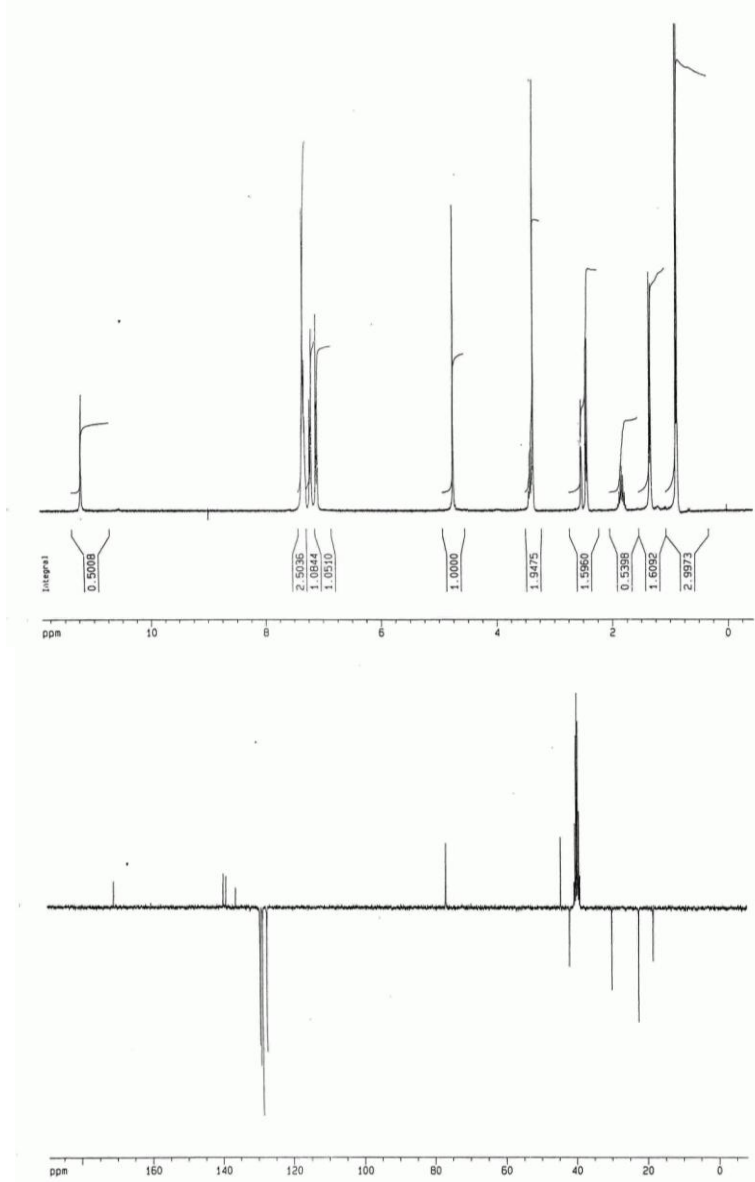
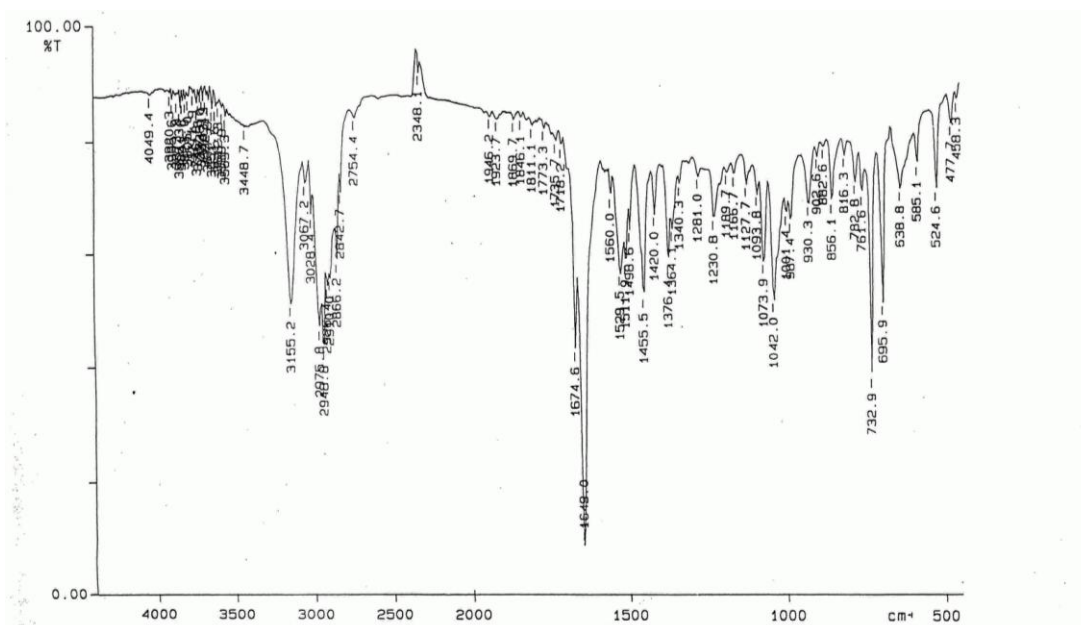


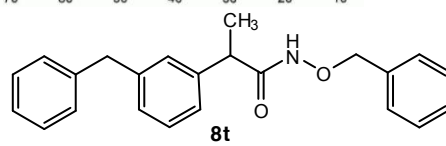
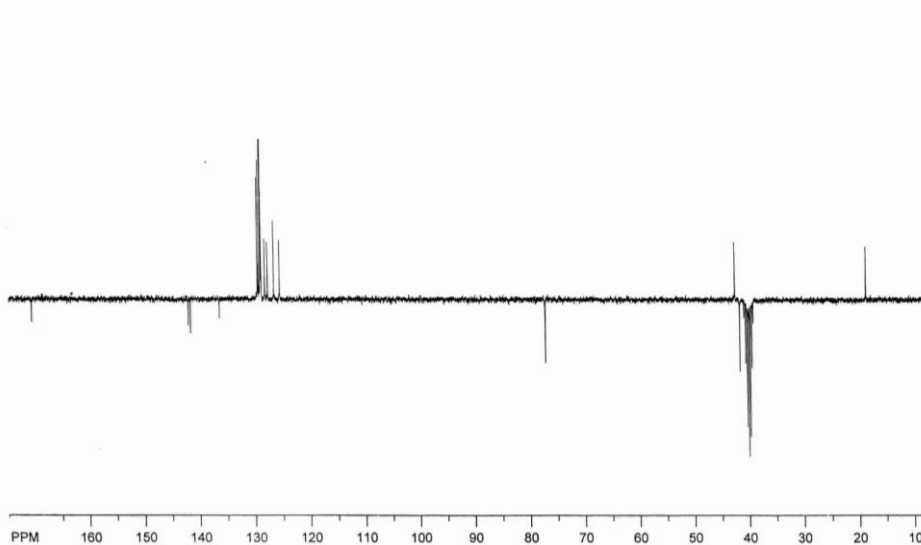
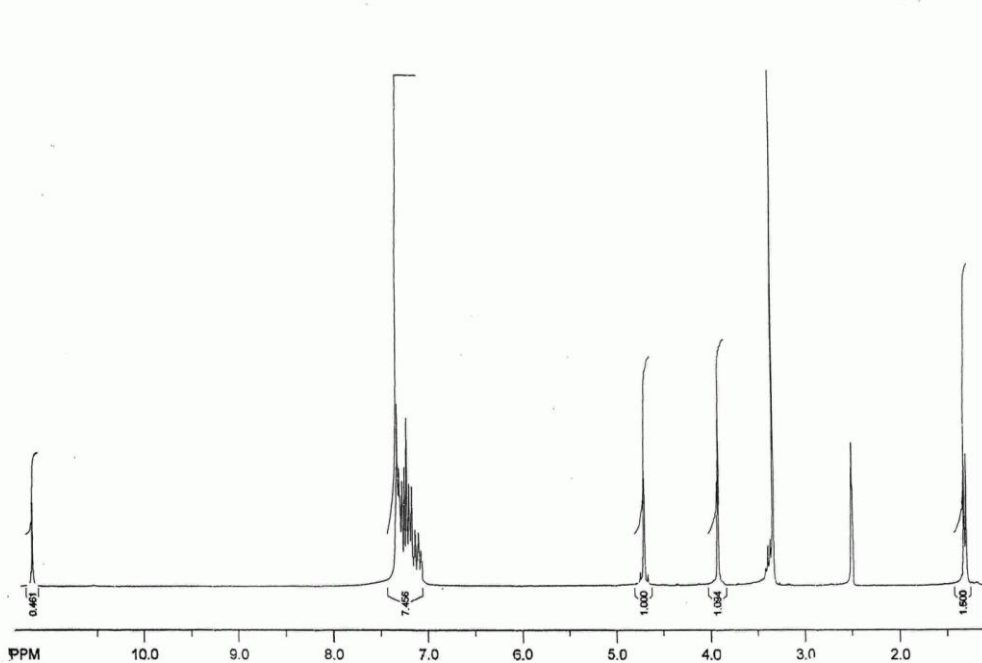
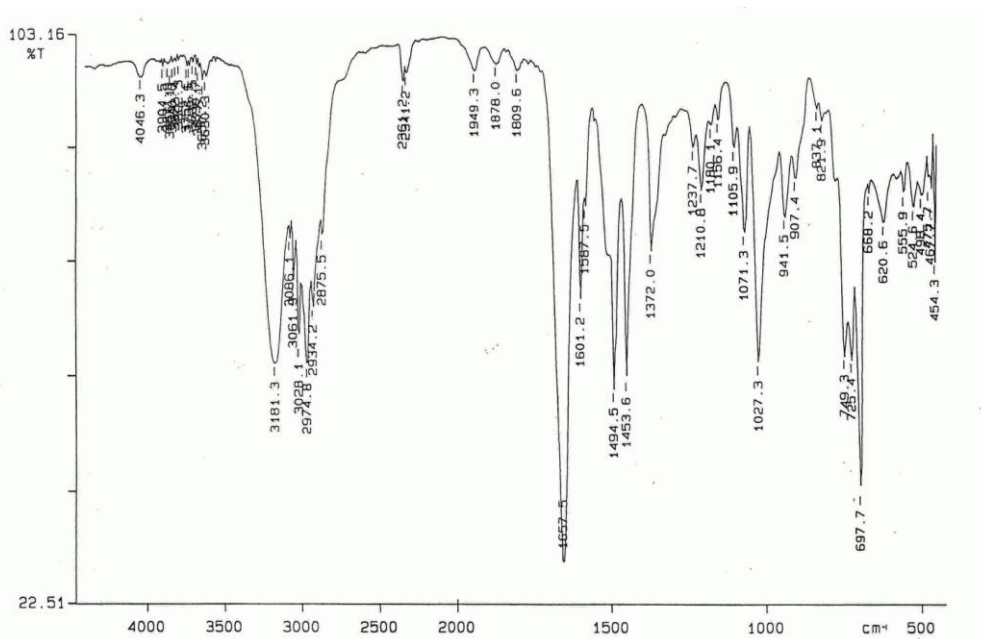


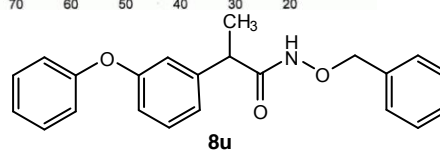
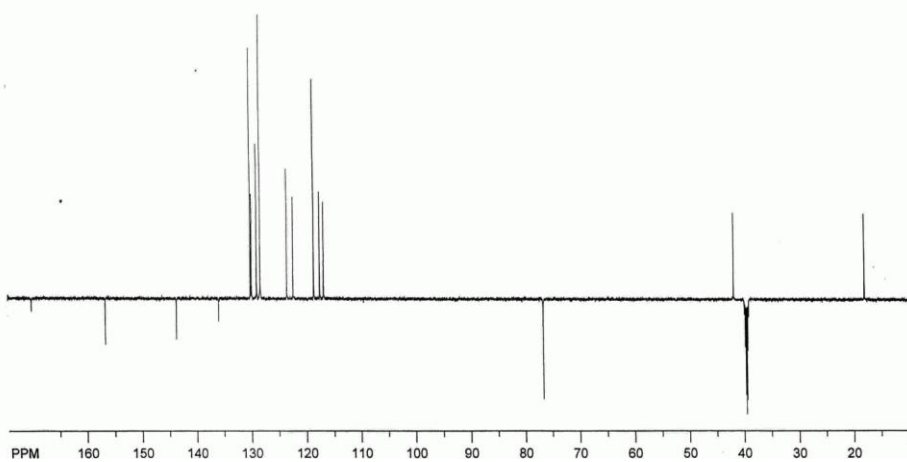
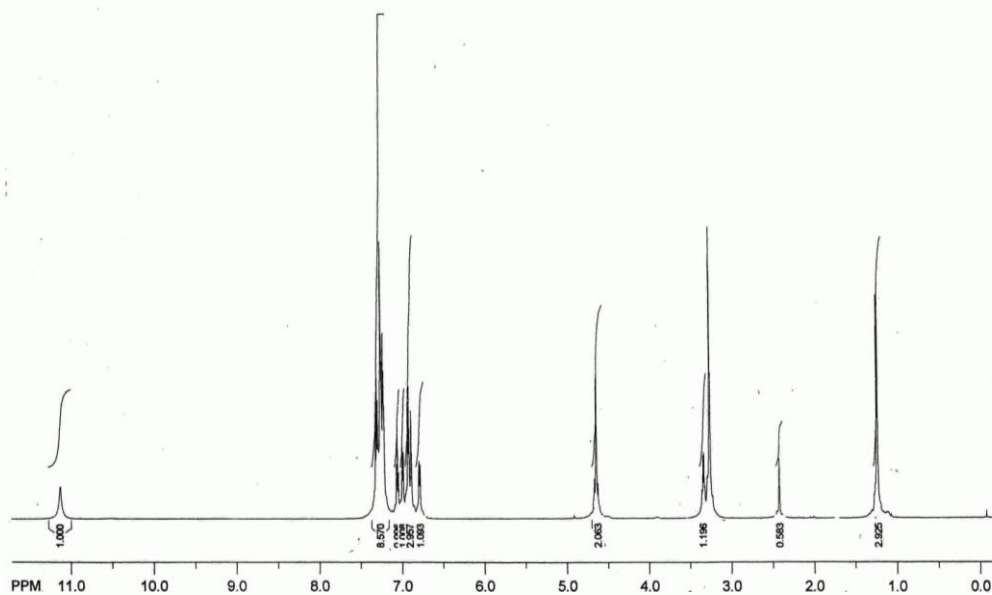
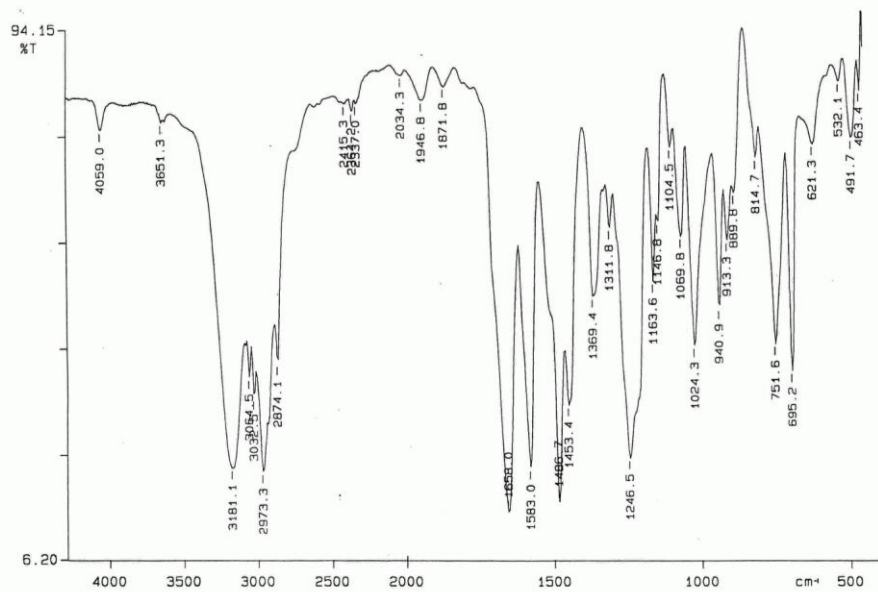


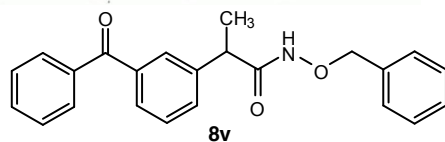
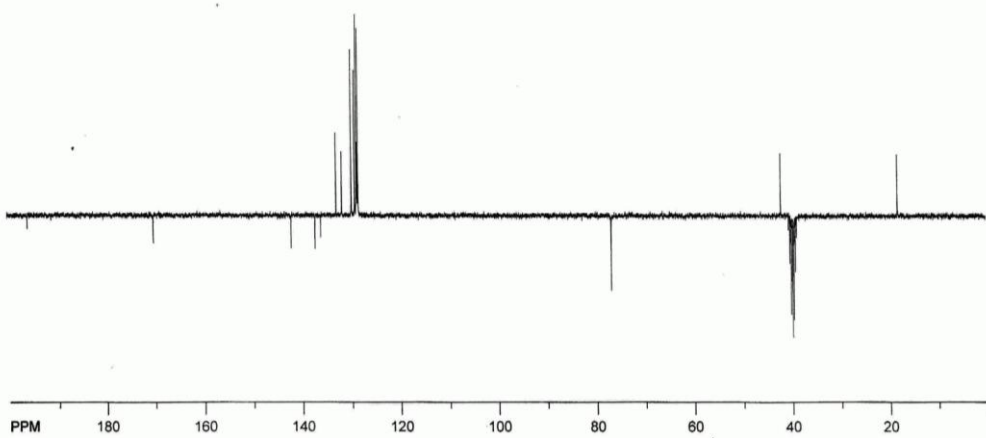
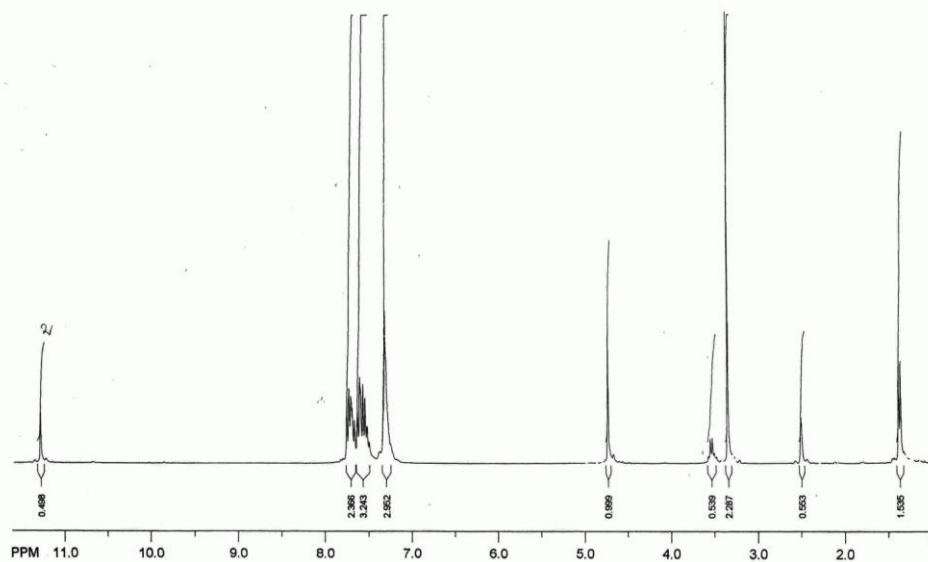
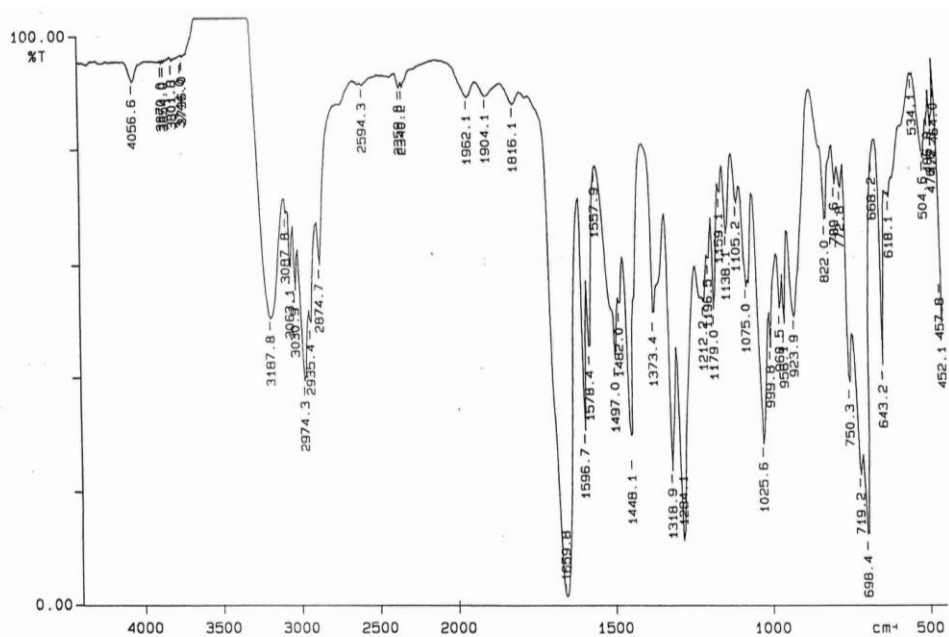


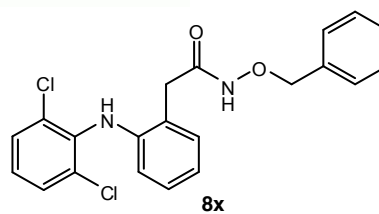
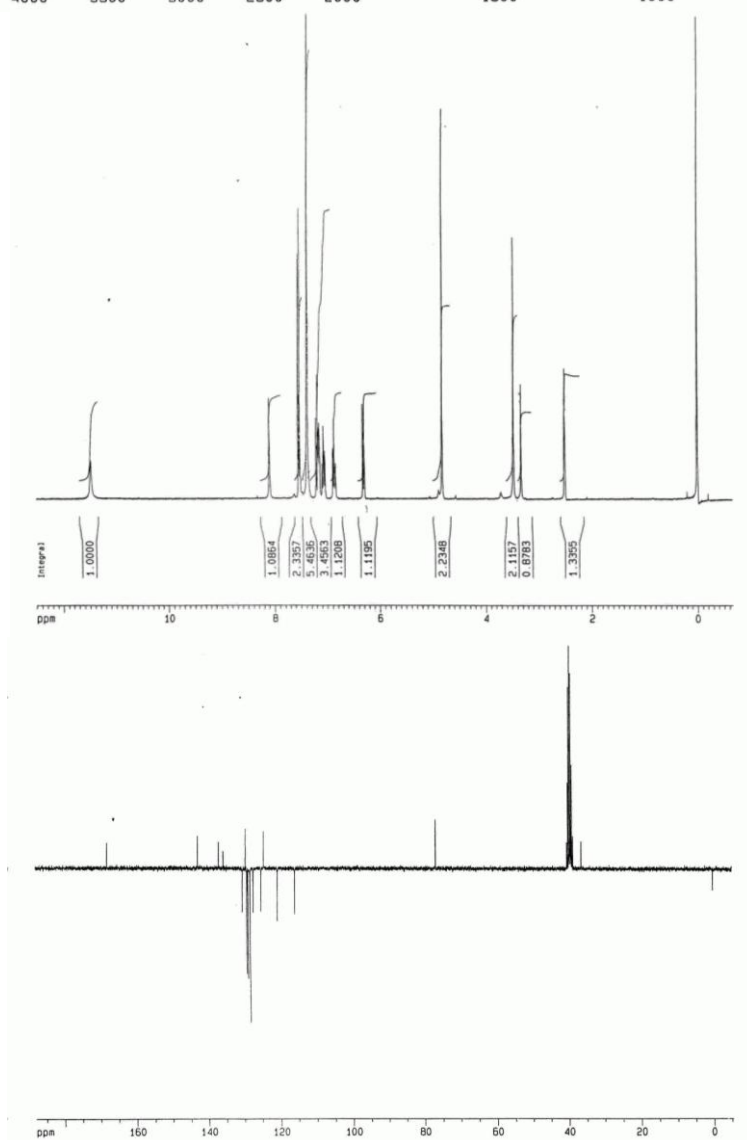
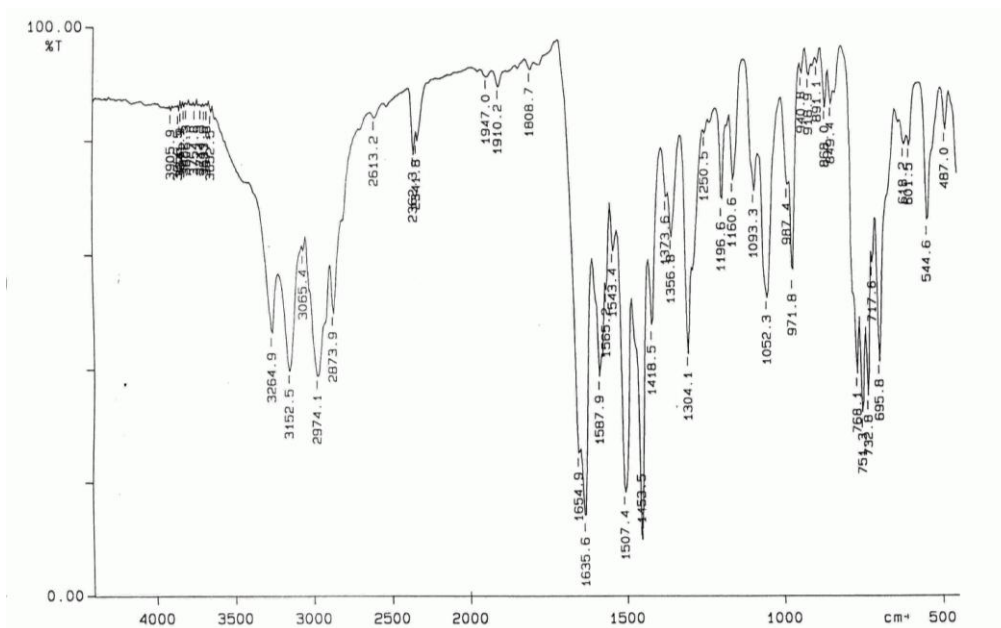


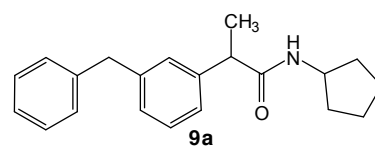
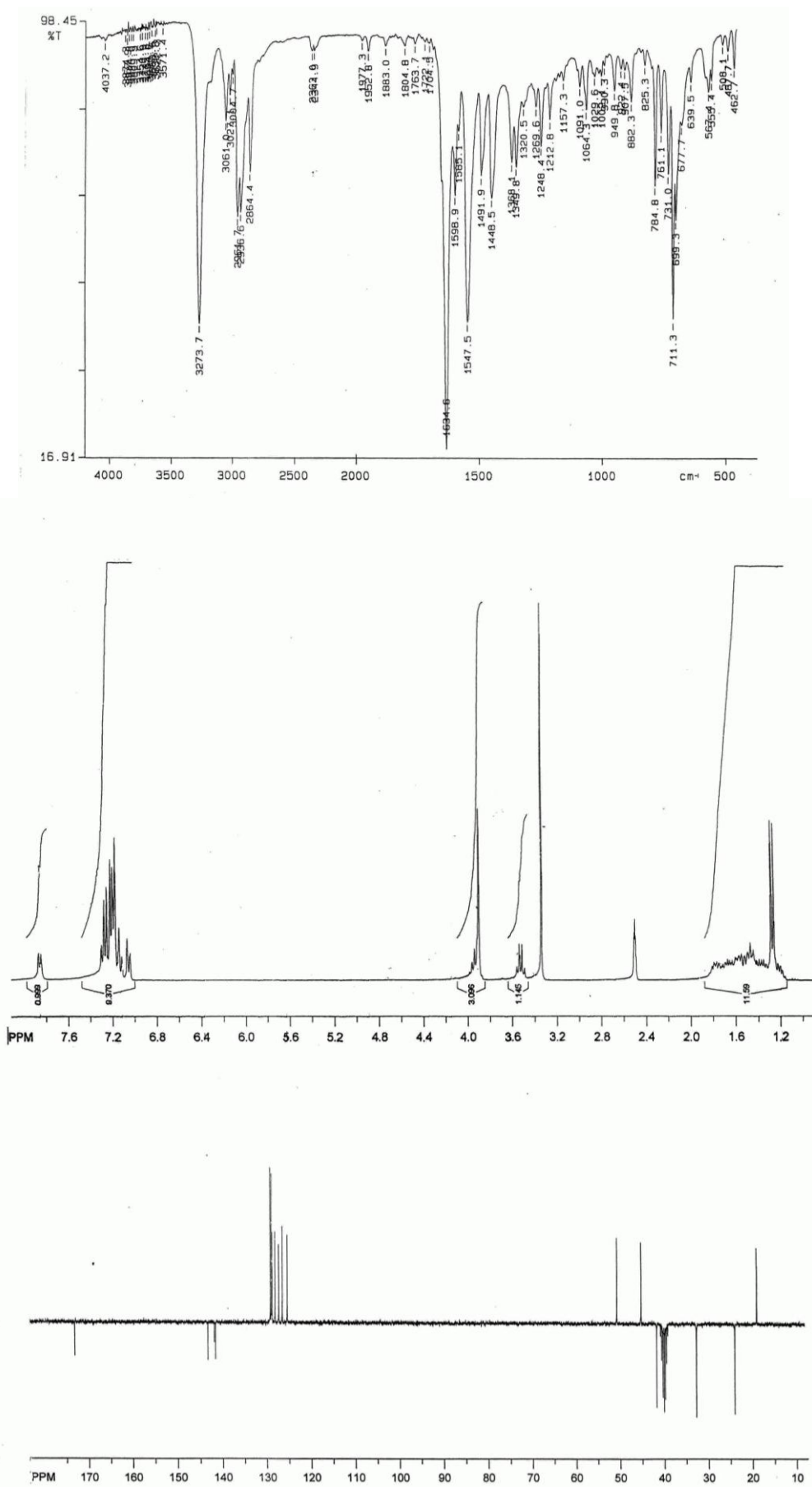


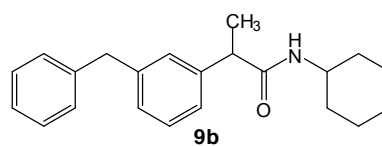
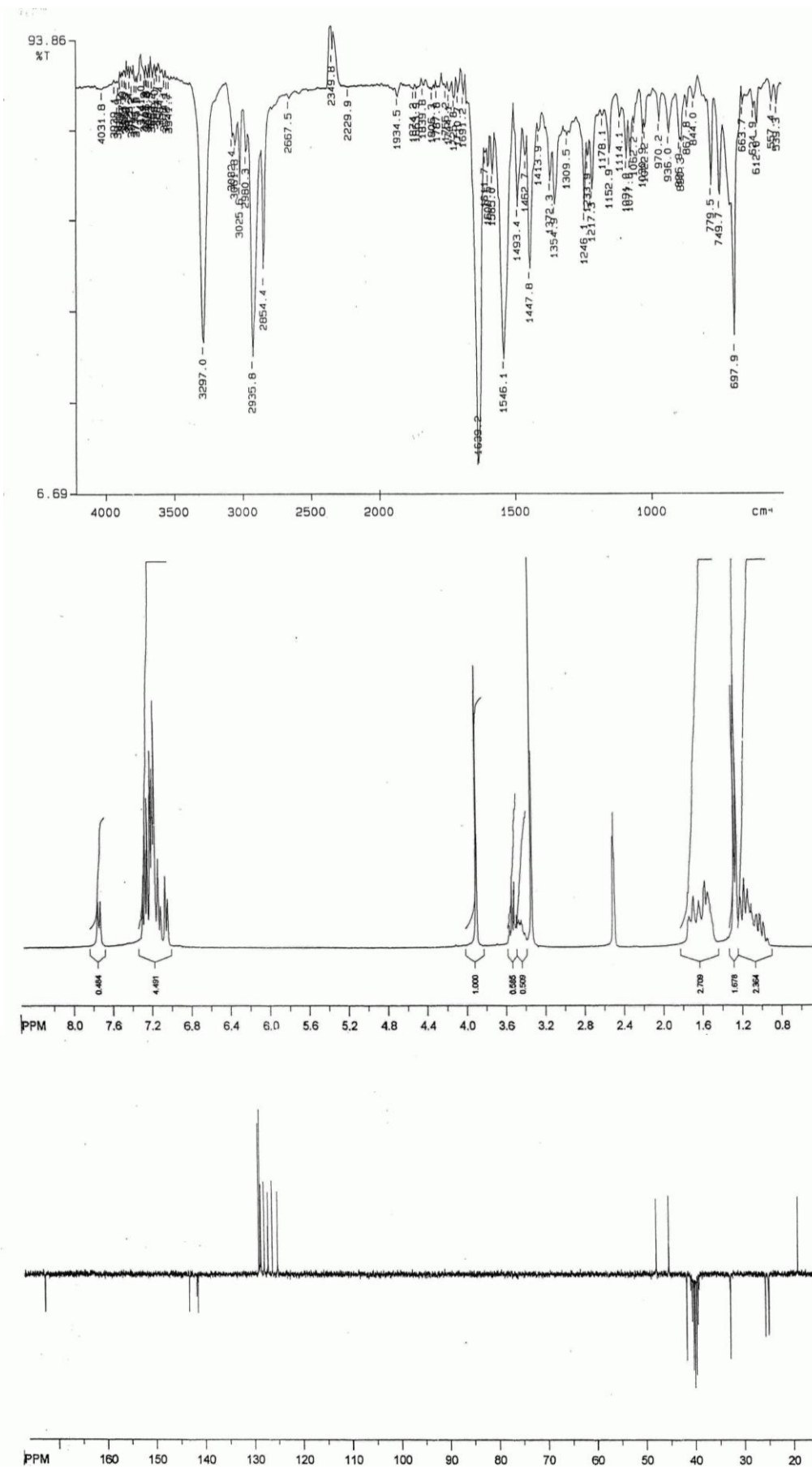


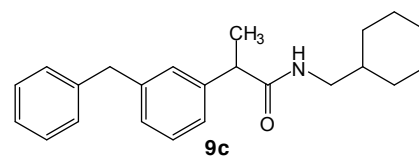
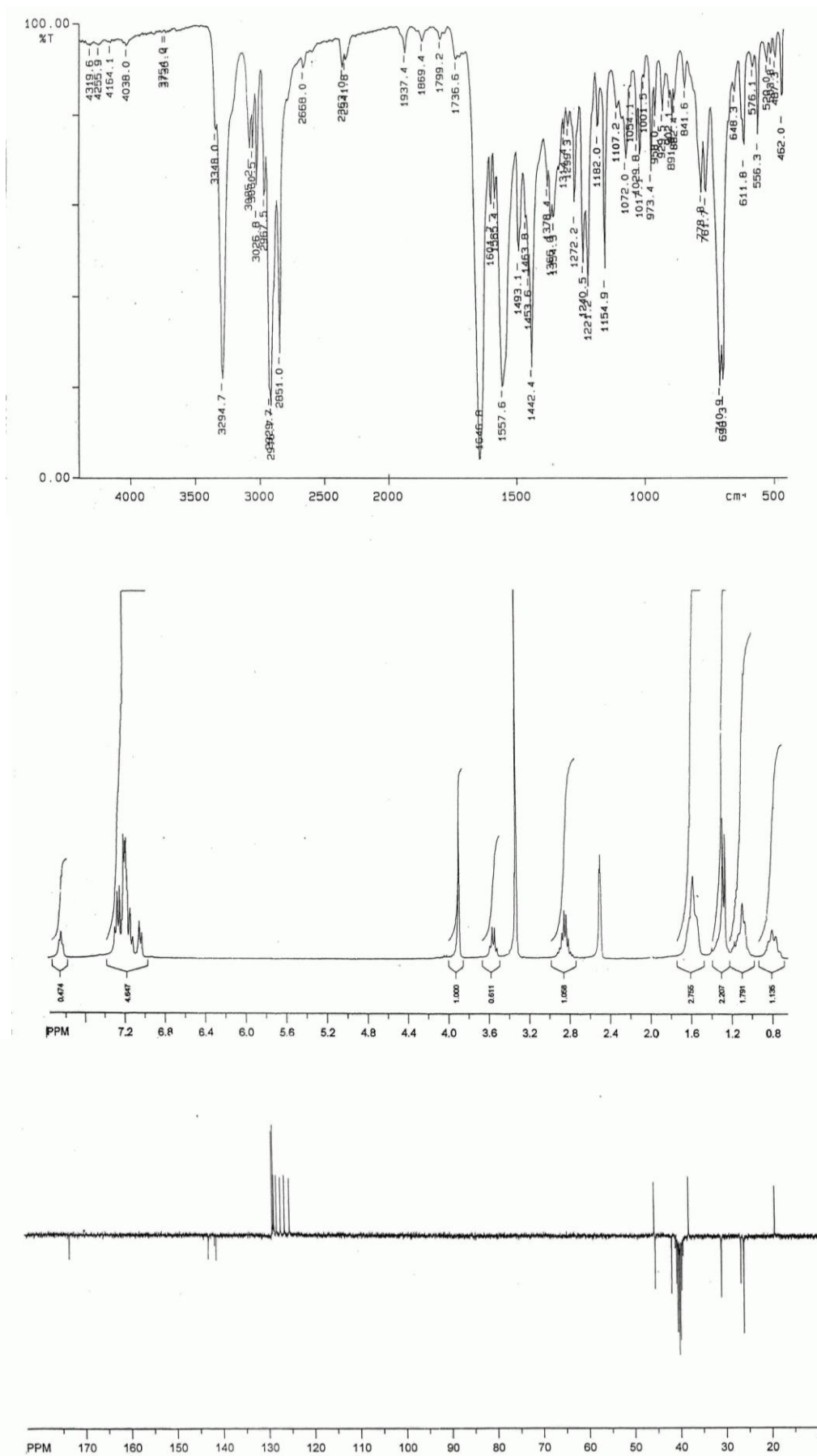




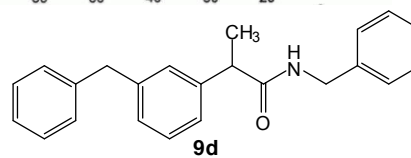
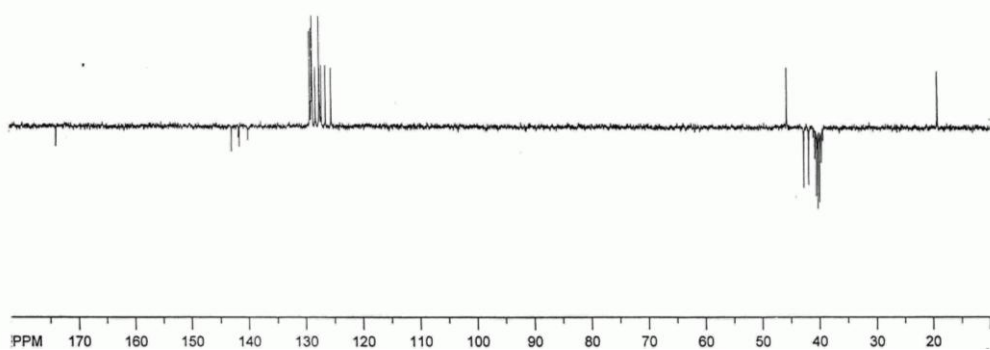
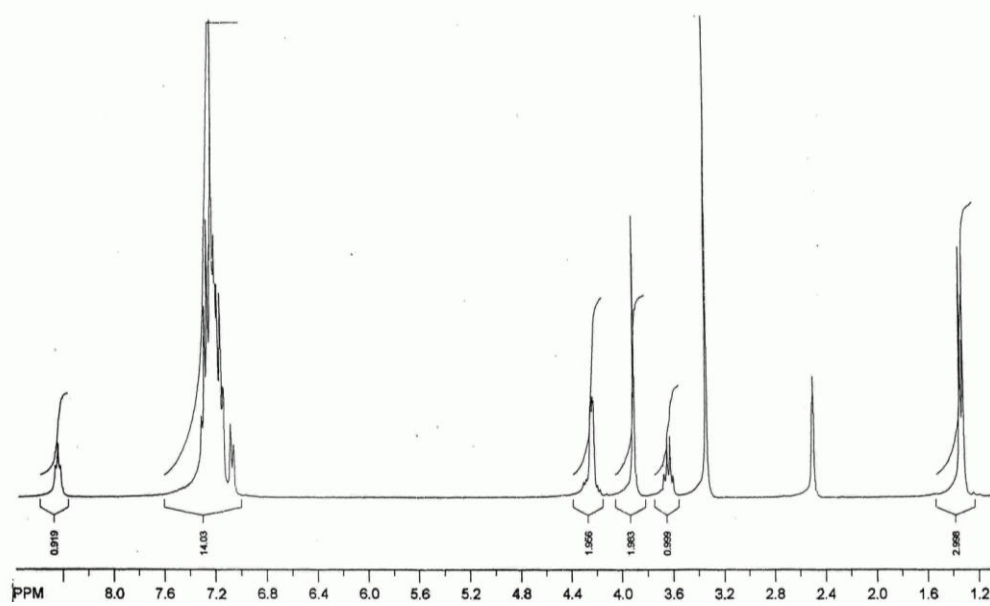
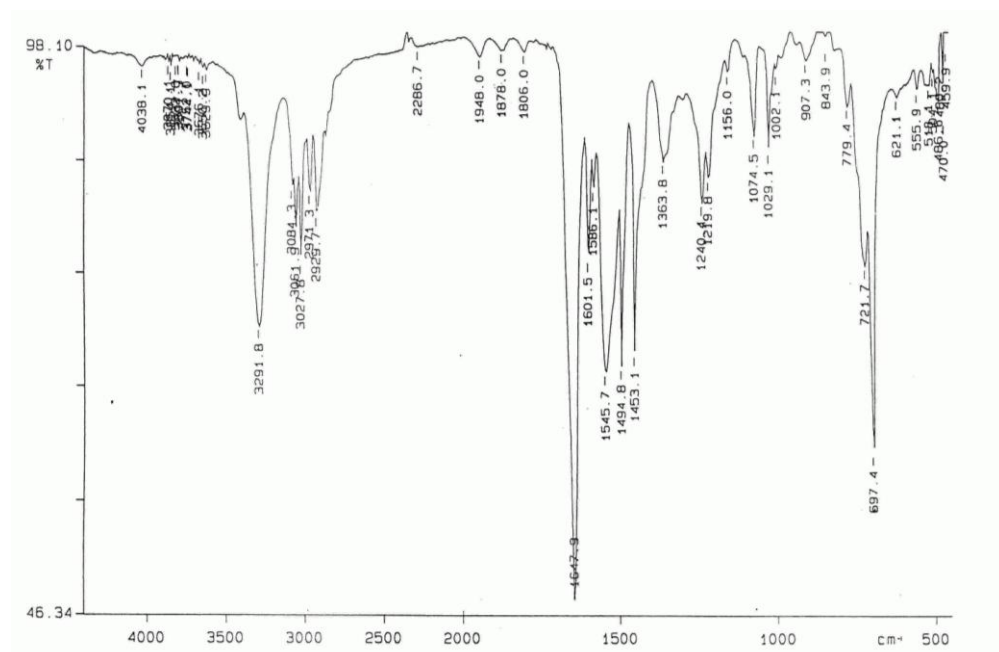


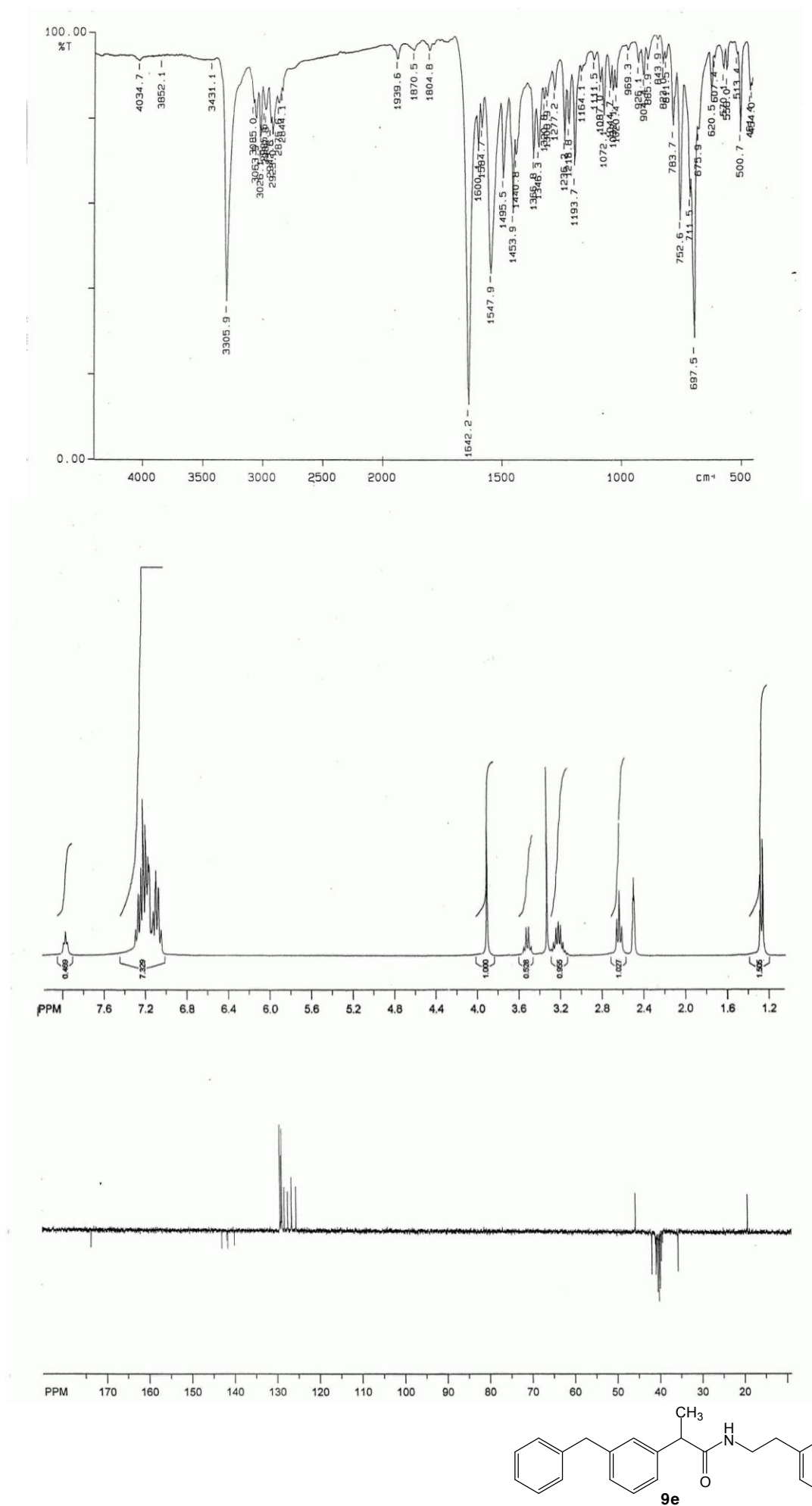


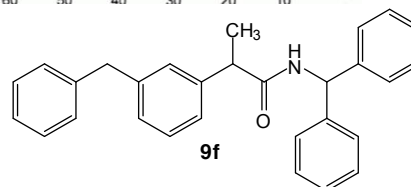
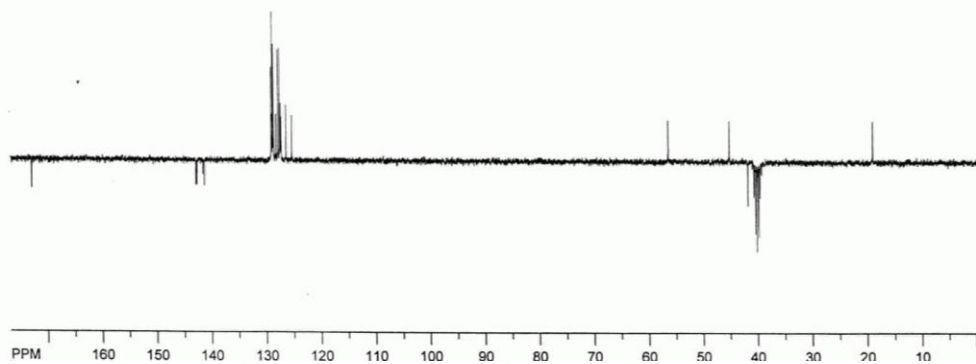
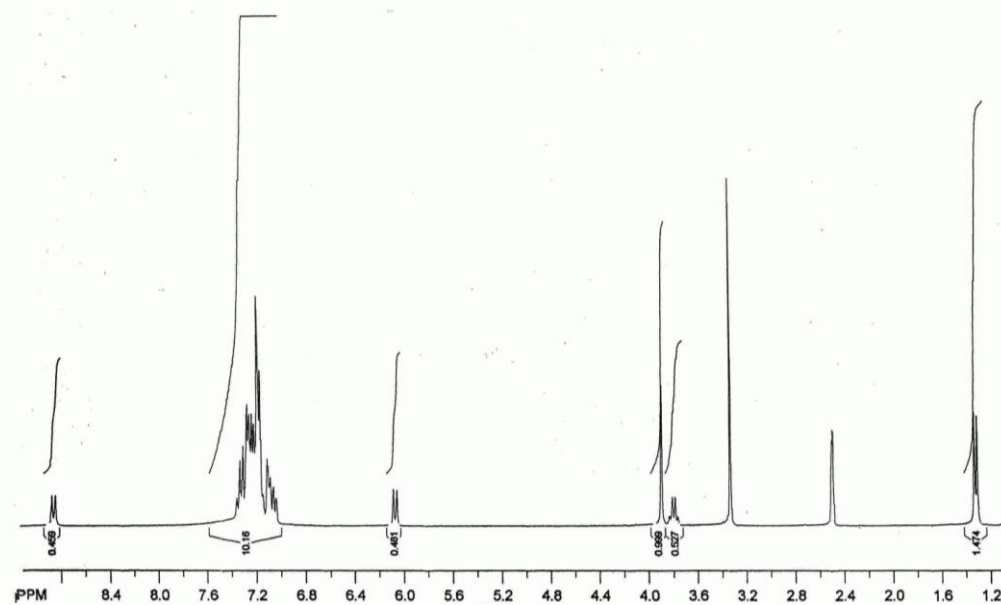
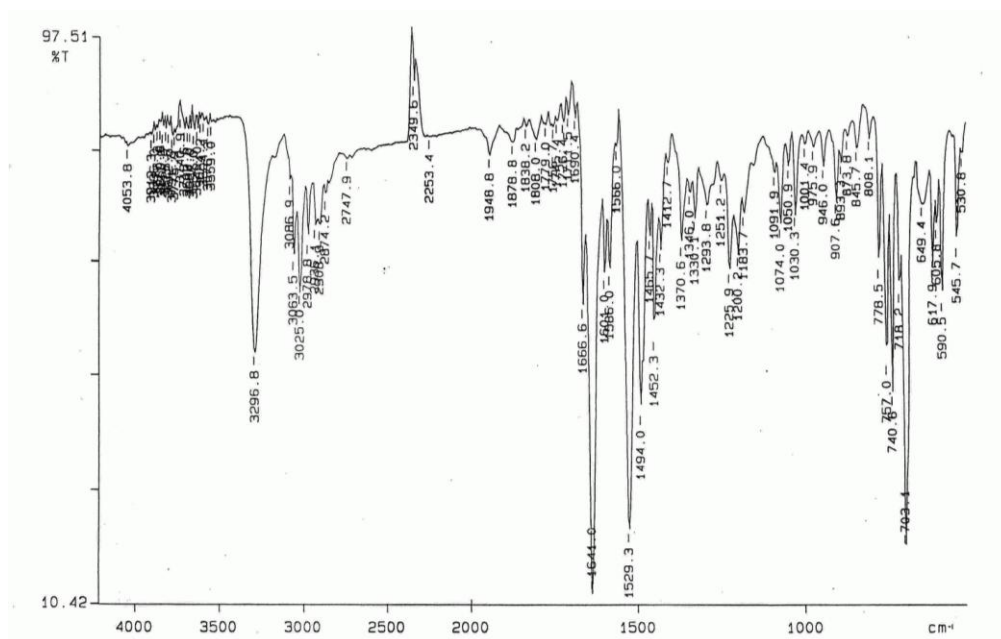


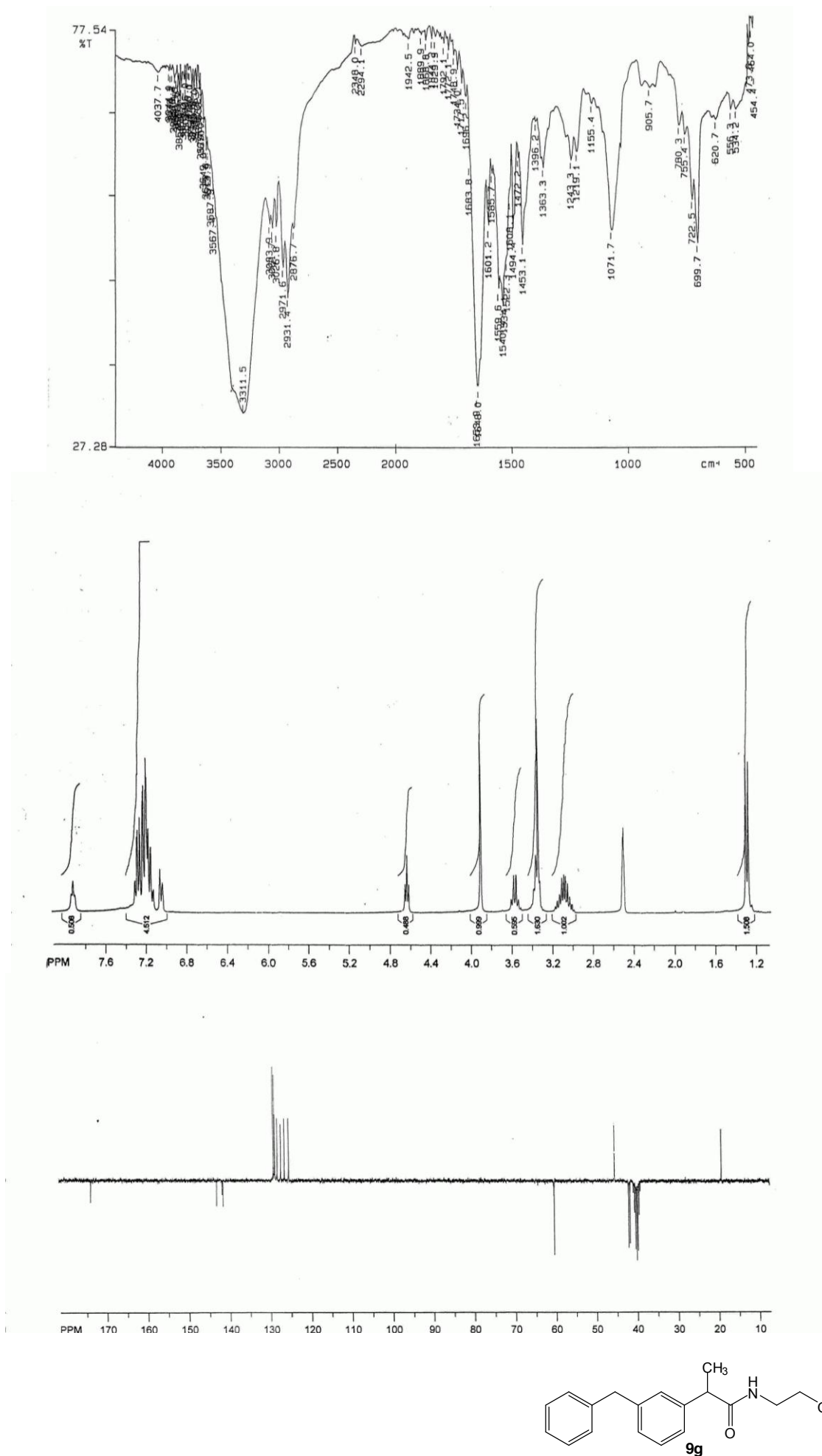


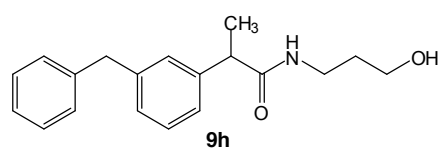
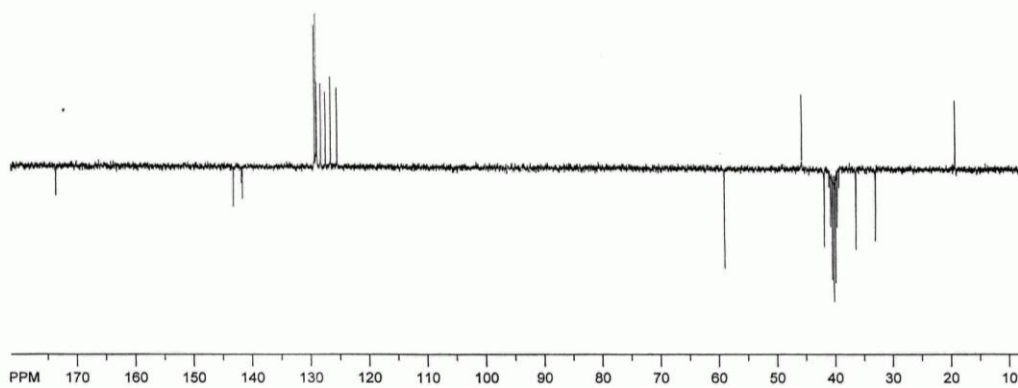
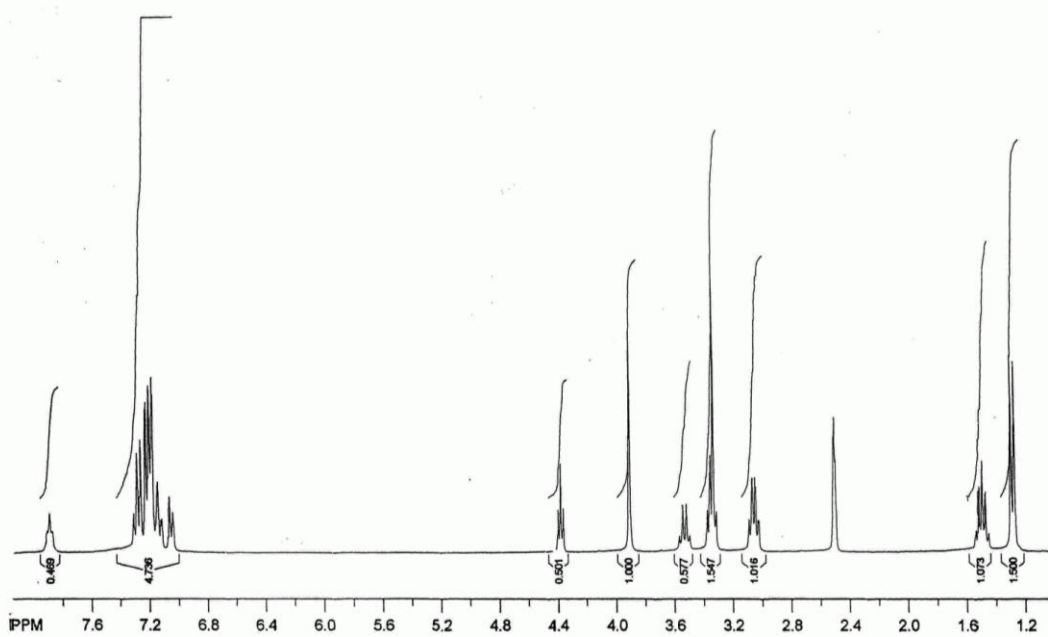
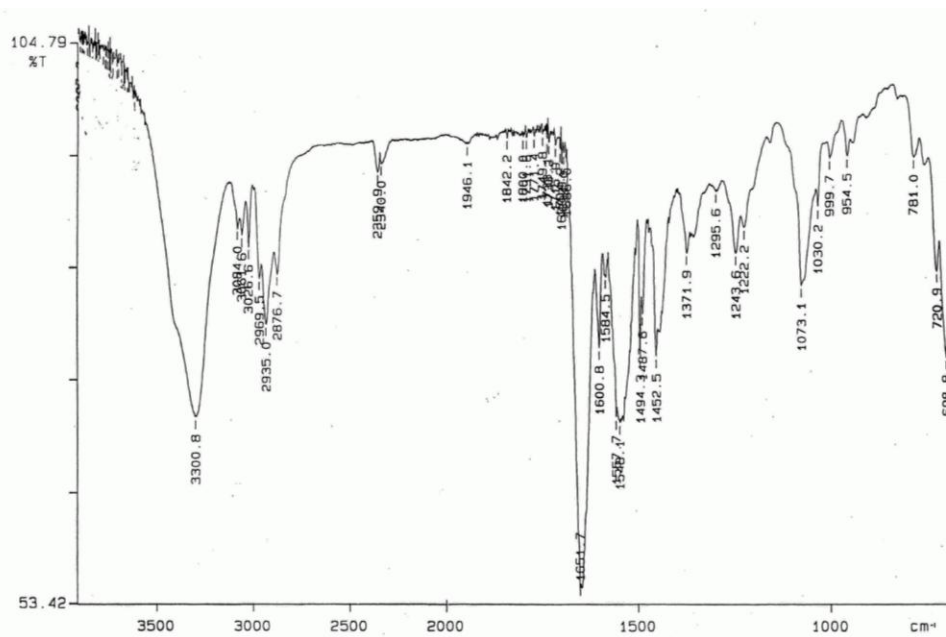


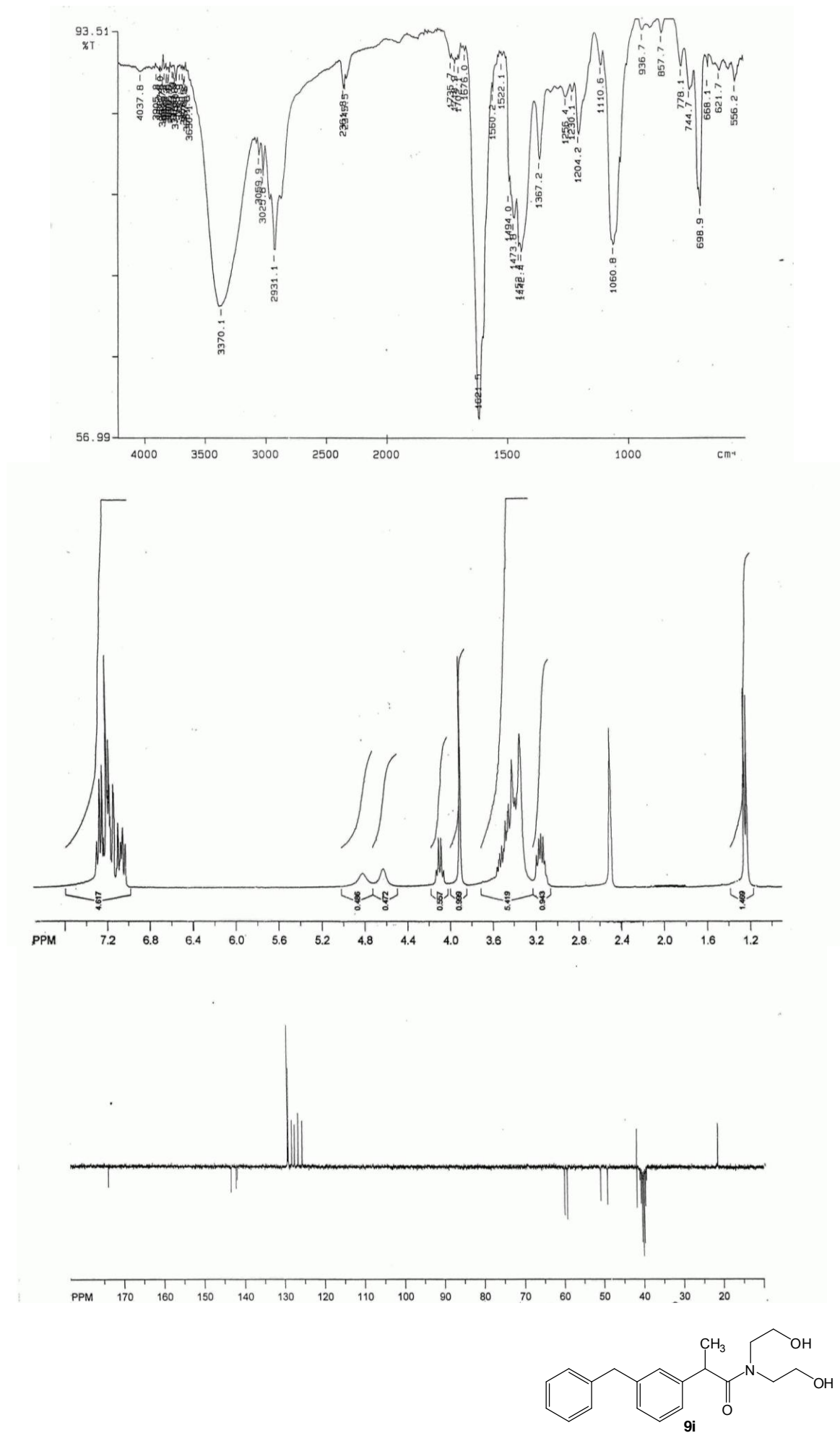


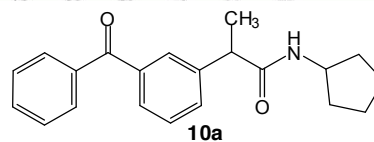
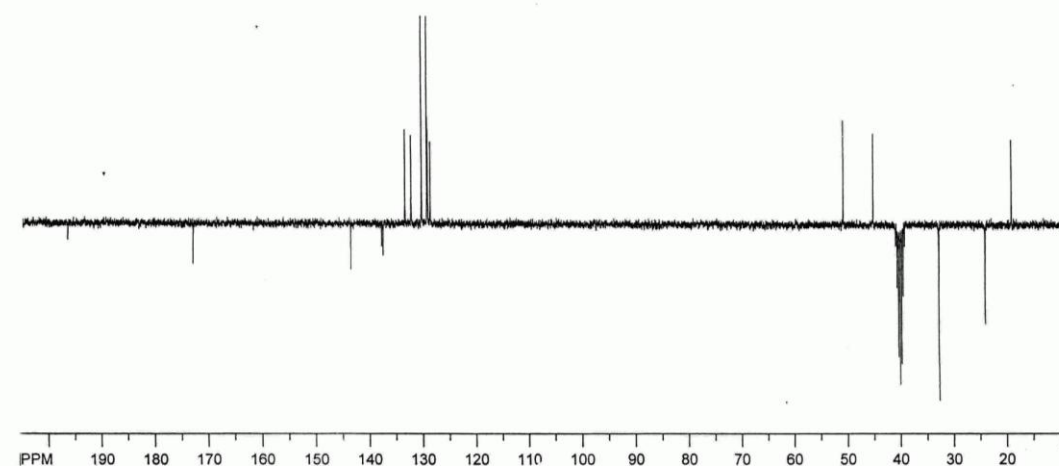
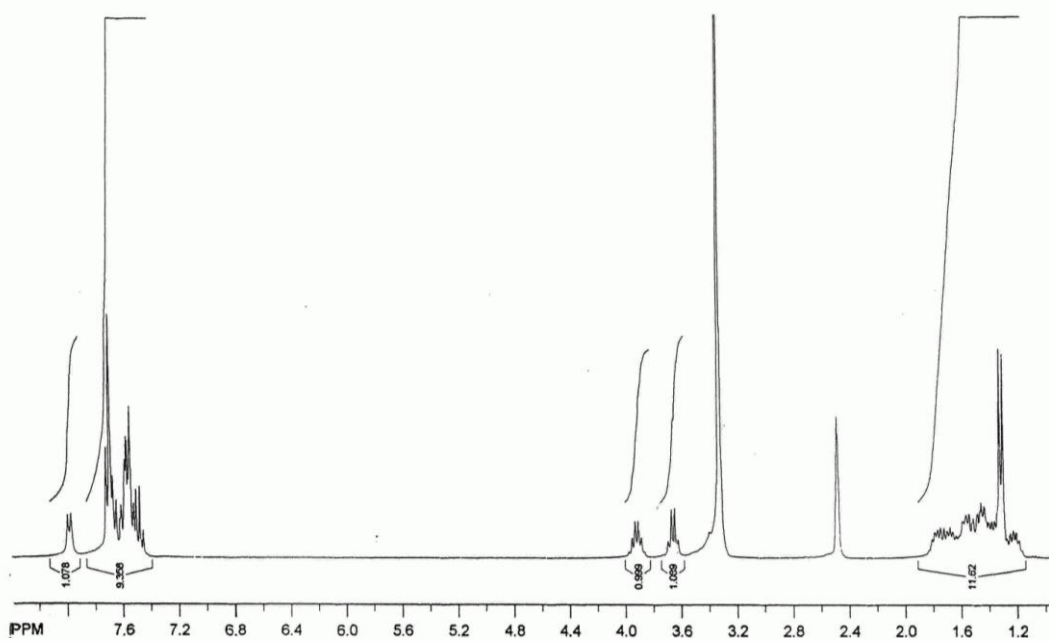
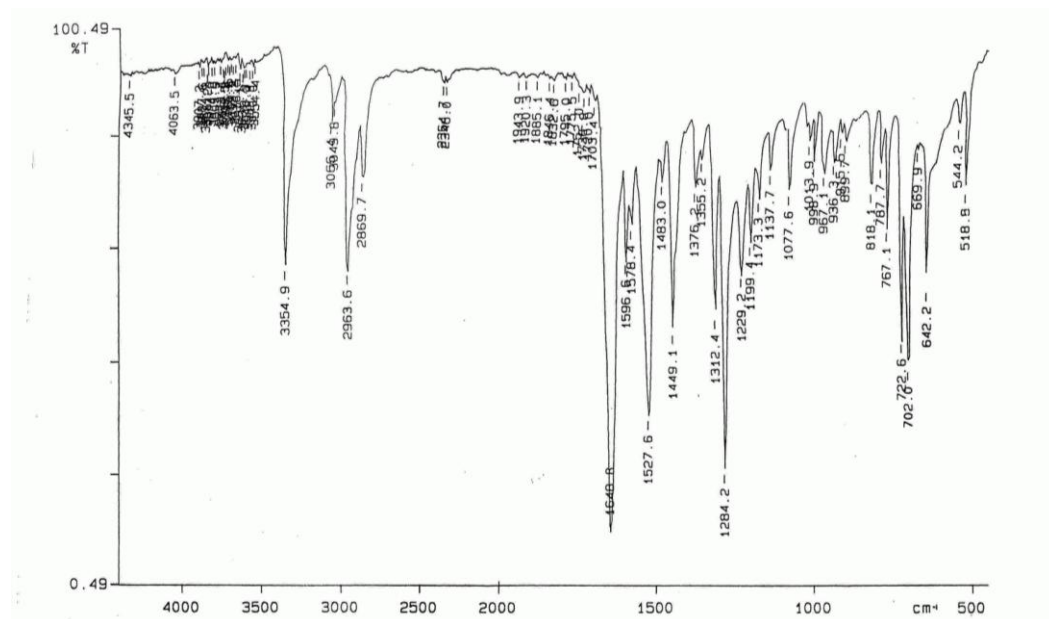


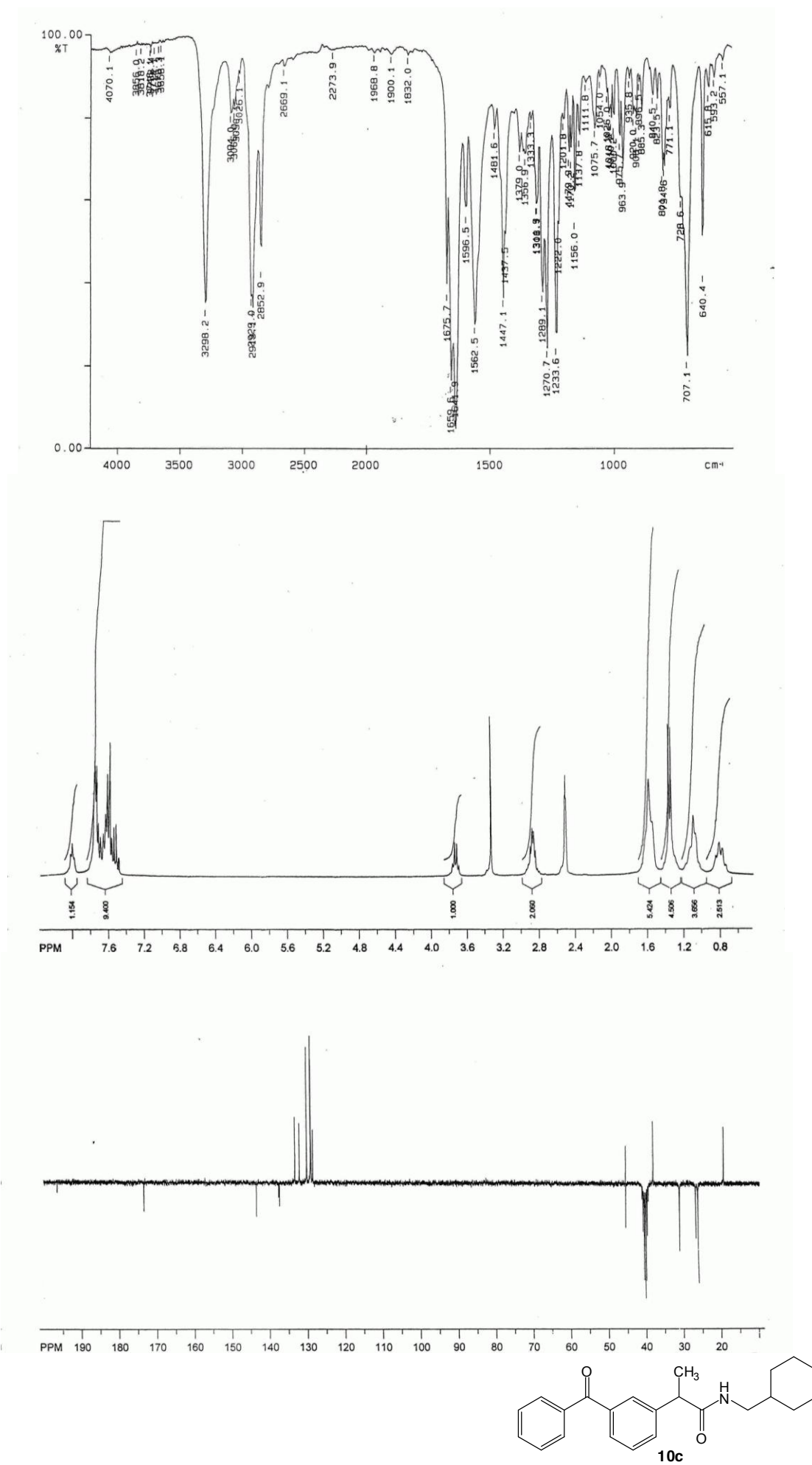




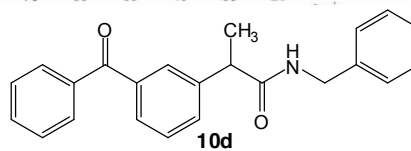
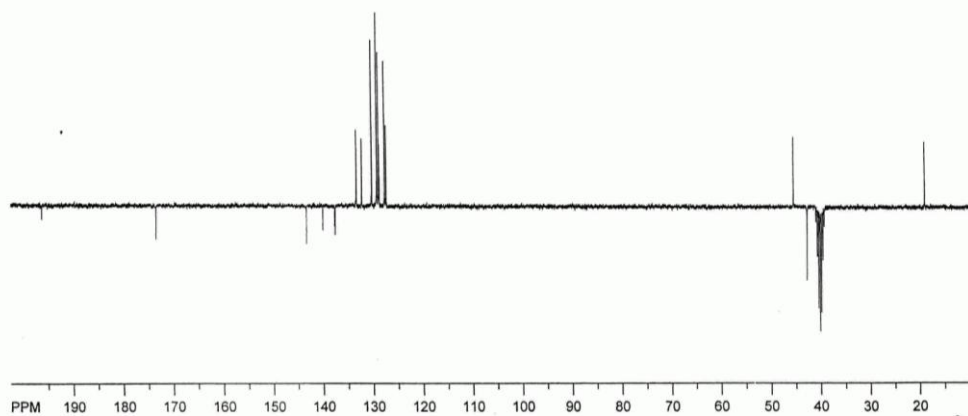
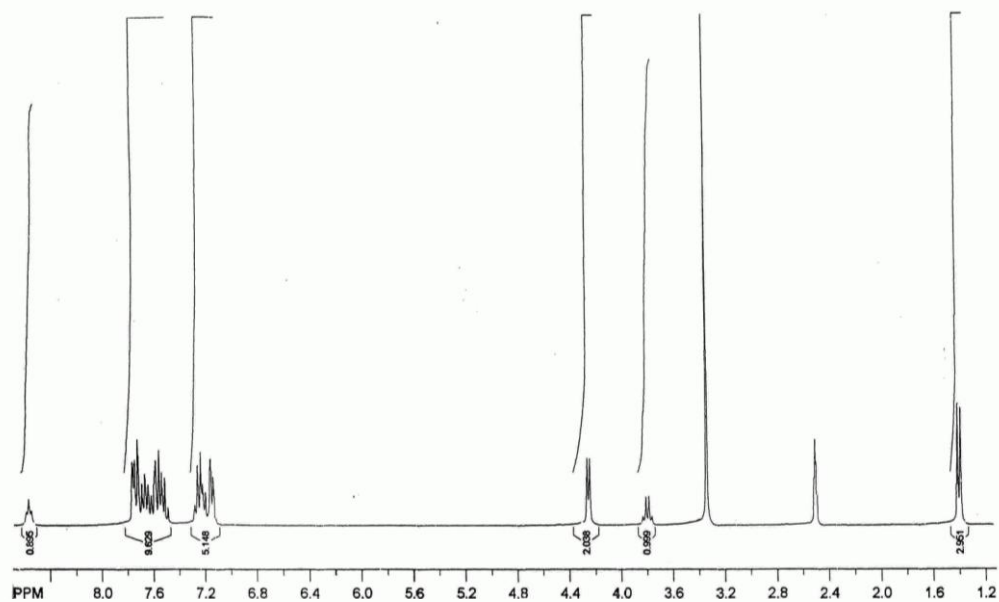
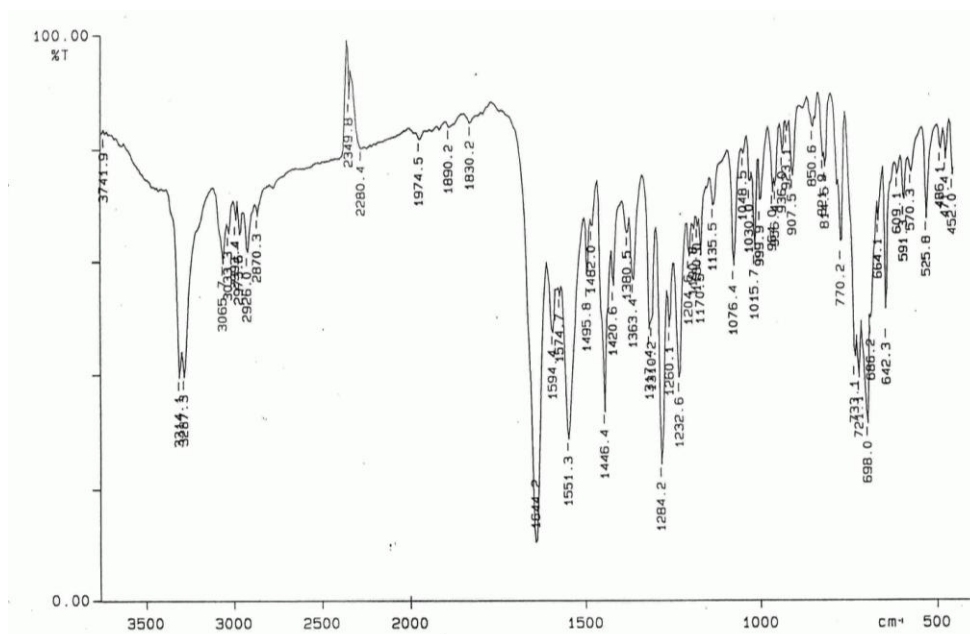


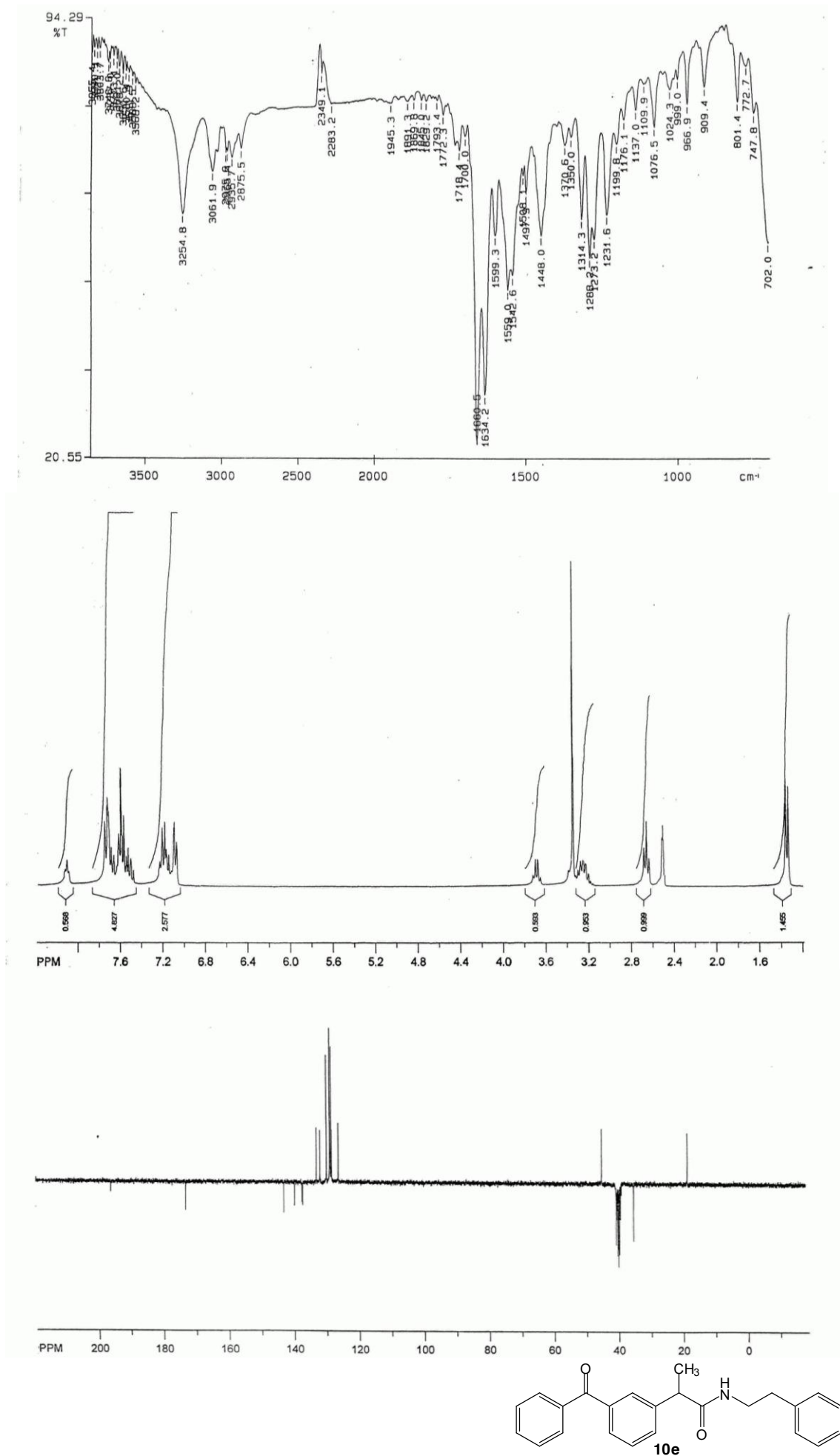


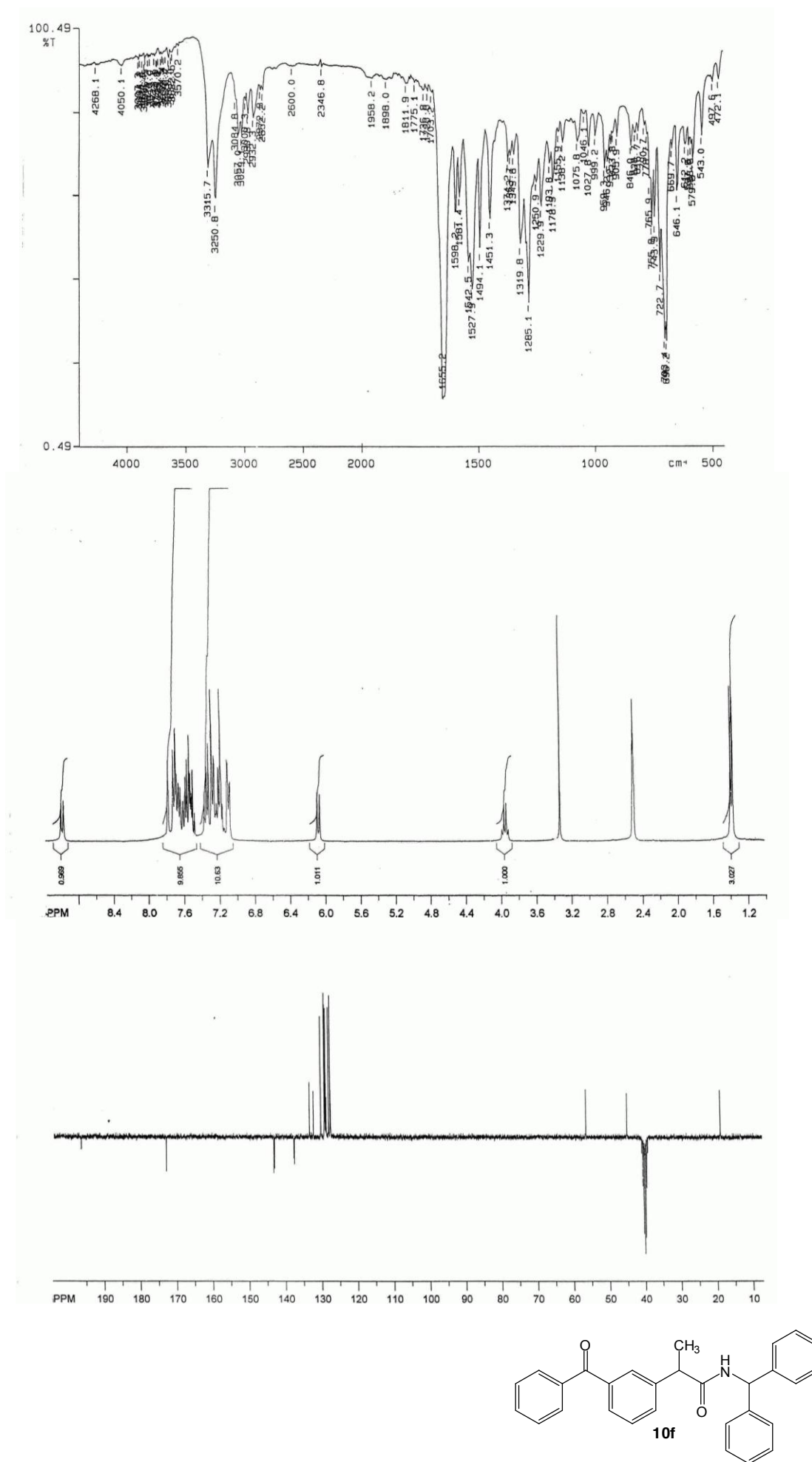


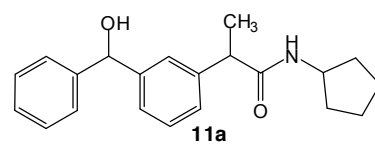
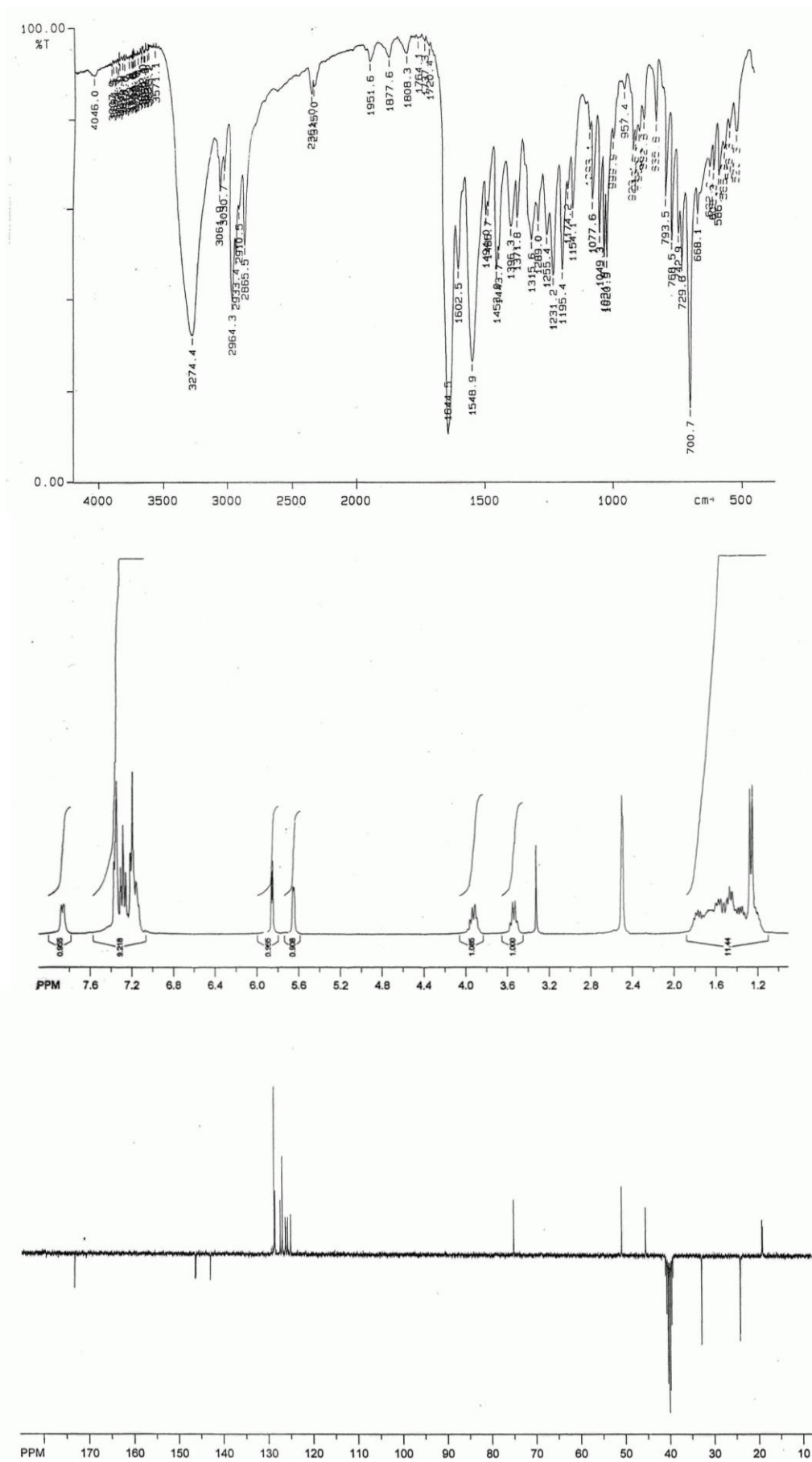


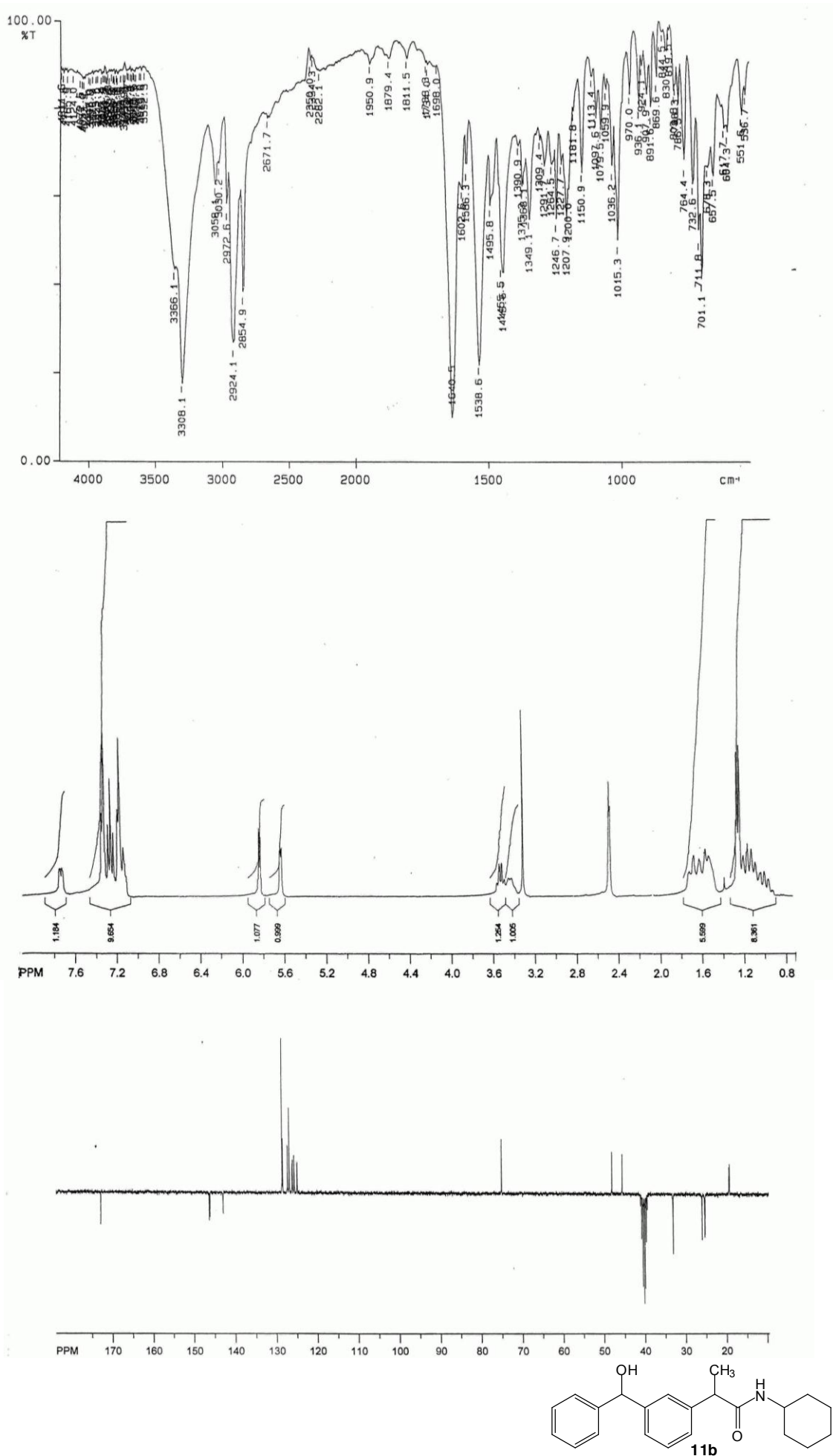


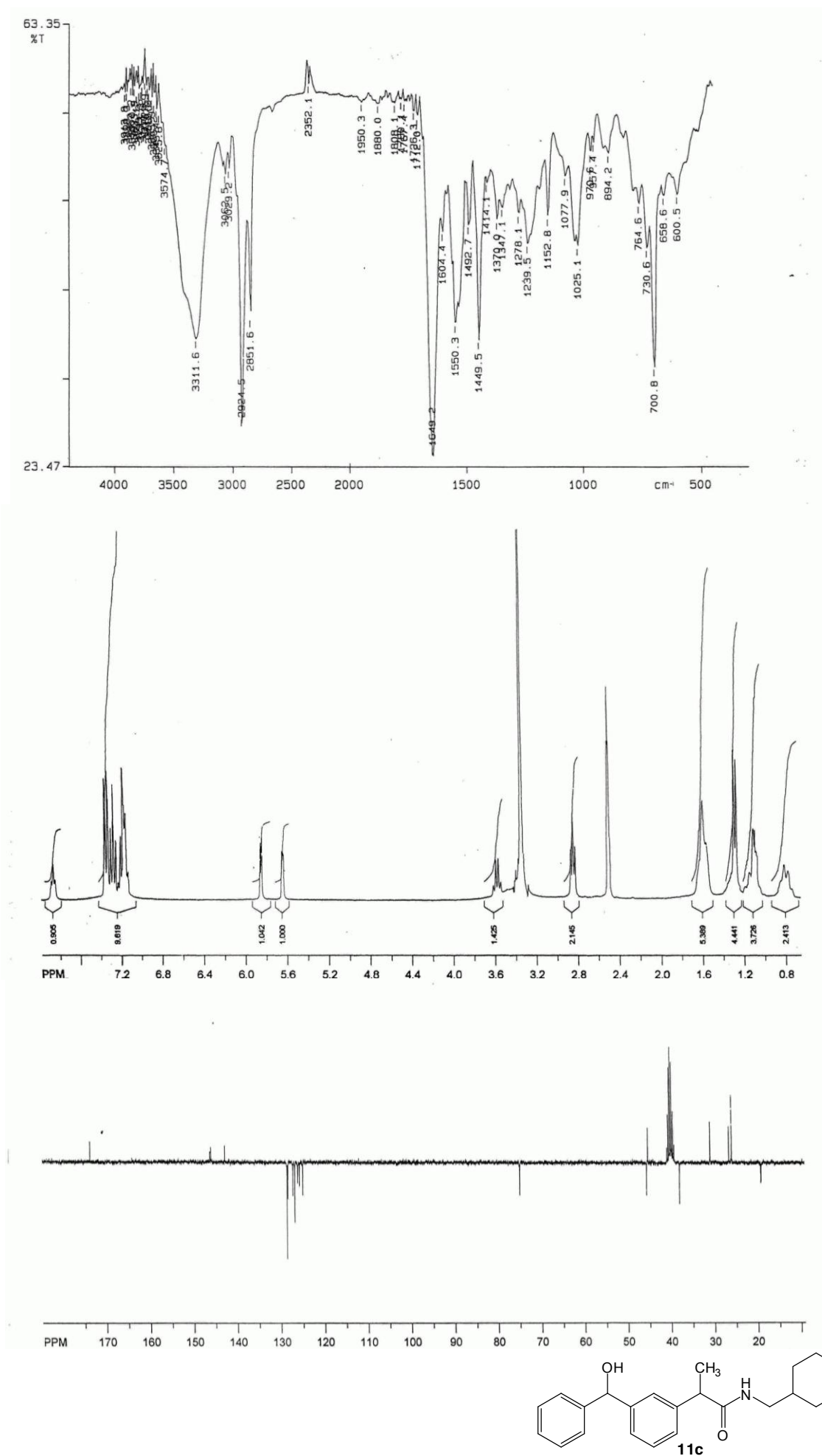


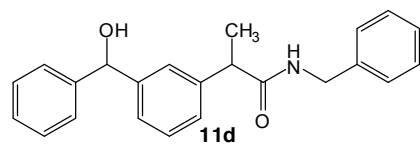
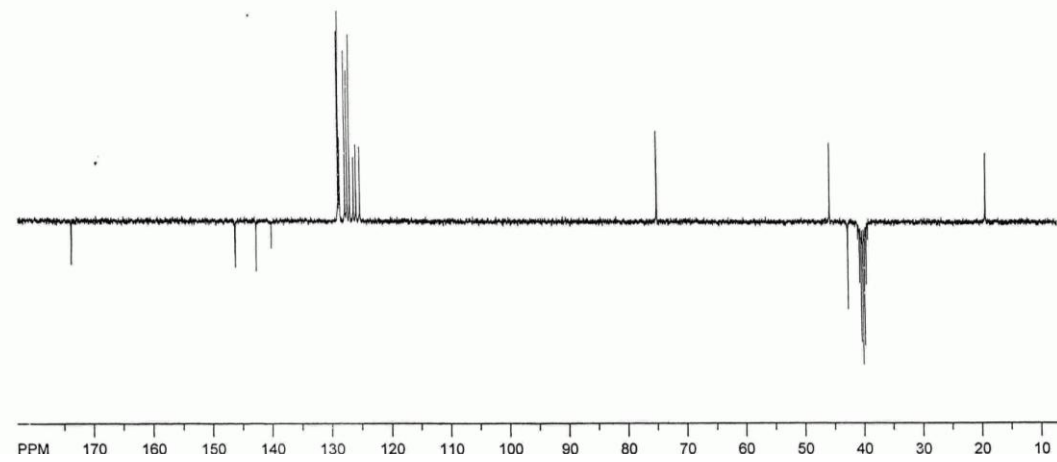
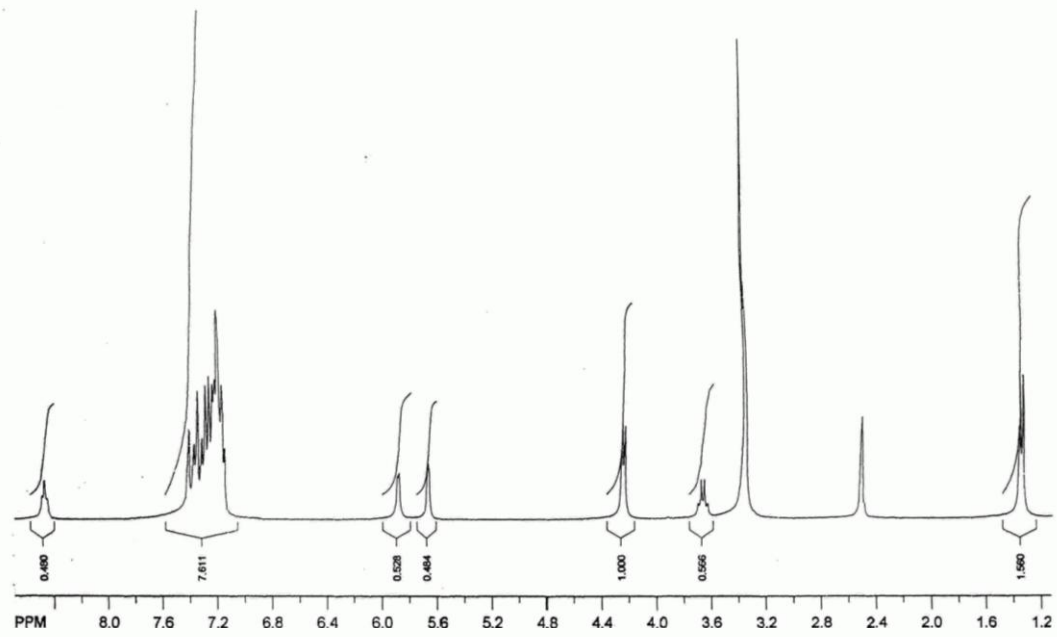
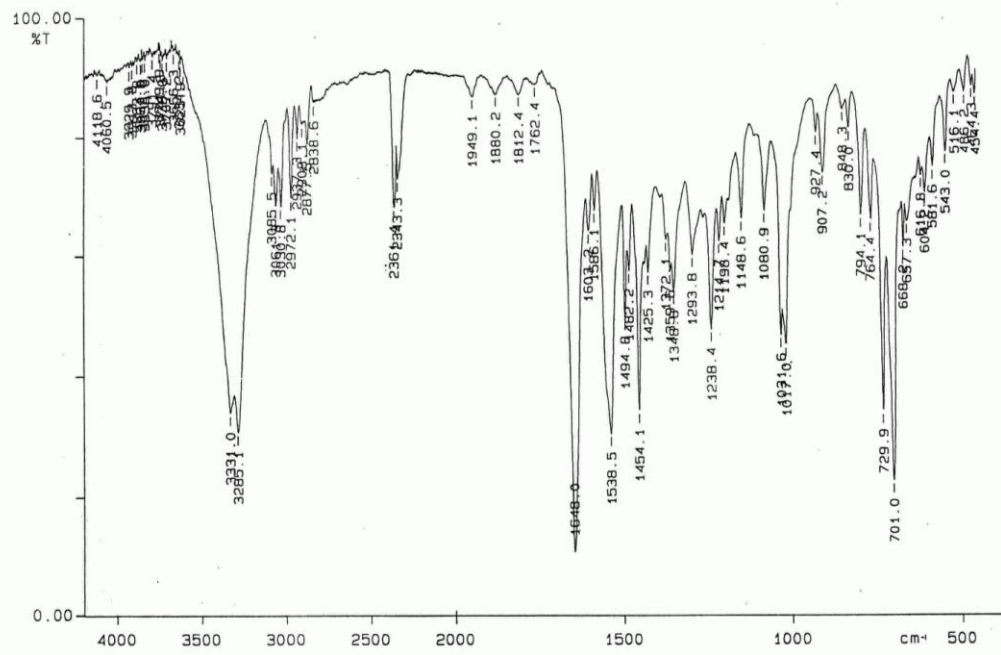


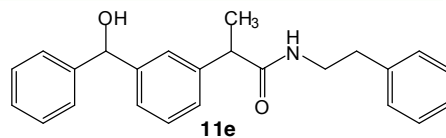
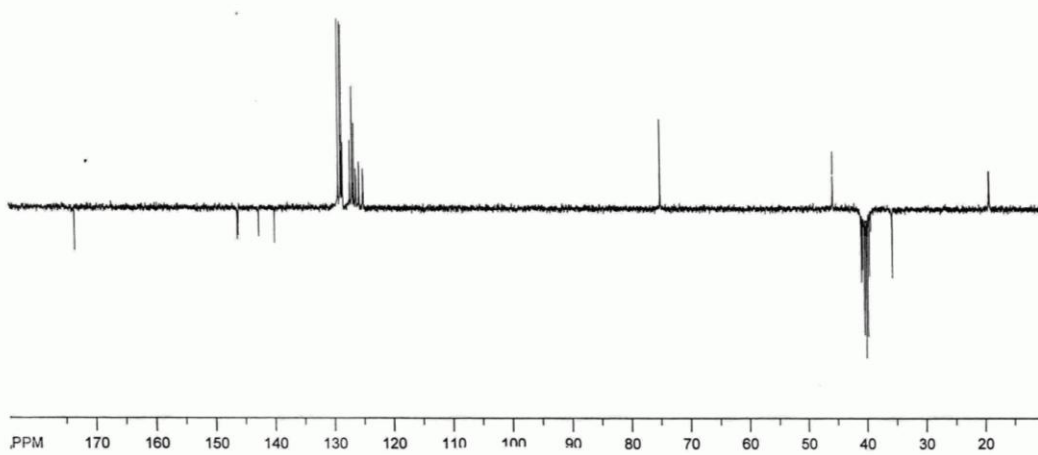
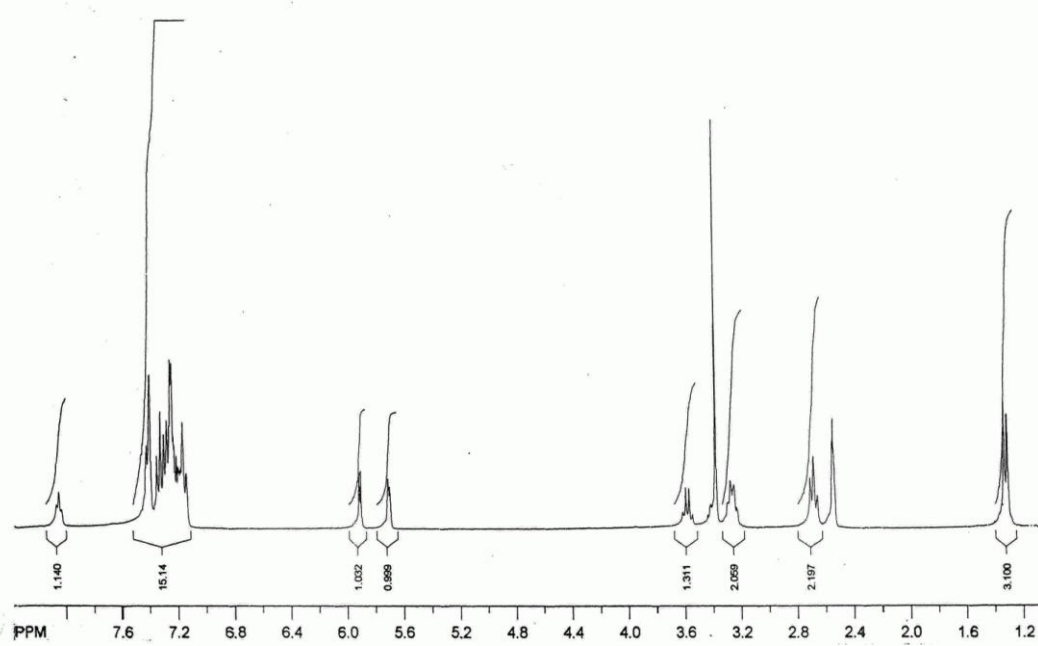
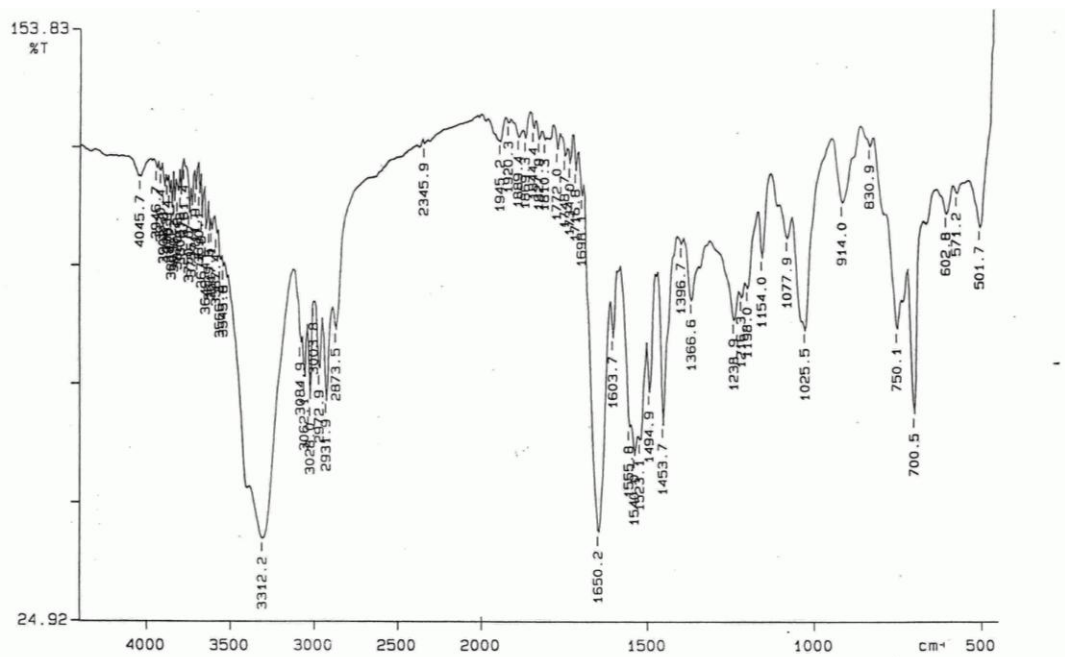




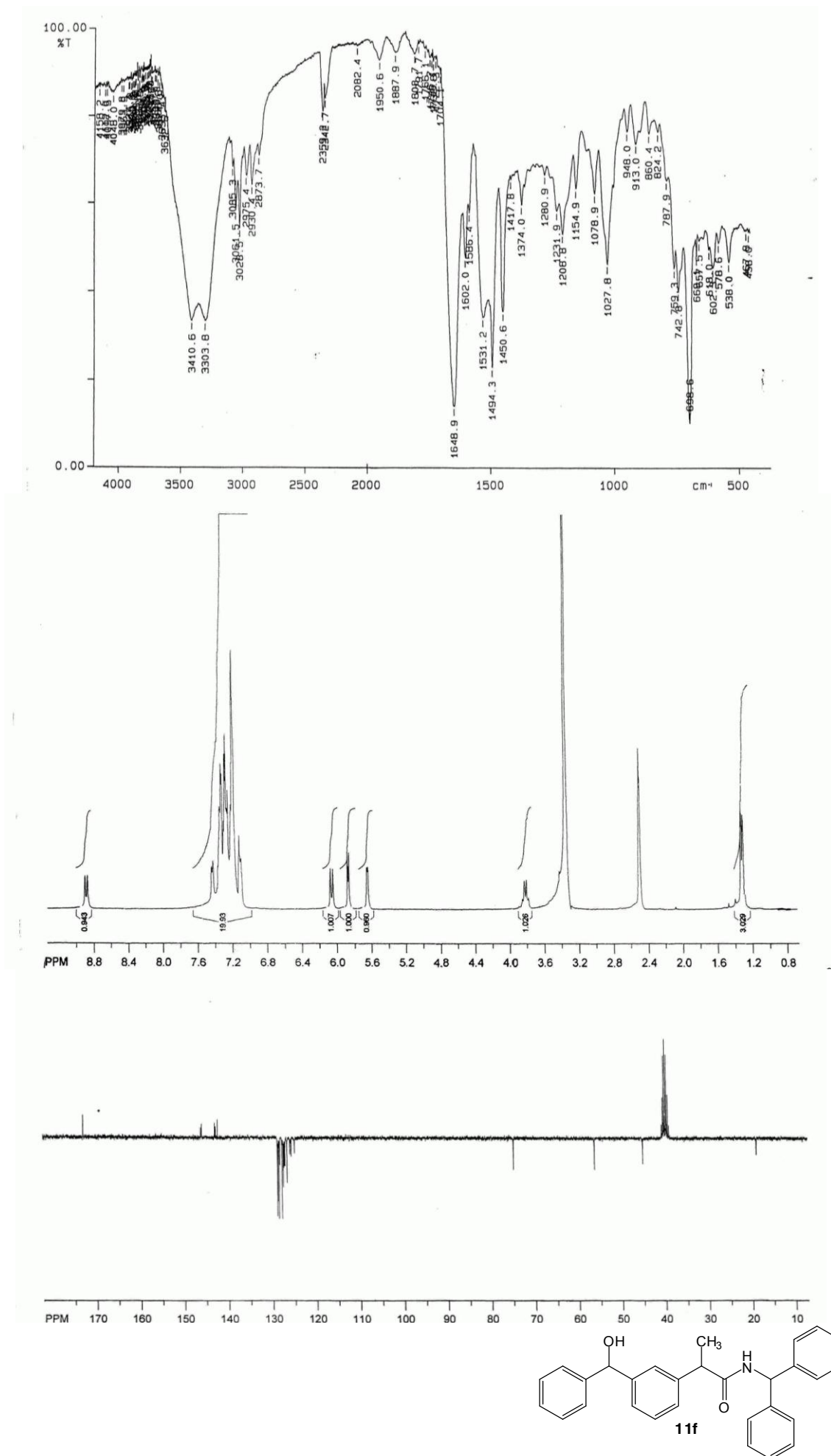


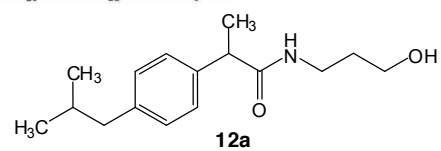
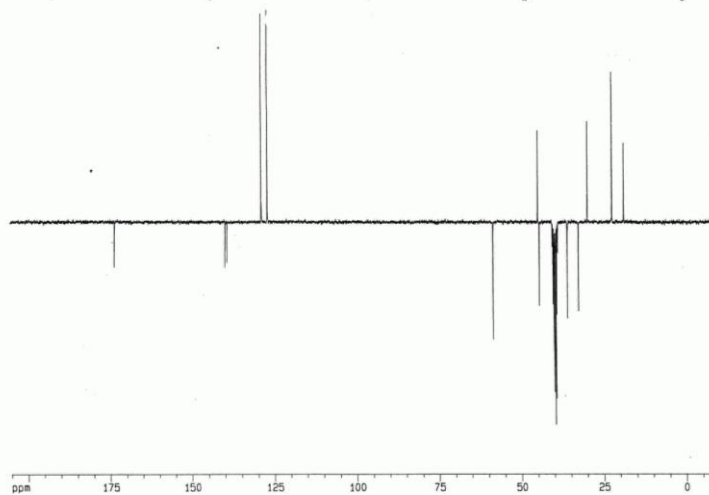
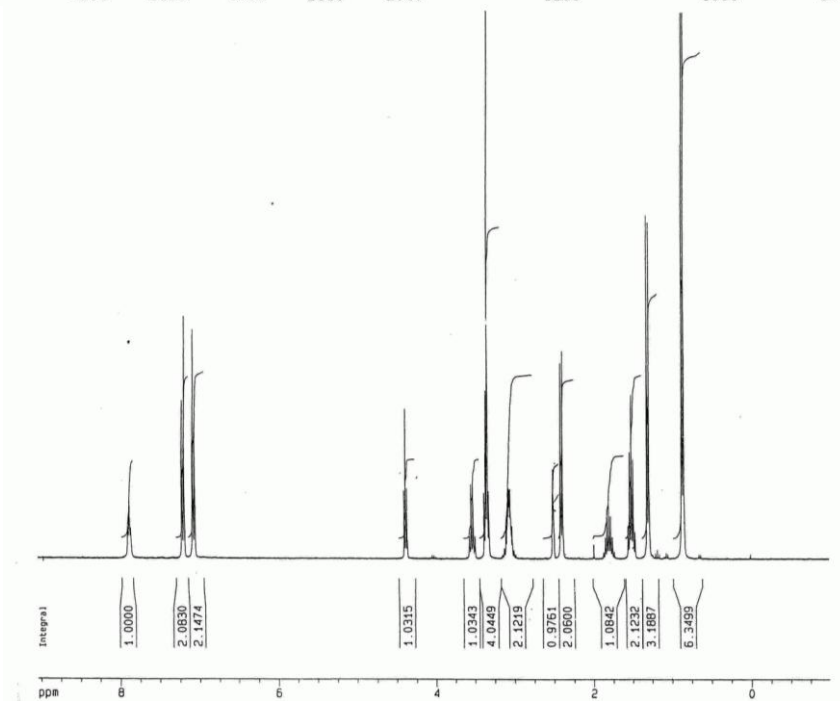
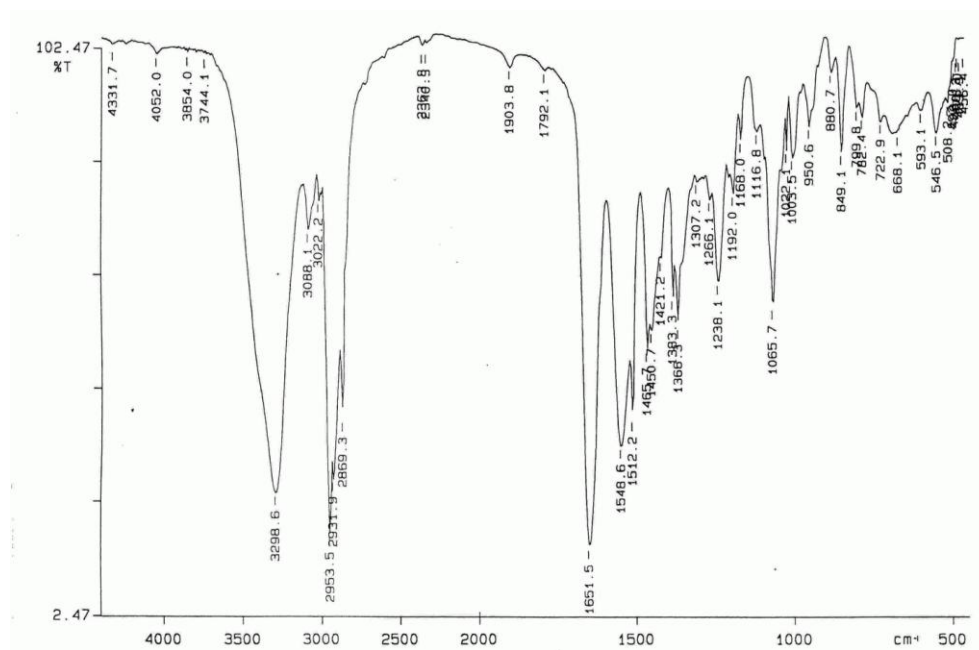


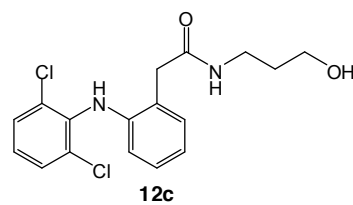
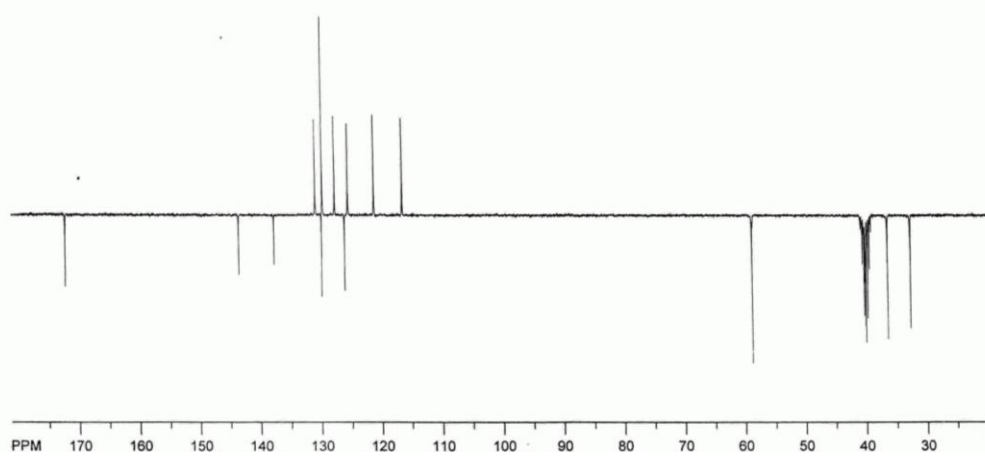
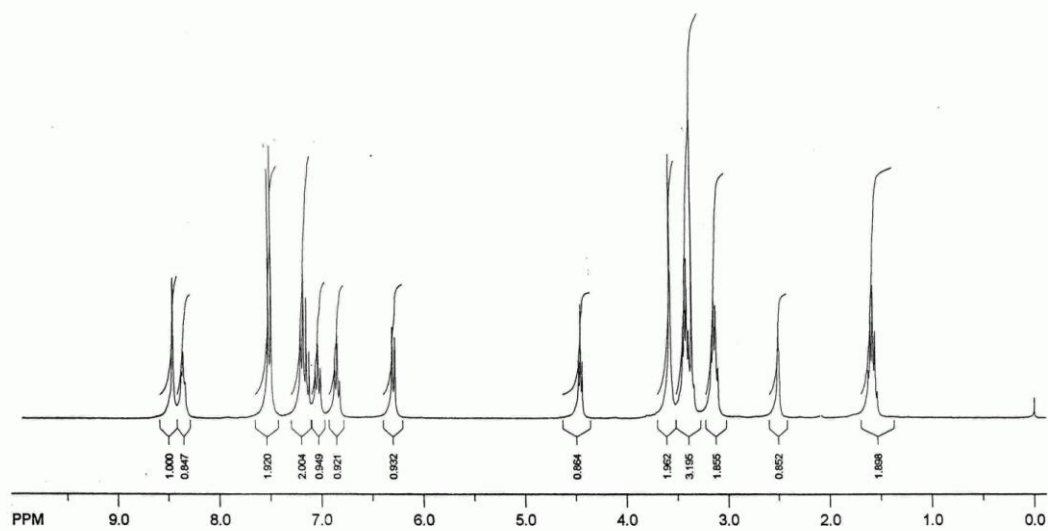
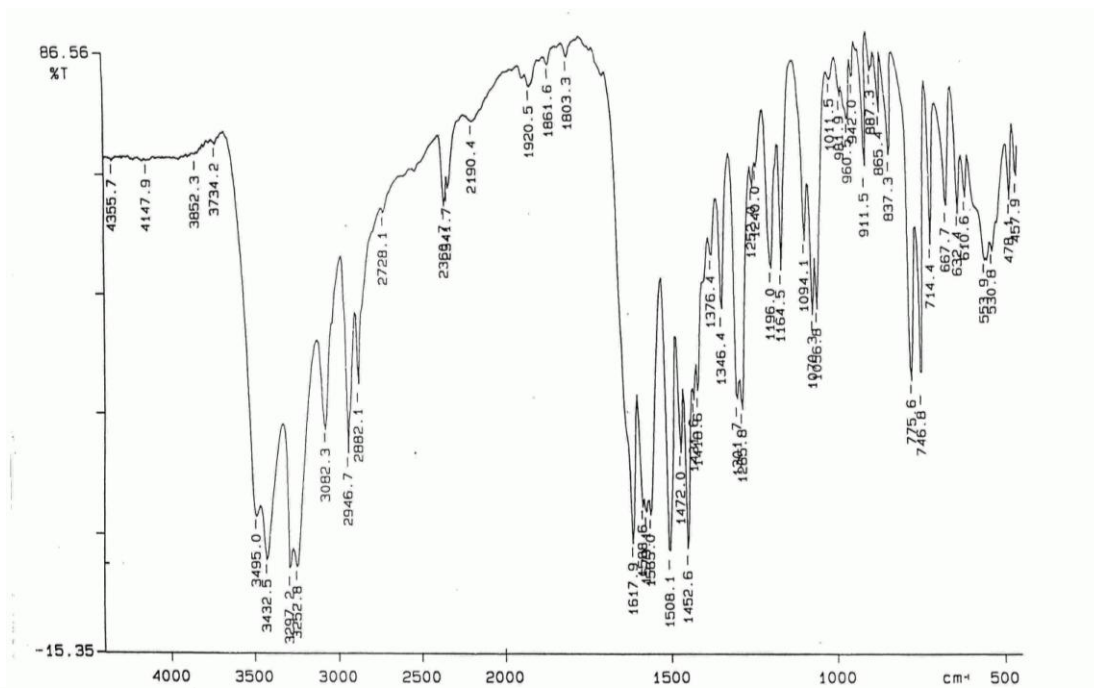
















# TEMELJNA DOKUMENTACIJSKA KARTICA

Sveučilište u Zagrebu  
Farmaceutsko-biokemijski fakultet  
A. Kovačića 1, 10000 Zagreb, Hrvatska

Doktorski rad

## DERIVATI NESTEROIDNIH PROTUUPALNIH LIJEKOVA I AMINOKISELINA – SINTEZA, KARAKTERIZACIJA I BIOLOŠKO DJELOVANJE

Zrinka Rajić

### SAŽETAK

Sintetizirana je serija novih strukturnih analoga 3,5-disupstituiranih hidantoina **5a-h** s lipofilnim supstituentima na C-5, N-3 ili na oba atoma intramolekulskom ciklizacijom amida *N*-(1-benzotriazolkarbonil)aminokiselina **4a-h**. Sintetizirani su derivati NSAID **6–12**: reducirani derivati ketoprofena **6a,b**, NSAID benzotriazolidi **7a-h**, NSAID hidroksamske kiseline i njihovi derivati **8a-y**, derivati ketoprofena **9a-i**, **10a-f**, **11a-f** i 3-hidroksipropilamidi NSAID **12a-e**. Reducirani derivati ketoprofena **6** pripremljeni su katalitičkim hidrogeniranjem ketoprofena uz Pd/C ili Pd/C(en). NSAID s karboksilnom funkcionalnom (ibuprofen, fenoprofen, diklofenak, indometacin, ketoprofen, **6a,b**) u reakciji s kloridom 1-benzotriazol-karboksilne kiseline (**1**) dali su odgovarajuće NSAID benzotriazolide **7**, koji su bili polazni spojevi u sintezi derivata NSAID **8–12**. Razvijena je nova sintetska metoda za pripremu NSAID hidroksamskih kiselina i derivata **8**, reakcijom NSAID benzotriazolida **7** i odgovarajućih hidroksilamina (hidroksilamin, *N*-metilhidroksilamin, *O*-metilhidroksilamin, *O*-etilhidroksilamin i *O*-benzilhidroksilamin) ili katalitičkim hidrogeniranjem *O*-benzilnih derivata NSAID hidroksamskih kiselina. Derivati ketoprofena **9**, **10** i 3-hidroksipropilamidi NSAID **12** sintetizirani su iz NSAID benzotriazolida **7** i odgovarajućih amina, dok su derivati ketoprofena **11** sintetizirani katalitičkim hidrogeniranjem amida ketoprofena **10** uz Pd/C(en).

Provedena su sljedeća biološka ispitivanja: antitumorsko, antimikrobno, antivirusno i antioksidacijsko djelovanje, inhibicija ureaze, lipooksigenaze i lipidne peroksidacije. Najbolje antitumorsko djelovanje pokazao je **8c**, najbolje antimikrobno **8b,d**, najbolje antivirusno **5a** i **8y**, a najbolje antioksidacijsko djelovanje **8o**. Najjači inhibitor ureaze bio je **8f**, a lipooksigenaze **11f**. Najbolji inhibitor lipidne peroksidacije bio je **9e**.

Rad je pohranjen u Središnjoj knjižnici Farmaceutsko-biokemijskog fakulteta Sveučilišta u Zagrebu.

Rad sadrži: 214 stranica, 6 slika, 44 sheme, 40 tablica i 125 literaturnih navoda. Izvornik je na hrvatskom jeziku.

Ključne riječi: aminokiselina, hidantoin, nesteroidni protuupalni lijekovi, hidroksamska kiselina, amid, sinteza, biološko djelovanje

Mentor: Dr. sc. Branka Zorc, *redoviti profesor, Farmaceutsko-biokemijski fakultet Sveučilišta u Zagrebu*

Povjerenstvo: Dr. sc. Marica Medić-Šarić, *redoviti profesor, Farmaceutsko-biokemijski fakultet Sveučilišta u Zagrebu*

Dr. sc. Branka Zorc, *redoviti profesor, Farmaceutsko-biokemijski fakultet Sveučilišta u Zagrebu*

Dr. sc. Marijeta Kralj, *viši znanstveni suradnik, Institut Ruđer Bošković, Zagreb*

Rad prihvaćen: 10.12.2008.



## BASIC DOCUMENTATION CARD

University of Zagreb  
Faculty of Pharmacy and Biochemistry  
A. Kovačića 1, 10000 Zagreb, Croatia

Ph.D. Thesis

### DERIVATIVES OF NONSTEROIDAL ANTI-INFLAMMATORY DRUGS AND AMINO ACIDS – SYNTHESIS, CHARACTERIZATION AND BIOLOGICAL ACTIVITY

Zrinka Rajić

#### SUMMARY

3,5-Disubstituted hydantoin derivatives **5a-h** with lipophilic substituents at C-5, N-3 or both atoms were prepared by the intramolecular cyclization of the corresponding *N*-(1-benzotriazolecarbonyl)amino acid amides **4a-h**. The following NSAID derivatives **6-12** were prepared: the reduced ketoprofen derivatives **6a,b**, NSAID benzotriazolides **7a-h**, NSAID hydroxamic acids and their derivatives **8a-y**, ketoprofen derivatives **9a-i**, **10a-f**, **11a-f** and NSAID 3-hydroxypropylamides **12a-e**. The reduced ketoprofen derivatives **6** were prepared by the catalytic hydrogenation of ketoprofen with Pd/C or Pd/C(en) catalyst. NSAIDs bearing carboxylic group (ibuprofen, fenoprofen, diclofenac, indomethacin, ketoprofen, **6a,b**) reacted with 1-benzotriazole carboxylic acid chloride (**1**) affording benzotriazolides **7**, which were the starting compounds in the synthesis of NSAID derivatives **8-12**. A new synthetic method for the synthesis of NSAID hydroxamic acids and their derivatives was developed. They were obtained in the reaction of NSAID benzotriazolides **7** with an appropriate hydroxylamine (hydroxylamine, *N*-methylhydroxylamine, *O*-methylhydroxylamine, *O*-ethylhydroxylamine or *O*-benzylhydroxylamine) or by the catalytic hydrogenation of *O*-benzyl derivatives of NSAID hydroxamic acids. Ketoprofen derivatives **9**, **10** and NSAID 3-hydroxypropylamides **12** were prepared from NSAID benzotriazolides **7**, in the reaction with an appropriate amine, while compounds of the series **11** were obtained by the catalytic hydrogenation of ketoprofen amides **10** with Pd/C(en).

The compounds were evaluated for their biological activity: antitumor, antimicrobial, antiviral and antioxidant activity, inhibition of urease, lipoxygenase and linoleic acid lipid peroxidation. The best antitumor activity was exerted by **8c**, antimicrobial by **8b,d**, antiviral by **5a** and **8y**, and antioxidant by **8o**. The strongest inhibitor of urease was **8f**, while **11f** was the strongest inhibitor of lipoxygenase. Compound **9e** showed the highest inhibition of linoleic acid lipid peroxidation.

Thesis is deposited in the Central library of the Faculty of Pharmacy and Biochemistry, University of Zagreb.

Thesis includes: 214 pages, 6 figures, 44 schemes, 40 tables and 125 references. Original is in Croatian language.

Keywords: amino acid, hydantoin, nonsteroidal anti-inflammatory drugs, hydroxamic acid, amide, synthesis, biological activity

Menthor: Professor Branka Zorc, *Ph.D.*, Faculty of Pharmacy and Biochemistry, University of Zagreb

Reviewers: Professor Marica Medić-Šarić, *Ph.D.*, Faculty of Pharmacy and Biochemistry, University of Zagreb  
Professor Branka Zorc, *Ph.D.*, Faculty of Pharmacy and Biochemistry, University of Zagreb  
Marijeta Kralj, *Ph.D.*, Senior Research Associate, Ruđer Bošković Institute, Zagreb

The thesis accepted: December 10th, 2008.